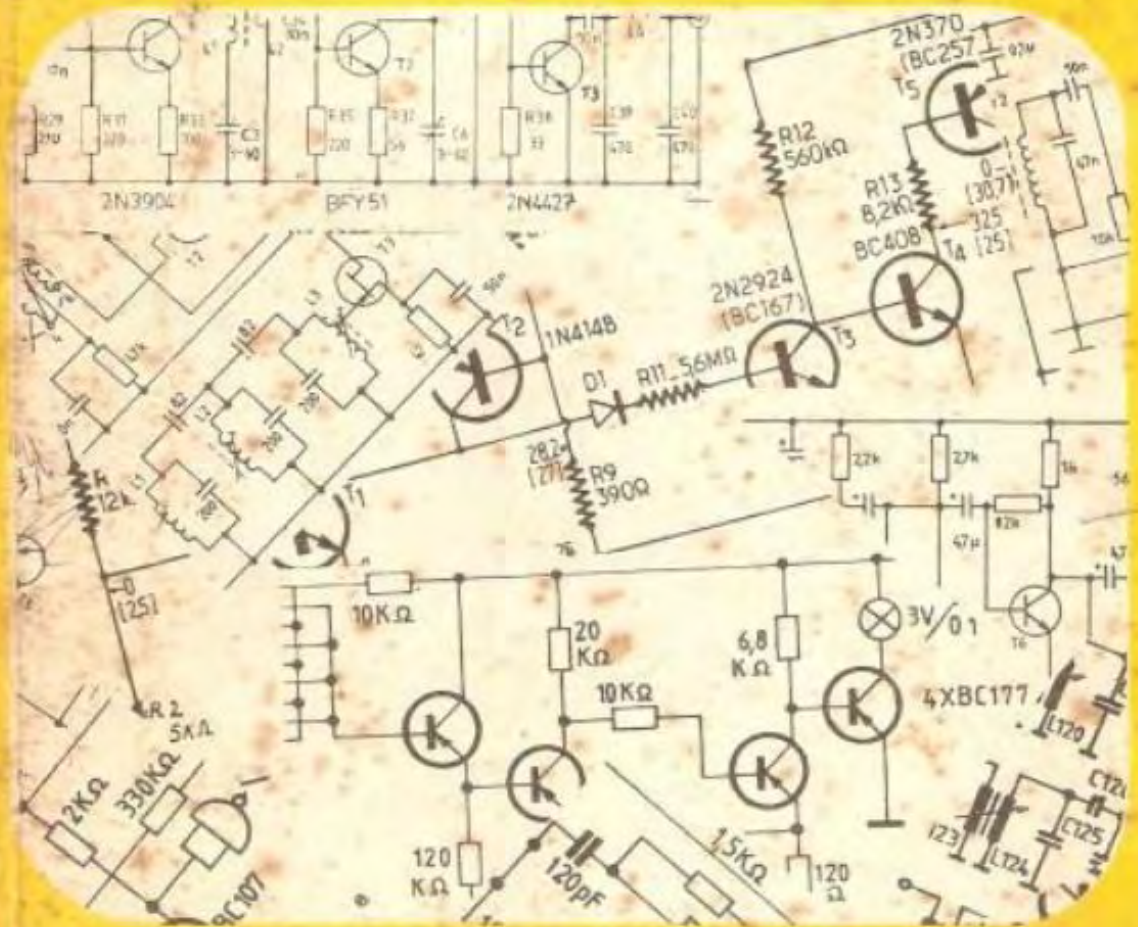


**STELIAN
LOZNEANU**

**LÁCZKO
ÁRPÁD**

MEMORATORUL RADIOTEHNICIANULUI



EDITURA JUNIMEA

Stelian Lozneanu

Laczko Árpád

**MEMORATORUL
RADIOTEHNICIANULUI**

Ing. STELIAN LOZNEANU Fiz. LACZKÓ ARPÁD

MEMORATORUL RADIOTEHNICIANULUI

**JUNIMEA
IAȘI • 1985**

Coperta de Mihai Bujdei

*

Referent științific :
Conf. dr. ing. ALEXANDRU VALACHI

S u m a r

Prefață	7
Capitolul I. ELEMENTE DE CIRCUIT	9
1.1. Termistoare	9
1.2. Bobine	11
1.3. Dispozitive semiconductoare	29
1.3.1. Aplicații tipice ale amplificatoarelor operaționale	35
1.3.2. Circuite cu tranzistoare	39
1.3.3. Radiatoare	42
Capitolul II. CIRCUITE	44
2.1. Circuite în curent continuu și curent alternativ	44
2.2. Circuite oscilante și cuplate	70
2.2.1. Circuite oscilante	70
2.2.2. Circuite cuplate	90
2.2.3. Amplificatoare selective	96
2.3. Filtri pasivi	102
2.4. Circuite logice	118
2.4.1. Sisteme de numerație	118
2.4.2. Funcții și circuite logice	125
2.5. Circuite de alimentare	140
2.5.1. Transformatoare	140
2.5.2. Redresoare	146
2.5.3. Filtre de acțezire	146
2.5.4. Siguranțe	155
2.5.5. Stabilizatoare de tensiune	156
Capitolul III. PROPAGAREA UNDELOR ELECTROMAGNETICE	159
3.1. Bazele propagării	159
3.2. Linii de transmisie	163
3.3. Antene	172
3.3.1. Antene Yagi	183

Capitolul IV. ELECTROACUSTICA	190
4.1. Determinarea tensiunii de ieșire a microfoanelor	190
4.2. Amplificatoare de audiofrecvență	190
4.3. Corecții de ton	199
4.4. Incinte acustice	204
4.4.1. Rețele de separare	204
4.4.2. Incinte închise	208
4.4.3. Incinte bass-reflex (cu invesor de fază)	209
BIBLIOGRAFIE	213

P R E F A T

Dezvoltarea impetuoasă a industriei radiotehnice, cu toate implicațiile economico-sociale pe care le-a adus, a determinat creșterea interesului pentru acest domeniu a unui număr foarte mare de specialiști.

Radiotehnica dispune de o bogată literatură de specialitate în care sunt abordate, pornind de la nivelul elementar către cel superior, multitudinea problemelor specifice. Cu toate acestea se impunea apariția unor lucrări de sinteză, care grupând într-un mod accesibil și funcțional, elementele de bază din practica radiotehnică, să se constituie într-un adevărat instrument de lucru al radiotehnicianului.

Măematorul pe care îl oferim cititorilor încearcă să îndeplinească acest deziderat propunându-și să pună la dispoziție celor interesați o sinteză de date teoretice și practice, utile în activitatea de proiectare, execuție și testare a echipamentelor radiotehnice.

La elaborarea lucrării s-a utilizat un vast material bibliografic, care a permis pe de o parte sintetizarea celor mai importante aspecte referitoare la tema tratată, iar pe de altă parte găsirea unui mod unitar de abordare a problemelor întâlnite în practica radiotehnică.

Lucrarea este structurată pe patru capituloare cuprinzînd principalele probleme teoretice, relații de proiectare, nomograme și material tabelar, referitoare la cele mai importante aspecte din domeniul radiotehniciei.

În capitolul I — Elemente de circuit — sunt abordate aspecte legate de dispozitive pasive și active, limitîndu-se la informații strict necesare în practica radiotehniciei, dar mai puțin abordate în lucrările de specialitate, considerațiile asupra rezistențelor, condensatoarelor și altele, fiind lăsate pe seamă lucrărilor deja existente.

Capitolul II, tratează probleme de circuite pornindu-se de la circuitele în curent continuu și curent alternativ, oscilante și cuplate, circuite logice (din ce în ce mai folosite în practica radiotehnică) și ajungîndu-se la circuitele clasice de alimentare. Acest capitol are cea mai mare pondere în lucrare fiind abordat într-o manieră sintetică și ușor de înțeles.

Capitolul III — Propagarea undelor electromagnetice—conține referiri la bazele propagării, linii de transmisii și antene, fiind bogat reprezentat cu tabele de sinteză și nomograme de lucru.

Capitolul IV—Electroacustica—conține datele de proiectare și elemente de ordin practic privind amplificatoarele de audiofrecvență, corecțiile de ton și incintele acustice.

Lucrarea se constituie ca un material util unei sfere foarte largi de specialiști și amatori în radiotehnică, electronică industrială și domenii conexe, disponind de un bogat material de sinteză, unic în literatura noastră de specialitate, datorită pe de o parte densității informaționale, iar pe de altă parte modului original de organizare și structurare a materialului documentar.

Lucrarea a fost elaborată astfel:

- ing. Stelian Lozneanu : cap. 1, 3 și cap. 2 (comun)
- fiz. Laczkó Árpád : cap. 4 și cap. 2 (comun)

Autorii își exprimă convingerea că prezenta lucrare va fi utilă tuturor celor cărora le este adresată.

Autorii aduc mulțumiri conf. dr. Alexandru Valachi pentru prețioasele observații și îndrumări privind conținutul și elaborarea memoratorului, cît și lui E. Serbov și M. Constantinov pentru sprijinul dat la definitivarea manuscrisului ; de asemenea mulțumesc Editurii Junimea Iași pentru sprijinul deosebit acordat la tipărire lucrării.

AUTORII

C A P I T O L U L I

E L E M E N T E D E C I R C U I T

1.1. TERMISTOARE

Termistoarele sunt elemente de circuit care prezintă o variație importantă a rezistenței cu temperatura corpului lor. Încălzirea termistorului se poate datora fie temperaturii ambiante fie puterii ce se dezvoltă în termistor la trecerea curentului. Există termistoare cu coeficient negativ de temperatură γ (NTC) la care rezistența scade pe măsură ce temperatura crește. Termistoarele la care rezistența crește cu temperatura au coeficient pozitiv de temperatură și se numesc pozistoare (PTC).

Între rezistența R a termistorului și temperatura sa T există o dependență de forma :

$$R = R_0 e^{B \left(\frac{1}{T} - \frac{1}{T_0} \right)},$$

în care :

R — este rezistența la o temperatură oarecare T (exprimată în grade Kelvin).

R_0 — este rezistența la temperatura $T_0 = 298^\circ\text{K}$ (25°C)

e — este baza logaritmilor naturali ($2.71828\dots$)

B — este o constantă termică a compoziției termistorului care poate fi situată între $2\,500$ și $5\,500^\circ\text{K}$.

Un alt mod mai practic și suficient de precis de a descrie comportarea R funcție de T este coeficientul de temperatură α_R al termistorului, care depinde de B și care arată cu cât variază procentual rezistența pentru o variație a temperaturii de 1°C ;

$$\alpha_R = \frac{1}{R} \frac{dR}{dT} \quad [\%/\text{°C}]$$

Relația dintre B și α_R este patratică: $\alpha_R = -\frac{100B}{T_0^2}$, unde $T_0 = 298^\circ\text{K}$.

Coefficientul de temperatură α_R poate fi cuprins între -3 și $-6\%/\text{°C}$ și este legat de constanta B (și de valoarea ohmică) ca în tabelul 1.1.

Tabelul 1.1. este dat pentru termistoare de aceeași dimensiune, dar de valori diferite, de exemplu de $9 \times 2,3$ mm și valori de la $2,2\Omega$ la $1,3\text{ K}\Omega$.

TABELUL 1.1

Caracteristici ale termistoarelor

R_n	2,2	5	10	15	33	50	Ω
α_R	-3	-3,2	-3,3	-3,4	-3,6	-3,7	%/ $^{\circ}$ C
B	2 670	2 825	2 950	3 050	3 250	3 300	(K)

R_n	82	130	500	1 300	Ω
α_R	-4,9	-5,1	-5,8	-6,1	%/ $^{\circ}$ C
B	4 400	4 600	5 200	5 450	(K)

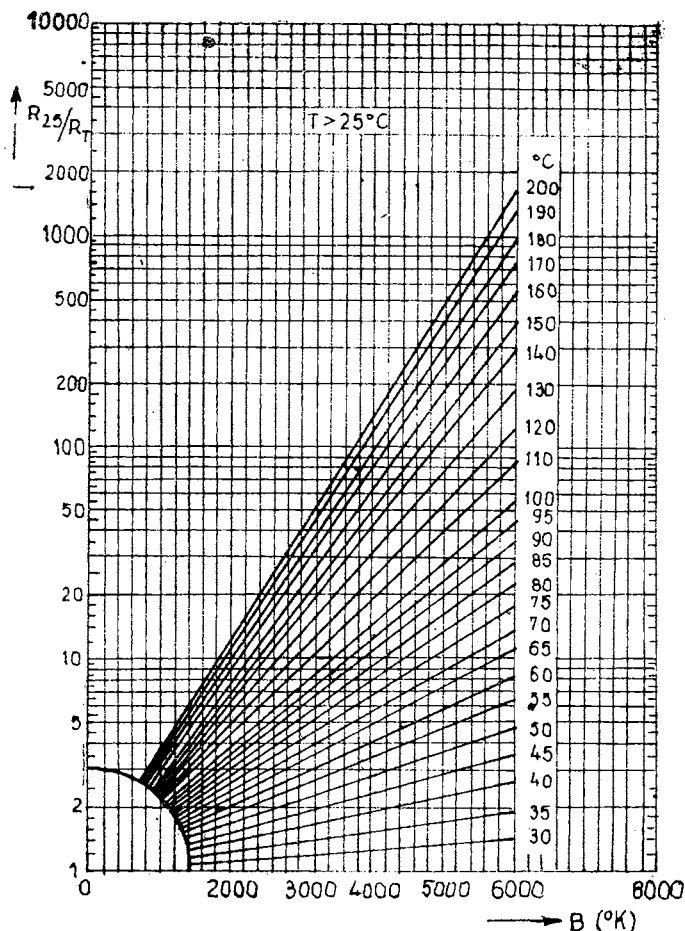


Fig. 1.1.

Cunoscând valoarea B și folosind graficul din fig. 1.1 se poate ușor determina raportul R_{25}/R_T adică *raportul dintre rezistența termistorului la 25°C și rezistența termistorului la o temperatură ambientă oarecare mai mare*.

În mai toate aplicațiile, termistorul trebuie să sesizeze temperatura ambientă sau temperatura radiatorului, deci el nu trebuie să fie încălzit de curentul care circulă prin el. Pentru această condiție este necesar ca termistorul să fie încărcat cu cel mult 5% din puterea sa nominală.

Puterea nominală a unui termistor reprezintă puterea pe care poate să o disipe în regim permanent un termistor plasat în aer la 25°C și adus la temperatura sa maximă de utilizare prescrisă.

Constanta de timp (τ) reprezintă timpul necesar unui termistor pentru ca temperatura să atingă 63,4% din temperatura sa finală atunci cînd este supus unui salt de temperatură. În decursul a încă două constante de timp termistorul atinge aproximativ regimul de temperatură de durată.

1.2. BOBINE

Inductanța bobinelor cilindrice cu un singur strat de spire (fig. 1.2) se poate determina cu ajutorul următoarei relații (Nagaoka) :

$$L = 0,00987 \cdot K \frac{n^2 \cdot D^2}{l},$$

în care :

L — inductanța bobinei, în μH ;

l — lungimea bobinei în mm ;

D — diametrul bobinei, în mm ;

n — numărul de spire ;

K — factor subunitar, ce depinde de raportul D/l . Valorile coeficientului K pentru diferite valori ale raportului D/l sunt date în tabelul 1.2.

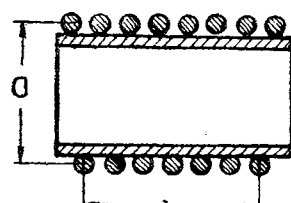


Fig. 1.2.

TABELUL 1.2

Coeficientul K în funcție de D/l

D/l	0,1	0,2	0,4	0,6	0,8	1,0	2,0	3,0	4,0	5,0
K	0,959	0,920	0,850	0,789	0,735	0,688	0,526	0,429	0,365	0,320

Un calcul rapid al elementelor unei bobine se poate face cu ajutorul nomogramei din fig. 1.3.

Această nomogramă se utilizează astfel : pe scara mărimii D se fixează valoarea diametrului bobinei, iar pe scara l/D se fixează valoarea acestui raport. Dreapta 1, care unește aceste puncte, intersectează scara auxiliară în punctul A . Pe scara L_0 se fixează valoarea inductanței și se unește acest punct cu punctul A de pe scara auxiliară prin dreapta 2, care determină pe scara n numărul de spire al bobinei.

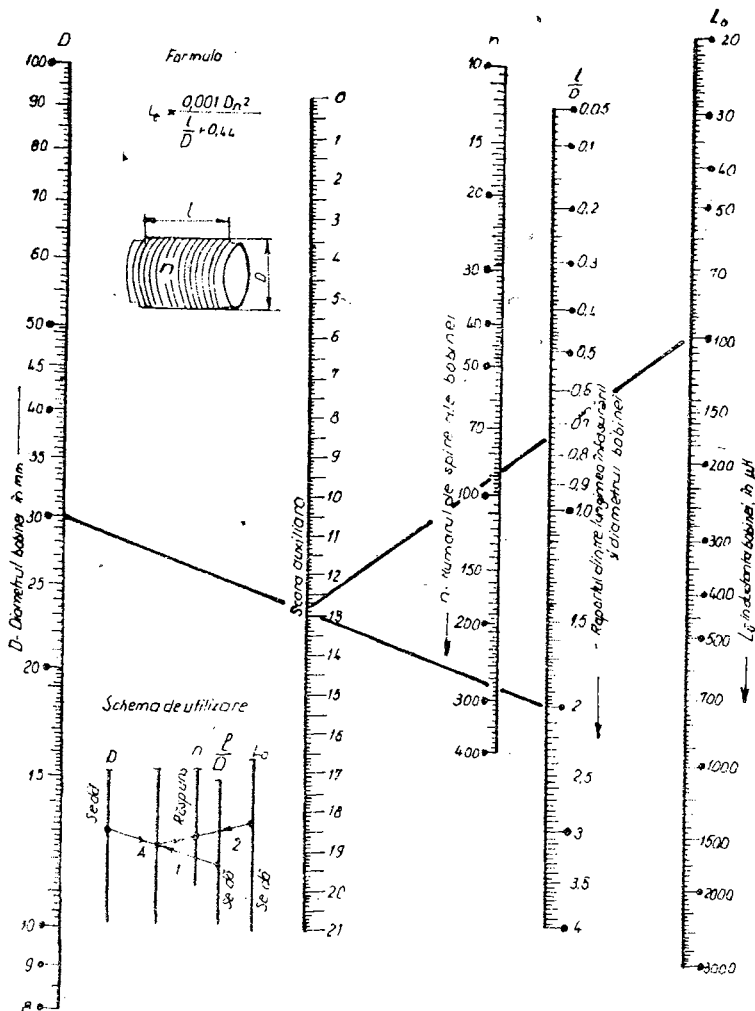


Fig. 1.3.

Exemplu : dacă sînt date $L_0=100 \mu\text{H}$, $D=30 \text{ mm}$ și se alege $\frac{l}{D}=2$, rezultă $n=90$ spire și $l=60 \text{ mm}$.

Inductanța bobinelor cilindrice cu mai multe straturi (fig. 1.4) se poate determina cu ajutorul relației :

$$L_0 = \frac{0.079 n^2 D^2}{3D + 9l + 10h}$$

și rezultă în microhenry dacă dimensiunile se iau în milimetri.

Grosimea h în funcție de factorul de umplere K_u , se poate calcula cu relația :

$$h = 0,00785 \frac{nd^2}{K_u l},$$

unde d este diametrul conductorului inclusiv izolația, în mm.

Pentru un calcul rapid, se poate utiliza nomograma din fig. 1.5, construită pe baza acestei formule.

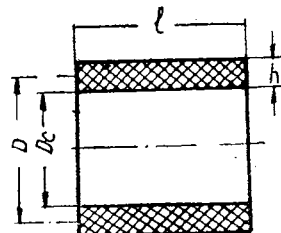
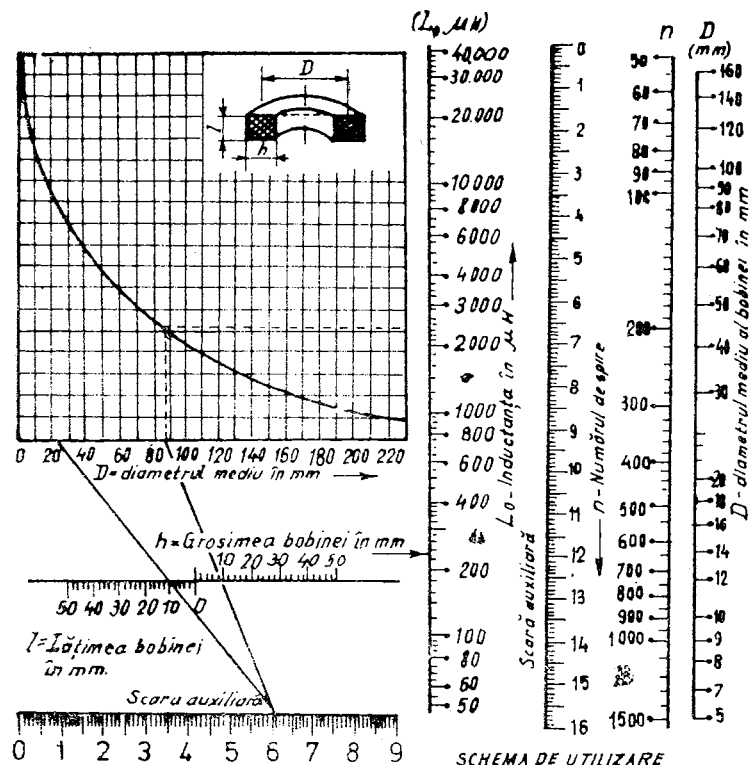


Fig. 1.4.



Formula:

$$L_0 = \frac{0,008 D^2 n^2}{30 + 9L + 10h} \quad [\mu H]$$

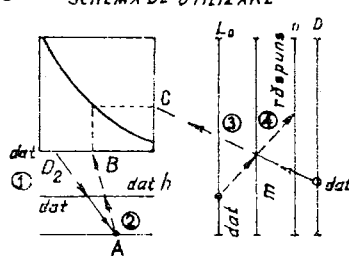


Fig. 1.5.

Această nomogramă se folosește în felul următor : se fixează pe abscisa diagramei valoarea D a diametrului mediu al bobinei, iar pe scara l lungimea bobinei. Dreapta 1, care unește aceste puncte, intersectează scara auxiliară în punctul A . Se unește punctul A cu punctul corespunzător valorii grosimii bobinei de pe scara h , prin dreapta 2, care intersectează abscisa diagramei în punctul B . Din punctul B se ridică o verticală pînă în punctul C , de pe limita din dreapta a diagramei. Acest punct C se unește prin dreapta 3 cu punctul de pe scara verticală D a diametrului mediu al bobinei. Această dreaptă intersectează scara auxiliară verticală în punctul E . Din punctul de pe scara L_0 care marchează valoarea inductanței și prin punctul E se duce dreapta 4, a cărei intersecție cu scara n determină numărul de spire al bobinei.

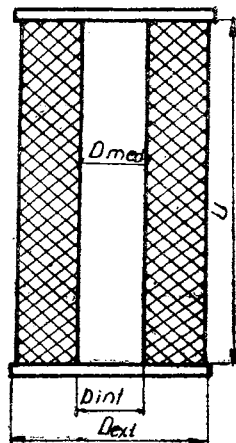


Fig. 1.6.

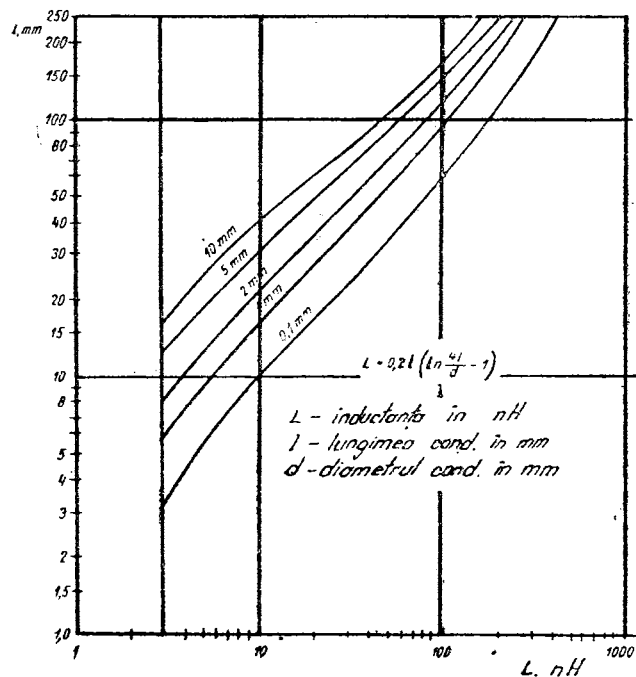


Fig. 1.7.

Exemplu : dacă sunt date $L_0=1\ 700\ \mu H$, $l=h=10\ mm$ și $D=20\ mm$ rezultă $n=375$ spire.

Lungimea conductorului bobinat pe o carcă circulară (fig. 1.6) poate fi calculată cu formula :

$$l = \pi D_{med} N,$$

unde : N este numărul de spire ;

D_{med} — diametrul mediu al spirei, egal cu

$$D_{med} = \frac{D_{int} + D_{ext}}{2}.$$

Diagrama din fig. 1.7 prezintă corelația dintre diametrul, lungimea și inducția unui conductor liniar cu secțiune circulară, la frecvențe mari. Exemplu : Inductanța unei conexiuni cu lungimea de 101,4 mm și diametrul 0,635 mm, este 0,8 μH . La frecvența de 80 MHz, această valoare corespunde unei reactanțe inductive de 100 ohmi.

Inductanța bobinelor cu miez, având și un întrefier, se determină cu relația :

$$L = 1,256 \cdot 10^{-8} \frac{S_f n^2}{\frac{l_f}{\mu_r} + l_a}$$

în care : S_f este suprafața secțiunii transversale a miezului (a brațului central), în cm^2 ;

n — numărul de spire al înfășurării ;

l_f — lungimea medie a circuitului magnetic, în cm ;

l_a — lungimea întrefierului, în cm ;

μ_r — permeabilitatea relativă a miezului.

Inductanța L rezultă în henry.

Tabelul 1.3 prezintă valori uzuale ale permeabilității relative.

TABELUL 1.3

Permeabilități relative

Material	μ_r
Nichel	110 ... 600
Fier	80 ... 620
Otel (Si puțin)	170 ... 8 400
Otel (Si mediu)	260 ... 7 740
Otel (Si mult)	450 ... 7 800
Permaloy	6 000 ... 100 000
Mumetal	7 000 ... 100 000
Aluminiu	1
Alamă	1
Cupru	1
Bronz fosforos	1
Staniu	1
Zinc	1

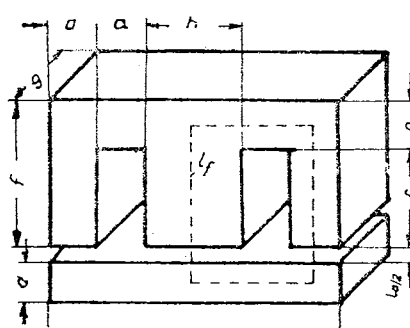


Fig. 1.8.

În cazul unui circuit magnetic obișnuit al unei bobine cu întrefier (fig. 1.8) se poate scrie :

$$\begin{cases} S_f = gb \\ l_f = e + 2f - a \end{cases}$$

Pentru alegerea tipului de tolă se utilizează relația :

$$S_f \cdot S_F = \frac{LI_0^2}{K_n J B} \cdot 10^2,$$

în care : K_n — este coeficientul de umplere ;

J — densitatea curentului, în A/mm^2 ;

B — inducția admisă, în T ;

S_F — suprafața ferestrei tolei, în cm^2 .

Inducția maximă B_M (în T) se determină în funcție de tensiunea $U_{cf}(V)$ aplicată bobinei, cu ajutorul relației :

$$U_{cf} = 4,44 \cdot 10^{-4} f n S_f B_M,$$

în care f este frecvența tensiunii, în Hz ;

n — numărul de spire al bobinei.

În fig. 1.9 sunt indicate două curbe necesare în calculul de dimensiune a bobinelor cu întrefier (metoda Haana).

În figură I_0 reprezintă intensitatea curentului care străbate bobină, iar $V = S_f l_f$ — volumul corespunzător al fierului.

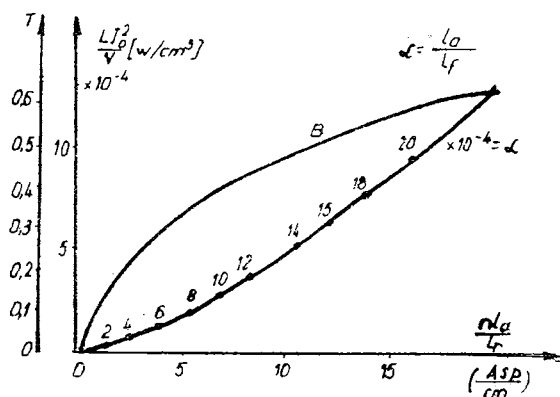


Fig. 1.9.

Rezistența de curent continuu a bobinei cu întrefier se poate calcula cu ajutorul relației :

$$R = \frac{0,00022 n l_c}{d^2}$$

în care l_c reprezintă lungimea medie a unei spire a înfășurării, în cm ;

$$l_e = 2(2a + b + g).$$

Dacă se ia l_e în cm și diametrul conductorului d în mm, rezistența R rezultă în Ω .

Nomograma din fig. 1.10 permite calculul bobinelor cu întrefier.

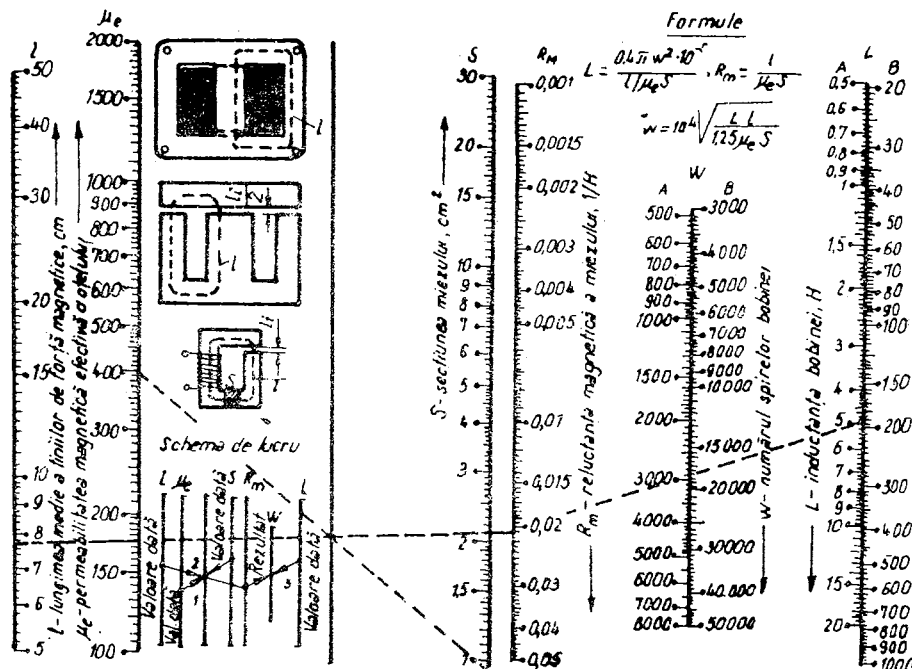


Fig. 1.10.

Inductanța unei bobine de radiofreqvență cu miez feromagnetic se poate calcula cu relația :

$$L = \mu_{ef} L_0,$$

în care : L_0 este inductanța bobinei fără miez ;

μ_{ef} — permeabilitatea efectivă (>1).

În cazul unei bobine ecranate (fig. 1.11), inductanța acesteia este :

$$L_e = L_0 \left[1 - \left(\frac{D}{D_e} \right)^2 \frac{l}{l_e} \frac{1}{K} \right],$$

în care K reprezintă un factor ce depinde de raportul D/l . Pentru $D/l < 5$ se poate scrie :

$$K = 1 - 0,32 \sqrt{\frac{D}{l}}.$$

În cazul unui ecran magnetic, cîmpul magnetic la o adîncime z de la suprafața conductorului este :

$$H = H_0 e^{-\frac{z}{\delta}}$$

în care : H_0 este intensitatea cîmpului la suprafață ;

δ — adîncimea de pătrundere.

Adîncimea de pătrundere δ , reprezintă adîncimea la care densitatea curentului scade la $1/e$ din densitatea curentului de la suprafața conductorului :

$$\delta = 503,3 \sqrt{\frac{\rho}{\mu_r f}}$$

în care : δ este adîncimea de pătrundere, în m;

ρ — rezistivitatea, în $\Omega \text{ m}$;

μ_r — permeabilitatea relativă ;

f — frecvența, în Hz.

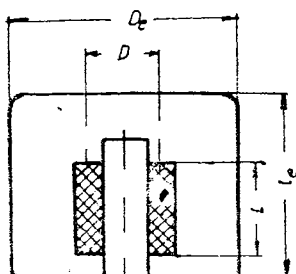


Fig. 1.11.

Ecranele electrostatice se confectionează din materiale cu conductivitate bună : cupru, alamă, aluminiu. Ecranele de joasă frecvență la cîmpuri magnetice se bazeză pe materiale feromagnetice : fier, nichel, cobalt.

Calculul unui ecran electrostatic se face cu relațiile :

$$A = 3,338 \sqrt{f} ; \quad L = A \frac{1,72}{\rho} \mu$$

unde A este atenuarea în cupru pur (dB/mm) ;

f — frecvența (MHz) ;

ρ — rezistivitatea ;

μ — permeabilitatea magnetică ;

L — atenuarea în alte materiale decât cupru (dB/mm).

Pentru a determina atenuarea în cupru, se selecționează pe nomograma din fig. 1.12 frecvența pe scara f și se citește atenuarea pe scara A . Pentru alte materiale se precizează rezistivitatea pe scara ρ și permeabilitatea pe scara μ și se unesc printr-o linie care taie scara T într-un punct, punct care este unit cu punctul localizat pe scara f , iar dreapta astfel construită dă o intersecție cu scara de atenuare L .

Un ecran electrostatic este eficace cînd este conectat la un potențial de referință de semnal zero al circuitelor electro-nice continute în interiorul ecranului. Ecranul poate fi considerat drept calea de a drena curentul nedorit la un punct de masă.

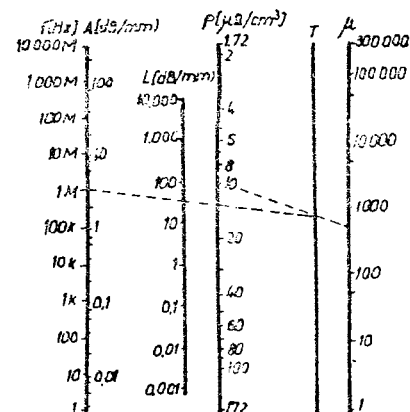


Fig. 1.12.

Bobine imprimate (fig. 1.13)

Factorul de calitate al acestor bobine : $Q = 70 \dots 100$, iar numărul de spire : $N = 3 \dots 15$. Calculul inductanțelor bobinelor imprimate se face pentru bobinele spirale (fig. 1.13 a) cu ajutorul formulei :

$$L = 4,97 \cdot 10^{-3} \cdot r_{med} \sqrt[4]{N^6} \lg 8 \frac{r_{med}}{c},$$

pentru bobina pătrată (fig. 1.13 b) cu formula :

$$L = 5,55 \cdot 10^{-3} a_{med} \sqrt[4]{N^6} \lg 8 \frac{a_{med}}{c}.$$

În formule s-au notat :

L — inductanță bobinei, în μH ;

$$r_{med} = \frac{D_{ext} + D_{int}}{4} \text{ raza medie, în mm ;}$$

$$a_{med} = \frac{A_{ext} - A_{int}}{4} \text{ latura medie a pătratului, în mm ;}$$

$$c = \frac{D_{ext} - D_{int}}{2} = \frac{A_{ext} - A_{int}}{2} \text{ lățimea medie, în mm ;}$$

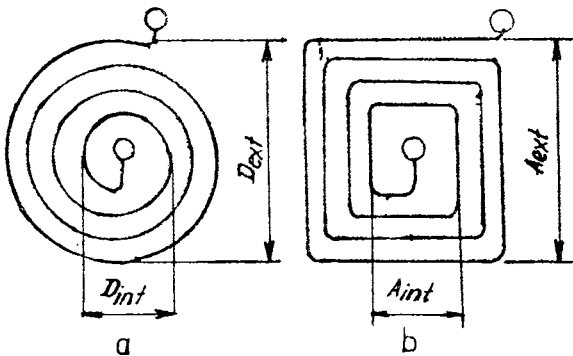


Fig. 1.13.

La legarea în serie a bobinelor, inductanță totală este :

$$L_{tot} = L_1 + L_2 + \dots + L_n.$$

În cazul existenței unui cuplaj magnetic între bobinele legate în serie, inductanță totală este :

$$L_{tot} = L_1 + L_2 \pm 2M,$$

unde : $M = k\sqrt{L_1 L_2}$ — inductanță mutuală, în H ;

k — coeficientul de cuplaj al bobinelor, care variază în limitele de la 0 la 1.

Dacă fluxurile magnetice ale lui L_1 și L_2 coincid ca sens, atunci se ia semnul plus.

La legarea în paralel a bobinelor, inductanța totală se determină cu formula :

$$\frac{1}{L_{tot}} = \frac{1}{L_1} + \frac{1}{L_2} + \dots + \frac{1}{L_m}$$

Pentru două bobine legate în paralel

$$L_{tot} = \frac{L_1 L_2}{L_1 + L_2}$$

La legarea în paralel a bobinelor și în cazul existenței cuplajului între ele, inductanța totală este :

$$L_{tot} = \frac{L_1 L_2 - M^2}{L_1 + L_2 \mp 2M}$$

Dacă fluxurile magnetice ale lui L_1 și L_2 coincid atunci se ia $-2M$.

Factorul de calitate al unei bobine este dat de relația :

$$Q = \frac{\omega L}{R}$$

în care : L este inductanța bobinei ;

R — rezistența totală de pierderi.

Factorii de calitate pentru bobinele din radioreceptoare sunt prezentate în tabelul 1.4.

Valoarea inductanței și lungimea bobinajului

	Număr de spire	1	2	3	4
Diametrul cond. (mm)					
0,1	5 nH	10 nH	20 nH	30 nH	
	3 mm	5 mm	7 mm	9 mm	
0,05	5 nH	10 nH	20 nH	30 nH	
	2,5 mm	4 mm	5,5 mm	7,5 mm	
0,06	2,5 mm	4 mm	5,5 mm	7,5 mm	
	5 nH	10 nH	20 nH	30 nH	
0,05	2 mm	3,2 mm	4,5 mm	6 mm	
	5 nH	10 nH	20 nH	30 nH	
	1,5 mm	2,5 mm	3,5 mm	4,5 mm	

TABELUL 1.4

Game de unde		Unde lungi	Unde medii	Unde scurte	Unde ultracurte	Frecvență intermediară
Factorul de calitate în gol	pentru bobine deschise	70 – 140	100 – 170	100 – 150	100 – 200	80 – 200
	pentru bobine închise	100 – 200	100 – 250	200 – 300	100 – 200	150 – 250
	pentru antene de ferită	200 – 500	200 – 500	150 – 300	100 – 150	–

Bobinele FIF și UIF de tipul celor din figura 1.14 și figura 1.15 se pot dimensiona folosind datele din tabelele 1.5 – 1.11.

În figura 1.14

D — diametrul interior;

d — diametrul conductorului și spațiul dintre conductori.

L — lungimea totală a bobinei.

În figura 1.15

L — lungimea liniei;

D — diametrul conductorului din care este realizată linia.

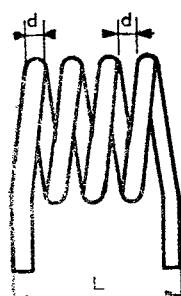


Fig. 1.14.

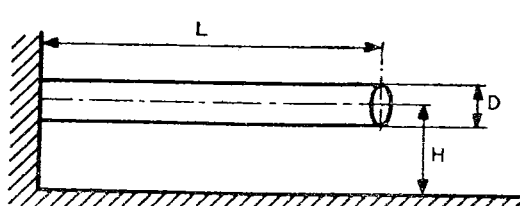


Fig. 1.15.

TABELUL 1.5

pentru bobine cu aer, având diametrul interior 3 mm

5	6	7	8	9	10
30 nH	40 nH	50 nH	60 nH	70 nH	70 nH
11 mm	13 mm	15 mm	17,5 mm	19,5 mm	21,5 mm
40 nH	50 nH	50 nH	60 nH	70 nH	80 nH
9 mm	10,5 mm	12 mm	13,5 mm	15,5 mm	17 mm
40 nH	50 nH	60 nH	70 nH	80 nH	90 nH
7 mm	8,5 mm	9,5 mm	11 mm	12 mm	13,5 mm
50 nH	60 nH	70 nH	80 nH	100 nH	110 nH
5,5 mm	6,5 mm	7,5 mm	8,5 mm	9,5 mm	10,5 mm

Valoarea inductanței și lungimea bobinajului

Număr de spire	1	2	3	4
Diametrul cond. (mm)				
0,2	10 nH 6 mm	20 nH 10 mm	30 nH 14,5 mm	50 nH 18,5 mm
	10 nH 5 mm	20 nH 8 mm	40 nH 11,5 mm	50 nH 14,5 mm
0,16	10 nH 4 mm	20 nH 6,5 mm	40 nH 9 mm	60 nH 11,5 mm
	10 nH 3 mm	30 nH 5 mm	50 nH 7 mm	70 nH 9 mm
0,13	10 nH 2,5 mm	30 nH 4 mm	50 nH 5,5 mm	80 nH 7,5 mm
	10 nH 2 mm	30 nH 3 mm	60 nH 4,5 mm	90 nH 6 mm
0,08	10 nH 1,5 mm	30 nH 2,5 mm	60 nH 3,5 mm	100 nH 4,5 mm
	10 nH 1 mm	30 nH 2 mm	60 nH 3 mm	80 nH 4 mm
0,06	10 nH 1 mm	30 nH 1,5 mm	60 nH 1 mm	80 nH 1,5 mm
	10 nH 0,5 mm	30 nH 1 mm	60 nH 0,5 mm	80 nH 0,5 mm
0,05	10 nH 0,5 mm	30 nH 0,5 mm	60 nH 0,5 mm	80 nH 0,5 mm
	10 nH 0,25 mm	30 nH 0,25 mm	60 nH 0,25 mm	80 nH 0,25 mm

Valoarea inductanței și lungimea bobinajului

Număr de spire	1	2	3	4
Diametrul cond. (mm)				
0,25	10 nH 8 mm	30 nH 13 mm	60 nH 18 mm	80 nH 23 mm
	10 nH 6 mm	30 nH 10 mm	60 nH 14,5 mm	90 nH 18,5 mm
0,2	10 nH 5 mm	40 nH 8 mm	70 nH 11,5 mm	100 nH 14,5 mm
	10 nH 4 mm	40 nH 6,5 mm	70 nH 9 mm	110 nH 11,5 mm
0,16	10 nH 3 mm	40 nH 5 mm	80 nH 7 mm	130 nH 9 mm
	10 nH 2,5 mm	50 nH 4 mm	90 nH 5,5 mm	140 nH 7,5 mm
0,13	10 nH 2 mm	50 nH 4 mm	100 nH 5,5 mm	160 nH 7,5 mm
	10 nH 1,5 mm	60 nH 3 mm	110 nH 4,5 mm	170 nH 6 mm
0,08	10 nH 1,5 mm	60 nH 2,5 mm	110 nH 3,5 mm	170 nH 4,5 mm
	10 nH 1 mm	60 nH 2 mm	120 nH 3 mm	180 nH 4 mm
0,065	10 nH 1 mm	60 nH 1,5 mm	120 nH 2,5 mm	180 nH 3,5 mm
	10 nH 0,5 mm	60 nH 1 mm	130 nH 2 mm	190 nH 3 mm
0,05	10 nH 0,5 mm	60 nH 0,5 mm	140 nH 1 mm	200 nH 2 mm
	10 nH 0,25 mm	60 nH 0,25 mm	150 nH 0,5 mm	210 nH 1 mm

TABELUL 1.6

pentru bobine cu aer, avind diametrul interior 6,3 mm

5	6	7	8	9	10
70 nH 22,5 mm	80 nH 26,5 mm	100 nH 30,5 mm	120 nH 35 mm	130 nH 39 mm	150 nH 43 mm
70 nH 18 mm	90 nH 21 mm	110 nH 24,5 mm	130 nH 28 mm	150 nH 31 mm	170 nH 34 mm
80 nH 14 mm	100 nH 16,5 mm	120 nH 19,5 mm	140 nH 22 mm	170 nH 24,5 mm	190 nH 27 mm
90 nH 11 mm	120 nH 13 mm	140 nH 15 mm	170 nH 17,5 mm	190 nH 19,5 mm	220 nH 21,5 mm
100 nH 9 mm	130 nH 10,5 mm	160 nH 12 mm	190 nH 13,5 mm	220 nH 15,5 mm	250 nH 17 mm
120 nH 7 mm	150 nH 8,5 mm	180 nH 9,5 mm	220 nH 11 mm	250 nH 12 mm	290 nH 13,5 mm
130 nH 5,5 mm	170 nH 6,5 mm	210 nH 7,5 mm	250 nH 8,5 mm	290 nH 9,5 mm	340 nH 10,5 mm

TABELUL 1.7

pentru bobine cu aer avind diametrul 9,5 mm

5	6	7	8	9	10
110 nH 28,5 mm	130 nH 33,5 mm	160 nH 39 mm	190 nH 44 mm	210 nH 49 mm	240 nH 24,5 mm
120 nH 22,5 mm	150 nH 26,5 mm	180 nH 30,5 mm	210 nH 35 mm	240 nH 39 mm	270 nH 43 mm
130 nH 18 mm	170 nH 21 mm	200 nH 24,5 mm	240 nH 28 mm	280 nH 31 mm	340 nH 34 mm
150 nH 14 mm	190 nH 16,5 mm	230 nH 19,5 mm	270 nH 22 mm	320 nH 24,5 mm	360 nH 27 mm
170 nH 11 mm	220 nH 13 mm	270 nH 15 mm	320 nH 17,5 mm	370 nH 19,5 mm	420 nH 21,5 mm
190 nH 9 mm	250 nH 10,5 mm	310 nH 12 mm	360 nH 13,5 mm	420 nH 15,5 mm	480 nH 17 mm
220 nH 7 mm	280 nH 8,5 mm	350 nH 9,5 mm	420 nH 11 mm	490 nH 12 mm	560 nH 13,5 mm
240 nH 5,5 mm	320 nH 6,5 mm	400 nH 7,5 mm	480 nH 8,5 mm	560 nH 9,5 mm	650 nH 10,5 mm

Valoarea inductanței și lungimea bobinajului

Număr de spire \ Diametrul cond. (mm)	1	2	3	4
0,25	20 nH 8 mm	50 nH 13 mm	80 nH 18 mm	120 nH 23 mm
0,2	20 nH 6 mm	50 nH 10 mm	90 nH 14,5 mm	140 nH 18,5 mm
0,16	20 nH 5 mm	60 nH 8 mm	100 nH 11,5 mm	150 nH 14,5 mm
0,13	20 nH 4 mm	60 nH 6,5 mm	110 nH 9 mm	170 nH 11,5 mm
0,1	20 nH 3 mm	70 nH 5 mm	130 nH 7 mm	190 nH 9 mm
0,08	20 nH 2,5 mm	70 nH 4 mm	140 nH 5,5 mm	210 nH 7,5 mm
0,065	20 nH 2 mm	80 nH 3 mm	150 nH 4,5 mm	240 nH 6 mm
0,05	20 nH 1,5 mm	80 nH 2,5 mm	160 nH 3,5 mm	260 nH 4,5 mm

Inductanța unei linii situate

Lungimea (cm) \ Diametrul cond. (mm)	1,25	2,55	3,8	5,1
6,5	2 nH 0,4 pF 5,3 GHz	5 nH 0,7 pF 2,4 GHz	9 nH 1,1 pF 1,5 GHz	12 nH 1,5 pF 1,1 GHz
5,2	3 nH 0,3 pF 3,4 GHz	6 nH 0,6 pF 2,4 GHz	10 nH 0,8 pF 1,6 GHz	14 nH 1,1 pF 1,2 GHz
4,1	3 nH 0,2 pF 5,5 GHz	7 nH 0,5 pF 2,5 GHz	12 nH 0,7 pF 1,6 GHz	17 nH 0,9 pF 1,2 GHz
3,2	4 nH 0,2 pF 5,5 GHz	9 nH 0,4 pF 2,5 GHz	14 nH 0,6 pF 1,6 GHz	19 nH 0,8 pF 1,2 GHz
2,6	4 nH 0,2 pF 5,4 GHz	10 nH 0,4 pF 2,5 GHz	15 nH 0,5 pF 1,6 GHz	21 nH 0,7 pF 1,2 GHz
2	5 nH 0,2 pF 5,4 GHz	11 nH 0,3 pF 2,5 GHz	17 nH 0,5 pF 1,6 GHz	23 nH 0,6 pF 1,2 GHz
1,6	5 nH 0,1 pF 5,4 GHz	12 nH 0,3 pF 2,5 GHz	19 nH 0,4 pF 1,6 GHz	26 nH 0,6 pF 1,2 GHz
1,3	6 nH 0,1 pF 5,3 GHz	13 nH 0,3 pF 2,5 GHz	24 nH 0,4 pF 1,6 GHz	28 nH 0,5 pF 1,2 GHz
1	6 nH 0,1 pF 5,3 GHz	14 nH 0,2 pF 2,5 GHz	22 nH 0,4 pF 1,6 GHz	30 nH 0,5 pF 1,2 GHz
0,8	7 nH 0,1 pF 5,3 GHz	15 nH 0,2 pF 2,5 GHz	24 nH 0,3 pF 1,6 GHz	33 nH 0,5 pF 1,2 GHz
0,65	7 nH 0,1 pF 5,2 GHz	17 nH 0,2 pF 2,5 GHz	26 nH 0,3 pF 1,6 GHz	35 nH 0,4 pF 1,2 GHz

TABELUL 1.8

pentru bobine cu aer avind diametrul interior 12,5 mm

5	6	7	8	9	10
160 nH	200 nH	250 nH	290 nH	330 nH	380 nH
28,5 mm	33,5 mm	39 mm	44 mm	49 mm	54,5 mm
180 nH	230 nH	280 nH	330 nH	380 nH	430 nH
22,5 mm	26,5 mm	30,5 mm	35 mm	39 mm	43 mm
210 nH	260 nH	320 nH	380 nH	440 nH	500 nH
18 mm	21 mm	24,5 mm	28 mm	31 mm	34 mm
240 nH	300 nH	370 nH	440 nH	510 nH	580 nH
14 mm	16,5 mm	19,5 mm	22 mm	24,5 mm	27 mm
270 nH	340 nH	420 nH	500 nH	590 nH	670 nH
11 mm	13 mm	15 mm	17,5 mm	19,5 mm	21,5 mm
300 nH	390 nH	480 nH	580 nH	680 nH	780 nH
9 mm	10,5 mm	12 mm	13,5 mm	15,5 mm	17 mm
340 nH	440 nH	550 nH	660 nH	780 nH	900 nH
7 mm	8,5 mm	9,5 mm	11 mm	12 mm	13,5 mm
370 nH	490 nH	620 nH	750 nH	890 nH	1 030 nH
5,5 mm	6,5 mm	7,5 mm	8,5 mm	9,5 mm	10,5 mm

TABELUL 1.9

la 6,5 mm de planul masei

6,35	7,6	8,9	10,2	11,5	12,7
15 nH	19 nH	22 nH	26 nH	29 nH	33 nH
1,8 pF	2,2 pF	2,5 pF	2,9 pF	3,3 pF	3,6 pF
0,9 GHz	0,7 GHz	0,6 GHz	0,5 GHz	0,5 GHz	0,6 GHz
18 nH	22 nH	26 nH	30 nH	34 nH	38 nH
1,4 pF	1,7 pF	2 pF	2,3 pF	2,5 pF	2,8 pF
0,9 GHz	0,8 GHz	0,6 GHz	0,6 GHz	0,5 GHz	0,4 GHz
21 nH	26 nH	30 nH	35 nH	40 nH	44 nH
1,2 pF	1,4 pF	1,6 pF	1,9 pF	2,1 pF	2,3 pF
0,9 GHz	0,8 GHz	0,7 GHz	0,6 GHz	0,5 GHz	0,5 GHz
24 nH	29 nH	34 nH	40 nH	45 nH	50 nH
1 pF	1,2 pF	1,4 pF	1,6 pF	1,8 pF	2 pF
0,9 GHz	0,8 GHz	0,7 GHz	0,6 GHz	0,5 GHz	0,5 GHz
27 nH	33 nH	38 nH	44 nH	55 nH	56 nH
0,9 pF	1,1 pF	1,2 pF	1,4 pF	1,6 pF	1,8 pF
1 GHz	0,8 GHz	0,7 GHz	0,6 GHz	0,5 GHz	0,5 GHz
30 nH	36 nH	42 nH	49 nH	55 nH	52 nH
0,8 pF	0,9 pF	1,1 pF	1,3 pF	1,4 pF	1,6 pF
1 GHz	0,8 GHz	0,7 GHz	0,6 GHz	0,5 GHz	0,5 GHz
33 nH	40 nH	47 nH	54 nH	61 nH	67 nH
0,7 pF	0,9 pF	1 pF	1,1 pF	1,3 pF	1,4 pF
1 GHz	0,8 GHz	0,7 GHz	0,6 GHz	0,5 GHz	0,5 GHz
36 nH	43 nH	51 nH	58 nH	66 nH	73 nH
0,7 pF	0,8 pF	0,9 pF	1 pF	1,2 pF	1,3 pF
1 GHz	0,8 GHz	0,7 GHz	0,6 GHz	0,5 GHz	0,5 GHz
38 nH	47 nH	55 nH	63 nH	74 nH	79 nH
0,6 pF	0,7 pF	0,8 pF	1 pF	1,1 pF	1,2 pF
1 GHz	0,8 GHz	0,7 GHz	0,6 GHz	0,5 GHz	0,5 GHz
41 nH	50 nH	59 nH	68 nH	76 nH	85 nH
0,6 pF	0,7 pF	0,8 pF	0,9 pF	1 pF	1,3 pF
1 GHz	0,8 GHz	0,7 GHz	0,6 GHz	0,5 GHz	0,5 GHz
44 nH	54 nH	63 nH	72 nH	82 nH	91 nH
0,5 pF	0,6 pF	0,7 pF	0,8 pF	0,9 pF	1,1 pF
1 GHz	0,8 GHz	0,7 GHz	0,6 GHz	0,5 GHz	0,5 GHz

Inductanță unei linii situate

Diametrul cond. (mm)	Lungimea (cm)	1,25	2,55	3,8	5,1
6,5		3 nH 0,2 pF 3,3 GHz	7 nH 0,4 pF 2,7 GHz	12 nH 0,6 pF 1,7 GHz	17 nH 0,8 pF 1,3 GHz
5,2		3 nH 0,2 pF 6,2 GHz	8 nH 0,4 pF 2,7 GHz	14 nH 0,5 pF 1,7 GHz	19 nH 0,7 pF 1,3 GHz
4,1		4 nH 0,2 pF 6,1 GHz	9 nH 0,3 pF 2,7 GHz	15 nH 0,5 pF 1,7 GHz	21 nH 0,6 pF 1,3 GHz
3,2		4 nH 0,1 pF 6 GHz	10 nH 0,3 pF 2,7 GHz	17 nH 0,4 pF 1,7 GHz	24 nH 0,6 pF 1,3 GHz
2,6		5 nH 0,1 pF 5,9 GHz	11 nH 0,3 pF 2,7 GHz	19 nH 0,4 pF 1,7 GHz	26 nH 0,5 pF 1,3 GHz
2		5 nH 0,1 pF 5,8 GHz	13 nH 0,2 pF 2,7 GHz	20 nH 0,4 pF 1,7 GHz	28 nH 0,5 pF 1,2 GHz
1,6		6 nH 0,1 pF 5,8 GHz	14 nH 0,2 pF 2,6 GHz	22 nH 0,3 pF 1,7 GHz	31 nH 0,5 pF 1,2 GHz
1,3		6 nH 0,1 pF 5,7 GHz	15 nH 0,2 pF 2,6 GHz	24 nH 0,3 pF 1,7 GHz	33 nH 0,4 pF 1,2 GHz
1		7 nH 0,1 pF 5,6 GHz	16 nH 0,2 pF 2,6 GHz	26 nH 0,3 pF 1,7 GHz	35 nH 0,4 pF 1,2 GHz
0,8		7 nH 0,1 pF 5,6 GHz	17 nH 0,2 pF 2,6 GHz	27 nH 0,3 pF 1,7 GHz	38 nH 0,4 pF 1,2 GHz
0,65		8 nH 0,1 pF 5,5 GHz	18 nH 0,2 pF 2,6 GHz	29 nH 0,3 pF 1,7 GHz	40 nH 0,4 pF 1,2 GHz

TABELUL 1.10

ta 13 mm de planul masei

	6,35	7,6	8,9	10,2	11,5	12,7
22	nH	27 nH	32 nH	38 nH	43 nH	48 nH
1	pF	1,2 pF	1,4 pF	1,6 pF	1,8 pF	2 pF
1	GHz	0,8 GHz	0,7 GHz	0,6 GHz	0,5 GHz	0,5 GHz
25	nH	31 nH	36 nH	42 nH	48 nH	54 nH
0,9	pF	1,1 pF	1,2 pF	1,4 pF	1,6 pF	1,8 pF
1	GHz	0,8 GHz	0,7 GHz	0,6 GHz	0,5 GHz	0,5 GHz
28	nH	34 nH	40 nH	47 nH	53 nH	59 nH
0,8	pF	0,9 pF	1,1 pF	1,3 pF	1,4 pF	1,6 pF
1	GHz	0,8 GHz	0,7 GHz	0,6 GHz	0,5 GHz	0,5 GHz
31	nH	37 nH	44 nH	51 nH	58 nH	65 nH
0,7	pF	0,9 pF	1 pF	1,1 pF	1,3 pF	1,4 pF
1	GHz	0,8 GHz	0,7 GHz	0,6 GHz	0,5 GHz	0,5 GHz
33	nH	41 nH	48 nH	56 nH	64 nH	71 nH
0,7	pF	0,8 pF	0,9 pF	1,1 pF	1,2 pF	1,3 pF
1	GHz	0,8 GHz	0,7 GHz	0,6 GHz	0,5 GHz	0,5 GHz
36	nH	44 nH	53 nH	61 nH	69 nH	77 nH
0,6	pF	0,7 pF	0,8 pF	1 pF	1,1 pF	1,2 pF
1	GHz	0,8 GHz	0,7 GHz	0,6 GHz	0,5 GHz	0,5 GHz
39	nH	48 nH	57 nH	65 nH	74 nH	83 nH
0,6	pF	0,7 pF	0,8 pF	0,9 pF	1 pF	1,1 pF
1	GHz	0,8 GHz	0,7 GHz	0,6 GHz	0,5 GHz	0,5 GHz
42	nH	51 nH	61 nH	70 nH	79 nH	89 nH
0,5	pF	0,6 pF	0,7 pF	0,8 pF	0,9 pF	1,1 pF
1	GHz	0,8 GHz	0,7 GHz	0,6 GHz	0,5 GHz	0,5 GHz
45	nH	55 nH	65 nH	75 nH	85 nH	94 nH
0,5	pF	0,6 pF	0,7 pF	0,8 pF	0,9 pF	1 pF
1	GHz	0,8 GHz	0,7 GHz	0,6 GHz	0,5 GHz	0,5 GHz
48	nH	58 nH	69 nH	79 nH	90 nH	100 nH
0,5	pF	0,6 pF	0,7 pF	0,7 pF	0,8 pF	0,9 pF
1	GHz	0,8 GHz	0,7 GHz	0,6 GHz	0,5 GHz	0,5 GHz
51	nH	62 nH	73 nH	84 nH	95 nH	106 nH
0,4	pF	0,5 pF	0,6 pF	0,7 pF	0,8 pF	0,9 pF
1	GHz	0,8 GHz	0,7 GHz	0,6 GHz	0,5 GHz	0,5 GHz

Inductanță unei linii și tuate

Diametru cond. (mm)	Lungimea (cm)	1,25	2,55	3,8	5,1
6,5	3 nH 0,1 pF 7,1 GHz	8 nH 0,3 pF 3 GHz	14 nH 0,4 pF 1,9 GHz	21 nH 0,6 pF 1,3 GHz	
	3 nH 0,1 pF 6,9 GHz	9 nH 0,3 pF 3 GHz	16 nH 0,4 pF 1,8 GHz	23 nH 0,5 pF 1,3 GHz	
	4 nH 0,1 pF 6,7 GHz	10 nH 0,2 pF 2,9 GHz	18 nH 0,4 pF 1,8 GHz	25 nH 0,5 pF 1,3 GHz	
5,2	4 nH 0,1 pF 6,5 GHz	11 nH 0,2 pF 2,9 GHz	19 nH 0,3 pF 1,8 GHz	27 nH 0,5 pF 1,3 GHz	
	5 nH 0,1 pF 6,4 GHz	13 nH 0,2 pF 2,8 GHz	21 nH 0,3 pF 1,8 GHz	30 nH 0,4 pF 1,3 GHz	
	5 nH 0,1 pF 6,3 GHz	14 nH 0,2 pF 2,8 GHz	22 nH 0,3 pF 1,8 GHz	32 nH 0,4 pF 1,3 GHz	
4,1	6 nH 0,1 pF 6,2 GHz	15 nH 0,2 pF 2,8 GHz	24 nH 0,3 pF 1,8 GHz	34 nH 0,4 pF 1,3 GHz	
	7 nH 0,1 pF 6,1 GHz	16 nH 0,2 pF 2,8 GHz	26 nH 0,3 pF 1,8 GHz	37 nH 0,4 pF 1,3 GHz	
	7 nH 0,1 pF 6 GHz	17 nH 0,2 pF 2,7 GHz	28 nH 0,3 pF 1,7 GHz	39 nH 0,4 pF 1,3 GHz	
3,2	8 nH 0,1 pF 5,9 GHz	18 nH 0,2 pF 2,7 GHz	30 nH 0,2 pF 1,7 GHz	41 nH 0,3 pF 1,3 GHz	
	8 nH 0,1 pF 5,8 GHz	19 nH 0,2 pF 2,7 GHz	31 nH 0,2 pF 1,7 GHz	44 nH 0,3 pF 1,3 GHz	
2,6					
2					
1,6					
1,3					
1					
0,8					
0,65					

TABELUL 1.11

la 25 mm de planul masei

6,35	7,6	8,9	10,2	11,5	12,7
27 nH 0,7 pF 1 GHz	34 nH 0,9 pF 0,9 GHz	41 nH 1 pF 0,7 GHz	47 nH 1,1 pF 0,6 GHz	54 nH 1,3 pF 0,6 GHz	61 nH 1,4 pF 0,5 GHz
30 nH 0,7 pF 1 GHz	37 nH 0,8 pF 0,9 GHz	45 nH 0,9 pF 0,7 GHz	52 nH 1,1 pF 0,6 GHz	59 nH 1,2 pF 0,6 GHz	67 nH 1,3 pF 0,5 GHz
33 nH 0,6 pF 1 GHz	41 nH 0,7 pF 0,8 GHz	49 nH 0,8 pF 0,7 GHz	57 nH 1 pF 0,6 GHz	65 nH 1,1 pF 0,6 GHz	73 nH 1,2 pF 0,5 GHz
36 nH 0,6 pF 1 GHz	44 nH 0,7 pF 0,8 GHz	53 nH 0,8 pF 0,7 GHz	61 nH 0,9 pF 0,6 GHz	70 nH 1 pF 0,5 GHz	78 nH 1,1 pF 0,5 GHz
39 nH 0,5 pF 1 GHz	48 nH 0,6 pF 0,8 GHz	57 nH 0,7 pF 0,7 GHz	66 nH 0,8 pF 0,6 GHz	75 nH 0,9 pF 0,5 GHz	84 nH 1,1 pF 0,5 GHz
41 nH 0,5 pF 1 GHz	51 nH 0,6 pF 0,8 GHz	61 nH 0,7 pF 0,7 GHz	71 nH 0,8 pF 0,6 GHz	80 nH 0,9 pF 0,5 GHz	90 nH 1 pF 0,5 GHz
44 nH 0,5 pF 1 GHz	55 nH 0,6 pF 0,8 GHz	65 nH 0,7 pF 0,7 GHz	75 nH 0,7 pF 0,6 GHz	86 nH 0,8 pF 0,5 GHz	96 nH 0,9 pF 0,5 GHz
47 nH 0,4 pF 1 GHz	58 nH 0,5 pF 0,8 GHz	69 nH 0,6 pF 0,7 GHz	80 nH 0,7 pF 0,6 GHz	91 nH 0,8 pF 0,5 GHz	102 nH 0,9 pF 0,5 GHz
50 nH 0,4 pF 1 GHz	62 nH 0,5 pF 0,8 GHz	73 nH 0,6 pF 0,7 GHz	85 nH 0,7 pF 0,6 GHz	96 nH 0,8 pF 0,5 GHz	108 nH 0,8 pF 0,5 GHz
53 nH 0,4 pF 1 GHz	65 nH 0,5 pF 0,8 GHz	77 nH 0,6 pF 0,7 GHz	89 nH 0,6 pF 0,6 GHz	101 nH 0,7 pF 0,5 GHz	114 nH 0,8 pF 0,5 GHz
56 nH 0,4 pF 1 GHz	69 nH 0,5 pF 0,8 GHz	81 nH 0,5 pF 0,7 GHz	94 nH 0,6 pF 0,6 GHz	107 nH 0,7 pF 0,5 GHz	119 nH 0,8 pF 0,5 GHz

1.3. DISPOZITIVE SEMICONDUCTOARE

Tabelul 1.12 sintetizează principalele caracteristici ale dispozitivelor semiconductoare.

Caracteristicile principalelor dispozitive semiconductoare

TABELUL 1.12

Denumirea dispozitivului	Symbolul	Schemă generală pentru funcționare	Proprietăți electrice	Principalele utilizări
Diodă sau redresor			Intr-un sens conduce, în sens invers blochează	Redresare, detectare, comandă
Diода ZENNER			În cadrul negativ are caracteristica de tensiune constantă	Reglare, referință, tăiere
Regulator de tensiune integrat			Prin două rezistențe I_K este reglat pentru tensiunea dorită	Regulator de tensiune, element de referință, modulator de eroare, sestor de nivel
Dioda tunnel			Are rezistență negativă, cind curentul depășește I_P .	Circuite logice, circuite de microonde, sesizor de nivel

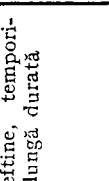
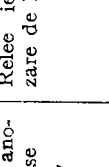
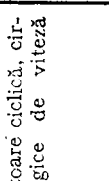
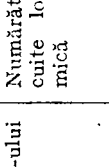
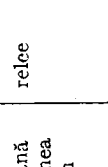
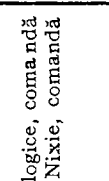
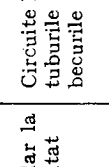
TABELUL 1.12 (continuare)

Denumirea dispozitivului	Simbol	Schela generală pentru jocuri	Proprietăți electrice	Principalele utilizări
Dioda de curent invers			$\frac{U_A(t-j)}{U_A(t+j)}$	Seamănă cu dioda obișnuită, dar în sens invers este de tensiune mică
Tirector (două diode ZENNER legate în sens invers)			$\frac{U}{U_A(t-j)}$	Într-un sens în funcție de tensiunea nominală are curent repede cresător
Tranzistor NPN			I_C I_{C1} I_{C2} I_{C3} I_{C4} I_{C5} I_{C6} $U_{CE}(-)$	La o comandă dată prin bază curentul de colectare este constant
Tranzistor PNP			I_C I_{C1}' I_{C2}' I_{C3}' I_{C4}' I_{C5}' I_{C6}' $U_{CE}(+)$	Complementar tranzistorului NPN
Tranzistor cu efect de cimp (FET)			I_D U_{DS1} U_{DS2} U_{DS3} U_{DS4} U_{GS}	Amplificator, comutator, oscillator

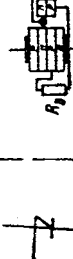
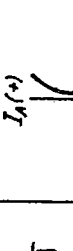
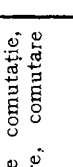
TABEЛUJ 1.12. (continuare)

Denumirea dispozitivului	Simbolul	Schela generală pentru jonctuni	Proprietăți electrice	Prințiale utilizări
Fototranzistor			 Lumina incidentă se transformă în curent de bază	Citire de benzi, citire de cartele, sesizor de pozitie, tachometru
Tranzistor unijonctiune (TUJ)			 Tranzistorul este blocat pînă cînd tensiunea atinge U_ce, după aceea conduce	Temporizare, oscilațioare, sesizare de nivel
Tranzistor unijonctiune complementar (CTUJ)			 Din punct de vedere al funcționării este complementar TUJ-ului	Relee de timp de mare stabilitate
Tranzistor unijonctiune programabil (TUP)			 Cu 2 rezistențe se programază U_ce, I_ce și I_valoare. Funcționarea e echivalentă cu TUJ-ul	Comutator de putere, invertor, chopper

TABELUL 1.12 (continuare)

Denumirea dispozitivului	Simbolul	Schimba generală pentru jonctuni	Proprietăți electrice	Principalele utilizări
SCR			I_A  $U_{AK}(-)$ $U_A(+)$	În caz de tensiune anodă pozitivă SCR se poate comuta cu I_A
CSCR			I_A  $U_{AK}(-)$ $U_A(+)$	Complementar SCR-ului Numărătcare ciclică, circuite logice de viteză mică
LASCR			I_A  $U_{AK}(-)$ $U_A(+)$	Funcționarea seamănă cu SCR. Sub acțiunea luminii este adus în stare de conductie
Comutator siliciu comandabil (SCS)			I_A  $U_{AK}(-)$ $U_A(+)$	Seamănă cu SCR dar la anod poate fi comutat cu semnal negativ

TABELUL 1.12 (continuare)

Denumirea dispozitivului	Simbolul	Schimba generală pentru jonejuni	Proprietăți electrice	Principalele utilizări
Comutator siliciu unilateral (SUS)			$I_A^{(+)}$ 	Asemănător cu SCS cu diodă ZENNER. La 8 V conduce
Comutator siliciu bilateral (SBS)			$I_A^{(+)}$ $U_{A2}^{(-)}$ 	Varianta simetrică bilaterală a SUS
TRIAC			$I_A^{(+)}$ $U_{A2}^{(-)}$ 	Funcționează ca și SCR, dar în ambele sensuri poate fi comandat de semnal de poziție sau negativ
DIAC				Cind tensiunea ajunge la nivel de comutare (aprox. 35 V) atunci dispozitivul comută brusc la 10 V

1.3.1. Aplicații tipice ale amplificatoarelor operaționale

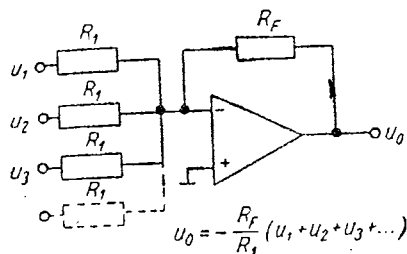


Fig. 1.16. NUMĂRATOR

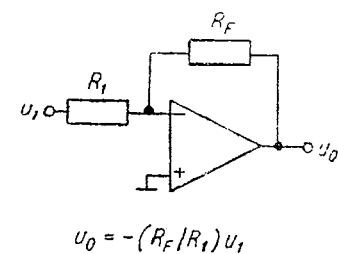


Fig. 1.20. AMPLIFICATOR

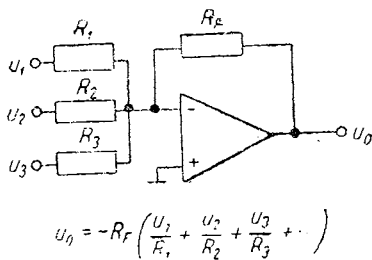


Fig. 1.17. DIVIZOR

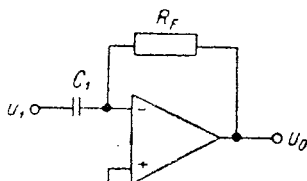


Fig. 1.18. DIFERENȚIATOR

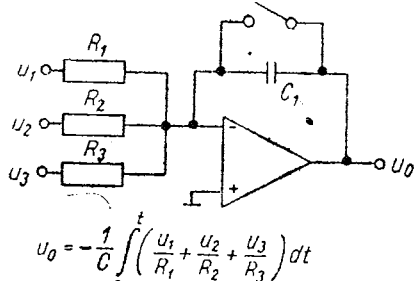


Fig. 1.19. INTEGRATOR

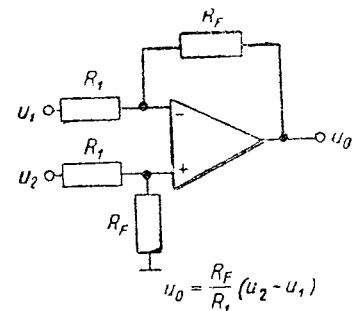
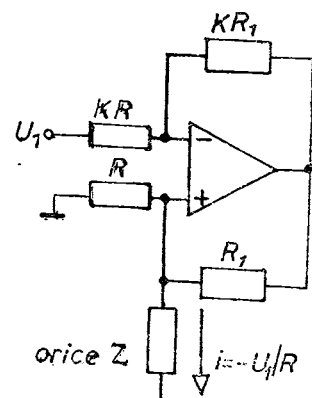
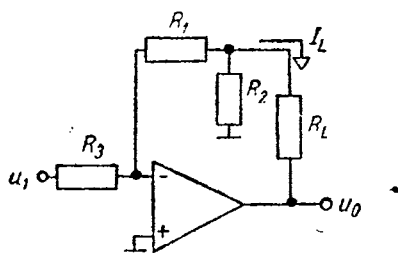


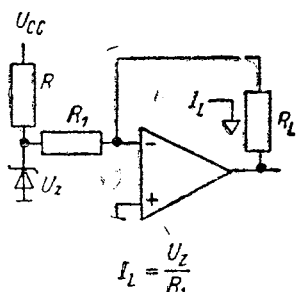
Fig. 1.21. SCAZATOR

Fig. 1.22.
INIECȚIE CURENT



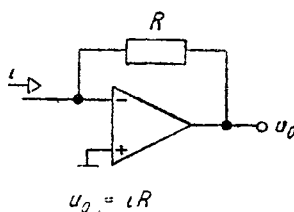
$$I_L = u_i \left[\frac{R_1(R_2 + R_3)}{R_1 R_2 R_3} \right]$$

Fig. 1.23. GENERATOR I
CONSTANT MARE



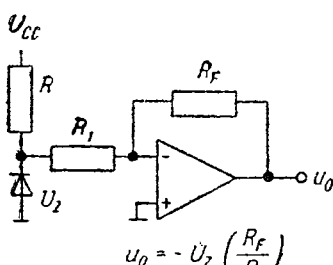
$$I_L = \frac{U_2}{R_1}$$

Fig. 1.24. GENERATOR I
CONSTANT



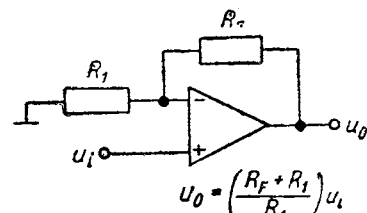
$$u_o = u_i R$$

Fig. 1.25. CONVERTOR I-U



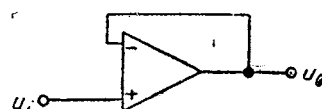
$$u_o = - U_2 \left(\frac{R_F}{R_1} \right)$$

Fig. 1.26. GENERATOR U
CONSTANT



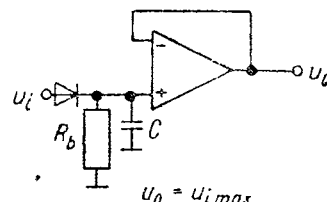
$$u_o = \left(\frac{R_F + R_f}{R_f} \right) u_i$$

Fig. 1.27. REPETOR-AMPLIFICATOR



$$u_o / u_i = +1$$

Fig. 1.28. REPETOR



$$u_o = u_{i\max}$$

Fig. 1.29. REPETOR U VIRF

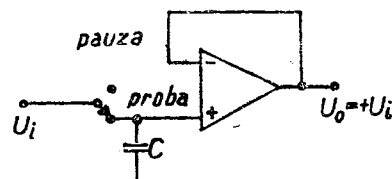


Fig. 1.30. TESTOR C

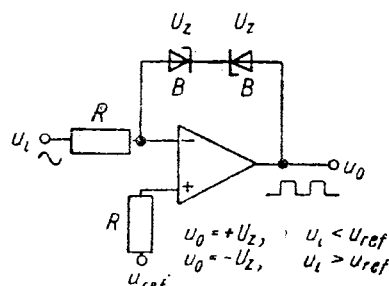


Fig. 1.31. COMPRESOR U

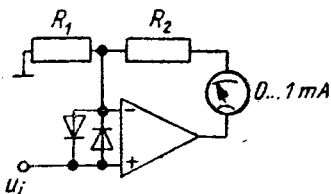


Fig. 1.32. MÄSURARE I MARE

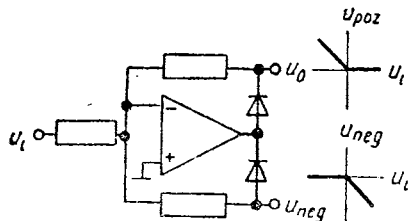


Fig. 1.33. SEPARATOR POLARITATE

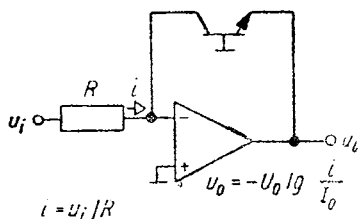
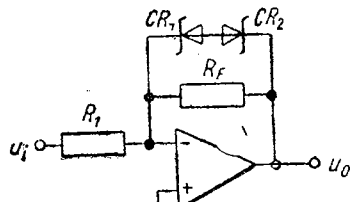
Fig. 1.34.
CIRCUIT LOGARITMARE

Fig. 1.35. LIMITATOR

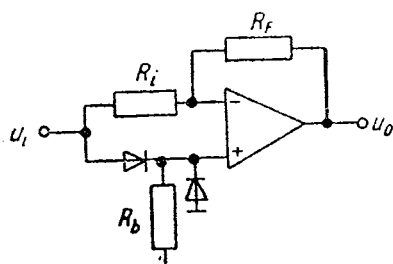
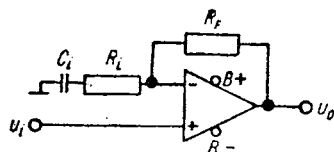
Fig. 1.36. AMPLIFICATOR
VALOARE ABSOLUTÄ

Fig. 1.37. RAA

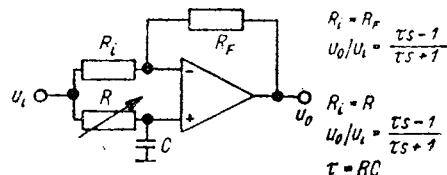
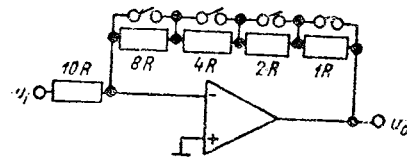
Fig. 1.38. AMPLIFICATOR CU
INTIRZIERE REGLABILĂ

Fig. 1.39. CONVERTOR D/A

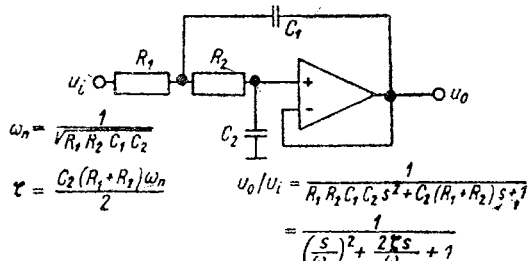
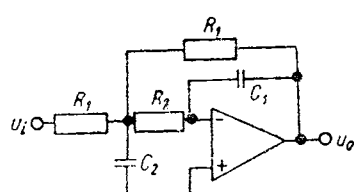


Fig. 1.40. FILTRU ACTIV TRECE JOS (2 POLI)

Fig. 1.41. AMPLIFICATOR
(caract. transfer de ordinul 2)

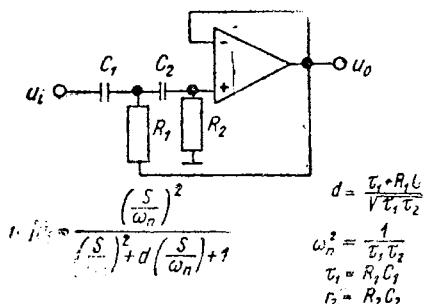


Fig. 1.42. FILTRU ACTIV TRECE SUS (2 POI)

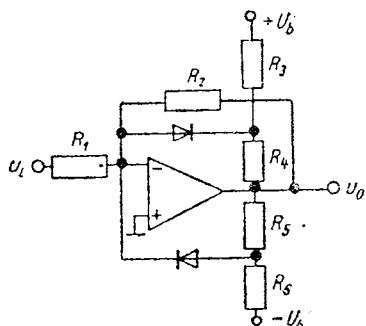


Fig. 1.43. PROTECTIE LA SUPRASARCINI

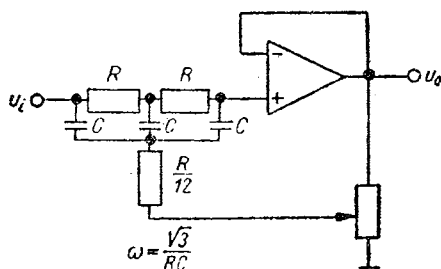


Fig. 1.44. FILTRU ACTIV TRECE BANDA

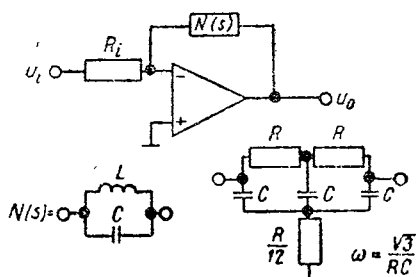


Fig. 1.45. AMPLIFICATOR TRECE BANDA

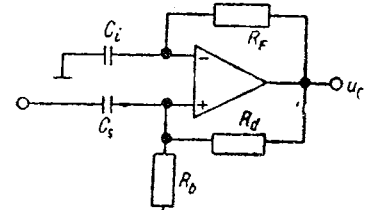


Fig. 1.46. DIVIZOR FRECVENȚĂ

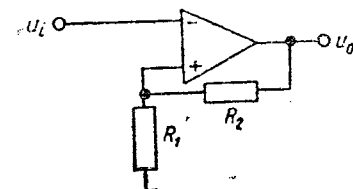


Fig. 1.47. TRIGER SCHMITT

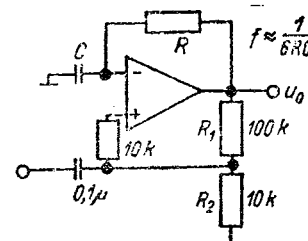


Fig. 1.48. MULTIVIBRATOR

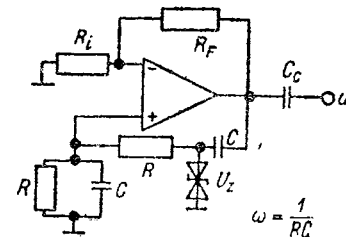


Fig. 1.49. OSCILATOR CU PUNTE WIEN

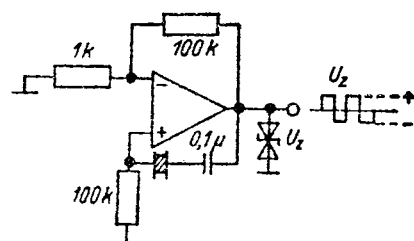


Fig. 1.50. OSCILATOR CU CUART

1.3.2. Circuite cu tranzistoare

TABELUL 1.13

Regimurile de funcționare a tranzistoarelor bipolare

Denumirea	Valoarea parametrii	Polarizare juncție emitor	Polarizare juncție colector	Condiții suplimentare		
				BC	EC	CC
Regim activ normal	$u_{CB} < 0$ $i_E > 0$ $u_{EB} > 0$	direct	invers	—	—	$U_{BC} > U_{EC}$
Regim de tăiere (blockare)	$u_{CB} < 0$ $i_E \leq 0$	invers	invers	—	—	—
Regim de saturare	$u_{CB} > 0$ $I_E > 0$ $u_{EB} > 0$	direct	direct	—	$U_{CE} < U_{CB}$	—

La calculul etajelor de curent continuu cu tranzistor are săt utile următoarele relații, care corespund fig. 1.51.

$$A_i = \frac{\Delta i_c}{\Delta i_b} \approx \frac{h_{21e}}{1 + h_{22e} R_s}$$

$$R_{in, tr} = \frac{\Delta h_e + h_{22e} R_E + (h_{11e} + h_{21e} R_B) \frac{1}{R_s}}{h_{22e} + \frac{1}{R_B}}$$

$$R_{ies} = \frac{1}{h_{22e}}$$

Stabilitatea în funcționare pentru amplificatoarele de curent continuu cu tranzistor este caracterizată de deriva la intrare.

Deriva la intrare reprezintă curentul echivalent $\Delta i_{in, tr}$ la intrarea tranzistorului primului etaj, care produce același efect la ieșire ca cel datorat modificării condițiilor de lucru (de ex. temperatura).

Cu ajutorul nomogramei din fig. 1.52 se pot calcula elementele circuitului de bază și de emitor.

Cu ajutorul tranzistoarelor pot fi realizate diverse tipuri de asemenea și circuite. În tabelul 1.14, săt cuprinse schemele acestor circuite precum relațiile de calcul pentru elementele lor.

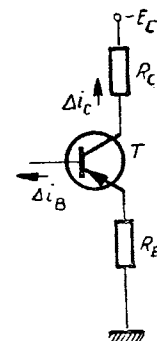


Fig. 1.51.

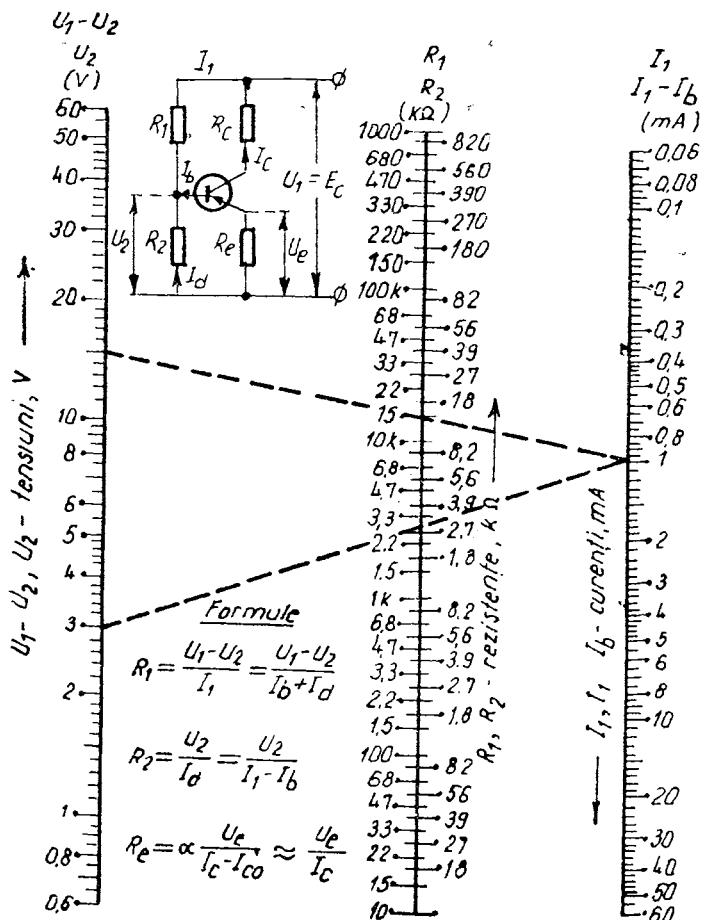


Fig. 1.52.

TABELUL 1.14

Relații de calcul pentru elementele circuitelor de polarizare

<p>Circuitul general de polarizare cu două surse</p>	$\Delta I_C = S_1 \Delta I_{CBO} + S_V \Delta V_{BE} + S_\beta \Delta \beta$ $S_1 = 1 + \frac{\beta R_B}{Z}; \quad S_V = -\frac{\beta}{Z}; \quad S_\beta = \frac{R_B I_B}{Z}$ $Z = R_B + (\beta + 1) R_B$	
<p>Circuite particulare de polarizare cu o singură sursă</p>		
<p>Relații de legătură între elementele circuitelor particulare și elementele circuitului general de polarizare</p>	$E_{CC} = E_C = E_B$ $R_1 = R_C$ $R_2 = \frac{E_C}{E_C - E_B} R_F$ $R_3 = \frac{E_C}{E_B} R_B$ $R_4 = R_E$	$E_{CC} = E_C = E_B$ $R_1 = R_E$ $R_2 = R_B$ $R_3 = \frac{E_C}{E_B} (R_B - R_L)$ $R_4 = R_E$

1.3.3. Radiatoare

Rezistență termică a sursei de căldură-mediu ambient (aer) în montarea verticală (fig. 1.53), cînd elementul vertical de răcire are orificii de răcire, este :

$$\theta_{sm} = \frac{1}{2I^2\eta(K_c + K_r)} [^\circ C/W],$$

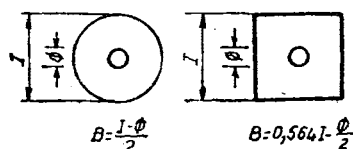


Fig. 1.53.

unde I este înălțimea elementului de răcire ;
 K_c — coeficientul de transfer al căldurii prin convecție ;

$$K_c = 3,425 \cdot 10^{-4} \left(\frac{T_s - T_m}{I} \right)^{1/4} [W/cm^2 \cdot ^\circ C];$$

K_r — coeficientul de transfer al căldurii prin radiație .

$$K_r = 2,278 \cdot 10^{-11} R \left(\frac{T_s - T_m}{2} + 273 \right)^3 [W/cm^2 \cdot ^\circ C];$$

T_s — temperatura sursei de căldură [°C]

T_m — temperatura mediului ambient [°C] ;

R — coeficientul de radiație a suprafeței ;

η — factor de corecție, numit coeficient de eficacitate a transferului de căldură a elementului de răcire și care depinde de grosimea, formă, conductia termică etc. a elementului mecanic prin care are loc transferul de căldură de la sursa caldă la mediul ambient ; se determină cu ajutorul nomogramei din figura 1.54.

(C —conductivitatea termică a materialului pentru elementul de răcire)

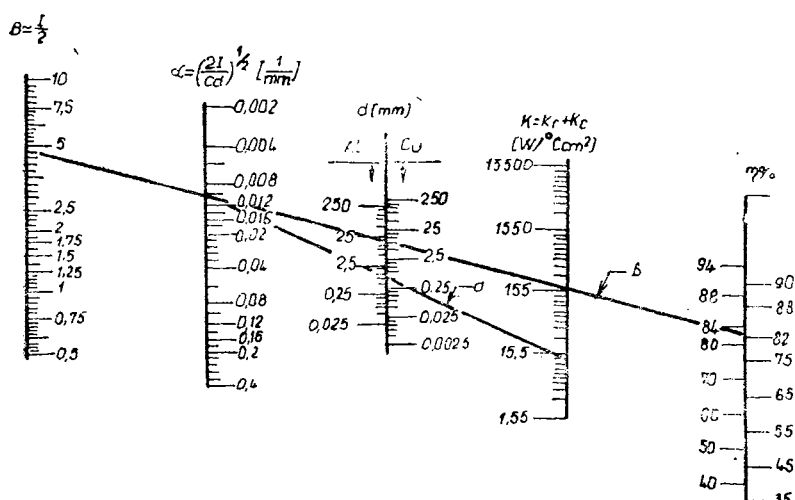


Fig. 1.54.

Nomograma de calcul a coeficientului de transfer al căldurii se utilizează plecind de la alegerea aproximativă a înălțimii I . Se calculează apoi coeficientii de transfer al căldurii prin convecție și prin radiație, $K = K_c + K_r$.

Se determină α din valorile înălțimii alese I și a grosimii elementului de răcire d (linia a , fig. 1.54). Se determină γ pentru valorile lui B , (fig. 1.54) și ale lui α (linia b). Valorile lui γ astfel determinate sunt valabile pentru montarea verticală a elementului de răcire (cu $I >> \emptyset$) în aer. Pentru alte condiții, γ trebuie modificat după cum urmează :

- montare orizontală — se înmulțește K_c cu 0,7 ;
- montare orizontală cu una din fețele elementului de răcire — se înmulțește γ cu 0,5 și K_c cu 0,94 ;
- pentru elementele de răcire dreptunghiulare cu raportul laturilor $2 : 1$, se înmulțește K cu 0,8 ;
- pentru elementele de răcire nesimetrice, la care sursa de căldură este montată la unul din capete — se înmulțește γ cu 0,7 ;

C A P I T O L U L II

C I R C U I T E

2.1. CIRCUITE ÎN CURENT CONTINUU ȘI CURENT ALTERNATIV

Pentru calculul rapid al legii lui Ohm se poate utiliza nomograma din figura 2.1.

Tensiunea pe porțiunea de circuit care conține câteva rezistențe conectate în serie este egală cu suma căderilor de tensiune de pe fiecare rezistență :

$$U_{tot} = U_1 + U_2 + \dots + U_n = IR_1 + IR_2 + \dots + IR_n.$$

$$E = U + u_0 = IR + Ir_0; \quad u_0 = I r_0.$$

unde :

U este căderea de tensiune pe porțiunea externă a circuitului, în V ;
 u_0 — căderea de tensiune în interiorul sursei de tensiune electromotoare (t.e.m.) în V .

Curenții care parcurg rezistențele legate în paralel sunt proporționali cu aceste rezistențe :

$$\frac{I_1}{I_2} = \frac{R_2}{R_1}; \quad \frac{I_2}{I_3} = \frac{R_3}{R_2}; \quad \dots \quad \frac{I_{m-1}}{I_m} = \frac{R_m}{R_{m-1}}.$$

Cîteva surse legate în serie pot fi înlocuite prin una singură a cărei t.e.m. este :

$$E_{tot} = E_1 + E_2 + \dots + E_n,$$

iar rezistența internă :

$$r_{tot} = r_{01} + r_{02} + \dots + r_{0n}.$$

Pentru circuite complexe care conțin noduri și ochiuri sunt valabile legile lui Kirchhoff.

Conform primei legi a lui Kirchhoff, suma algebraică a curenților care intră în nod și care ies din nod este egală cu zero :

$$\Sigma I = 0.$$

În formulă se adoptă semnul pozitiv pentru curenții care intră în nod și negativ pentru cei care ies.

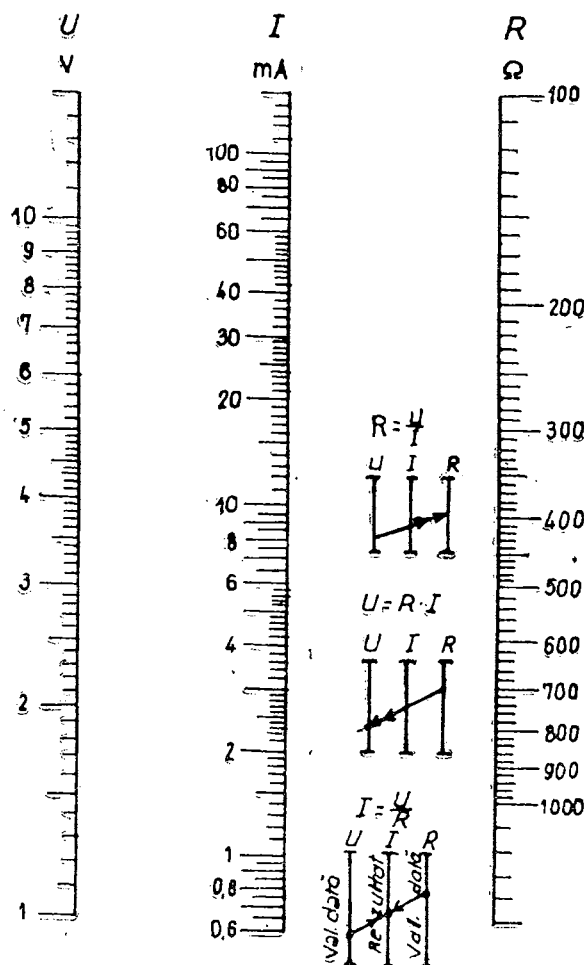


Fig. 2.1.

Conform celei de a doua legi a lui Kirchhoff suma algebraică a tuturor t.e.m. este egală cu suma algebraică a căderilor de tensiune pe toată rezistența acestui circuit :

$$\Sigma E = \Sigma U.$$

În formulă ca valoare pozitivă se iau t.e.m. și căderile de tensiune care coincid cu sensul arbitrar ales.

Având la dispoziție o sursă de o anumită tensiune și vrem să obținem o altă tensiune folosim **divizoare de tensiune**. Aceste divizoare pot fi de trei tipuri din punct de vedere al funcționării :

- fără consum în sarcină

b) cu consum în sarcină

c) reglabil

În figura 2.2 se prezintă schematică aceste trei structuri.

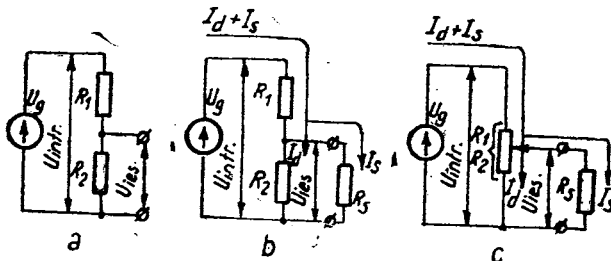


Fig. 2.2.

Pentru ca un divizor de tensiune să poată fi considerat fără consum în sarcină, este acceptat curentul prin el de cel puțin 100 ori mai mare decât curentul care curge prin rezistența de sarcină. Dacă valoarea curentului prin rezistența de sarcină este mică, condiția de mai sus este ușor de îndeplinit. Curentul care curge prin divizorul de tensiune trebuie să nu depășească curentul maxim admisibil al sursei de alimentare și să nu determine complicații însemnante ale schemei. Divizoarele de tensiune pot fi atât rezistive cât și capacitive (fig. 2.3).

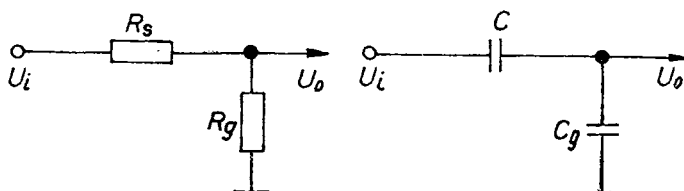


Fig. 2.3.

Nomograma din fig. 2.4 permite aflarea valorilor componentelor din divizoare rezistive și capacitive. Relațiile valabile pentru fig. 2.3 a și b sunt :

$$\frac{U_o}{U_i} = \frac{R_g}{R_g + R_s} \text{ sau } \frac{U_o}{U_i} = \frac{C_s}{C_s + C_g}$$

Pentru extinderea domeniului de valori cele două scări pot fi multiplicate cu aceleași puteri ale lui 10, fără a se modifica valorile de pe scara din mijloc.

Exemplu : 1. Un oscilator blocking trebuie blocat printr-un divizor montat între tensiunea negativă de alimentare și masă. Tensiunea de blocare este -15 V, tensiunea negativă de alimentare 150 V, iar rezistența grilă-masă 22 Kohmi. Rezultă $U_o/U_i = 0,1$. Unind punctul 22 de pe scala

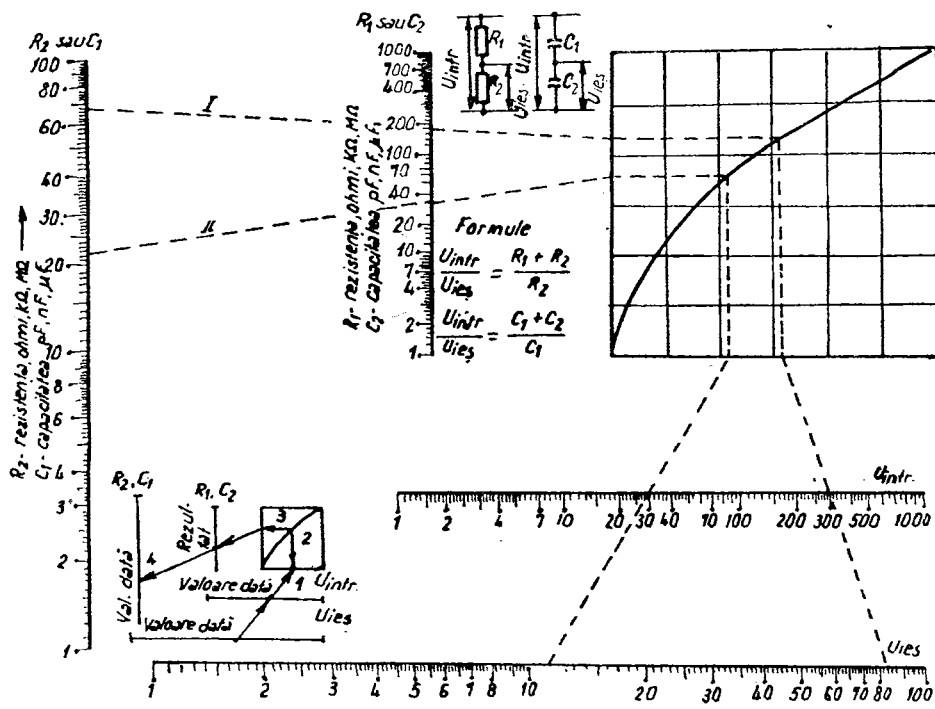


Fig. 2.4.

R_g cu valoarea U_e/U_t , pe scara R , obținem valoarea 20, ceea ce corespunde la 200 Kohmi, deoarece s-a multiplicat cu 10 valorile celor două scări.

2. Pentru a obține un atenuator 5 : 1 folosit într-un circuit de testare RF, se rotește dreapta în jurul punctului 0.2, aflind pentru C_1 30 pF, iar pentru C_2 7,5 pF.

Obs. Diviziunile mai mari de pe scările din stînga și dreapta indică valori cu toleranță $\pm 10\%$, iar diviziunile mai mici valori cu toleranță $\pm 5\%$.

Un parametru important care caracterizează circuitele tip RC sau RL este **constantă de timp**.

Constanta de timp a circuitului caracterizează timpul de încărcare și descărcare a acumulatorului de energie — condensatorul sau bobina, cuplate în circuit. Dacă circuitul este compus din rezistență și capacitate, atunci constanta de timp se calculează cu formula :

$$\tau = RC,$$

unde : R este rezistența circuitului, în Ω ;

C — capacitatea, în F .

La încărcarea condensatoarelor prin rezistență tensiunea pe condensator într-un moment oarecare poate fi determinată cu formula :

$$u_c = F(1 - e^{-\frac{t}{\tau}}) [V],$$

unde : t este timpul de încărcare al condensatorului, în s
 $e=2,73$.

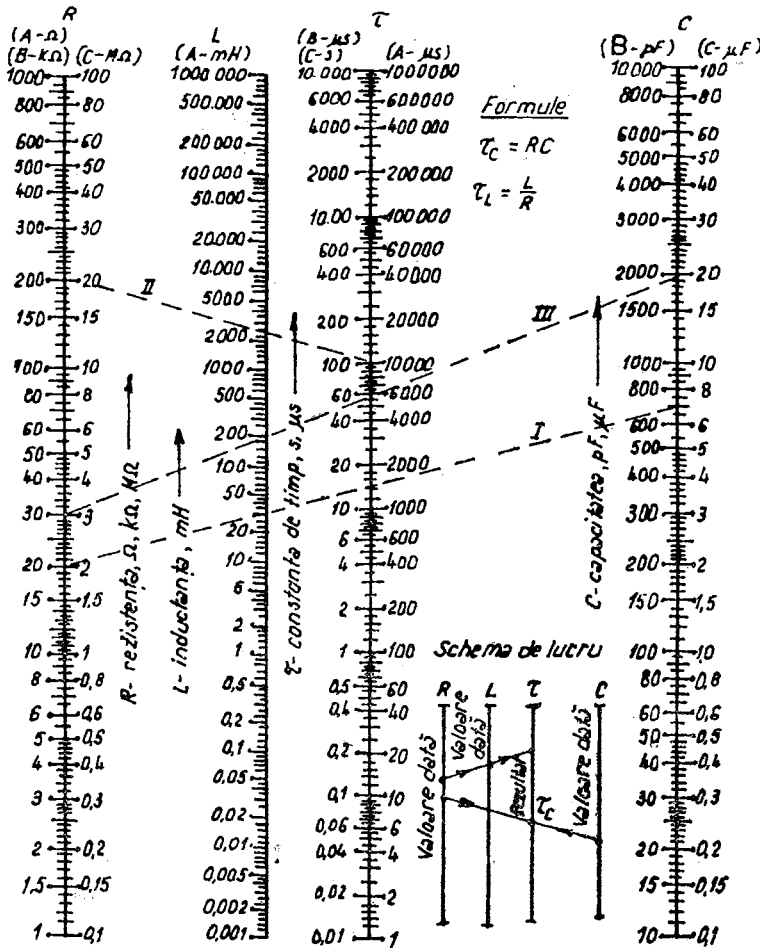
Curentul de încărcare al condensatorului, în orice moment, este :

$$i = \frac{E}{R} e^{-\frac{t}{\tau}} [A].$$

Constanta de timp pentru circuitul RL se calculează cu formula

$$\tau = \frac{L}{R}$$

Cu ajutorul nomogramei din figura 2.5 se poate afla τ pentru RC și RL în funcție de valorile elementelor circuitului.



Nomograma din fig. 2.6 permite determinarea constantei de timp pe baza relației $T = RC$; T reprezentând durata necesară ca tensiunea pe condensator să se schimbe cu un factor de 2.

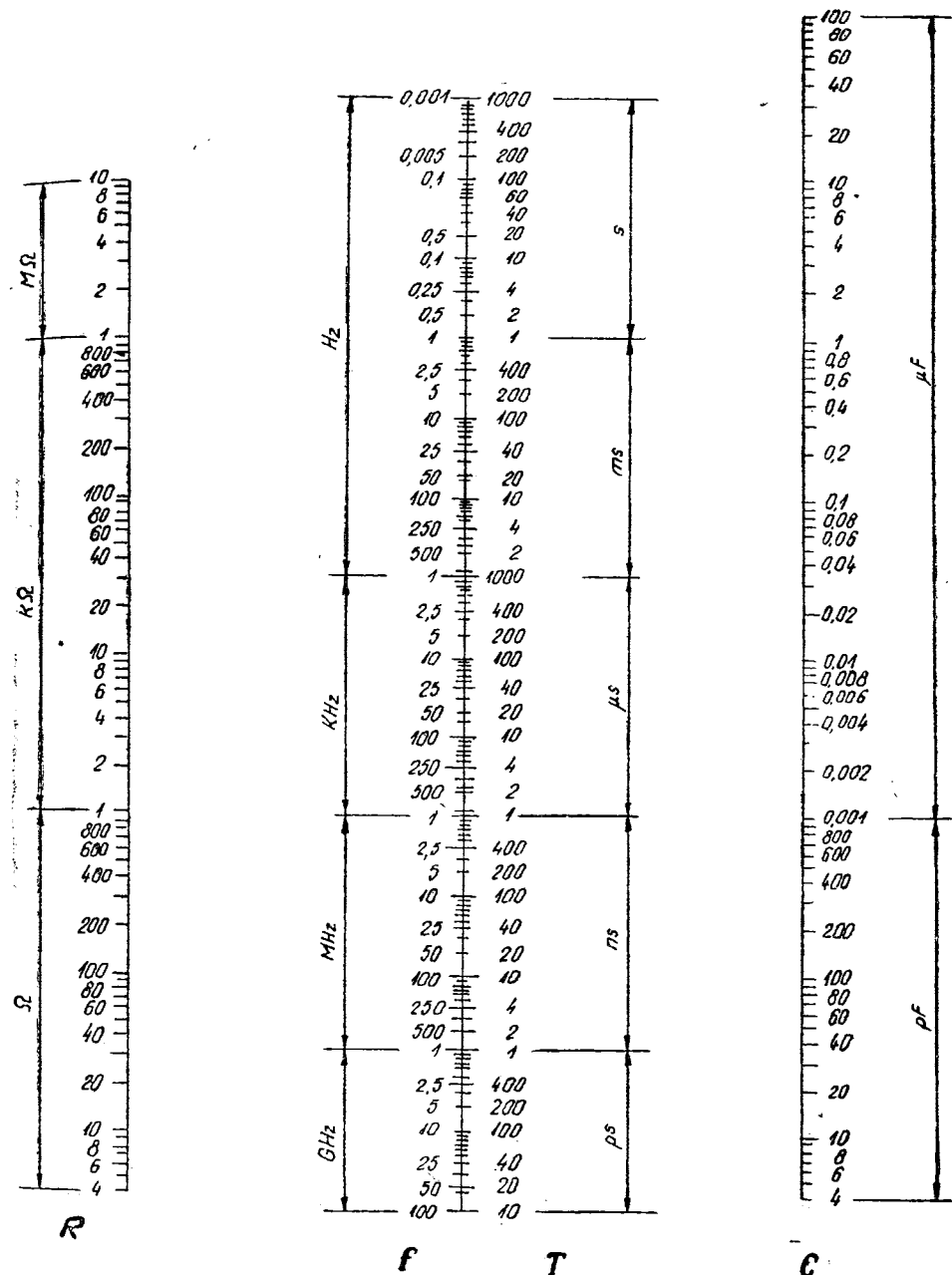


Fig. 2.6.

satorul C (din montajul serie RC), să atingă 63,2% din valoarea tensiunii aplicate pe montaj.

Exemplu : O constantă de timp de 10 ms se poate realiza cu o rezistență de 1 Mohm și un condensator de $10 \mu F$.

Nomograma din fig. 2.7 permite determinarea, în cazul unui circuit serie RC , a timpului necesar ca U_{iesire} să atingă un anumit procent din tensiunea de salt aplicată la intrare, sau ce procent din tensiunea de la intrare apare la ieșire după un anumit timp. La baza nomogramei se află relația :

$$\frac{U_0}{U_i} = 1 - e^{-t/RC}$$

Exemplu : Să determinăm durata în care un condensator de $5\ 000 \mu F$ se încarcă la 400 V printr-o rezistență de 1 Kohm, dacă tensiunea de alimentare este 450 V. Din nomogramă (fig. 2.7) rezultă că pentru atingerea unui procent de 88,5% (atât reprezentă 400 V față de 450 V) din tensiunea de alimentare, este necesar un timp egal cu 2,2 ori constanta de timp. Pe baza nomogramei din fig. 2.6 valoarea constantei de timp pentru exemplul nostru este de 5 s. Deci, pentru încărcarea condensatorului la 400 V sunt necesare 11 sec.

O altă mărime caracteristică a circuitelor liniare este puterea.

Energia produsă de curentul electric parcurgind o rezistență, în unitatea de timp se numește putere.

Puterea poate fi calculată cu formulele :

$$P = IU = I^2R = \frac{U^2}{R} [\text{W}]$$

Rândamentul poate fi calculat cu formula :

$$\gamma = \frac{P_u}{P} \cdot 100 \%]$$

Nomograma din figura 2.8 se folosește la calculul puterii în funcție de ceilalți parametri ai circuitului și invers.

Exemplu : dacă la bornele unei rezistențe de $1,2\ k\Omega$ se măsoară o tensiune de 4,3 V, se poate deduce că mărimea curentului este de 3,6 mA și că puterea consumată este de 15,4 mW.

Dacă printr-un circuit trece un curent alternativ, intervin alți parametri care caracterizează comportarea circuitului, de exemplu reactanța inductivă X_L , reactanța capacitativă X_C impedanța totală a circuitului Z , etc.

Din punct de vedere constructiv deosebim **circuitele serie și circuitele paralel** (fig. 2.9 a respectiv b).

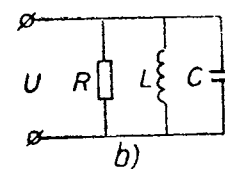
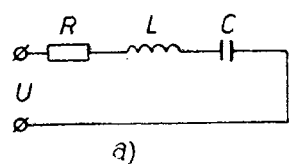
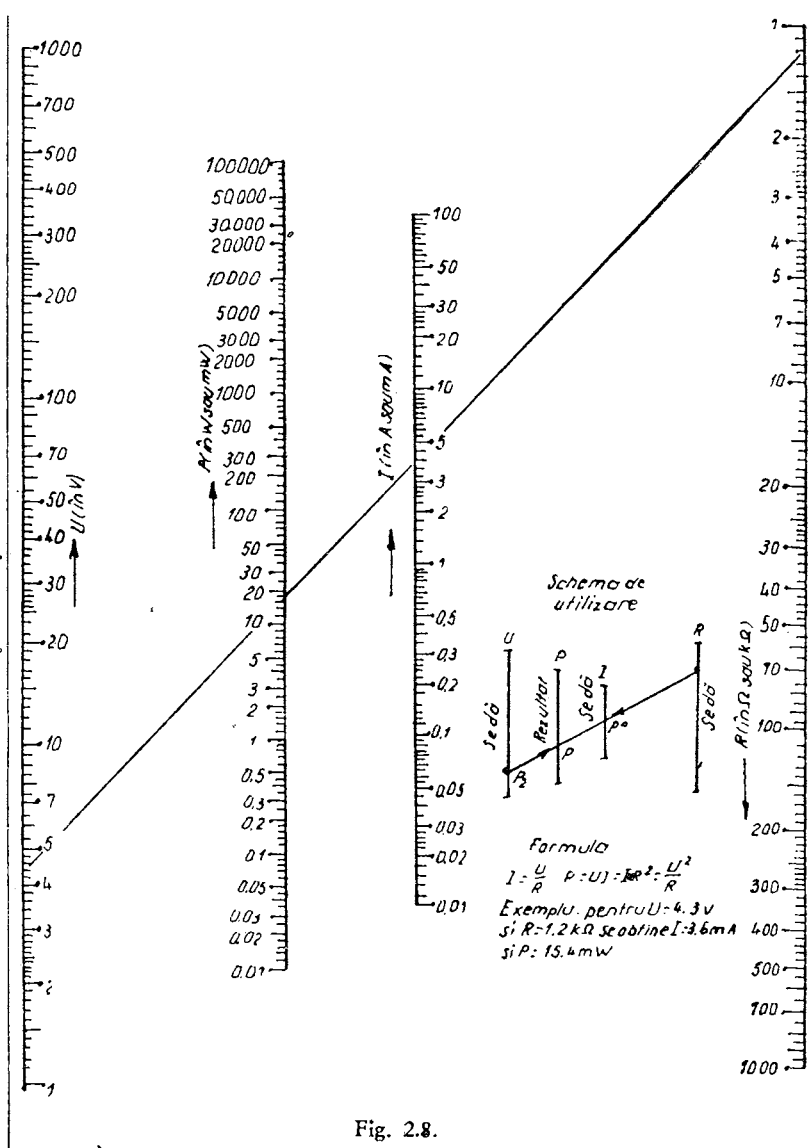
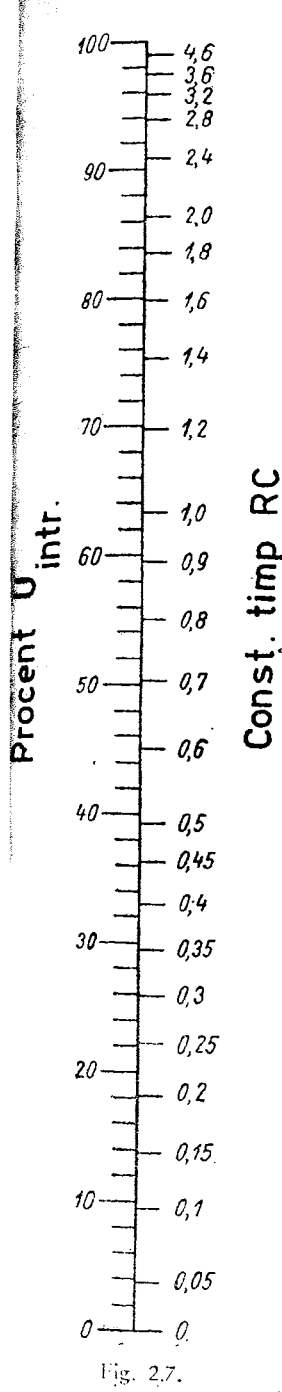


Fig. 2.9.

TABELUL 2.1

Impedanțele serie și paralel ale montajelor R, L, C

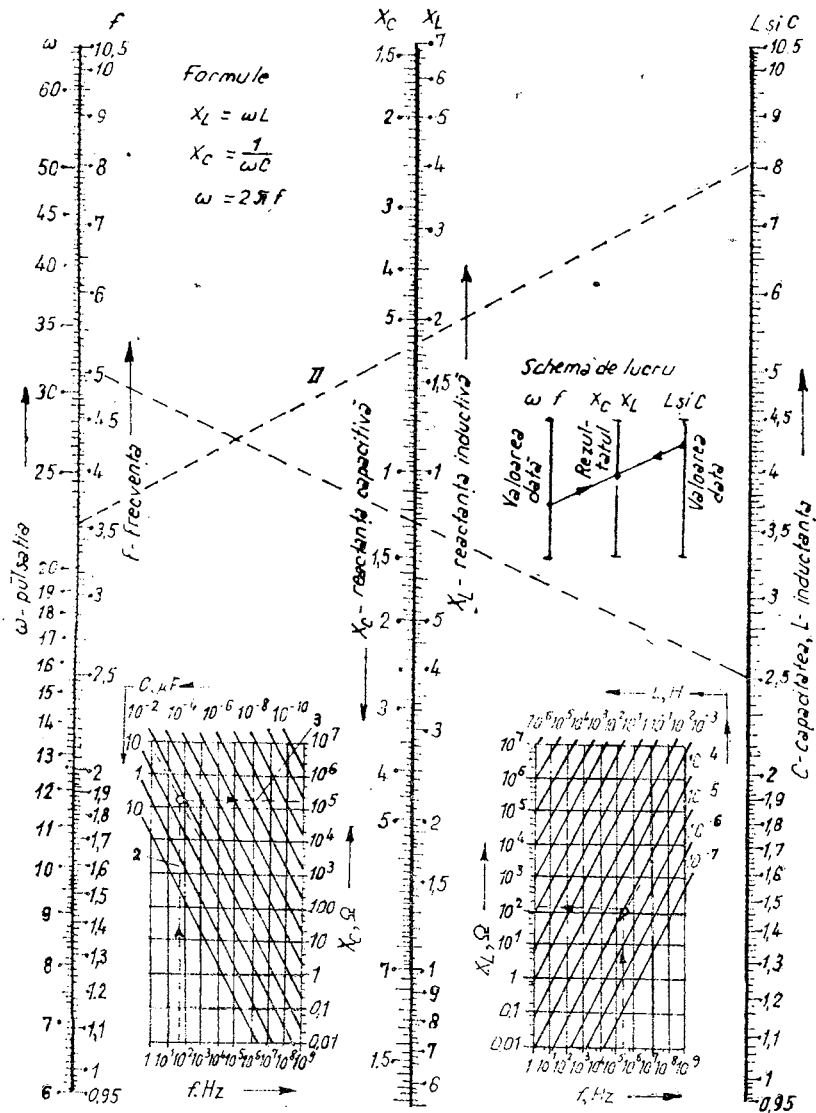
Montaj	Simbol	Impedanță ($Z = R + jX$)	Val. abs. a impedanței ($ Z = \sqrt{R^2 + X^2}$)	Unghiu de fază ($\Phi = \arctg(X/R)$)	Admitanță ($Y = 1/Z$)
	R	R	R	0	$1/R$
	L	$+j\omega L$	ωL	$+\pi/2$	$-j(1/\omega L)$
	C	$-j(1/\omega C)$	$1/\omega C$	$-\pi/2$	$j\omega C$
	$R_1 + R_2$	$R_1 + R_2$	$R_1 + R_2$	0	$1/(R_1 + R_2)$
	$L_1(M)L_2$	$-j\omega(L_1 + L_2 \pm 2M)$	$\omega(L_1 + L_2 \pm 2M)$	$+\pi/2$	$-j/\omega(L_1 + L_2 \pm 2M)$
	$C_1 + C_2$	$-j\frac{1}{\omega} \left(\frac{C_1 + C_2}{C_1 C_2} \right)$	$\frac{1}{\omega} \left(\frac{C_1 + C_2}{C_1 C_2} \right)$	$-\frac{\pi}{2}$	$j\omega \left(\frac{C_1 C_2}{C_1 + C_2} \right)$
	$R + L$	$R + j\omega L$	$\sqrt{R^2 + \omega^2 L^2}$	$\text{arc tg } \frac{\omega L}{R}$	$\frac{R - j\omega L}{R^2 + \omega^2 L^2}$
	$R + C$	$R - j\frac{1}{\omega C}$	$\sqrt{\frac{\omega^2 C^2 R^2 + 1}{\omega^2 C^2}}$	$-\text{arc tg } \frac{1}{\omega R C}$	$\frac{\omega^2 C^2 R + j\omega C}{\omega^2 C^2 R^2 + 1}$
	$L + C$	$+j \left(\omega L - \frac{1}{\omega C} \right)$	$\left(\omega L - \frac{1}{\omega C} \right)$	$\pm \frac{\pi}{2}$	$-\frac{j\omega C}{\omega^2 LC - 1}$

	$R+L+C$	$R+j\left(\omega L - \frac{1}{\omega C}\right)$	$\sqrt{\frac{R^2 + \left(\omega L - \frac{1}{\omega C}\right)^2}{R^2 + (\omega L - 1/\omega C)^2}}$	$\text{arc tg} \left(\frac{\omega L - 1/\omega C}{R} \right)$	$\frac{R - j(\omega L - 1/\omega C)}{R^2 + (\omega L - 1/\omega C)^2}$
	R_1, R_2	$\frac{R_1 R_2}{R_1 + R_2}$	$\frac{R_1 R_2}{R_1 + R_2}$	0	$\frac{R_1 + R_2}{R_1 R_2}$
	C_1, C_2	$-j \frac{1}{\omega(C_1 + C_2)}$	$\frac{1}{\omega(C_1 + C_2)}$	$-\frac{\pi}{2}$	$+j\omega(C_1 + C_2)$
	L, R	$\frac{\omega^2 L^2 + j\omega L R^2}{\omega^2 L^2 + R^2}$	$\frac{\omega L R}{\sqrt{\omega^2 L + R^2}}$	$\text{arc tg} \frac{R}{\omega L}$	$\frac{1}{R} - \frac{j}{\omega L}$
	R, C	$\frac{R - j\omega R^2 C}{1 + \omega^2 R^2 C^2}$	$\frac{R}{\sqrt{1 + \omega^2 R^2 C^2}}$	$\text{arc tg}(-\omega RC)$	$\frac{1}{R} + j\omega C$
	L, C	$+j \frac{\omega L}{1 - \omega^2 LC}$	$\frac{\omega L}{1 - \omega^2 LC}$	$\pm \frac{\pi}{2}$	$j \left(\omega C - \frac{1}{\omega L} \right)$
	$L_1(M)L_2$	$+j\omega \frac{L_1 L_2 - M^2}{L_1 + L_2 \pm 2M}$	$\omega \frac{L_1 L_2 - M^2}{L_1 + L_2 \pm 2M}$	$\pm \frac{\pi}{2}$	$-j \frac{1}{\omega} \left(\frac{L_1 + L_2 \pm 2M}{L_1 L_2 - M^2} \right)$
	L, C, R	$\frac{1}{R} - j \left(\omega C - \frac{1}{\omega L} \right)$	$\frac{R}{\sqrt{1 + R^2 \left(\omega C - \frac{1}{\omega L} \right)^2}}$	$\text{arc tg} \left[-R \left(\omega C - \frac{1}{\omega L} \right) \right]$	$\frac{1}{R} + j \left(\omega C - \frac{1}{\omega L} \right)$

Structura generală pentru aceste două tipuri de cîrcuite se dă în figura 2.9.

La circuitele serie (fig. 2.9 a) mărimele X_C , X_L se definesc în felul următor :

$$X_C = \frac{1}{\omega C} \quad \text{și} \quad X_L = \omega L$$



f — fiind frecvența intervalului care trece prin circuit.

Cu ajutorul nomogramei din figura 2.10 se pot determina valoările X_L și X_C în funcție de ω sau f și valorile L și C . Cu nomogramele din figura 2.11 și figura 2.12 se obțin reactanțele inductive și capacitive la frecvențele radio și respectiv audio.

Impedanța totală a circuitului compus din rezistență activă, reactanță inductivă și capacativă legate în serie, se determină cu formula :

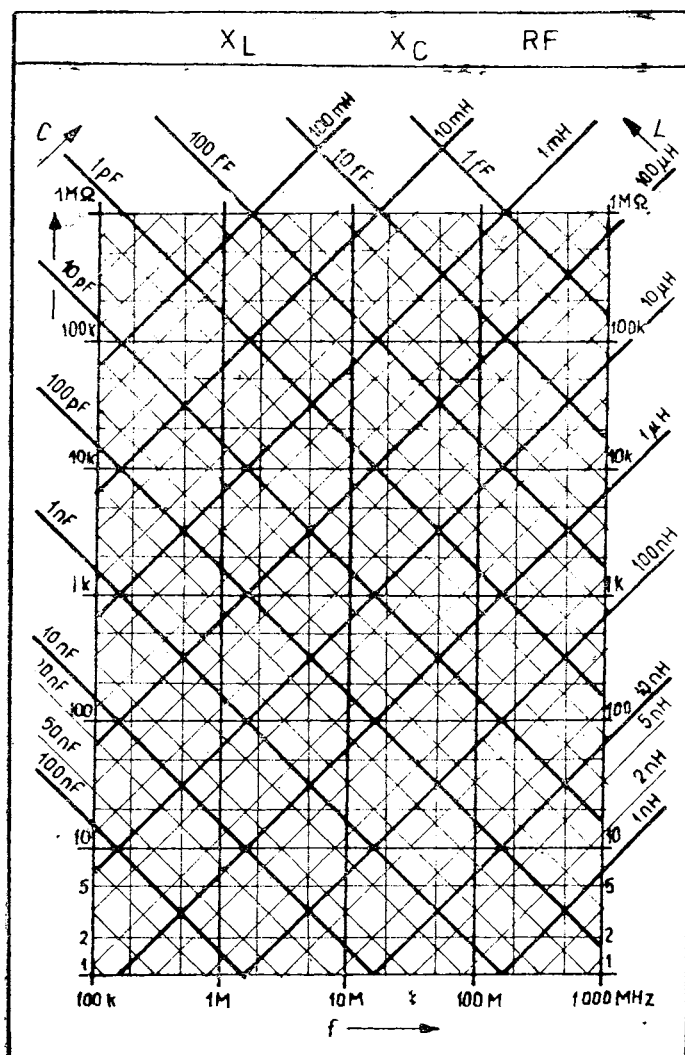


Fig. 2.11.

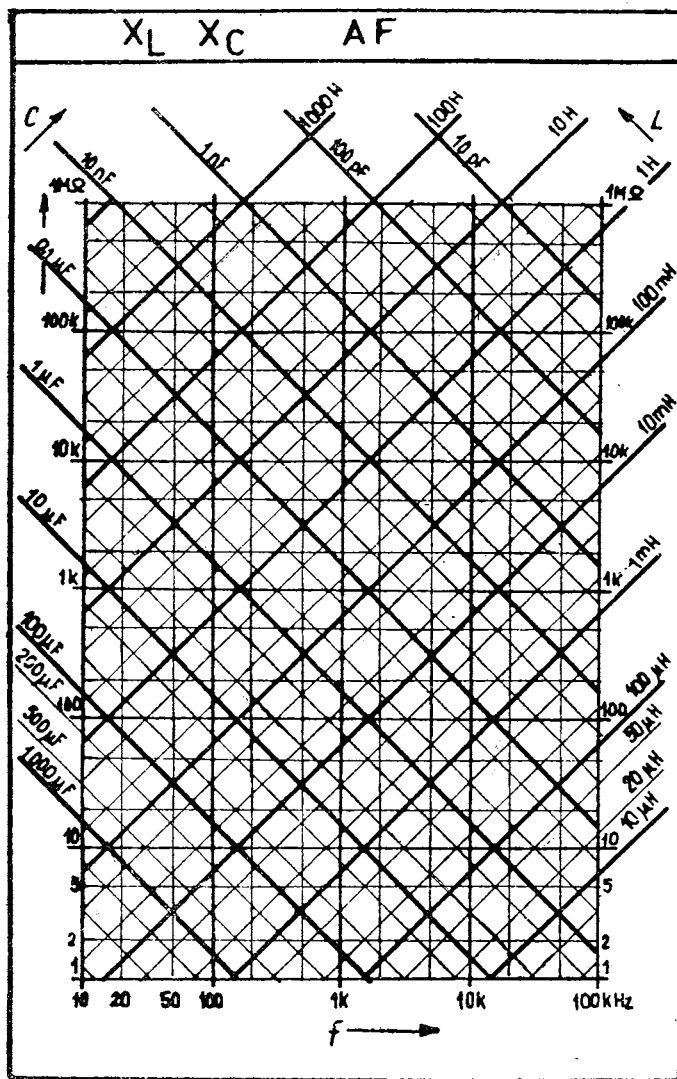


Fig. 2.12

$$Z = \sqrt{R^2 + (X_L + X_C)^2}$$

Elementele reactive L și C pot înmagazina energia electrică în cîmpurile electric și magnetic, pot să schimbe energiile între ele și să redea energia sursei. Totuși, reactanțele inductive și capacitive față de sursă se compensă reciproc, și de aceea, în relația lui Z reactanța totală este egală cu suma dintre reactanțele inductivă și capacativă $X = X_L + X_C$, dacă $|X_L| >$

$|X_C| > |X_L|$, circuitul are un caracter inductiv, iar dacă $|X_C| < |X_L|$, atunci are un caracter capacativ. La egalitatea dintre reactanță inductivă și capacativă circuitul se comportă ca o rezistență pură.

Înlocuind $X = X_L + X_C$ în expresia impedanței obținem :

$$Z = \sqrt{R^2 + X^2}$$

Cu ajutorul nomogramei din figura 2.13 se poate determina impedanța totală a circuitelor serie.

Din relația lui Z se poate obține expresia pentru impedanță totală a circuitului compusă dintr-o rezistență activă și una sau două reactanțe oarecare. Așa de exemplu, dacă circuitul este compus numai din rezistență activă și reactanță inductivă conectate în serie, atunci făcînd în relația lui Z , $X_C = 0$, obținem :

$$Z = \sqrt{R^2 + X_L^2}$$

Curentul care parcurge circuitul serie în cazul cuplării unei tensiuni alternative se determină după legea lui Ohm :

$$I = \frac{U}{Z} = \frac{U}{\sqrt{R^2 - (X_L + X_C)^2}}$$

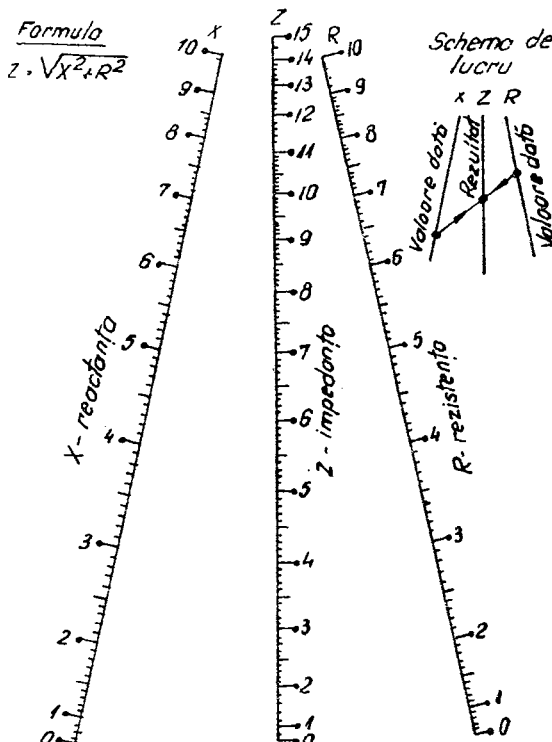


Fig. 2.13

Căderea de tensiune pe rezistență și reactanțele inductivă și capacativă se determină cu formulele :

$$U_a = IR; \quad U_C = IX_a; \quad U_I = IX_L$$

iar tensiunea totală, aplicată la bornele circuitului este :

$$U = \sqrt{U_a^2 + (U_L + U_C)^2} = IZ$$

Dacă circuitul serie de curent alternativ are caracter capacativ ($|X_C| > |X_L|$), curentul este înaintea tensiunii, iar dacă are caracter inductiv ($|X_L| > |X_C|$), curentul rămîne în urma tensiunii cu unghiul ϕ (fig. 2.14) care poate fi determinat din următoarele formule :

$$\cos \varphi = \frac{R}{Z} = \frac{U_a}{U}; \quad \sin \varphi = \frac{X_L + X_C}{Z} = \frac{X}{Z}.$$

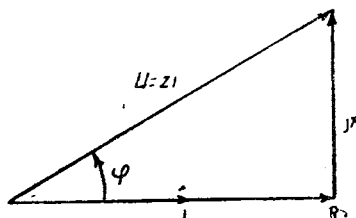


Fig. 2.14

Expresia vectorială a impedanței va fi

$$Z = R + jX$$

+ indică reactanță inductivă

- indică reactanță capacativă.

Modulul impedanței se exprimă în felul următor :

$$|Z| = (R^2 + X^2)^{1/2}$$

iar faza impedanței

$$\varphi = \operatorname{tg}^{-1} \left(\frac{X}{R} \right) = \cos^{-1} \left(\frac{R}{Z} \right)$$

Curentul activ respectiv reactiv se determină cu relațiile

$$I_a = I \cos \varphi; \quad I_r = I \sin \varphi.$$

Puterea activă disipată pe rezistență este :

$$P_a = I^2 R = UI \cos \varphi [W],$$

unde $\cos \varphi$ este coeficientul de utilizare a puterii.

Puterea care caracterizează energia înmagazinată într-o perioadă a oscilației, în elementele reactive, se numește **putere reactivă** :

$$Q = Q_L + Q_C = I^2 X_C = UI \sin \varphi [VAR].$$

Puterea reactivă Q caracterizează calitativ intensitatea schimbului de energie dintre sursă și elementele reactive ale circuitului.

Puterea reactivă cu caracter inductiv Q_L se consideră pozitivă, iar cea cu caracter capacativ Q_C se consideră negativă.

Puterea totală se determină cu formula :

$$S = \sqrt{P_a^2 + Q^2} = UI,$$

unde S este puterea totală, în VA .

În figura 2.15 se dă nomograma cu ajutorul căreia se poate calcula puterea totală și puterea activă în funcție de U și I .

Diagrama vectorială pentru circuitul serie de pe figura 2.16 ne prezintă relația dintre mărurile caracteristice ale circuitului (U_R , U_L , U_C , U , I) în funcție de φ .

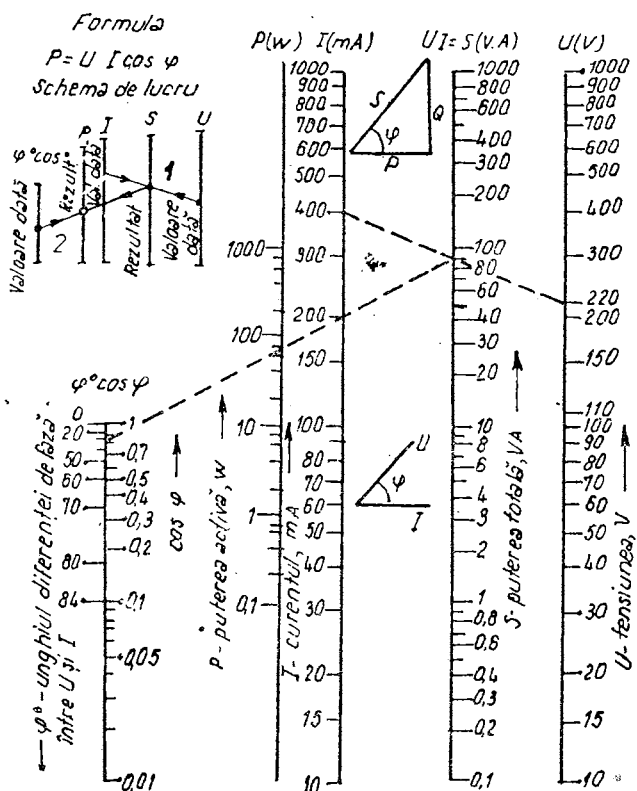


Fig. 2.15

Circuitele RLC serie prezintă o groapă a impedanței la frecvența de rezonanță f_0 , iar φ variază între -90° și $+90^\circ$, așa cum se arată și în figura 2.17.

În cazul legării în paralel (figura 2.9 b) a unei rezistențe, inductanțe și capacitate, pe fiecare buclă se aplică tensiunea totală a sursei.

Curenții în bucle sunt :

$$I_R = \frac{U}{R};$$

$$I_L = -\frac{U}{X_L};$$

$$I_C = -\frac{U}{X_C}.$$

Curentul în porțiunea neramificată a circuitului este

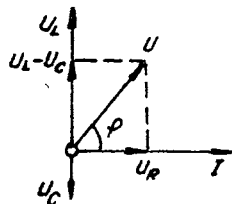


Fig. 2.16

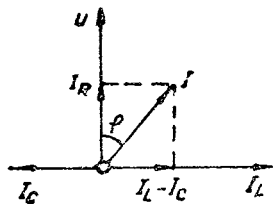
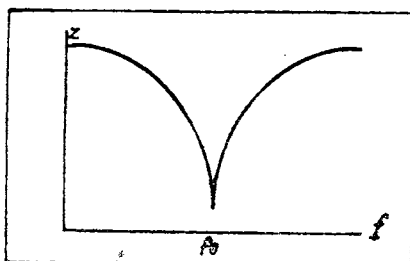


Fig. 2.18

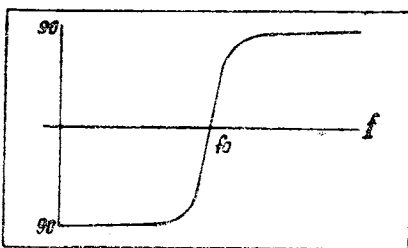


Fig. 2.17

$$I = \sqrt{I_a^2 + (I_L + I_C)^2}.$$

Diagrama vectorială pentru circuitul paralel din figura 2.18 ne prezintă relația dintre mărimele caracteristice ale circuitului în funcție de φ .

Ca și la legarea în serie, circuitul ramificat poate avea caracter capacitive ($|I_C| > |I_L|$) sau inductive ($|I_L| > |I_C|$). Defazajul dintre curentul general și tensiune se determină cu formula:

$$\varphi = -\arctan \frac{I_L + I_C}{I_a} = -\arcsin \frac{I_L + I_C}{I}.$$

Pentru caracterizarea circuitelor RLC paralel, pot fi introduse mărimele G și B adică conductanță și susceptanță, definite în felul următor

$$G = \frac{1}{R}$$

$$B = \omega C - \frac{1}{\omega L}$$

iar în locul impedanței se poate defini admitanță

$$\gamma = G \pm jB.$$

unde

+ indică susceptanță capacitive;

- indică susceptanță inductive.

Modulul admitanței se exprimă cu relația :

$$|\gamma| = (G^2 + B^2)^{\frac{1}{2}}$$

iar faza admitanței

$$\varphi = \operatorname{tg}^{-1}(B/G) = \cos^{-1}\left(\frac{G}{|\gamma|}\right)$$

Cu aceste mărimi se poate construi diagrama vectorială pentru circuite RLC paralel, aşa cum se prezintă pe figura 2.19.

Puterile activă, reactivă și totală pentru circuitul paralel analizat se determină cu formulele :

$$P_a = UI \cos \varphi [W];$$

$$Q = UI \sin \varphi [VAR];$$

$$S = UI = \sqrt{P_a^2 + Q^2} [VA];$$

Fig. 2.19

O reactanță cu pierderi poate fi reprezentată sau ca o reactanță fără pierderi în serie cu o rezistență, sau ca o reactanță în paralel cu o rezistență.

Relațiile dintre reactanțele și rezistențele paralel și serie echivalente sunt următoarele :

$$X_p = X_s \left[1 + \frac{1}{Q^2} \right],$$

$$R_p = R_s(1 + Q^2),$$

în care Q reprezintă factorul de calitate al reactanței cu pierderi :

$$Q = \frac{X_s}{R_s} = \frac{R_p}{X_p}$$

unde X_p , R_p și X_s , R_s sunt elementele celor două circuite în paralel, respectiv în serie, conform figurii 2.20.

Nomograma de pe figura 2.21 dă valorile lui Q și D , corespunzătoare valorilor reactanțelor și rezistențelor, unde Q este definit ca X/R pentru circuite serie și R/X pentru circuite paralel, iar factorul de disipație D este $1/Q$. Pentru circuitele serie scara A dă valorile rezistenței, iar scara C valorile reactanței, iar Q se citește pe scara B . Pentru circuite paralel scările A și

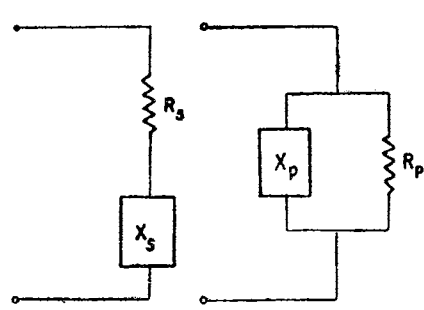


Fig. 2.20

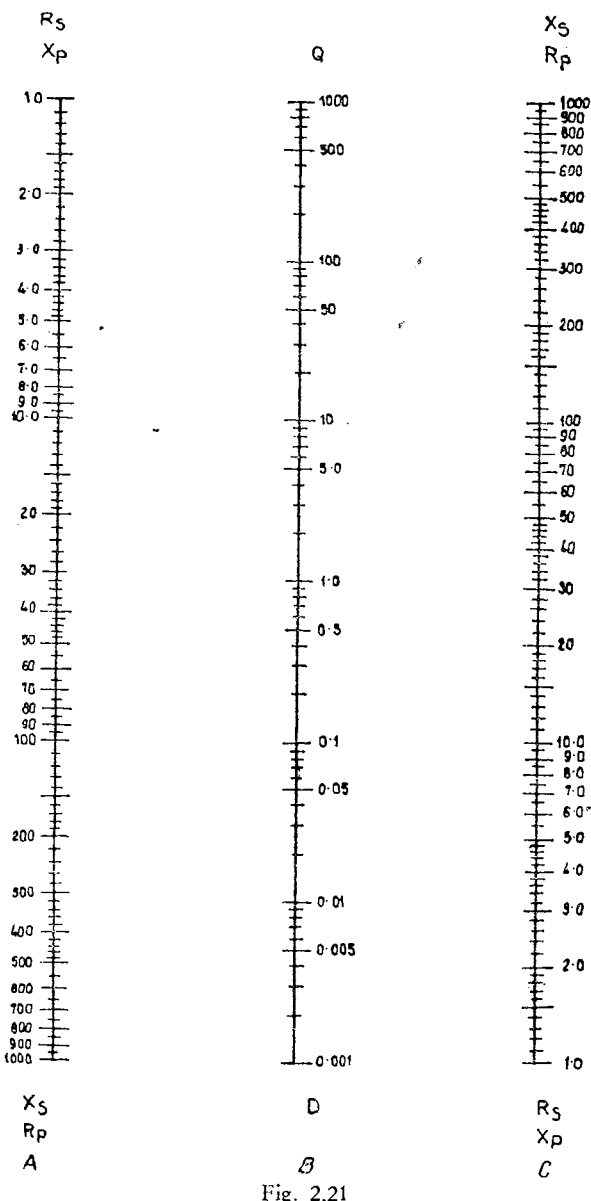


Fig. 2.21

C se inversează, adică scara A dă valorile reactanței și C valorile rezistenței, iar Q se citește tot pe scara B .

Nomograma poate fi utilizată și la calculul lui D . În acest caz scara A dă reactanța serie sau rezistența paralel și scara C dă rezistența serie și reactanța paralel.

Scările de rezistență și reactanță cuprind cîte trei de cade, așa încît impedanțele pot fi calculate direct în Ω , $K\Omega$ sau $M\Omega$ fără a fi nevoie de factor de conversie.

Scara centrală cuprind valoarea lui Q și D de la 0,001 pînă la 1 000. Tinînd seama de relația $1/Q = D$ putem considera jumătatea de sus a scării ca B secțiunea „ Q ” iar jumătatea de jos, ca secțiunea „ D ”.

Pentru cazurile particulare cînd avem circuite RL și RC transformările pot fi făcute conform figurii 2.22, cu ajutorul formulelor :

$$L_p = L_s(1+D^2)$$

$$R_p = R_s(1+Q^2)$$

$$\textcircled{*} \quad L_s = L_p \frac{Q^2}{1+Q^2}$$

$$R_s = R_p \frac{1}{1+Q^2}$$

$$C_s = C_p(1+D^2)$$

$$R_p = R_s(1+Q^2)$$

$$C_p = C_s \frac{Q^2}{1+Q^2}$$

$$R_s = R_p \frac{D^2}{1+D^2}$$

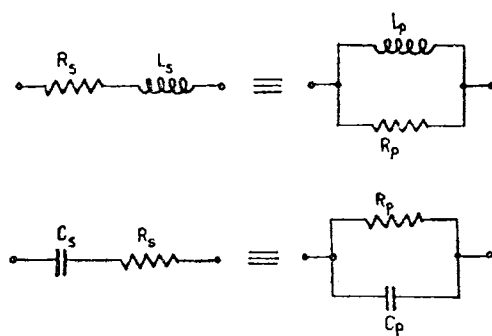


Fig. 2.22

TABELUL 2.2

D	Factor de multiplicare			
	$(1+D^2)$	$\frac{L_p}{C_s}$ în L_s C_s în C_p	$\left(\frac{1}{1+D^2}\right)$	$\frac{L_s}{C_p}$ în L_p C_p în C_s
0.10	1.01		0.09	
0.15	1.023		0.98	
0.20	1.04		0.962	
0.25	1.063		0.943	
0.30	1.09		0.917	
0.33	1.103		0.901	
0.35	1.12		0.893	
0.40	1.16		0.862	
0.45	1.203		0.833	
0.50	1.25		0.8	
0.60	1.36		0.735	
0.70	1.49		0.671	
0.8	1.64		0.610	
0.9	1.81		0.553	
1.0	2.0		0.5	

Tabelul 2.2 dă factorii de corelație $1+D^2$ și $\frac{1}{1+D^2}$ pentru aceste transformări. Pentru valorile $D < 0,1$ erorile sunt neglijabile.

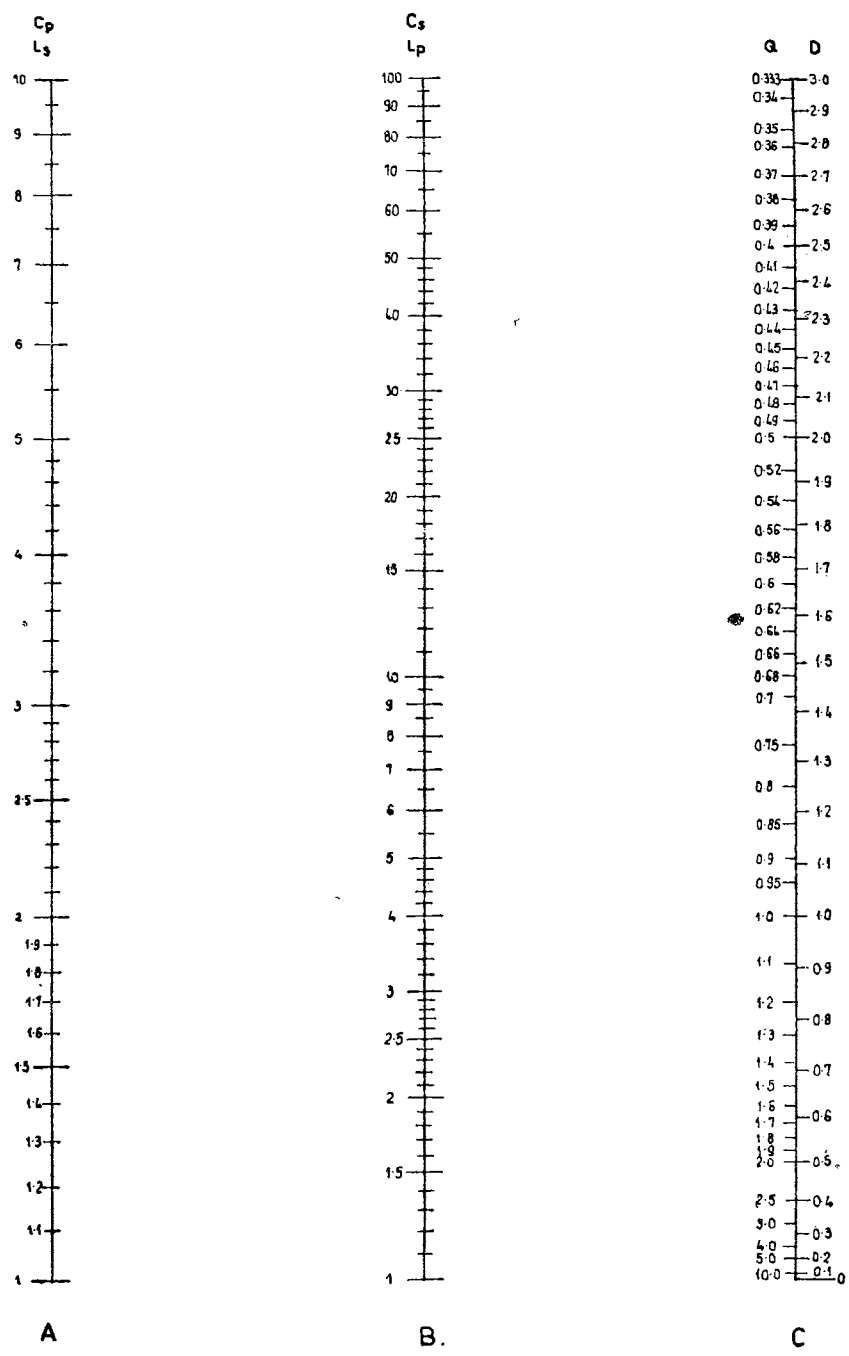


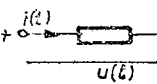
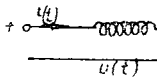
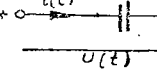
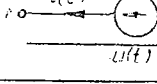
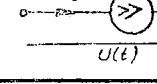
Fig. 2.23

Pentru ușurarea calculului la transformările serie—paralel la aceste circuite particulare, RL și RC , se poate aplica nomograma de pe figura 2.23, care se utilizează în felul următor: se unește punctul de pe scara C care corespunde valorii măsurate a lui Q sau D cu valoarea măsurată a inductanței sau capacității de pe scările A sau B și în punctul de intersecție a dreptei cu cea de a treia scară obținem valoarea dorită.

Poate fi utilizată orice unitate de măsură, exemplu: μF , μH , mH etc. sau orice factor de multiplicare.

În mod convențional elementele unui circuit străbătut de o mărime variabilă în timp pot fi denumite **uniporti**. Cele mai elementare uniporti sunt cuprinse în tabelul 2.3, împreună cu relația tensiune-curent.

TABELUL 2.3
Reprezentarea simbolică a uniportilor elementari

Nr. crt.	Denumirea	Simbolul	Parametrul	Relația tensiune-curent	
				în timp	în frecvență
1	Rezistență		R	$u(t) = Ri(t)$	$U(j\omega) = RI(j\omega)$
2	Inductanță		L	$u(t) = L \frac{di(t)}{dt}$	$U(j\omega) = jLI(j\omega)$
3	Capacitate		C	$u(t) = \frac{1}{C} \int i(t) dt$	$U(j\omega) = \frac{I(j\omega)}{j\omega C}$
4	Sursă de tensiune		$u(t)$	$u(t) : i(t) = \infty$	$U(j\omega) : I(j\omega) = \infty$
5	Sursă de curent		$i(t)$	$i(f) : u(t) = \infty$	$I(j\omega) : U(j\omega) = \infty$

Regimul permanent sinusoidal corespunde situației în care în rețeaua electrică tensiunile și curentii sunt sinusoidali. În acest caz, pentru curentul $i(t) = I \cos(\omega t + \varphi)$, relațiile devin:

- pentru rezistență: $u_R(t) = RI \cos(\omega t + \varphi_i)$;
- pentru inductanță: $u_L(t) = \omega LI \cos\left(\omega t + \frac{\pi}{2} + \varphi_i\right)$;
- pentru capacitate: $u_C(t) = \frac{I}{\omega C} \cos\left(\omega t - \frac{\pi}{2} + \varphi\right)$.

Puterea instantanee la bornele unui dipol electric este :

$$\dot{P}(t) = u(t)i(t).$$

În regim permanent sinusoidal, dacă $u(t) = U \cos(\omega t + \varphi_u)$ și $i(t) = I \cos(\omega t + \varphi_i)$, se definesc :

— puterea activă : $P = \frac{1}{2} \int_0^T \dot{P}(t) dt = \frac{1}{2} UI \cos(\varphi_u - \varphi_i);$

— puterea reactivă : $Q = \frac{1}{2} UI \sin(\varphi_u - \varphi_i);$

— puterea aparentă : $S = \frac{1}{2} UI.$

Se numește **factor de putere** raportul dintre puterea activă și cea aparentă. Valoarea maximă a factorului de putere este 1.

Având un semnal cu pulsăția ω și impedanța (complexă) Z va fi :

- pentru rezistență $R : Z = R;$
- pentru inductanță $L : Z = j\omega L;$
- pentru capacitatea $C : Z = \frac{1}{j\omega C}.$

Regulile de inseriere și de legare în paralel pentru rezistențe sunt valabile și pentru impedanțe (complexe).

Legile lui Kirchhoff în complex :

- suma curentilor I ce intră într-un nod este nulă ;
- suma tensiunilor U de la bornele tuturor laturilor unui ochi este nulă.

Ecuatiile curentilor ciclici (Maxwell) se scriu pentru cele O ochiuri independente ale unei rețele. Dacă numărul de noduri ale rețelei este n , iar cel de laturi l , atunci :

$$0 = l - n + 1.$$

Atribuind fiecărui ochi un curent ciclic fictiv I_j ($j = 1 \dots 0$) care îl parcurge într-un sens ales arbitrar, se vor scrie O ecuații :

$$E_j = \sum_{k=1}^0 Z_{jk} I_k \quad (j = 1 \dots 0),$$

în care :

Z este impedanța proprie a ochiului j , egală cu suma tuturor impedanțelor laturilor ce se întâlnesc pe traseul curentului I_j ;

Z_{jk} — impedanța de cuplaj între ochiul j și ochiul k , egală cu impedanța comună ochiului j și ochiului k , cu semnul + sau -, după cum curenții I_j și I_k au sau nu impedanța $j\omega L_{jk}$ datorită inducenței mutuale L_{jk} , cu semnul + sau -, după cum curenții I_k și I_j au sau nu același sens de intrare în bornele însemnate pentru sensul de cuplaj al inductanțelor ;

E_j — suma algebrică a tensiunilor electromotoare de-a lungul ochiului j , luate cu semnul + dacă ar debita în sensul curentului I_j .

Curentul care trece în realitate printr-o latură este egal cu suma algebraică a curentilor ciclici care străbat latura.

Ecuatiile tensiunilor la noduri se scriu pentru cele $(n-1)$ noduri ale rețelei, cărora li s-au atribuit potențialele U_j , $[j=1 \dots (n-1)]$, un ultim nod (n) având potențialul de referință zero :

$$I_j = \sum_{k=1}^{n-1} Y_{jk} U_k \quad [j=1 \dots (n-1)].$$

În acest sistem :

Y_{jj} este suma admitanțelor laturilor care au comun nodul j ;

Y_{jk} — suma admitanțelor directe între nodul j și nodul k , luată cu semn negativ ;

I_j — suma algebrică a curentilor care intră în nodul j , datorați generatoarelor de curent.

În scrierea acestui sistem se presupun inductanțele mutuale eliminate.

Pentru rețelele liniare în care lipsesc elementele active este satisfăcută condiția de reciprocitate : $Z_{kj}=Z_{jk}$ și $Y_{kj}=Y_{jk}$.

În aceste condiții :

— aplicarea unei tensiuni într-o latură a ochiului k conduce la un curent într-o latură a ochiului j , egal cu cel ce s-ar obține în latura ochiului k dacă generatorul de aceeași valoare se aplică în latura ochiului j ;

— aplicarea unui curent în nodul k (de la un generator de curent conectat între acest nod și masă) conduce la un potențial al nodului j egal cu cel care s-ar obține pe nodul k dacă curentul s-ar injecta în nodul j .

Teorema superpoziției :

— curentul electric din orice latură a unei rețele de curent alternativ în care există mai multe generatoare este suma algebrică a curentilor produși de fiecare tensiune electromotoare în parte, dacă ar acționa singură în rețea, celelalte generatoare fiind înlocuite prin impedanțele lor interne ;

— potențialul din orice nod al unei rețele în care există mai multe generatoare este suma algebrică a potențialelor produse de fiecare tensiune electromotoare în parte, dacă ar acționa singură în rețea, celelalte generatoare fiind înlocuite prin impedanțele lor interne.

Teorema generatorului de tensiune echivalent (Thévenin-Helmholtz) : orice rețea liniară având generatoare, cu două borne A și B de ieșire fără cuplaje inductive cu exteriorul, este echivalentă cu un generator ideal de tensiune \mathbf{E}_0 , egală cu tensiunea la bornele AB lăsate în gol, conectat în serie cu o impedanță Z , egală cu impedanța echivalentă a rețelei pasivizate (figura 2.24).

Teorema generatorului de curent echivalent (Norton) : o rețea liniară având generatoare, cu două borne A și B de ieșire și fără cuplaje inductive cu exteriorul, este echivalentă cu un generator ideal de curent, având curentul I_0 , egal cu curentul debitat de rețea cu bornele AB în scurtcircuit, conectat în paralel cu o admitanță Y_0 , egală cu admitanța echivalentă a rețelei pasivizate (fig. 2.25).

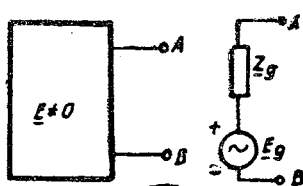


Fig. 2.24

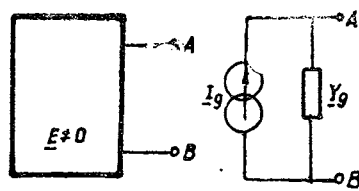


Fig. 2.25

Teorema lui Vaschy : dacă în toate laturile care se întâlnesc într-un nod al unei rețele se introduc generatoare ideale de tensiune, având tensiuni electromotoare egale și îndreptate la fel către nod, curentii din rețea nu se schimbă.

Teorema transferului maxim de putere : un generator de tensiune E_o , având impedanță internă Z_o , transferă puterea activă maximă pe sarcina Z_s , atunci cînd :

$$Z_s = Z_o^*$$

Z_o^* fiind mărimea complex conjugată.

Impedanțele complexe pot să formeze o rețea în stea (figura 2.26) sau o rețea în triunghi (figura 2.27).

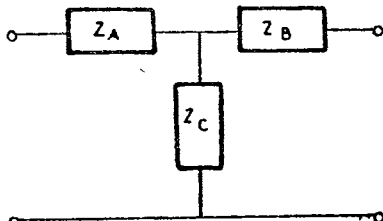


Fig. 2.26

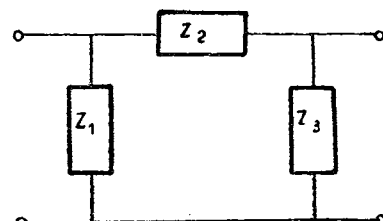


Fig. 2.27

Teoremele de transfigurare stea-triunghi permit a stabili echivalența unei rețele în stea cu una în triunghi. Există astfel relațiile :

$$Z_A = \frac{Z_1 Z_2}{Z_1 + Z_2 + Z_3} \quad Z_1 = \frac{Z_A Z_B + Z_B Z_C + Z_A Z_C}{Z_B}$$

$$Z_B = \frac{Z_2 Z_3}{Z_1 + Z_2 + Z_3} \quad Z_2 = \frac{Z_A Z_B + Z_B Z_C + Z_A Z_C}{Z_C}$$

$$Z_C = \frac{Z_1 Z_3}{Z_1 + Z_2 + Z_3} \quad Z_3 = \frac{Z_A Z_B + Z_B Z_C + Z_A Z_C}{Z_A}$$

În cadrul unei rețele electrice, dacă în momentul inițial există tensiuni diferite de zero pe condensatoare sau inductanțe parcuse de curenti, rețeaua are condiții inițiale nenule.

Între tensiunile și curenții elementelor de bază, în condiții inițiale nenule, există relațiile :

— pentru rezistență : $u(t) = R i(t)$;

— pentru inductanță : $u(t) = L \frac{di(t)}{dt}$;

$$i(t) = \frac{1}{L} \int_0^t u(t) + i(0) ;$$

— pentru capacitate : $u(t) = \frac{1}{C} \int_0^t i(t) dt + u(0) ;$

$$i(t) = C \frac{du(t)}{dt} .$$

Metoda ecuațiilor diferențiale pentru determinarea răspunsului circuitelor la semnale se aplică pentru rețelele electrice având condiții inițiale nule sau nenule. Metoda constă în scrierea ecuațiilor diferențiale ale circuitului pe baza legilor lui Kirchhoff, rezolvarea lor și determinarea constantelor de integrare conform condițiilor inițiale. Pentru semnale periodice, condițiile inițiale nu intervin. Semnalele periodice se consideră a fi aplicate la $t = -\infty$.

Între două noduri (borne de intrare) ale unei rețele electrice fără genratoare independente și fără tensiuni sau curenți reziduali pe elemente se definesc :

— impedanța de intrare :

$$Z_i(j\omega) = \frac{U_i}{I_i} ,$$

în care I_i este amplitudinea complexă a generatorului de curent sinusoidal de pulsărie ω aplicat între bornele de intrare, iar U_i este tensiunea rezultată între aceleași borne ;

— admitanța de intrare :

$$Y_i(j\omega) = \frac{I_i}{U_i} ,$$

în care U_i este amplitudinea complexă a generatorului de tensiune sinusoidală de pulsărie ω aplicat la intrare, iar I_i — curentul absorbit rezultat.

Definițiile de mai înainte, considerate pentru nodurile unei rețele electrice care funcțional sănt borne de ieșire, conduc la impedanța de ieșire $Z_e(j\omega)$ și admitanța de ieșire $Y_e(j\omega)$.

Factorul de transfer între bornele de intrare și de ieșire ale unei rețele la o pulsărie ω este :

— în tensiune :

$$K_u(j\omega) = \frac{U_e}{U_i} ,$$

În care U_e este amplitudinea complexă a tensiunii rezultate la bornele de ieșire dacă se aplică la intrare generatorul de tensiune U_i pe frecvență unghiulară ω :

— în curent :

$$K_i(j\omega) = \frac{I_e}{I_i},$$

În care I_e este amplitudinea complexă a curentului rezultat printr-o impedanță (de sarcină) conectată între bornele de ieșire, dacă la intrare s-a aplicat generatorul de curent I_i pe frecvență unghiulară ω .

În condițiile în care elementele de circuit sunt neliniare, ecuațiile evin:

— pentru rezistență : $u(t) = R(t)i(t)$;

— pentru inductanță : $\dot{u}(t) = \frac{d}{dt} [L(t)i(t)]$;

— pentru capacitate : $i(t) = \frac{d}{dt} [C(t)u(t)]$.

În condițiile în care un element neliniar rezistiv este definit printr-o caracteristică $i = f(u)$, se definește rezistență diferențială printr-un anumit punct :

$$R_{\sim}(u) = \frac{du}{di}.$$

Metoda aproximării polinomiale se utilizează dacă se cunoaște o expresie :

$$i = \sum_{k=0}^n a_k u^k,$$

care aproximează suficient de bine caracteristica $i = f(u)$ pe porțiunea care interesează.

2.2. CIRCUITE OSCILANTE ȘI CUPLATE

2.2.1. Circuite oscilante

Impedanța circuitului serie (figura 2.28), $Z_s = R + jX$ are modulul :

$$Z_s = \sqrt{R^2 + \left(\omega L - \frac{1}{\omega C}\right)^2}$$

și argumentul :

$$\varphi = \text{arc tg } \frac{\omega L - \frac{1}{\omega C}}{R}.$$

Frecvența pentru care partea imaginară a impedanței complexe devine egală cu zero se numește frecvență de rezonanță (f_{rez}) a circuitului oscilant. În această situație:

$$Z_{rez} = R \text{ și } I_{rez} = \frac{E}{R}.$$

Condiția de rezonanță este :

$$\omega_{rez}L = \frac{1}{\omega_{rez}C}$$

Rezultă expresia :

$$\omega_{rez} = 2\pi f_{rez} = \frac{1}{\sqrt{LC}},$$

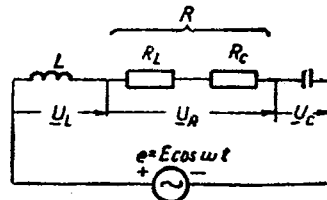


Fig. 2.28

TABELUL 2.4

Formule pentru calculul frecvenței de rezonanță f_{rez} , lungimii de undă la rezonanță λ_{rez} , inductanței de rezonanță L_{rez} și capacitatea de rezonanță C_{rez}

$f_{rez(Hz)} = \frac{159}{\sqrt{L_{(mH)} \cdot C_{(\mu F)}}}$	$\lambda_{rez(m)} = 189 \cdot 10^4 \sqrt{L_{(mH)} \cdot C_{(\mu F)}}$
$f_{rez(kHz)} = \frac{5030}{\sqrt{L_{(mH)} \cdot C_{(\mu F)}}}$	$\lambda_{rez(m)} = 59,6 \sqrt{L_{(mH)} \cdot C_{(\mu F)}}$
$f_{rez(MHz)} = \frac{159}{\sqrt{L_{(\mu H)} \cdot C_{(\mu F)}}}$	$\lambda_{rez(m)} = 1,89 \sqrt{L_{(\mu H)} \cdot C_{(\mu F)}}$
$L_{rez(mH)} = \frac{25300}{C_{(\mu F)} \cdot f^2(Hz)}$	$C_{rez}(\mu F) = \frac{25300}{L_{(mH)} \cdot f^2(Hz)}$
$L_{rez(mH)} = \frac{25,3}{C_{(\mu F)} \cdot f^2(MHz)} =$ $= \frac{\lambda^2(m)}{3350 \cdot C_{(\mu F)}}$	$C_{rez}(\mu F) = \frac{25,3}{L_{(mH)} \cdot f^2(mHz)} =$ $= \frac{\lambda^2(m)}{3550 \cdot L_{(mH)}}$
$L_{rez(H)} = \frac{25300}{C_{(\mu H)} \cdot f^2(MHz)} =$ $= \frac{0,28 \cdot \lambda^2(m)}{C_{(\mu F)}}$	$C_{rez}(\mu F) = \frac{25300}{L_{(\mu H)} \cdot f^2(MHz)} =$ $= \frac{0,28 \cdot \lambda^2(m)}{L_{(\mu H)}}$

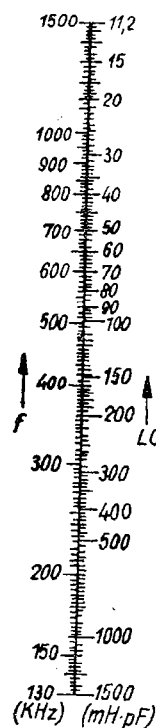


Fig. 2.29

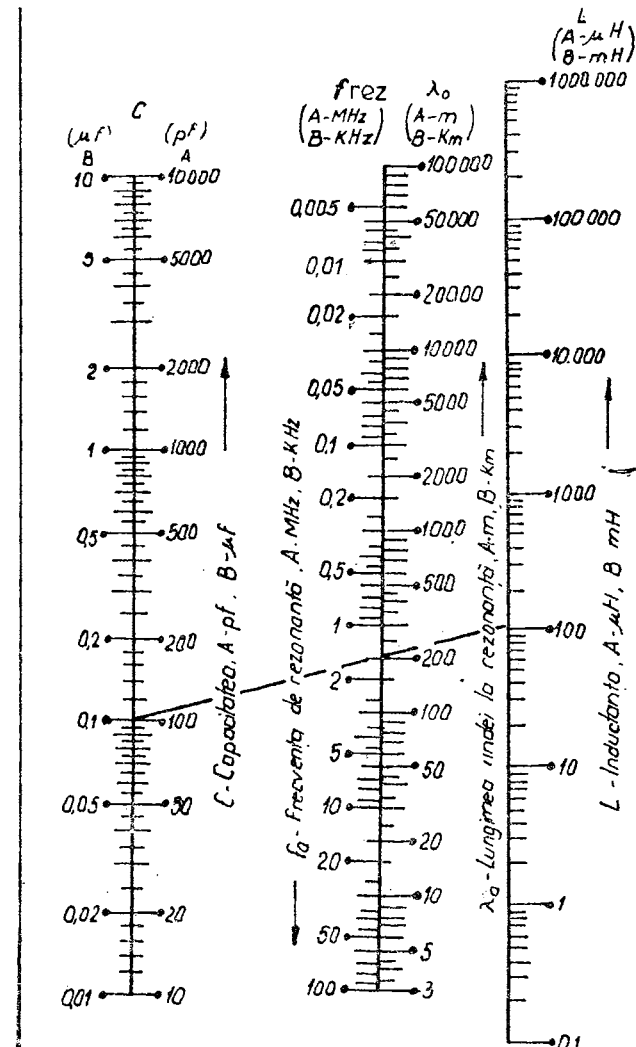


Fig. 2.30

În literatura pentru radioamatori se recomandă formulele :

$$f_{rez} = \frac{159}{\sqrt{L_{[H]} C_{[\mu F]}}} \text{ Hz},$$

$$f_{rez} = \frac{5033}{\sqrt{L_{[mH]} C_{[pF]}}} \text{ kHz}.$$

Frecvența circuitului oscilant se poate calcula cu ajutorul nomogramei din figura 2.29 dacă se cunoaște produsul LC .

Frecvența de rezonanță poate fi calculată rapid în funcție de valorile L și C cu ajutorul nomogramei din figura 2.30.

Această nomogramă se folosește în felul următor: pe scara C se fixează valoarea capacității, iar pe scara L valoarea inductanței. Dreapta care unește aceste puncte intersectează scara f_{rez} în punctul corespunzător frecvenței de rezonanță. Pe această scară poate fi citită și lungimea de undă λ_a .

Exemplu: dacă $L = 100 \mu H$ și $C = 100 pF$, va rezulta $f_{rez} = 1,6 \text{ MHz}$.

În figura 2.31 se dă nomograma pentru **calculul circuitelor oscilante la frecvențe joase**, utilizând formula $f = \frac{159}{\sqrt{LC}}$ unde f se exprimă în Hz, L în H iar C în μF . De aici rezultă și formulele pentru valorile lui L și C în funcție de f .

$$L = \left(\frac{159}{f \cdot \sqrt{C}} \right)^2 \text{ și } C = \left(\frac{159}{f \cdot \sqrt{L}} \right)^2$$

În figura 2.32 se dă nomograma pentru calculul circuitelor oscilant pentru unde lungi, în figura 2.33 pentru unde medii iar în figura 2.34 pentru unde scurte și ultrascurte.

Pornind de la formula $f = \frac{1,59 \cdot 10^6}{\sqrt{LC}}$ unde f se exprimă în kHz, L în μH și C în pF se pot obține formulele pentru L și C în funcție de f și anume:

$$L_{(kHz)} = \frac{25,3 \cdot 10^6}{f_{(kHz)}^2 \cdot C_{(pF)}} \text{ și } C_{(pF)} = \frac{25,3 \cdot 10^6}{f_{(kHz)}^2 \cdot L_{(mH)}}$$

Rezistența caracteristică a circuitului oscilant serie se poate calcula cu ajutorul formulei :

$$\rho = \omega_0 L = \frac{1}{\omega_0 C} = \sqrt{\frac{L}{C}}$$

Factorul de calitate al circuitului oscilant serie este dat de relația :

$$Q = \frac{\omega_0 L}{R} = \frac{1}{\omega_{rez} CR}$$

La rezonanță tensiunile de la bornele bobinei și condensatorului sunt în antifază, egale ca mărime și de Q ori mai mari decât t.e.m. a sursei aplicate la bornele circuitului :

$$U_L = -U_C; \quad U_L = U_C = Q E$$

În cazul cînd circuitul serie se află la rezonanță, este valabilă relația

$$Z_s = R(1+jx)$$

în care :

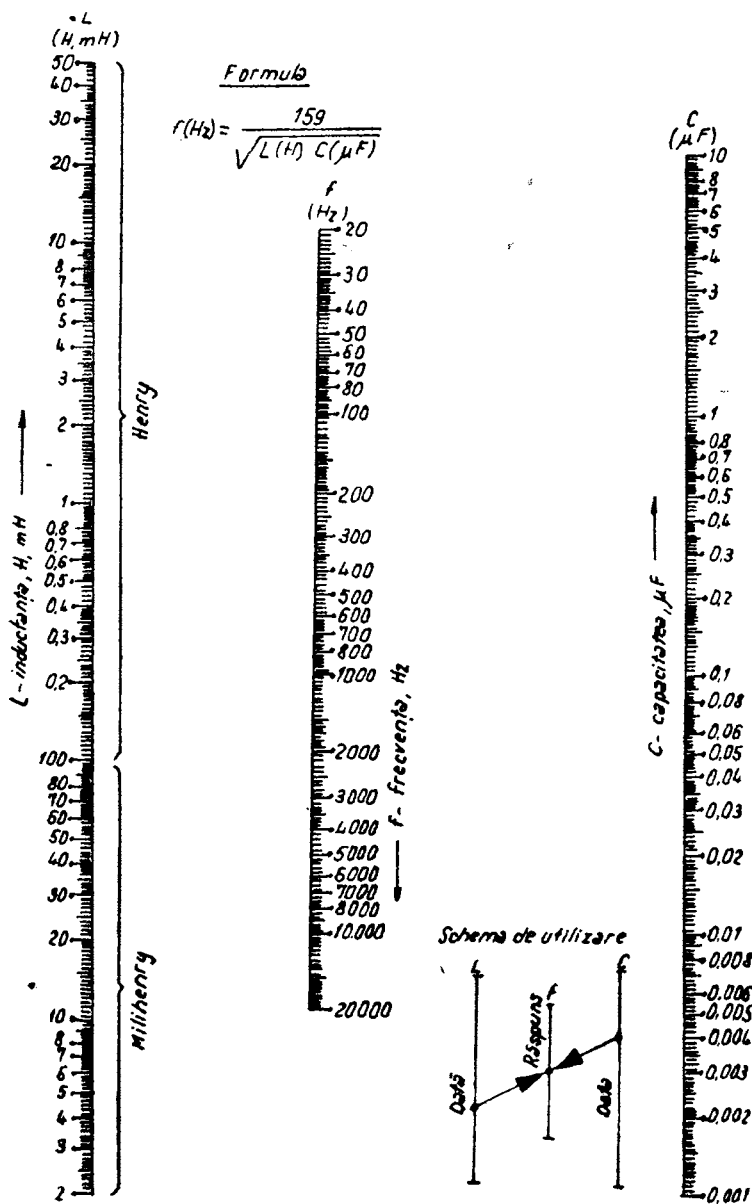


Fig. 2.31

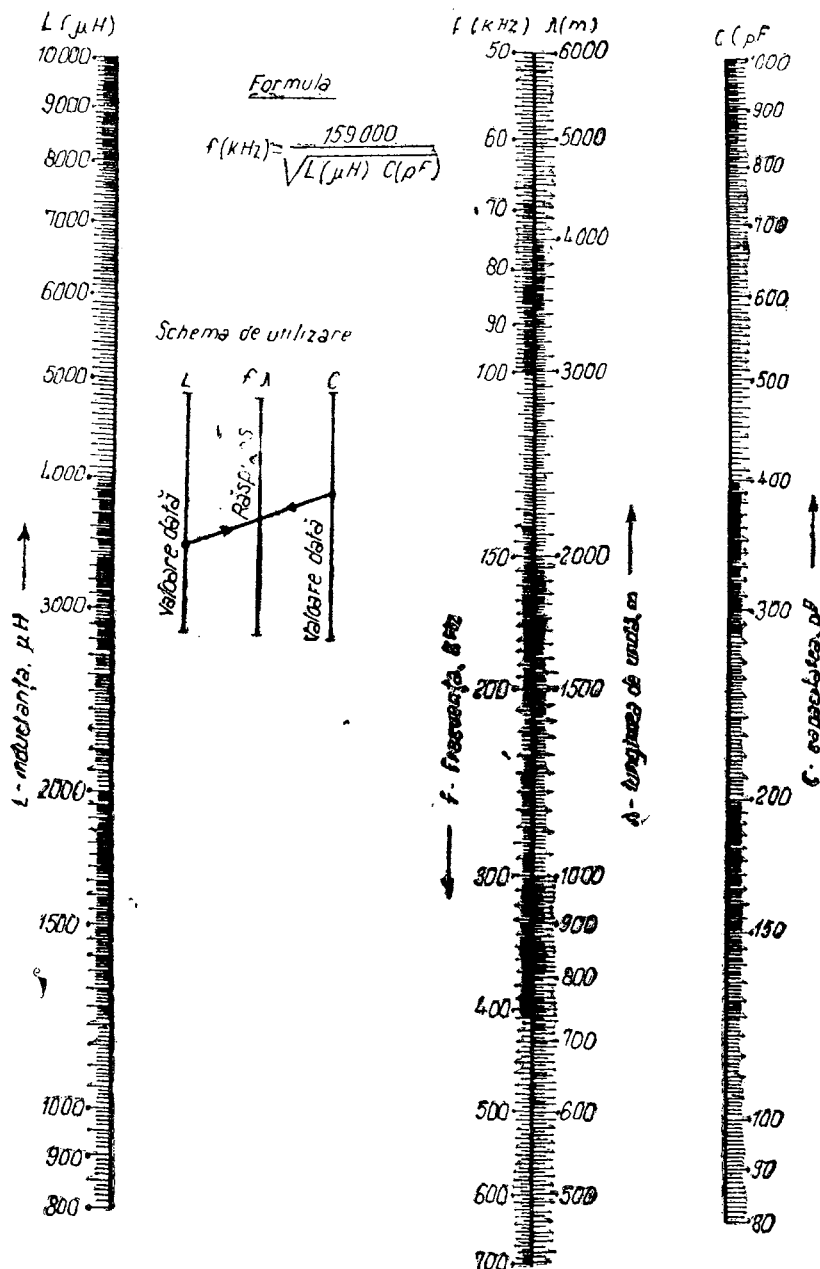


Fig. 2.32

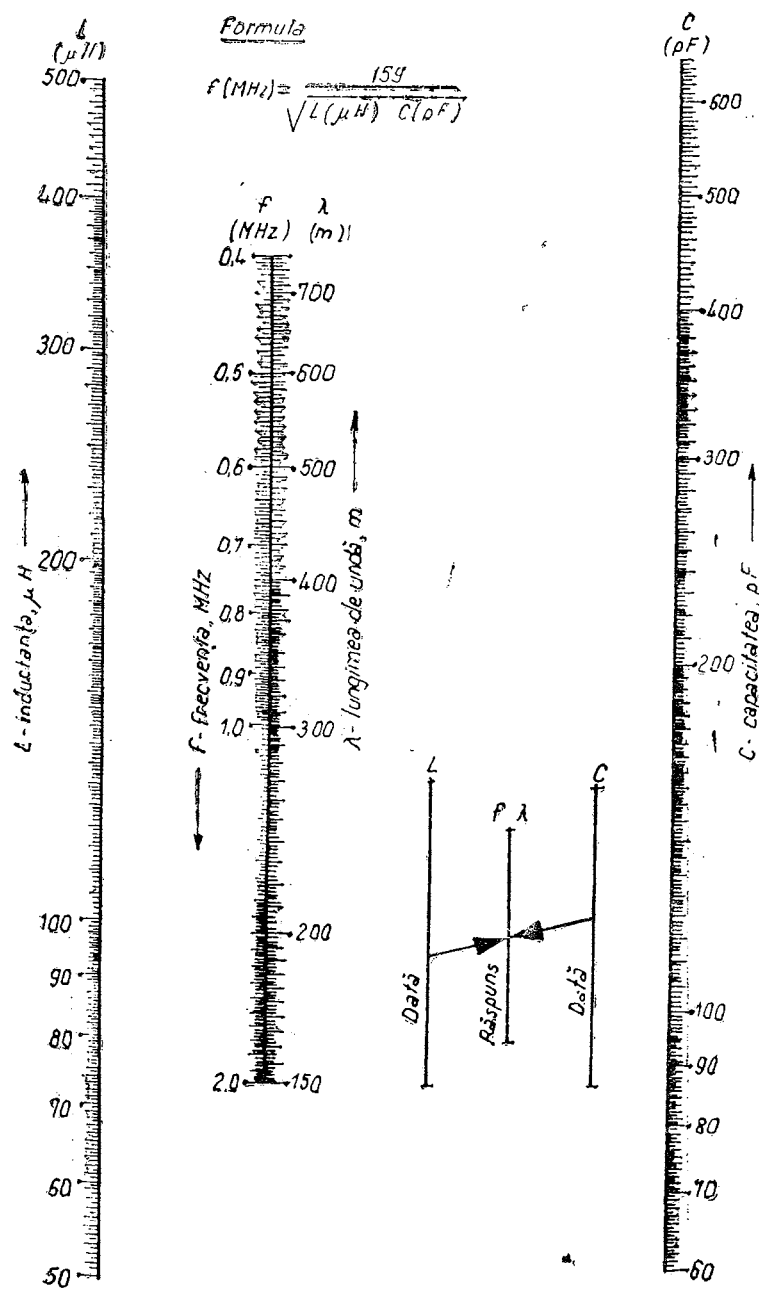


Fig. 2.33

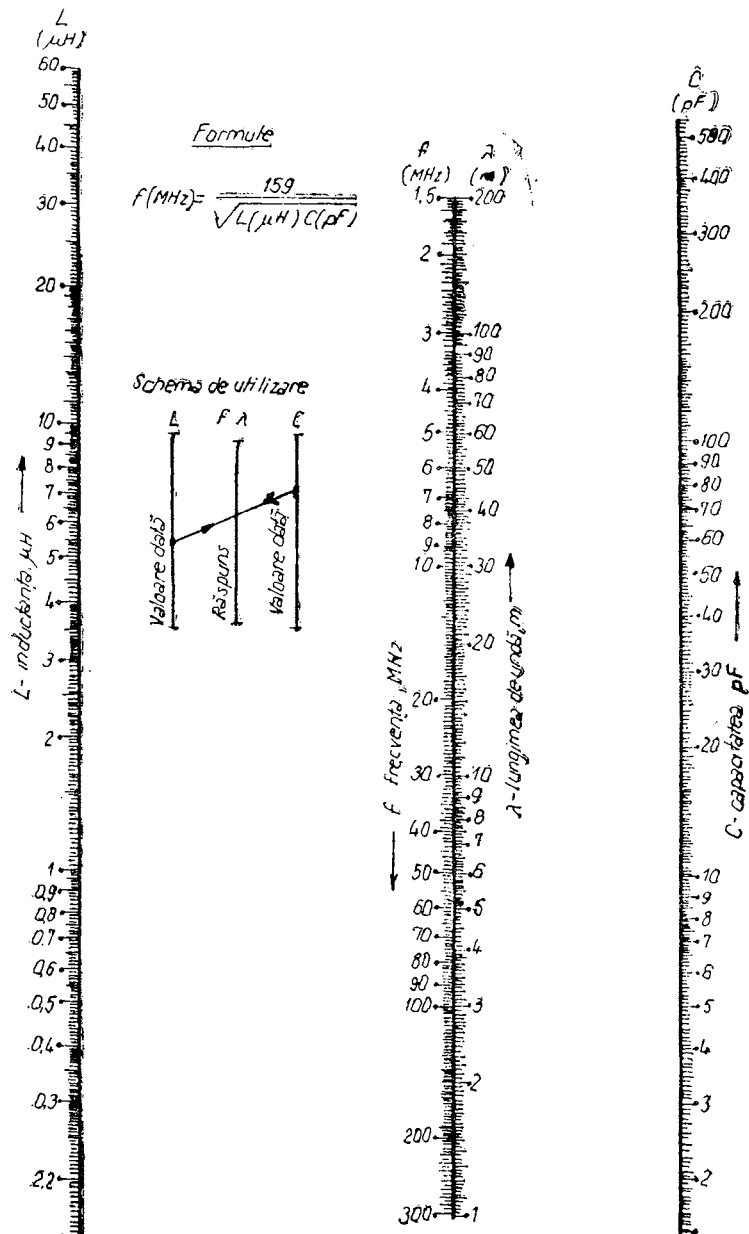


Fig. 2.34

$$x = \beta Q = \frac{X}{R}$$

β fiind dezacordul relativ : $\beta = \frac{\omega}{\omega_{rez}} - \frac{\omega_{rez}}{\omega} = \frac{f}{f_{rez}} - \frac{f_{rez}}{f}$.

În apropierea frecvenței de rezonanță expresia dezacordului este :

$$\beta \approx \frac{2\Delta\omega}{\omega_{rez}} = \frac{2\Delta f}{f_{rez}}$$

în care $\Delta\omega = \omega - \omega_{rez}$; $\Delta f = f - f_{rez}$.

În această situație modulul și argumentul impedanței circuitului serie sunt date de relațiile :

$$Z_s \approx R \sqrt{1 + 4Q^2 \left(\frac{\Delta f}{f} \right)^2};$$

$$\operatorname{tg} \varphi \approx \frac{2Q}{f_{rez}} \Delta f.$$

Din relațiile lui Z_s și $\operatorname{tg} \varphi$ se vede că Z_s variază simetric în jurul frecvenței de rezonanță f_{rez} , iar φ variază liniar.

La frecvențe îndepărțate de frecvența de rezonanță, expresia dezacordului relativ este :

$$\beta \approx \frac{\omega}{\omega_{rez}} = \frac{f}{f_{rez}}$$

În această situație :

$$Z_s = \beta Q R \text{ și } \operatorname{tg} \varphi = \beta Q.$$

Ecuația curbei de rezonanță a circuitului serie are expresia :

$$\frac{I}{I_{rez}} = \frac{1}{\sqrt{1 + \left[Q \left(\frac{\omega}{\omega_r} - \frac{\omega_r}{\omega} \right) \right]^2}}$$

Raportul $\frac{I}{I_{rez}}$ pentru $E = \text{const.}$ are denumirea și de selectivitate.

În apropierea frecvenței de rezonanță :

$$\frac{I}{I_{rez}} = \frac{1}{\sqrt{1 + 4Q^2 \left(\frac{\Delta f}{f_a} \right)^2}}$$

Nomograma din figura 2.35 permite calculul selectivității unui circuit oscilant în funcție de U/U_{rez} .

Atenuarea circuitului serie la frecvența f este dată de relația :

$$a = 20 \log \frac{I_0}{I} [dB].$$

Banda de trecere a circuitului oscilant serie reprezintă spectrul de frecvență cuprins în cadrul limitat de valorile curentului egal cu $\frac{I_0}{\sqrt{2}}$ (o atenuare de 3 db).

$$\beta Q = 1; B = \frac{f_{rez}}{Q}.$$

Nomograma din figura 2.36 permite calculul benzii de trecere a unui circuit oscilant.

Impedanța circuitului oscilant derivatie (figura 2.37) la o frecvență oarecare, în cazul cînd pentru simplificarea calculelor se neglijea ză rezistența de pierderi R_C a condensatorului (acesta incluzîndu-se în rezistența de pierderi a bobinei, astfel încît pierderile în circuit să rămînă aceleasi și rezistența echivalentă totală de pierderi a circuitului notîndu-se cu R), este :

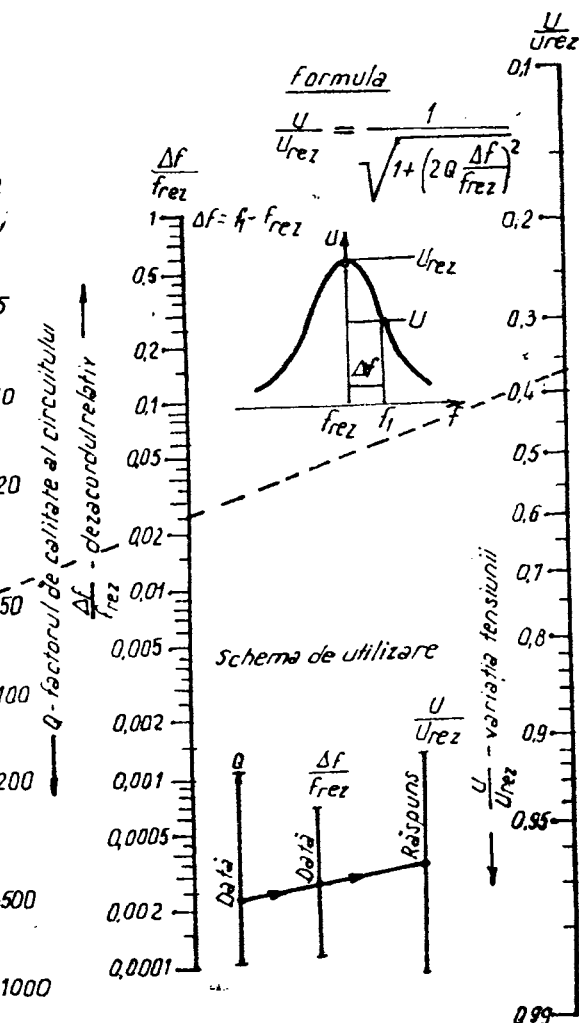


Fig. 2.35

$$Z_d = \frac{L}{C} \frac{1 - j \frac{1}{Q}}{Z_s},$$

unde $\frac{Z}{Q}$ este impedanța serie a circuitului echivalent;

Condiția de rezonanță este aceeași (pentru $Q \gg 1$) ca și în cazul circuitului oscilant serie.

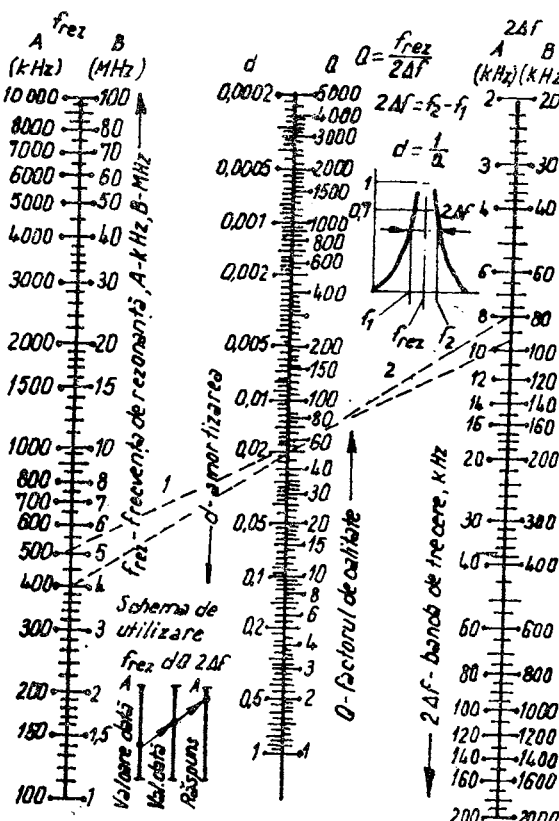


Fig. 2.36

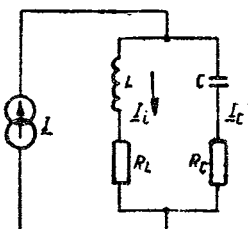


Fig. 2.37

Impedanța la rezonanță a circuitului derivativărie are expresia (pentru $Q \gg 1$) :

$$Z_{rez} \approx \frac{L}{CR} = Q\omega_{rez}L = Q^2R.$$

Comparind la rezonanță curentii din cele două brațe cu cel exterior circuitului rezultă :

$$\frac{I_C}{I_{rez}} = \frac{I_L}{I_{rez}} = Q.$$

Ecuația curbei de rezonanță a circuitului derivativărie este :

$$\frac{I_{rez}}{I} = \frac{1}{\sqrt{1 + \left[Q \left(\frac{\omega}{\omega_{rez}} - \frac{\omega_{rez}}{\omega} \right) \right]^2}}$$

Banda de trecere a circuitului oscilant derivativărie corespunzătoare unei atenuări de 3 dB este dată de relația $B = \frac{f_r}{Q}$.

Rezultă că banda de trecere a unui circuit derivativărie este cu atât mai mică (circuitul este cu atât mai selectiv), cu cît factorul de calitate este mai mare. Un calcul rapid al benzii de trecere a unui circuit oscilant derivativărie poate fi efectuat cu ajutorul nomogramei din figura 2.38.

Această nomogramă se utilizează astfel : pe scara Q se fixează valoarea factorului de calitate iar pe scara $\frac{U}{U_{rez}}$ raportul tensiunilor. Dreap-

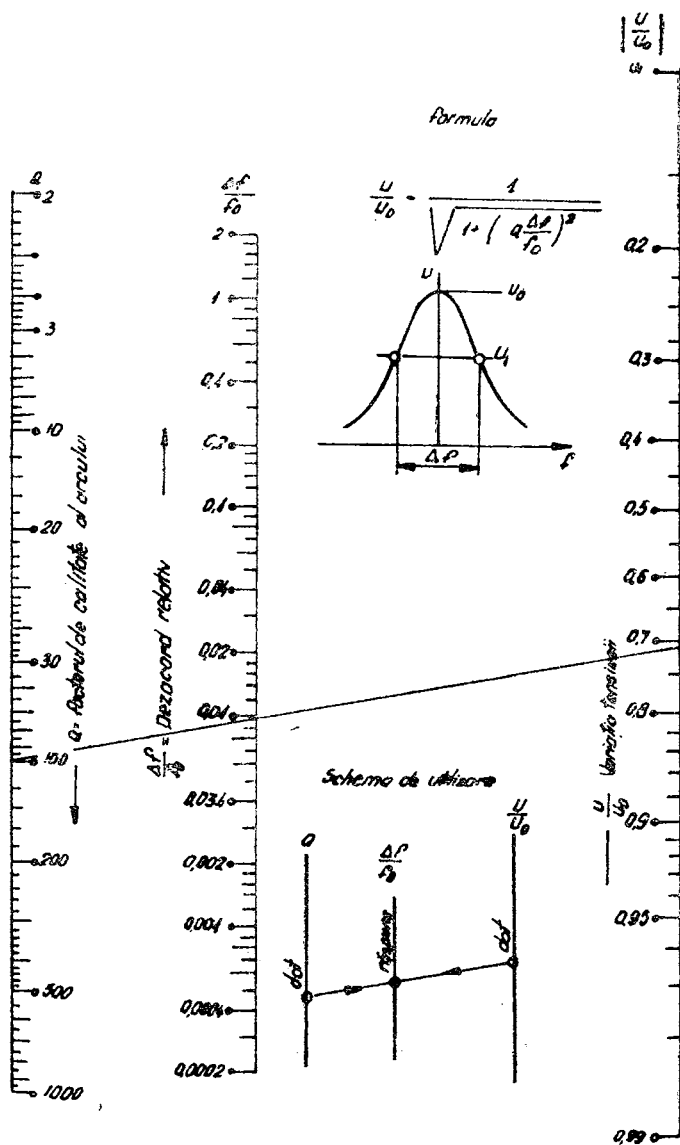


Fig. 2.38

ta care unește aceste puncte intersectează scara $\frac{\Delta f}{f_{rez}}$ în punctul corespunzător dezacordului relativ.

Exemplu : pentru $Q=100$ și $\left| \frac{U}{U_{rez}} \right| = \frac{1}{\sqrt{2}} = 0,707$, rezultă $\frac{\Delta f}{f_{rez}} = 0,01$ sau $\Delta f = 0,01 f_{rez}$.

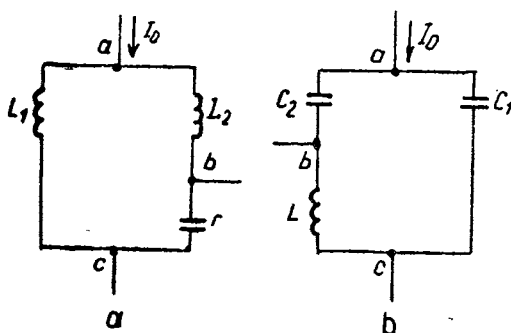


Fig. 2.39

Circuitele oscilante derive-
ție la care într-una din bucle este
o inductanță în serie cu un con-
densator se numesc circuite **com-
plexe** (figura 2.39).

În circuitele oscilante com-
plexe, rezonanța poate să apară
la două frecvențe diferite.

Pentru circuitul oscilant din
figura 2.39 a, frecvența de rezonanță serie este dată de formula :

$$\omega_1 = 2\pi f_1 = \frac{1}{\sqrt{L_1 C}}$$

iar frecvența de rezonanță derivatie :

$$\omega_0 = 2\pi f_0 = \frac{1}{\sqrt{(L_1 + L_2)C}}.$$

Din egalitățile de mai sus, rezultă :

$$\omega_1 = \omega_0 \sqrt{1 + \frac{L_1}{L_2}}$$

sau

$$\omega_1 = \omega_0 \sqrt{\frac{1}{1 - p}},$$

unde $p = \frac{L_1}{L_1 + L_2}$ este **coeficientul de cuplare a circuitului**.

Dacă L_1 și L_2 reprezintă inductanțele a două părți ale unei bobine,
atunci coeficientul p se determină cu formula :

$$p = \frac{L_1 + M}{L_1 + L_2 + 2M},$$

unde M este inductanța de cuplaj.

La rezonanță derivatie ($\omega = \omega_0$) rezistența echivalentă a circuitului este :

$$R_{eq} = p^2 \cdot \omega_0^2 \frac{(L_1 + L_2)^2}{r_s} = p^2 R_s,$$

iar pentru $p < 1$, $R_{eq} < R_s$, ceea ce este folosit pe larg în practică pentru adaptarea impedanței circuitului la o impedanță de sarcină. În mod corespunzător pentru circuitul oscilant complex cu două condensatoare (figura 2.39 b) frecvența de rezonanță serie se determină cu formula :

$$\omega_1 = 2\pi f_1 = \frac{1}{\sqrt{LC_s}};$$

iar frecvența de rezonanță derivație :

$$\omega_0 = 2\pi f_0 = \frac{1}{\sqrt{L \frac{C_1 C_2}{C_1 + C_2}}}$$

Din relațiile de mai sus, rezultă :

$$\omega_0 = \omega_1 \sqrt{\frac{C_1 + C_2}{C_1}}$$

$$p = \frac{C_2}{C_1 + C_2}.$$

Pentru circuitul cu două condensatoare la rezonanță serie ($\omega = \omega_0$) este valabilă formula pentru R_{eq} .

unde

$$\omega_0 = \omega_1 \sqrt{\frac{1}{1 - p}},$$

Impedanța la rezonanță a circuitului derivație cu priză (figura 2.40) este dată de relația :

$$Z_p = p^2 \frac{L}{CR},$$

în care :

$$p = \frac{L_1}{L}.$$

Factorul de calitate echivalent Q , al circuitului derivație cu priză este dat de relația :

$$Q_e = \frac{\omega_r (L_1 + L_2 + 2M)}{R + \frac{\omega^2 (L_1 + M)^2}{R}},$$

În cazul circuitului derivație cu inductanțe și capacitate în ambele ramuri și factorii de calitate ai celor două ramuri suficient de mari, impedanța la rezonanță este dată de relația :

$$Z_d \approx - \frac{X_{10} X_{20}}{R},$$

în care : X_{10} și X_{20} reprezintă reactanțele celor două ramuri la rezonanță.

Frecvența la rezonanță rezultă practic din condiția $X_s = 0$.

Pentru circuitele cu rezonanțe multiple variația reactanței cu frecvență se determină prin însumarea variațiilor reactanțelor sau susceptanțelor componentelor, după cum sunt conectate în serie sau în derivație.

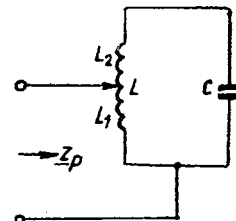


Fig. 2.40

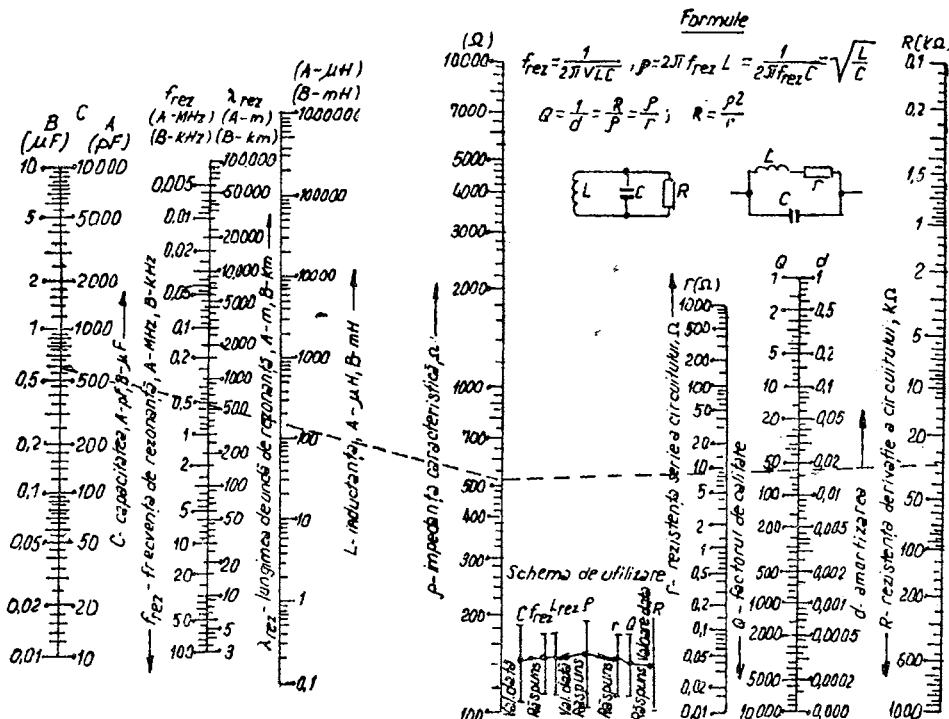


Fig. 2.41

Pentru circuitele fără pierderi reactanța sau susceptanța este întotdeauna crescătoare cu frecvența (teorema lui Foster).

O influență esențială este exercitată asupra valorii factorului de calitate a circuitului derivativ și, în consecință, asupra valorii $R_{e\alpha}$, de către rezistența de pierderi r , rezistența internă a sursei R_s și alte rezistențe R_s care șuntează circuitul. Rezistența serie r , care micșorează factorul de calitate, poate fi în caz de nevoie recalculată într-o rezistență derivativă și invers: $R_s = \rho^2 / r$ (acest calcul se poate face cu ajutorul nomogramei din figura 2.41). Din punctul de vedere al influenței lor asupra factorului de calitate al circuitului, rezistențele astfel calculate, r și R_s vor fi echivalente.

Pentru evaluarea formei unei curbe de rezonanță conform cu măsura în care se apropie de forma dreptunghiulară (ideală) se folosește coefficientul de dreptunghiularitate K_d , egal cu raportul dintre lărgimea benzii de trecere a circuitului sau sistemului de circuite la nivelul 0,1 sau 0,01 și lărgimea benzii de trecere a aceluiși circuit (sau sistem) la nivelul 0,7. Astfel, coefficientul de dreptunghiularitate indică de câte ori este mai îngustă banda normală de trecere a circuitului (la nivelul 0,7) decât banda luată la un nivel pentru care frecvența perturbatoare este atenuată de 10 sau 100 de ori (figura 2.42).

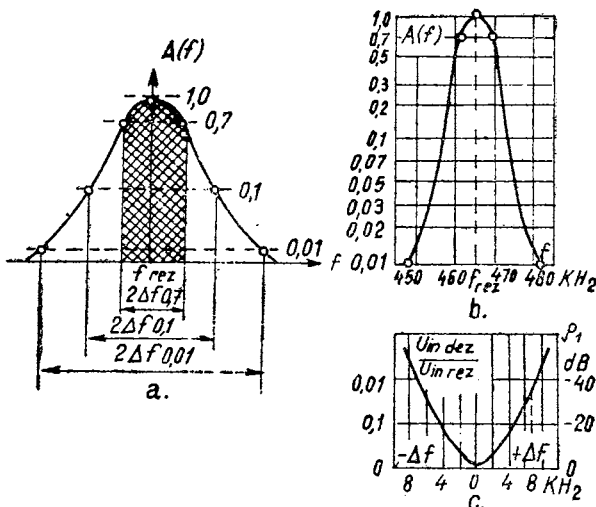


Fig. 2.42

$$K_{d\ddot{o},\ddot{1}} = \frac{2\Delta f_{0,1}}{2\Delta f_{0,7}} = \frac{\Delta f_{0,1}}{\Delta f_{0,7}} \quad \text{sau} \quad K_{d\ddot{o},\ddot{0}1} = \frac{\Delta f_{0,01}}{[\Delta f_{0,7}]}$$

Cu cât este mai apropiat de unitate coeficientul de dreptunghiularitate cu atât este mai bună forma curbei de rezonanță, deoarece aceasta arată că pantele curbei nu se extind decât cu puțin dincolo de nivelele 0,7. Coeficientul de dreptunghiularitate K_d nu depinde de parametrii circuitelor ci doar de numărul lor și de cuplajul dintre ele (sau dezacordul reciproc). Un circuit separat, de exemplu, are următoarele valori ale coeficientului de dreptunghiularitate: $K_{d0,1}=10$; $K_{d0,01}=100$ (tabelul 2.5). Aceste cifre dovedesc că la rezonanță curba unui circuit separat este foarte îndepărtată de forma dreptunghiulară și, prin urmare, un asemenea circuit introduce mari distorsiuni de frecvență în spectrul amplificat. Dacă în receptor există două circuite identice, necouplete, separate de exemplu printr-un element activ, ambele fiind acordate la rezonanță, coeficientul de dreptunghiularitate al întregului sistem devine mult mai mic: $K_{d0,1}=4,8$ și $K_{d0,01}=16$, deci cu mărirea numărului de circuite, curba rezultantă de rezonanță se îmbunătățește (se apropie de cea dreptunghiulară). Aceasta se explică prin faptul că fiecare dintre circuite introduce o anumită atenuare la frecvențele situate la o distanță de cea de rezonanță. Dacă un circuit atenuază

o anumită frecvență de n ori două circuite identice acordate la rezonanță o vor atenua de n^2 ori iar trei de n^3 ori etc. La construirea caracteristicilor de frecvențe rezultante pentru mai multe circuite sau etaje de amplificare rezonante, caracteristicile de frecvență individuale se înmulțesc, adică se înmulțesc ordonatele lor (valorile de pe axa verticală) pentru aceleași frecvențe. Prin punctele obținute ca rezultat al înmulțirii se construiește noua curbă. De aceea pantele curbei rezultante se obțin mult mai abrupte, iar coeficientul de dreptunghiularitate — mai mic.

TABELUL 2.5

Coeficienții de dreptunghiularitate ai sistemelor selective

Nr. variantei	Schema	Regimul de acord	Numărul de etaje care conțin circuite oscilante					
			1	2	3	4	5	6
1		Toate circuitele la rezonanță $K_{d0,1}$ $K_{d0,01}$	10 100	4,8 16	3,75 9,0	3,4 7,0	3,2 6,1	3,1 5,6
2	Circuit unic (în fiecare etaj amplificator cite un un circuit)	Circuite acordate la două frecvențe $K_{d0,1}$ $K_{d0,01}$ $\beta_d = \beta_{dmax}$	— —	3,32 7,05	— —	1,67 2,85	— —	1,54 2,22
3		Circuite acordate la trei frecvențe $\beta_d = \beta$ $K_{d0,1}$ $K_{d0,01}$ $= \beta_{dmax}$	— —	— —	1,54 3,0	— —	— —	1,28 1,73
4		Cuplaj subcritic $K_{d0,01}$ ($\beta_c = 0,5$) $K_{d0,01}$	4,1 13,3	3,0 5,9	2,7 4,6	2,61 4,15	2,6 4,0	2,59 3,89
5	Cu două circuite	Cuplaj critic $K_{d0,1}$ ($\beta_c = 1$) $K_{d0,01}$	3,2 10	2,2 4,0	1,95 3,0	1,85 2,7	1,78 2,5	1,76 2,4
6		Cuplaj maxim admis $K_{d0,1}$ ($\beta_c = \beta_{cmax}$) $K_{d0,01}$	2,32 7,05	1,67 2,85	1,54 2,22	1,48 1,98	1,45 1,85	1,43 1,79
7	Mixt	Număr egal de etaje $K_{d0,1}$ cu două circuite și $K_{d0,01}$ cu un circuit ($\beta_c = \beta_{cmax}$)	— —	1,54 3,0	— —	1,28 1,73	— —	1,22 1,5

Observație. În variantele 1, 4 și 5, curba de rezonanță are o singură cocoasă, în variantele 2 și 6 — două, iar în variantele 3 și 7 — trei. Valoarea β_d este parantezul de dezacord :

$$\beta_d = \frac{f_{rez1} - f_{rez2}}{2d_{ech}f_{med}}$$

În afară de caracteristica obișnuită de rezonanță (figura 2.42 b) se întâlnește adeseori imaginea ei răsturnată.

În afara tabelului 2.5 pentru determinarea coeficientului de dreptunghiularitate al unui circuit oscilant se poate utiliza și nomograma din figura 2.43.

În tabelul 2.6 sunt cuprinse formulele de bază pentru calcularea circuitelor oscilante.

Tabelul 2.7 prezintă sintetic amortizarea, factorul de calitate și rezistența la rezonanță a circuitelor acordate.

Tabelul 2.8 indică scheme uzuale de circuite selective folosite la oscilațioarele *LC*.

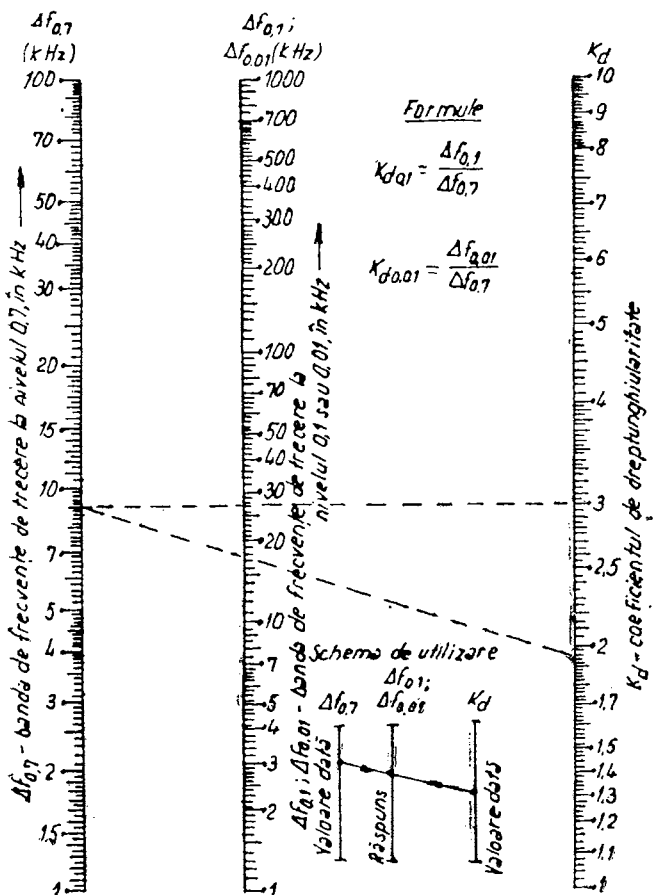


Fig. 2.43

TABELUL 2.6

Formulele de bază pentru calcularea circuitelor oscilante

Schemă	Impedanța între punctele a și b	Faza pentru f_x	Frecvența la rezonanță	Rezistența la rezonanță între punctele a și b	Defațajul f_{rez}
	$X = X_L - X_C$	$\operatorname{tg} \varphi = \pm \infty$	$f_{rez} = \frac{1}{2\pi\sqrt{LC}}$	$R_{rez} = 0$	$\varphi = 0$
	$X = \frac{-X_L X_C}{X_L - X_C}$	$\operatorname{tg} \varphi = \pm \infty$	$f_{rez} = \frac{1}{2\pi\sqrt{LC}}$	$R_{rez} = \infty$	$\varphi = 0$
	$Z = \sqrt{r^2 + (X_L - X_C)^2}$	$\operatorname{tg} \varphi = \frac{X_L - X_C}{r}$	$f_{rez} = \frac{1}{2\pi\sqrt{LC}}$	$R_{rez} = r$	$\varphi = 0$
	$Z = X_C \sqrt{\frac{r^2 + X_L^2}{r^2 + (X_L - X_C)^2}}$	$\operatorname{tg} \varphi = \frac{-X_L(X_L - X_C) - r^2}{X_C r}$	$f_{rez} = \frac{1}{2\pi\sqrt{LC}}$	$R_{rez} = \frac{L}{C_V}$	$\varphi = 0$
	$Z = \frac{1}{R^2 \left(\frac{1}{X_C} - \frac{1}{X_L} \right)^2}$	$\operatorname{tg} \varphi = R \frac{X_C - X_L}{X_C X_L}$	$f_{rez} = \frac{1}{2\pi\sqrt{LC}}$	$R_{rez} = R$	$\varphi = 0$

X, X_L, X_C, R, r, Z – în Ω ; f – în Hz; L – în H; C – în F;

$t_1 < f_{rez} > f_2$

TABELUL 2.7

Amortizarea, factorul de calitate și rezistența la rezonanță a circuitelor acordate

$$d = \frac{16\ 000 \times r}{fL} = \frac{fCr}{1,6 \cdot 10^6}$$

$$d = \frac{100}{R_{rez}} \sqrt{\frac{L}{C}}$$

$$d = \frac{r}{10} \sqrt{\frac{C}{L}}$$

$$d = \frac{100}{Q}$$

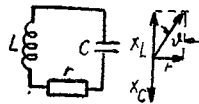
$$Q = \frac{fL}{100r} = \frac{1,6 \times 10^8}{fCr}$$

$$Q = R_{rez} \sqrt{\frac{C}{L}}$$

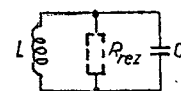
$$Q = \frac{1\ 000}{r} \sqrt{\frac{L}{C}}$$

$$Q = \frac{100}{d}$$

$$d^* = \operatorname{tg} \theta = \frac{r}{X_{rez}} = \frac{X_{rez}}{R_{rez}(\Omega)}$$



$$Q = \frac{1}{\operatorname{tg} \theta} = \frac{X_{rez}}{r} = \frac{R_{rez}(\Omega)}{X_{rez}}$$



$$r = \frac{1\ 000L}{CR_{rez}} = 10d \sqrt{\frac{L}{C}}$$

$$r = \frac{1\ 000}{Q} \sqrt{\frac{L}{C}}$$

$$r = \frac{dfL}{16\ 000} = \frac{1,6 \times 10^6 d}{fC}$$

$$r = \frac{fL}{160Q} = \frac{1,6 \times 10^8}{CfQ}$$

$$R_{rez} = \frac{1\ 000L}{Cr} = \frac{100}{d} \sqrt{\frac{L}{C}}$$

$$R_{rez} = Q \sqrt{\frac{L}{C}}$$

$$R_{rez} = \frac{fL}{1\ 000d}$$

$$R_{rez} = \frac{6,3QfL}{10^6}$$

d, în % (*d**, nu este în %); *L*, în μH ; *C*, în pF ; *r* în Ω ; *R_{rez}*, în Ω ; *f*, în KHz

Circuite selective folosite în oscilatoarele LC

Denumirea circuitului	Circuit acordat în poartă sau bază	Circuit acordat în dreptă sau colector	Hartley
Schemă circuitului			
ω_0	$\frac{1}{\sqrt{L_1 C_1}}$	$\frac{1}{\sqrt{L_2 C_2}}$	$\frac{1}{\sqrt{C_3(L_1 + L_2 + 2M)}}$

2.2.2. Circuite cuplate

Circuitele oscilante în care energia între-un circuit se transmite în celălalt se numesc circuite cuplate și formează sisteme oscilante. Circuitele pot fi cuplate între ele în diferite moduri (figura 2.44).

Pentru sistemele de circuite cuplate este caracteristică prezența cîtorva frecvențe de rezonanță. Așa de exemplu, sistemul de două circuite identice cuplate suficient strîns ($L_1 = L_2 = L$; $C_1 = C_2 = C$) (figura 2.44 a) are trei frecvențe de rezonanță, determinate de formulele :

$$\omega_0 = \frac{1}{\sqrt{LC}}$$

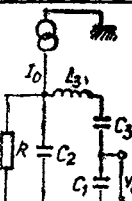
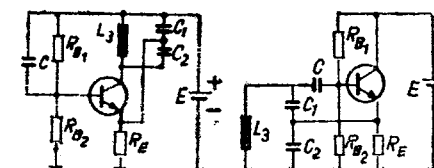
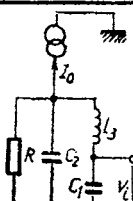
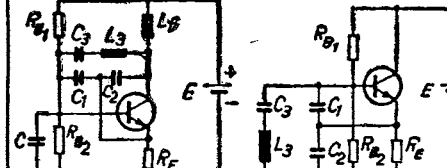
$$\omega_{1,2} \approx \frac{\omega_0}{\sqrt{1 + \frac{M}{L}}}$$

unde ω_1 este frecvența inferioară de cuplaj, obținută pentru $+ \frac{M}{L}$;

ω_2 — frecvența superioară de cuplaj pentru $- \frac{M}{L}$.

TABELUL 2.8

(oscilatoare în trei puncte)

Colpitts	Clapp
  $CR_B \gg \frac{2\pi}{\omega_0}; R_E \gg \frac{1}{\omega_0 C_f}$ $R_E \gg \frac{1}{\omega_0 C_2}; R_B \gg \frac{C_1 + C_2}{\omega_0 C_1 C_2}$	  $R_E \gg \frac{1}{\omega_0 C_1}; L_f \gg L_3;$ $R_E \gg \frac{1}{\omega_0 C_2}; R_B \gg \frac{C_1 + C_2}{\omega_0 C_1 C_2}$
$\sqrt{\frac{1}{L_3} \left(\frac{1}{C_1} + \frac{1}{C_2} \right)}$	$\sqrt{\frac{1}{L_3} \left(\frac{1}{C_1} + \frac{1}{C_2} + \frac{1}{C_3} \right)}$

Coefficientul de cuplaj dintre circuite poate fi calculat cu următoarele formule:

— pentru cuplaj inductiv (figura 2.44, a) :

$$k_c = \frac{M}{L} = \frac{M}{\sqrt{L_1 L_2}};$$

unde M este inductanța mutuală, definită de relația

$$M = \sqrt{Z_1 Z_2 / 2\pi f_r}$$

Z_1, Z_2 — fiind impedanțele celor două circuite iar f_r — frecvența de rezonanță.

Cu ajutorul nomogramei din figura 2.45 se poate determina coefficientul de cuplaj și inductanța mutuală pentru circuite cu cuplaj inductiv

— pentru cuplajul prin autotransformator (figura 2.44, b)

$$k_c = \frac{L_e}{\sqrt{L_1(L_2 + L_e)}};$$

— pentru cuplaj capacativ (figura 2.44, c) :

$$k_c = \sqrt{\frac{C_1 C_2}{(C_1 + C_e)(C_2 + C_o)}};$$

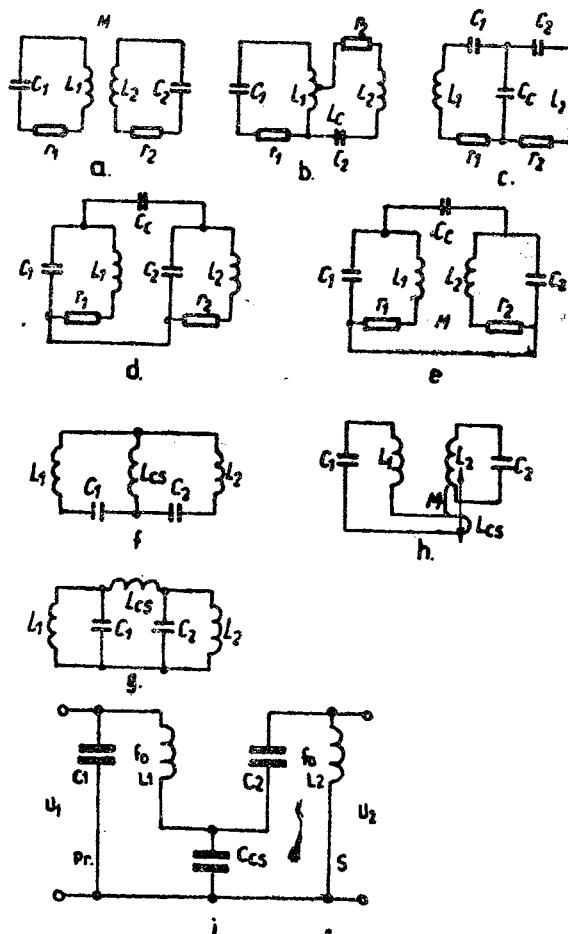


Fig. 2.44

— pentru cuplaj capacativ exterior (figura 2.44, d) :

$$k_c = \frac{C_2}{C_2 + C_c} ;$$

— pentru cuplaj inductiv-capacitiv (figura 2.44, e) :

$$k_c = \frac{M}{\sqrt{L_1 L_2}} + \frac{C_2}{C_2 + C_c} ;$$

— pentru cuplaj inductiv interior (figura 2.44, f) :

$$k_c = \frac{L_c}{\sqrt{L_1 L_2}} ;$$

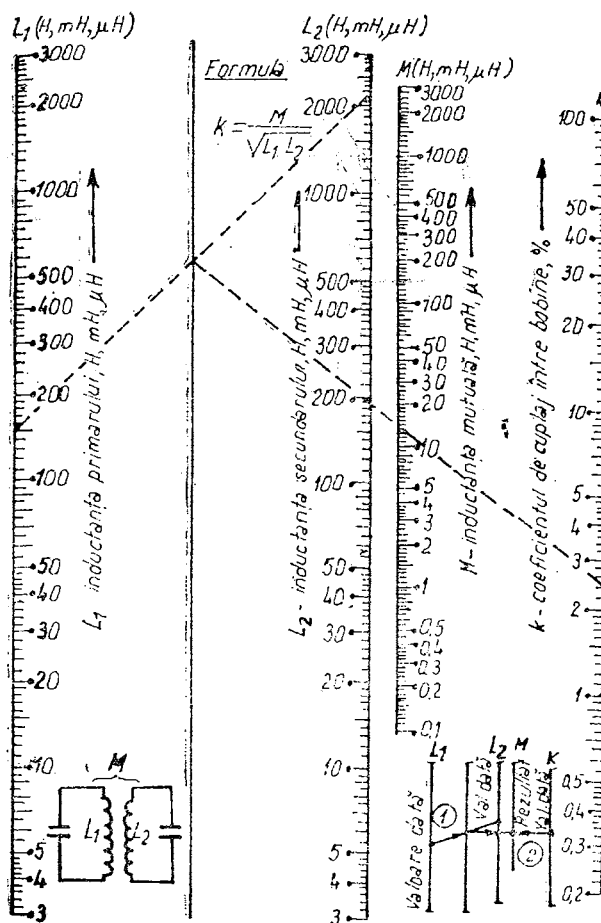


Fig. 2.45

Frecvențele de rezonanță ω_0 , ω_1 și ω_2 se pot determina cu relația:

$$\omega_{1,2} = \omega_0 \left[1 \pm \frac{1}{2Q} \sqrt{g^2 - 1} \right]$$

Frecvențele ω_1 și ω_2 există numai dacă $g > 1$, cuplajul pentru care $g = 1$ numindu-se cuplaj critic. Dacă frecvențele ω_1 și ω_2 există, la aceste frecvențe curba de rezonanță are maxime egale iar la frecvența ω_0 un minim. Dacă frecvențele ω_1 și ω_2 nu există ($g \leq 1$) la frecvența ω_0 curbă de rezonanță are un maxim.

Curbele de rezonanță ale sistemului format din două circuite cuplate identice pentru două valori particulare ale indicelui de cuplaj ($g = 1$ și $g = 2,41$) sunt reprezentate în figura 2.46. În această figură este reprezentată punctat caracteristica de frecvență pentru un singur circuit oscilant.

— pentru cuplaj inductiv exterior (figura 2.44, g) :

$$k_c = \frac{\sqrt{L_1 L_2}}{L_c};$$

— pentru cuplaj cu inductanță serie (figura 2.44, h) :

$$k_c = \frac{M}{(L_1 + L_c)L_2}$$

— pentru cuplaj capacativ inferior (figura 2.44, i) :

$$k_c = \frac{\sqrt{C_1 C_2}}{C_c} \text{ pentru } C_c \gg \\ \gg C_1, C_2$$

Considerând circuitele cuplate prezentate în figura 2.44, avînd primarul identic cu secundarul atât în ceea ce privește elementele reactive cît și rezistențele de pierderi, se poate introduce noțiunica de indice de cuplaj g :

$$g = k_c Q$$

unde Q este factorul de calitate al primarului, egal cu cel al secundarului.

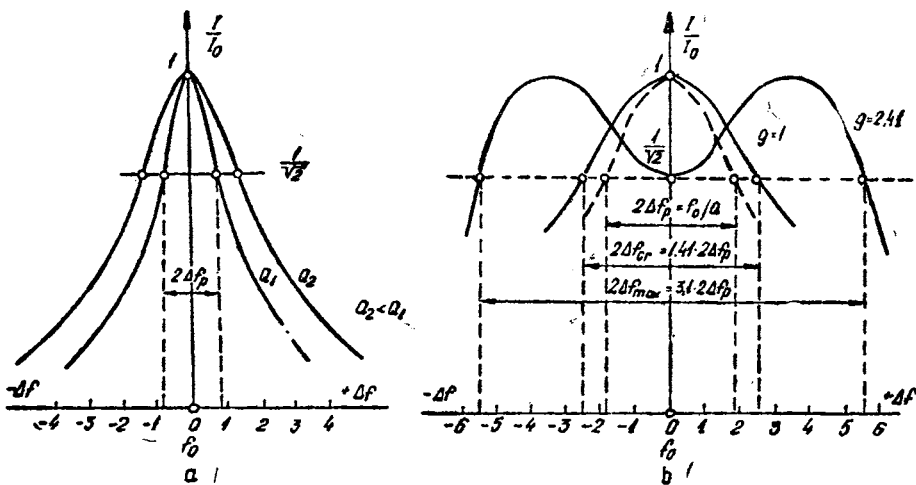


Fig. 2.46

Benzile de trecere la o neuniformitate de $1/\sqrt{2}$ (3dB) a curbelor de rezonanță sunt în funcție de indicele de cuplaj :

$$g=1; \quad 2\Delta f_{cr} = 1,41 \frac{f_o}{Q};$$

$$g=2,41; \quad 2\Delta f_{max} = 3,1 \frac{f_o}{Q}.$$

Nomograma din figura 2.47 servește pentru calculul elementului de cuplaj a două circuite oscilante — inducțanță mutuală M sau capacitatea C_c .

În schemele de radiotehnică se întâlnesc deseori două (mai rar trei-patru) circuite cuplate între ele și constituind un sistem oscilant unic.

Astfel de sisteme joacă rolul de transformatoare de frecvențe înalte și intermedii, de filtre de tipuri diferite și diverse destinații, de circuite de selectivitate concentrată etc.

Circuitele cuplate care intră în compunerea sistemului exercită o anumită influență unul asupra celuilalt, iar caracteristicile sistemului în întregime se deosebesc de caracteristicile individuale ale circuitelor sale. În unele cazuri această deosebire este mică, de exemplu la un cuplaj slab între circuite; în altele, sistemul capătă proprietăți complet noi în frecvență; coacoase și minime între ele (la un cuplaj strâns).

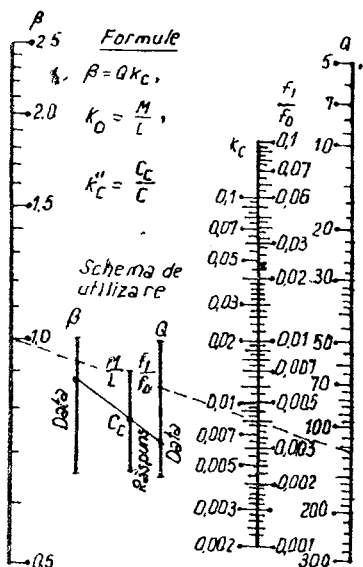


Fig. 2.47

Al doilea efect, care apare datorită reflectării în primul circuit a unei reactanțe (o influență inductivă sau capacativă din partea celui de al doilea circuit), conduce la apariția în sistem a două noi frecvențe de rezonanță, în afara celei proprii, f_0 . În unul dintre cazuri reactanța se consideră pozitivă și frecvența circuitului se micșorează iar în cel de al doilea negativă și, prin urmare, frecvența sa crește. Noile frecvențe de rezonanță ale circuitului sistemului se numesc frecvențe de cuplaj și pot fi determinate conform unei formule aproximative sau unei nomograme (figura 2.48)

$$f_c \approx f_0 \left(1 + \frac{k_c}{2} \right)$$

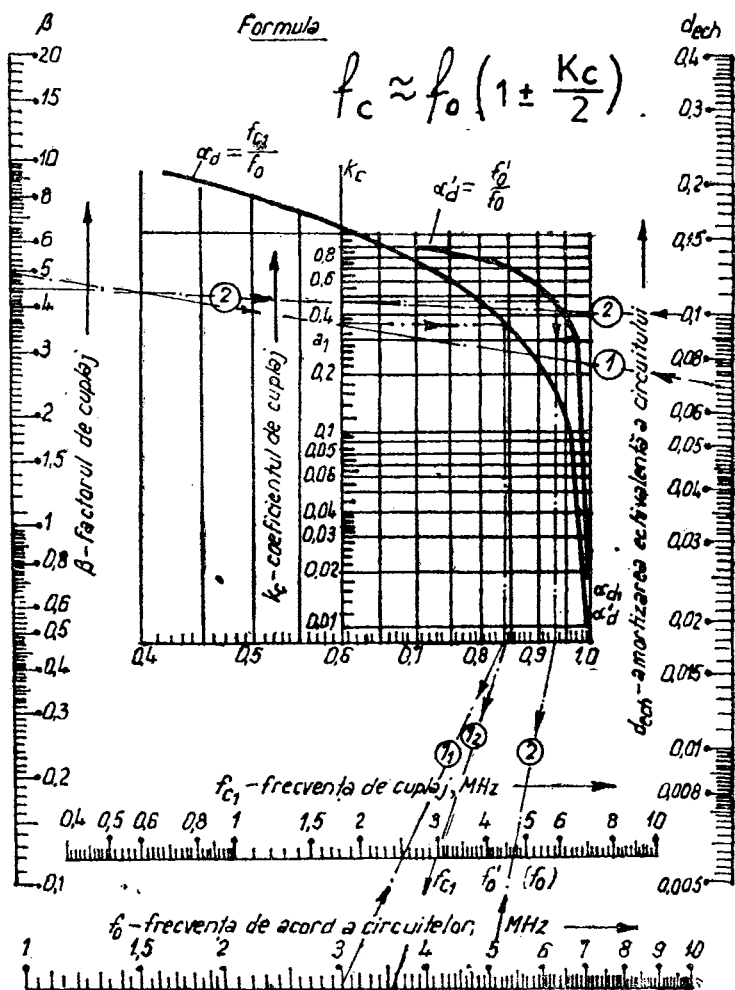


Fig. 2.48

(luându-se pentru una din frecvențe semnul plus iar pentru celalătă semnul minus).

Cu cît este mai strâns couplajul dintre circuite (k , mai mare) cu atât se îndepărtează mai mult frecvențele de cuplaj și cu atât mai adinc este minimumul care se formează între cele două cocoșe.

2.2.3. Amplificatoare selective

Banda de trecere la -3dB a unui amplificator cu un singur circuit acordat (ca cel arătat în figura 2.49) se calculează cu ajutorul formulei $B = f_0/Q$, unde f_0 este frecvența de rezonanță al circuitului oscilant, Q factorul de calitate al acestui circuit și B banda de trecere cînd tensiunea de ieșire este $0,707 \times$ tensiunea la rezonanță.

Această relație se bazează pe faptul că, presupunind pierderile datorate în întregime rezistenței paralel a circuitului oscilant, impedanța circuitului oscilant paralel în apropierea frecvenței de rezonanță variază conform relației :

$$Q = \frac{f_0}{2\Delta f} \left(\frac{Z_0^2}{Z} - 1 \right)^{1/2}$$

unde Δf este deplasarea de frecvență față de f_0 , Z_0 impedanța la rezonanță, și Z impedanța la $f_0 \pm \Delta f$. În mod similar se poate exprima Q în funcție de U .

$$Q = \frac{f_0}{2\Delta f} \left(\frac{U_0^2}{U} - 1 \right)^{1/2}$$

unde U_0 este tensiunea pe oricare reactantă la rezonanță și U tensiunea la $f_0 \pm \Delta f$. Această formulă are importanță la studiul amplificatoarelor selective de tipul celor de pe figura 2.50 unde circuitul acordat este de fapt un circuit paralel și tensiunea electromotoare de la intrare se transmite prin inductanță mutuală.

Expresia lui Q poate fi scrisă sub forma generală

$$Q = \frac{f_0}{2\Delta f} (N^2 - 1)^{1/2},$$

unde N este raportul între răspunsul la frecvența de rezonanță și răspunsul la $f_0 \pm \Delta f$. Pentru cazul special cînd $N = \sqrt{2}$, $N^2 - 1 = 1$ și atunci

$$Q = \frac{f_0}{2\Delta f} = \frac{f_0}{B}$$

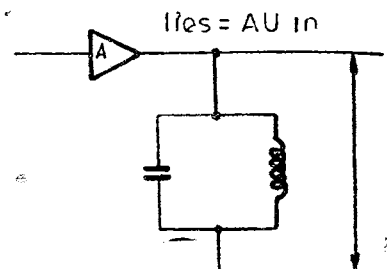


Fig. 2.49

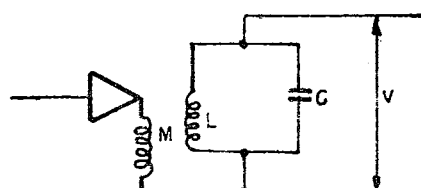


Fig. 2.50

Dacă se conectează în cascadă cîteva etaje similare banda de trecere descrește progresiv pentru o valoare dată a lui Q , conform relației:

$$Q = \frac{f_0}{B} (N^2)!! - 1)^{1/2}$$

unde n este numărul etajelor.

Nomograma din figura 2.51 dă o conversie a valorilor Q , N și B/f_0 pentru un singur etaj, N fiind dat ca un raport și totodată exprimat și în dB față de răspunsul la rezonanță.

Nomograma din figura 2.52 face o conversie între valorile lui N pentru o bandă de trecere dată și valorile Q cu unul, două, trei etaje, scările fiind marcate prin N_1 , N_2 , N_3 .

Pentru a găsi valoarea dorită a lui Q care să dea o bandă de trecere și răspuns particular pentru amplificatoare cu două sau trei etaje, mai întii se folosește nomograma de pe figura 2.52 ca să găsim valoarea lui N_1 corespunzătoare lui N_2 și N_3 , pe urmă se utilizează nomograma de pe figura 2.51, ca să găsim valoarea lui Q apropiată de această valoare a lui N și de banda de trecere cerută.

Nomograma din figura 2.53 dă posibilitatea calculării benzii de trecere și a selectivității unui amplificator din n etaje cu circuite cuplate.

Curbele de pe nomogramă sint construite pentru diverse valori ale factorului de cuplaj $\beta_o = k_o Q$, unde k_o este coeficientul de cuplaj al circuitelor.

Dacă se calculează un amplificator de frecvență intermediară, pentru f_0 se alege frecvența intermediară f_{int} și în calculul amplificatorului de înaltă frecvență f_0 este frecvența medie a gamelor receptioane:

$$f_0 = f_{med} = \sqrt{f_{int} f_{sup}}$$

Prin α se notează pe nomogramă raportul dintre amplificarea maximă K_{max} și amplificarea la un dezechILDACORD dat K_f , adică $\alpha = K_{max}/K_f$, (pentru o perche de circuite).

Nomograma dă posibilitatea construirii caracteristicii de frecvență a unui amplificator. Pentru

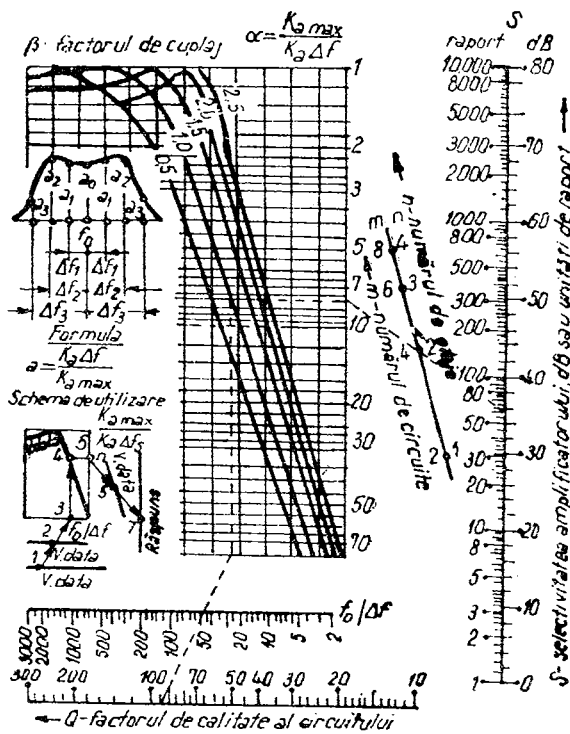


Fig. 2.53

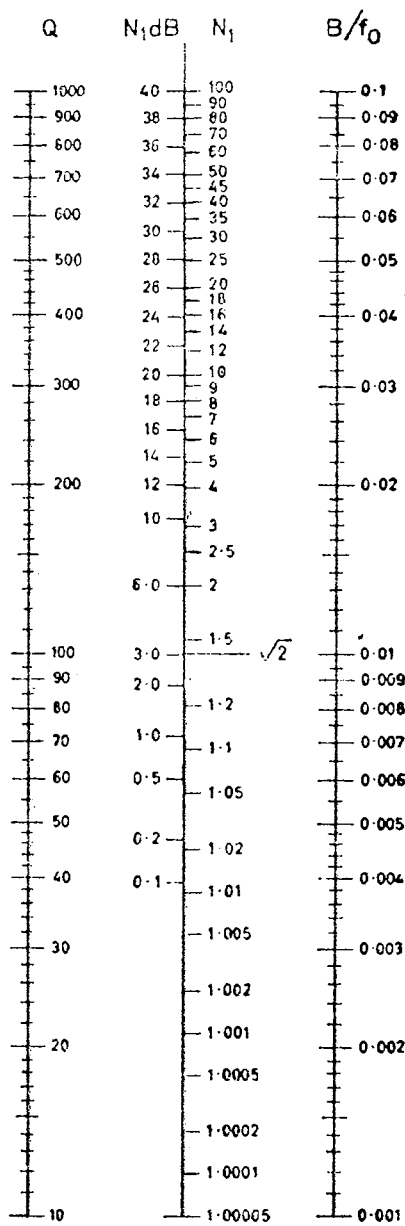


Fig. 2.51

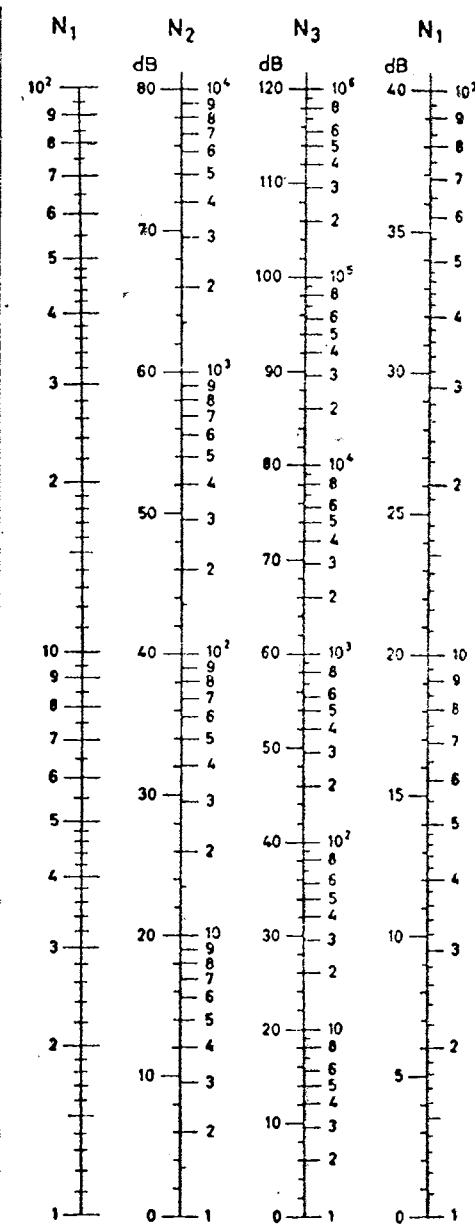


Fig. 2.52

aceasta se aleg diverse valori ale dezacordului Δf și se obțin cîteva valori α , cu ajutorul căror se trasează caracteristica.

Exemplu: Se dă: $Q=90$; $f_0=465$ kHz; $\Delta f=10$ kHz; $n=2$; $m=4$; $\beta_c=1$ (cuplaj critic).

Rezultă: $f_0/\Delta \approx 46,5$; $\alpha \approx 7,9$; $S \approx 35,8$ dB sau de 60 de ori.

Amplificarea la frecvența de acord este:

$$A_{01} = \frac{S}{2\pi f_r(C_s + C_t + C')} .$$

iar produsul amplificare-bandă :

$$A_{01}B_{1(3 \text{ dB})} = \frac{S}{2\pi(C_s + C_t + C')} .$$

Dacă quadripolul C este compus din circuite cuplate derivație, capacitațile C'_1 și C'_2 fiind capacitațile de acord pentru primar și secundar, iar quadripolul Γ avînd circuite cuplate acordate sincron pe frecvența f_r , atunci amplificarea la această frecvență este :

$$A_{01c} = \frac{Sg\sqrt{Q_1Q_2}}{2\pi f_r\sqrt{(C_s + C'_1)(C_t + C'_2)(1+g^2)}} .$$

Dacă circuitele sunt cuplate peste cuplajul de tranziție, banda se definește în sens Cebîșev și este :

$$B_{1e} = \frac{f_r}{Q_1Q_2} \sqrt{2} \sqrt{g^2 - \frac{b}{2}}$$

la o neuniformitate :

$$\frac{A_{M1c}}{A_{01c}} = \eta = \sqrt{\frac{1+g^2}{1+g^2(b+2) - \frac{b^2}{4}}} .$$

Dacă circuitele sunt cuplate la cuplajul de tranziție, banda se definește la o atenuare de 3 dB și este :

$$B_{1t(3 \text{ dB})} = \frac{f_r}{\sqrt{Q_1Q_2}} \sqrt{1+g^2} .$$

Produsul amplificare-bandă pentru cele două cazuri este :

$$A_{01e}B_{1e} = \frac{\sqrt{2}S}{2\pi\sqrt{(C_s + C'_1)(C_t + C'_2)}} \frac{g\sqrt{g^2 - \frac{b}{2}}}{1+g^2} ;$$

$$A_{01e}B_{1t(3 \text{ dB})} = \frac{S}{2\pi\sqrt{(C_s + C'_1)(C_t + C'_2)}} \frac{g}{\sqrt{1+g^2}} ;$$

În cazul amplificatoarelor formate din n etaje identice, produsul dintre amplificarea pe etaj $A_{01}^{1/n}$ la frecvența centrală f_0 și banda globală

B_n , raportat la produsul amplificare bandă a amplificatorului cu circuit derivație, având același element activ și aceleasi capacitate de acord, se numește **factor amplificare bandă (FAB)**.

La amplificatoarele cu circuite derivație se obține :

$$FAB = \frac{A_{0n}^{1/n} B_n (3 \text{ dB})}{A_{01} B_1 (3 \text{ dB})} = (2^{1/n} - 1)^{1/2}.$$

La amplificatoarele cu circuite cuplate se presupune că :

$$C'_1 + C_e + C'_2 + C_i = 2\sqrt{(C'_1 + C_e)(C'_2 + C_i)},$$

unde primul termen reprezintă capacitatea de acord a amplificatorului cu circuit derivație de referință.

În aceste condiții, pentru amplificatoarele cu circuite cuplate lucrînd la cuplajul de tranziție ($g = \sqrt{\frac{b}{2}}$) :

$$FAB = \frac{A_{0nc}^{1/n} B_{nt} (3 \text{ dB})}{A_{01} B_1 (3 \text{ dB})} = (2^{1/n} - 1)^{1/4} \frac{2g}{\sqrt{1+g^2}}.$$

Pentru un etaj amplificator cu circuite cuplate lucrînd peste cuplajul de tranziție :

$$FAB = \frac{A_{01c} B_{1c}}{A_{01} B_1 (3 \text{ dB})} = \frac{2\sqrt{2}g \sqrt{g^2 - \frac{1}{2}}}{1+g^2}$$

cu neuniformitatea η .

În cazul a n etaje identice de acest tip, neuniformitatea va fi η^n .

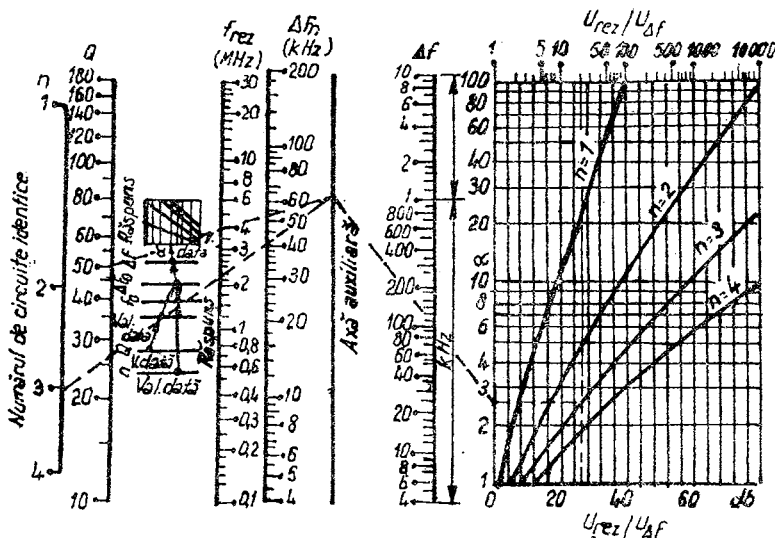


Fig. 2.54

Nomograma din figura 2.54 permite calculul selectivității unui amplificator.

Figurile 2.55 și 2.56 prezintă configurații uzuale ale unor amplificatoare acordate ($FI-MA$ și $FI-MF$), iar figura 2.57 indică scheme uzuale de realizare a cuplajului și adaptarea între etaje acordate (FI).

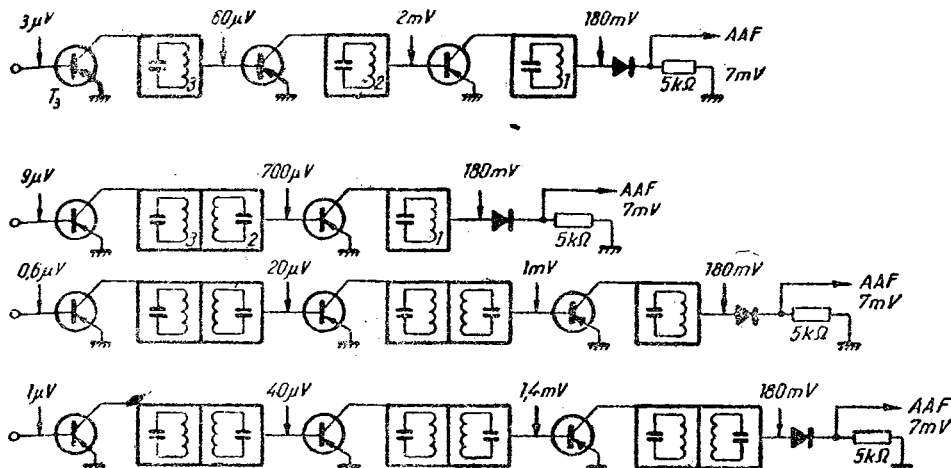


Fig. 2.55

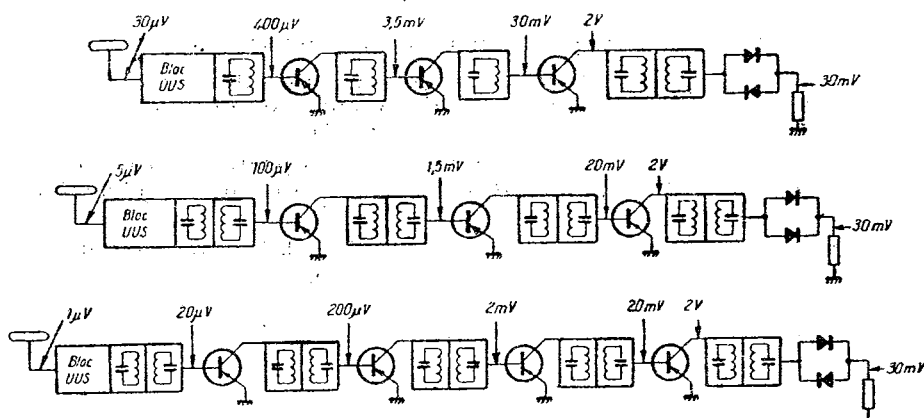
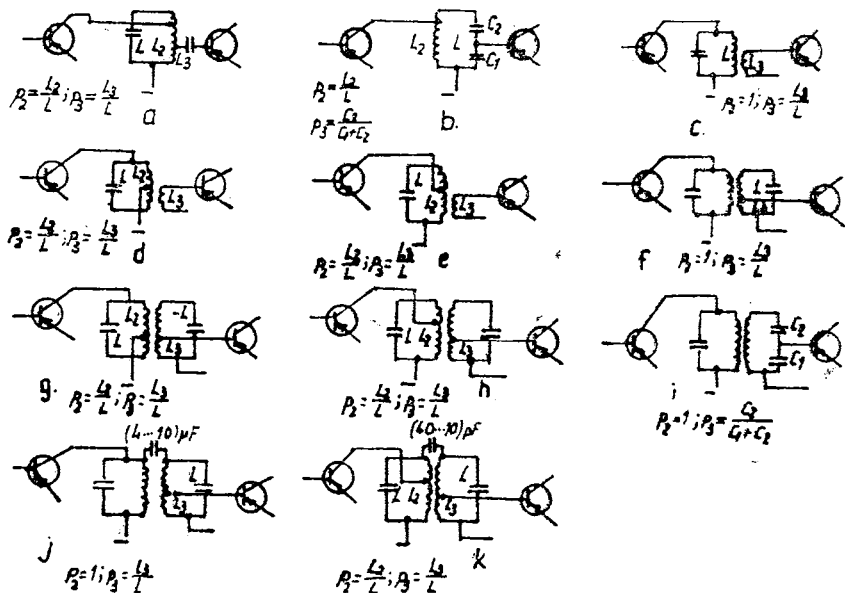


Fig. 2.56

Nomograma bandă de trecere-temp de creștere din fig. 2.58 ușurează calculele privind amplificatoarele cu mai multe etaje având frecvențele de rezonanță și benzile de trecere identice. La etajele cu dublu acord se presupune că factorii de calitate sănătății egali, iar cuplajul este critic. Nomograma poate fi folosită în cazul amplificatoarelor cu cuplaj RC pe baza următoarei relații :



$$(\text{timp de creștere}) \times (\text{bandă de trecere}) = 0,35$$

Timpul de creștere rezultant pentru mai multe etaje se află din :

$$\text{timpul de creștere} = (\text{timpul de creștere pe etaj}) / (\text{nr. etajelor})$$

Exemple : 1. Banda de trecere rezultantă a unui circuit acordat compus din 4 etaje ce au fiecare banda de trecere de 1 MHz, va fi 440 KHz.

2. Utilizând 5 transformatoare acordate dublu pentru a obține o bandă de trecere rezultantă de 300 KHz, atunci fiecare etaj trebuie să aibă o bandă de trecere de 340 KHz.

3. Dacă banda de trecere a unui etaj este 4 MHz, atunci timpul de creștere al montajului format din 5 asemenea etaje va fi de 235 ns.

4. Timpul rezultant de creștere al unui montaj format din 10 etaje, fiecare cu timp de creștere de 10 μs , va fi de 31 μs .

2.3. FILTRE PASIVE

Filtrul trece-jos ideal are factorul de transfer (în tensiune sau curent) $K(j\omega) = K(j\omega) e^{j\phi(j\omega)}$ pentru care :

$$K(j\omega) = \begin{cases} K_0 & \text{pentru } \omega \in [-\omega_1, \omega_1] \\ 0 & \text{pentru } \omega \in [-\omega_1, \omega_1] \end{cases}$$

$$\phi(j\omega) = \omega\tau \text{ pentru } \omega \in [-\omega_1, \omega_1].$$

Banda de trecere a acestui filtru este $B_1 = \frac{\omega_1}{2\pi}$.

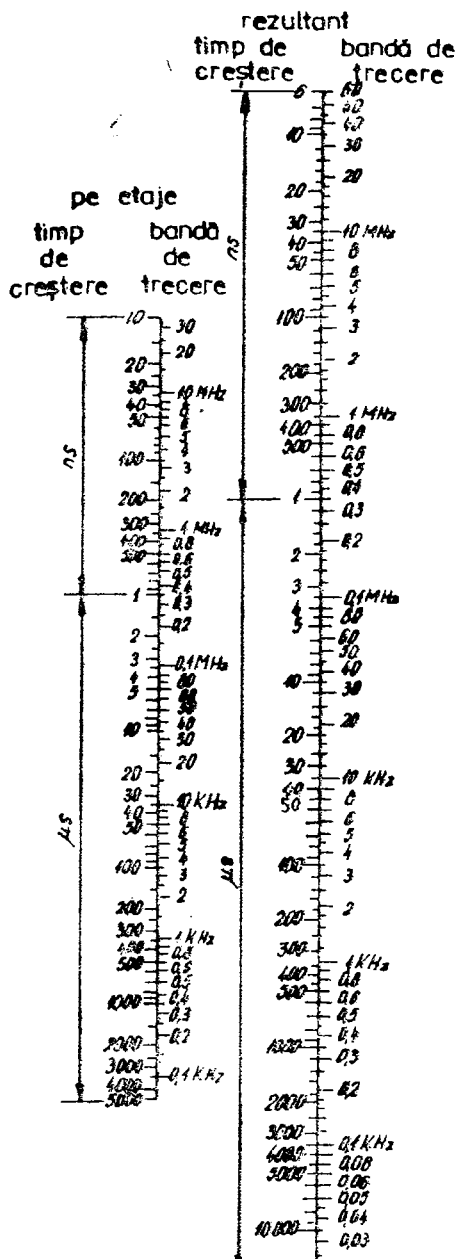


Fig. 2.58

Filtrul trece-bandă ideal are factorul de transfer determinat de :

$$K(j\omega) = \begin{cases} K_0 & \text{pentru } \omega \in [-\omega_1 - \omega_0, \omega_1 - \omega_0], \\ & \omega \in [-\omega_1 + \omega_0, \omega_1 + \omega_0], \\ & \omega_1 + \omega_0], \quad \omega_1 < \omega_0 \\ 0 & \text{în afara intervalor} \end{cases}$$

$$\varphi(j\omega) = \begin{cases} (-\omega - \omega_0)\tau + \varphi_0 & \text{pentru} \\ \omega \in [-\omega_1 + \omega_0, \omega_1 + \omega_0] \\ (-\omega + \omega_0)\tau - \varphi_0 & \text{pentru} \\ \omega \in [-\omega_1 + \omega_0, \omega_1 - \omega_0]. \end{cases}$$

Banda de trecere a filtrului este $B_1 = \frac{\omega_1}{\pi}$ și frecvența centrală $f_0 = \frac{\omega_0}{2\pi}$.

Filtrul se realizează cu ajutorul cuadripolilor simetrici în T sau π , conținând elemente pur reactive, deci $Z_{sc} = jX_{sc}$ și $Z_g = jX_g$. Banda de trecere ($a=0$) corespunde frecvențelor la care X_{sc} și X_g au semne contrare, iar la frecvențele la care X_{sc} și X_g au aceleasi semne atenuarea este diferită de zero.

Filtrele tip k -constant sunt realizate din cuadripoli simetrici în T sau π (figura 2.59), ale căror impedanță (de tip reactiv) Z_1 și Z_2 satisfac relația

$$Z_1 Z_2 = R^2 = \text{constant}$$

În figura 2.60 este prezentată caracteristica atenuării și a defazării în funcție de variabila normală x :

$$x = \sqrt{\frac{-Z_1}{4Z_2}}$$

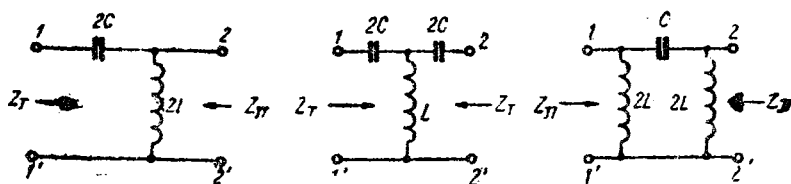


Fig. 2.59

Impedanțele caracteristice ale filtrelor tip *k*-constant în *T* și în π au expresiile :

$$Z_{\text{Ti}} = R \sqrt{1 - x^2} ; Z_{\pi i} = \frac{R}{\sqrt{1 - x^2}},$$

în care R este rezistența nominală. Se observă că în banda de trecere impedanțele caracteristice sunt reale.

În funcție de natura impedanțelor Z_1 și Z_2 se obțin diferite tipuri de filtre *k*-constant.

Celulele de filtru derivat m în *T* sau π au schemele din figurile 2.61 și 2.62, unde în general $m < 1$. Impedanța caracteristică și frecvența lor de tăiere este egală cu cea a filtrului *k*-constant în *T* sau π , realizat cu impedanțele Z_1 și Z_2 .

Caracteristicile de atenuare și fază ale celulelor derivate m în funcție de variabila normată x sunt cele din figura 2.63

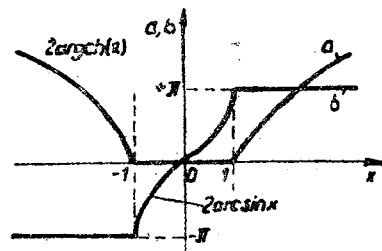


Fig. 2.60

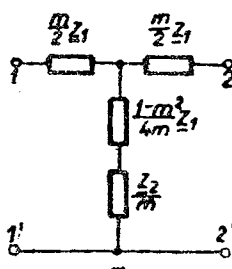


Fig. 2.61

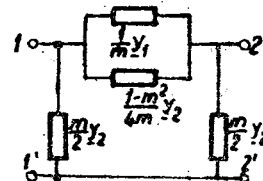


Fig. 2.62

Frecvența de atenuare infinită se obține pentru :

$$x_\infty = \frac{\pm 1}{\sqrt{1 - m^2}}.$$

Pentru jumătate de secțiune derivată m în *T* (figura 2.64) impedanțele imaginare sunt :

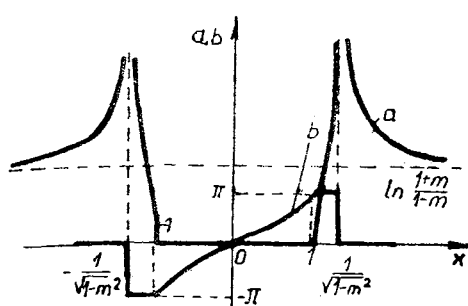


Fig. 2.63

și Z_{0Tm} egale cu rezistența nominală R , pe cea mai mare parte din banda de trecere și se utilizează ca semicelule terminale închise pe rezistența nominală.

Filtrele compuse sint formate pe celule k -constant și derivate m conectate în lanț, avind aceeași impedanță caracteristică și semicelule terminale ($m=0,6$) la extreame.

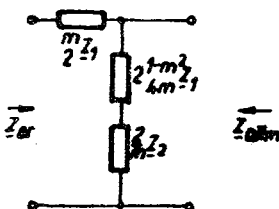


Fig. 2.64

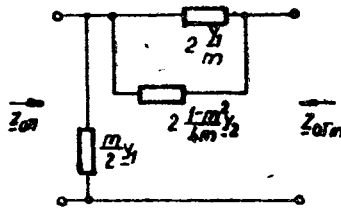


Fig. 2.65

Timpul de întârziere de grup (t_g) (derivata cu semn schimbat a fazei factorului de transfer în raport cu frecvența unghiulară), pentru celula derivată m trece-jos, la frecvența zero, este egal cu :

$$t_g = \frac{m}{\pi f_1}.$$

În care f_1 este frecvența de tăiere.

În tabelul 2.9 sînt prezentate structura filtrelor k -constant, caracteristicile lor și relațiile mai importante pentru proiectare.

Pentru calculul unei linii de întârziere (fig. 2.66) se poate folosi nomograma din fig. 2.67. O linie de întârziere cu parametrii concentrați este alcătuită dintr-o serie de filtre LC de tip trece jos. Cînd avem n celule LC , timpul de întârziere se calculează cu relația : $t = n\sqrt{LC}$, unde : t —timpul de întârziere în μs , n —numărul celulelor, L —inductanță în μH , C —capacitatea în μF .

Impedanța de undă Z_0 trebuie adaptată pentru reducerea reflexiilor pe linia de întârziere. Valoarea lui Z_0 se calculează cu relația $Z_0 = \sqrt{L/C}$ și se exprimă în ohmi. Frecvența de tăiere, care se calculează cu relația $f_t = 1/\pi\sqrt{LC}$ și se

$$Z_{0T} = R \sqrt{1-x^2};$$

$$Z_{0nm} = R \frac{1-(1-m^2)x^2}{\sqrt{1-x^2}}.$$

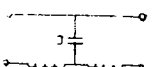
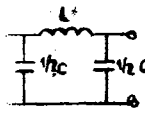
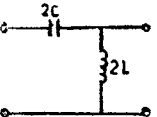
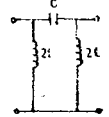
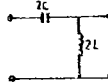
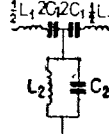
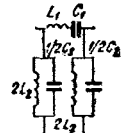
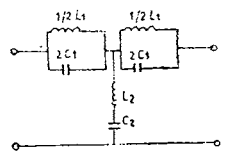
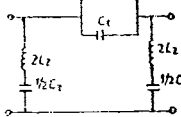
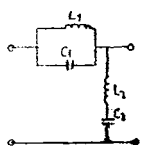
iar pentru jumătate de secțiune derivată m în π (figura 2.65) impedanțele imaginare sunt :

$$Z_{0\pi} = \frac{R}{\sqrt{1-x^2}}; Z_{0Tm} = \frac{R \sqrt{1-x^2}}{1-(1-m^2)x^2}.$$

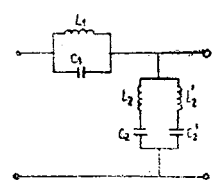
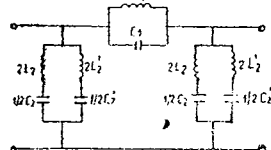
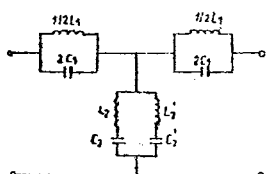
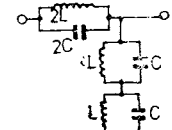
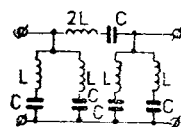
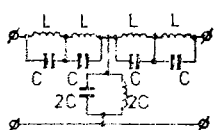
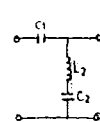
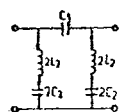
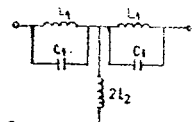
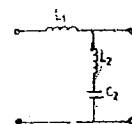
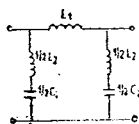
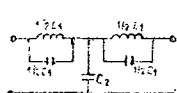
Acstea jumătăți de secțiune, pentru $m=0,6$, au impedanțele Z_{0nm}

TABELUL 1.3

Filtre K-constant și m-derivat (structură caracteristică, relații de calcul)

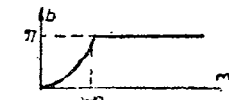
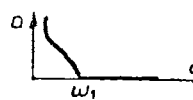
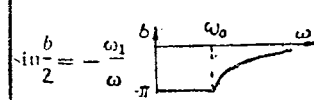
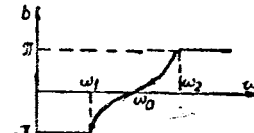
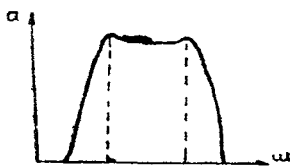
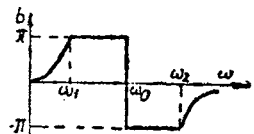
Tip filtru	Celula K		
	T	H	F
Trece-jos			
Trece-sus			
Trece-banda			
Oprește-bandă			

Cellele M



Relații calcul

Pentru cejule k	Pentru cejule m
$L_1 = 2 \frac{R}{\omega_1}; \quad C = \frac{2}{\omega_1 R}$ $R = \sqrt{\frac{L}{C}}; \quad \omega_1 = \frac{2}{\sqrt{LC}}$	$L_1 = \frac{2mR}{\omega_1}; \quad L_2 = \frac{(1-m^2)R}{2m\omega_1}$ $C_1 = \frac{1-m^2}{2m\omega_1}; \quad C_2 = \frac{2m}{\omega_1 R}; \quad m = \sqrt{1 - \frac{2\pi\omega_1}{\omega_\infty^2}}$
$C = \frac{1}{2\omega_1 R}; \quad L = \frac{R}{2\omega_1}$ $R = \sqrt{\frac{L}{C}}; \quad \omega_1 = \frac{1}{2\sqrt{LC}}$	$C_1 = \frac{1}{2mR\omega_1}; \quad C_2 = \frac{2m}{(1-m^2)\omega_1 R}$ $L_1 = \frac{2mR}{(1-m^2)\omega_1}; \quad L_2 = \frac{R}{2m\omega_1}; \quad m = \sqrt{\frac{4\pi - \omega_\infty^2}{\omega_1^2}}$
$L_1 = 2R \frac{1}{\omega_2 - \omega_1}$ $C_2 = \frac{2}{R(\omega_2 - \omega_1)}$ $L_1 C_1 = L_2 C_2 = \frac{1}{\omega_1 \omega_2} = \frac{1}{\omega_0^2}$ $R = \sqrt{\frac{L_2}{C_1}} = \sqrt{\frac{L_1}{C_2}}$	$L_1 = \frac{2mR(\omega_2 - \omega_1)}{\omega_1 \omega_2}; \quad C_1 = \frac{1}{2mR(\omega_2 - \omega_1)}$ $L_2 = \frac{aR}{2(\omega_2 - \omega_1)}; \quad C_2 = \frac{2(\omega_2 - \omega_1)}{bR\omega_1\omega_2}$ $L'_2 = \frac{bR}{2(\omega_2 - \omega_1)}; \quad C'_2 = \frac{2(\omega_2 - \omega_1)}{aR\omega_1\omega_2}$ $a = \frac{1}{m} \left(1 - \frac{\omega_1\omega_2}{\omega_{2\infty}^2} \right)$ $b = \frac{1}{m} \left(1 + \frac{\omega_{2\infty}}{\omega_1\omega_2} \right)$ $m = \sqrt{\frac{\left(1 - \frac{\omega_1^2}{\omega_{2\infty}^2} \right) \left(1 - \frac{\omega_{2\infty}^2}{\omega_2^2} \right)}{1 - \frac{\omega_1}{\omega_2}}}$
$C_1 = \frac{1}{2R(\omega_2 - \omega_1)}$ $L_2 = \frac{R}{2(\omega_2 - \omega_1)}$ $L_1 C_1 = L_2 C_2 = \frac{1}{\omega_1 \omega_2} = \frac{1}{\omega_0^2}$ $R = \sqrt{\frac{L_2}{C_1}} = \sqrt{\frac{L_1}{C_2}}$	

Caracteristica de atenuare		Caracteristica defazării
Pentru celule K	Pentru celule m	Pentru celule K
$\text{ch} \frac{a}{2} = \frac{\omega_1}{\omega}$ 	a 	b  $\sin \frac{b}{2} = \frac{\omega}{\omega_1}$
$\text{ch} \frac{a}{2} = \frac{\omega_1}{\omega}$ 	a 	b  $\sin \frac{b}{2} = -\frac{\omega_1}{\omega}$
 $\text{ch} \frac{a}{2} = \frac{\omega_0}{\omega_2 - \omega_1} \left(\frac{\omega}{\omega_0} - \frac{\omega_0}{\omega} \right)$	a 	 $\sin \frac{b}{2} = \frac{\omega_0}{\omega_2 - \omega_1} \left(\frac{\omega}{\omega_0} - \frac{\omega_0}{\omega} \right)$
 $\text{ch} \frac{a}{2} = \frac{\omega_2 - \omega_1}{\omega_0} - \frac{1}{\left(\frac{\omega_0}{\omega} - \frac{\omega_0}{\omega} \right)}$	a 	 $\sin \frac{b}{2} = \frac{\omega_1 - \omega_2}{\omega_0} \cdot \frac{1}{\left(\frac{\omega_0}{\omega} - \frac{\omega_0}{\omega} \right)}$

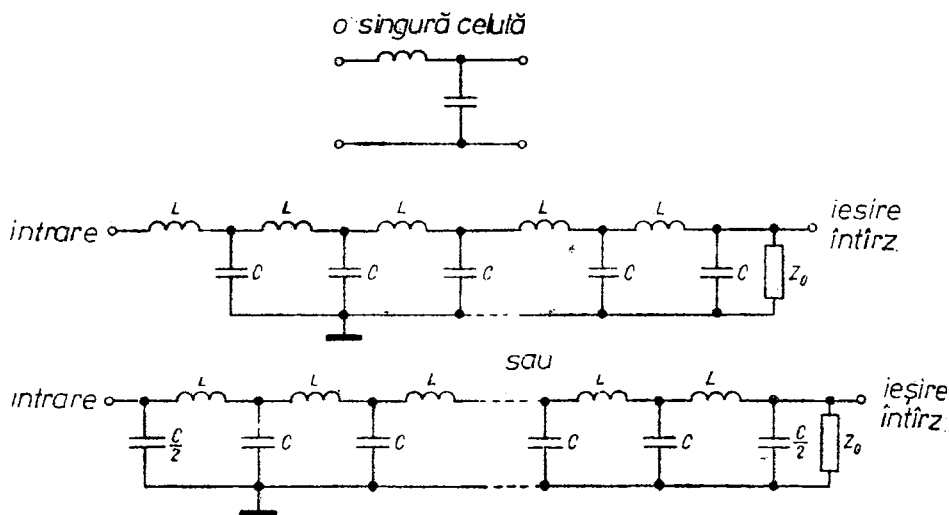


Fig. 2.66

exprimă în MHz, pentru fiecare celulă trebuie să fie mai mare decât frecvența de lucru.

Exemplu: Să determinăm elementele unei linii de întârziere cu frecvență de tăiere de 5 MHz și timp de întârziere 1,5 μ s. Rotind o dreaptă în jurul punctului de 5 MHz de pe scara 2, alegem pe scările 1 și 4 valorile standard pentru L și C (120 μ H și 33 μ F). Frecvența de tăiere de pe scara 2 este în concordanță cu timpul de întârziere pentru celule, care în cazul de față este 0,063 μ s/celulă. Unind acest timp cu timpul total de întârziere (1,5 μ s) care se găsește pe scara 5, rezultă de pe scara 7 numărul de celule necesare-24. Impedanța de undă rezultă de pe scara 6 unind valoarea lui C (33 μ F) de pe scara 5 cu valoarea lui L (120 μ H) de pe scara 8. În exemplul nostru se află pentru Z_0 valoarea de 1,9 Kohmi.

Cu nomograma din fig. 2.68 se determină timpul de întârziere pe metru și timpul total de întârziere în funcție de permitivitatea relativă a materialului izolator, în cazul unui cablu coaxial. La baza nomogramei se află relația întârzierea $T = 3,635\sqrt{\epsilon}$, exprimată în ns.

Exemplu : Un cablu coaxial lung de 1,2 m cu dielectric din polistiren provoacă o întârziere de 6,3–6,5 ns.

Filtrele tip pieptene sunt alcătuite din lanțuri de filtre cu bandă îngustă care lasă să treacă frecvențe din spectrul de frecvențe al semnalului și sunt insensibile la zgromot, fiind utilizate la descompunerea pe mai multe canale a unui semnal de intrare. Distanța dintre canale se poate exprima și prin un raport de frecvențe, care depinde de numărul canalelor necesare cuprinderii unei octave, adică n . Astfel $f/f_c = 2^n$, unde f_c – frecvența de referință f – frecvența canalului adiacent, n – număr real pozitiv sau negativ. Nomograma din fig. 2.69 este valabilă atât pentru valori pozitive cât și negative

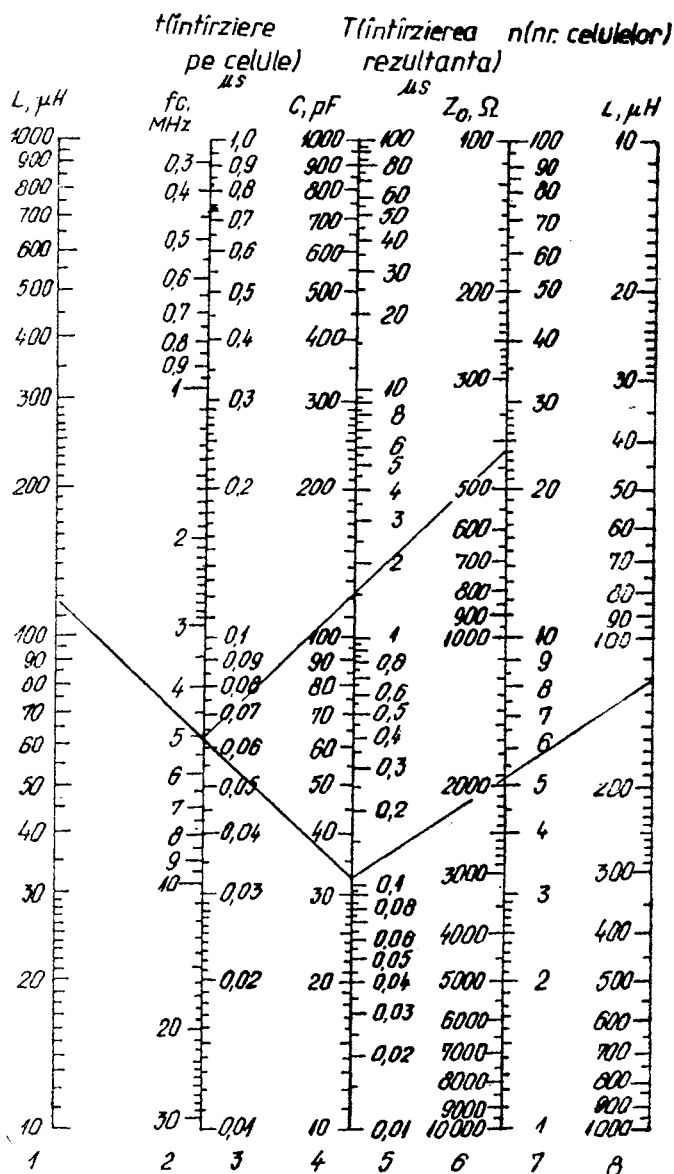


Fig. 2.67

ale lui n . Scările de frecvențe f_c și f au fost normalizează în așa fel încât prin mutarea virgulei pot fi utilizate la orice bandă de frecvențe. Se trage o linie de la partea de octavă a scării n către frecvența de referință de pe scara f . Citim pe scara f frecvența centrală a canalului următor. Punctul de pe scara n

$$T = 3,635 \cdot l \sqrt{\epsilon_r} \text{ ns}$$

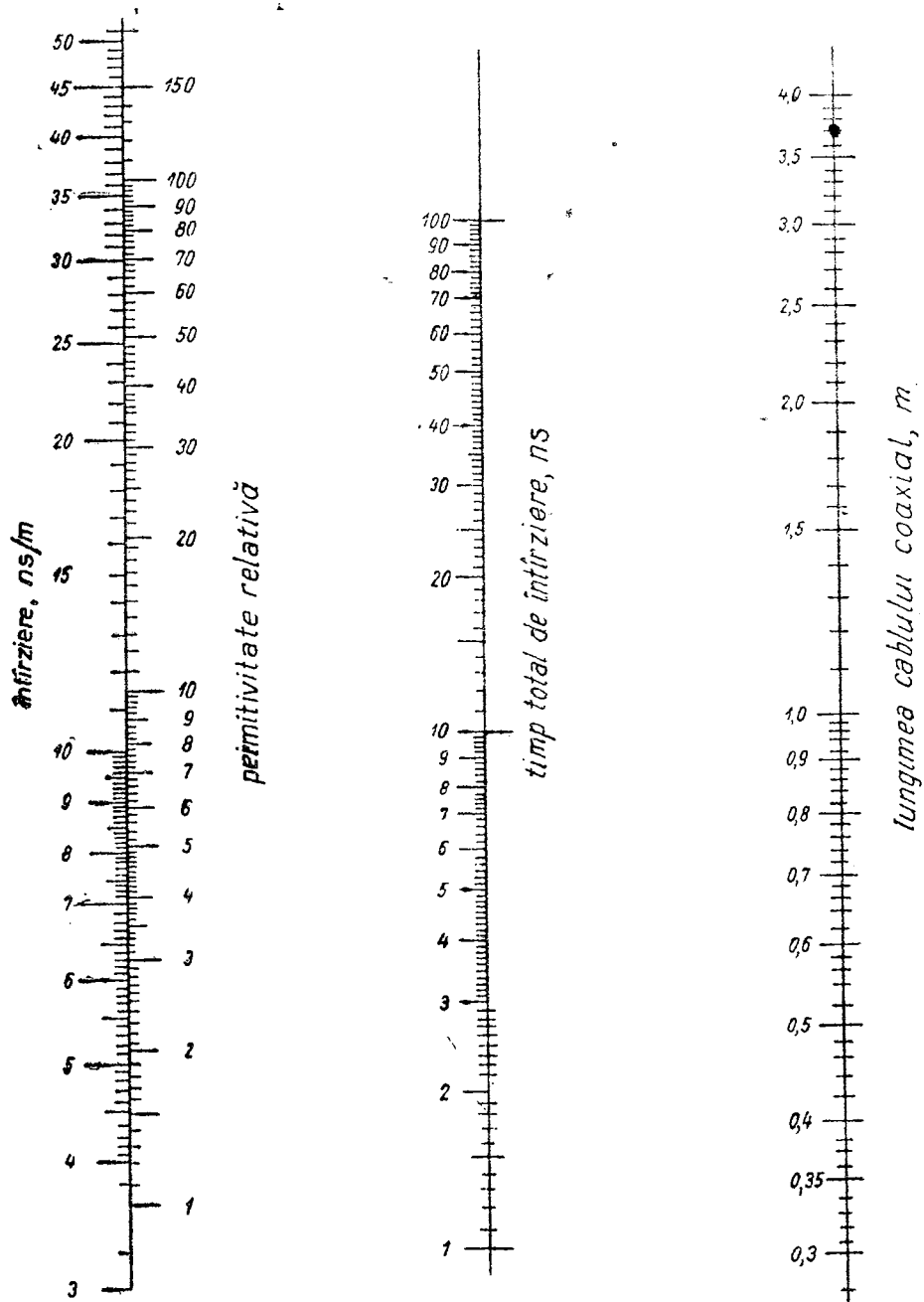


Fig. 2.68

il considerăm punct de rotație și rotim o dreaptă în așa fel încât frecvența centrală a canalului anterior să fie egală cu frecvența de referință nouă. Citim pe scara f frecvența centrală a benzii de trecere care urmează, după care continuăm procedeul.

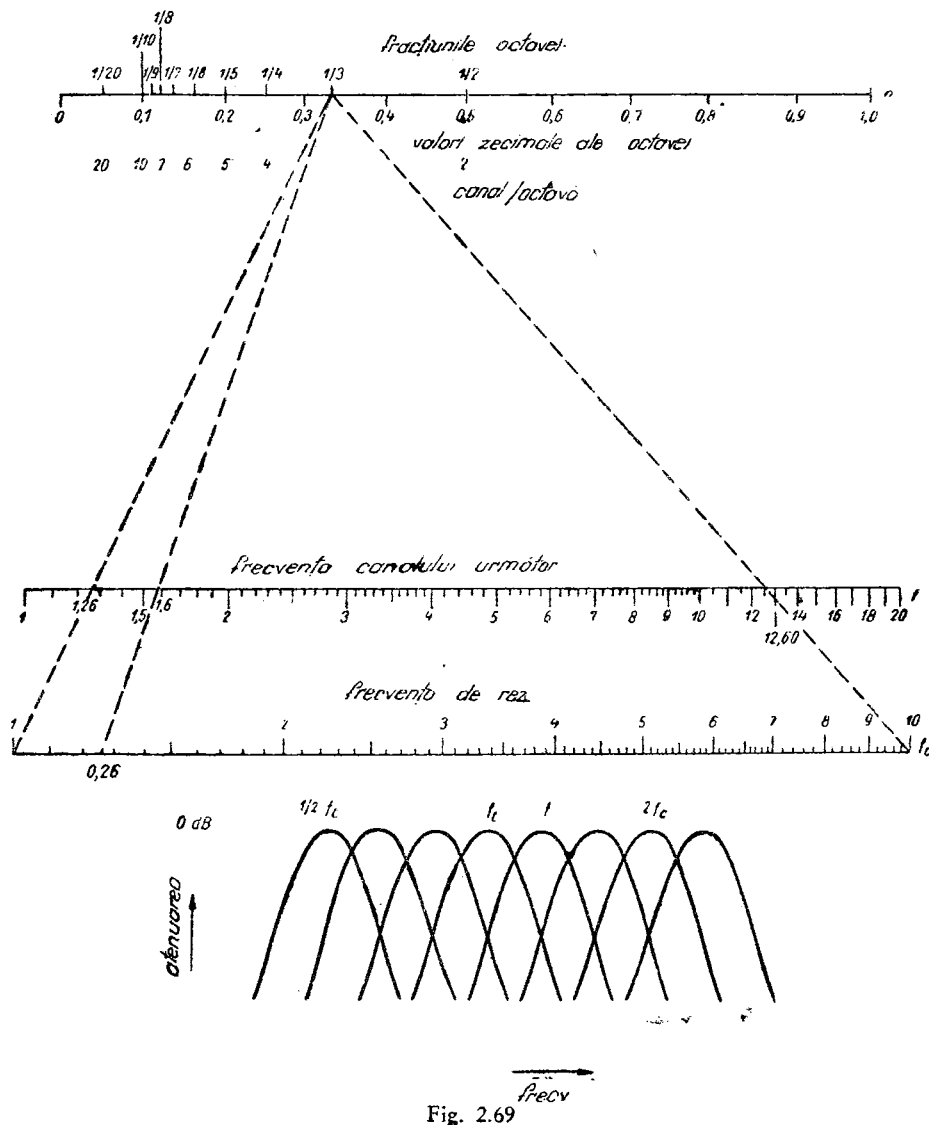


Fig. 2.69

Filtrul Collins este un cuadripol asimetmetic linear cu care se rezolvă probleme de adaptare în domeniul RF.

Posibilități de utilizare: obținerea puterii optime de la emițător la antenă; cuplaj cu atenuarea undelor armonice între etajul de comandă

și etajul final al emițătorului; cuplarea antenei la intrarea receptorului. La dimensionarea practică este necesară cunoașterea impedanțelor Z_1 și Z_2 .

În vederea obținerii unei atenuări bune de unde armonice factorul de calitate nu poate să fie mai mare decât $Q=10\dots20$.

Se consideră un quadripol asymmetric linear cu impedanțele Z_1 și Z_2 . La calcul, inducitivitya L poate fi aleasă după dorință, dacă sunt satisfăcute următoarele condiții:

$$X_B = \sqrt{Z_1 \cdot Z_2}$$

$$X_A = \frac{-Z_1 \cdot X_B}{Z_1 \pm \sqrt{Z_1 \cdot Z_2 - X_B^2}}$$

$$X_C = \frac{-Z_1 \cdot X_B}{Z_2 \pm \sqrt{Z_1 \cdot Z_2 - X_B^2}}$$

Relația de transformare va fi:

$$\frac{Z_1}{Z_2} = \frac{X_A(X_B + X_C)}{X_C(X_A + X_B)}$$

Condiția de rezonanță:

$$f_{(MHz)} = \frac{10^{12}}{2\pi L_{1(mH)} \left(\frac{C_1 C_2}{C_1 + C_2} \right) (\mu F)}$$

Puterea de pierdere în filtru:

$$P = \frac{P_{in} \cdot Z_1 \cdot X_B}{Q} \cdot \left(\frac{1}{Z^2} + \frac{1}{Z_2^2} \right)$$

unde:

Z_1 — impedanță de intrare în Ω

Z_2 — impedanță de ieșire în Ω

P_{in} — puterea de intrare în W

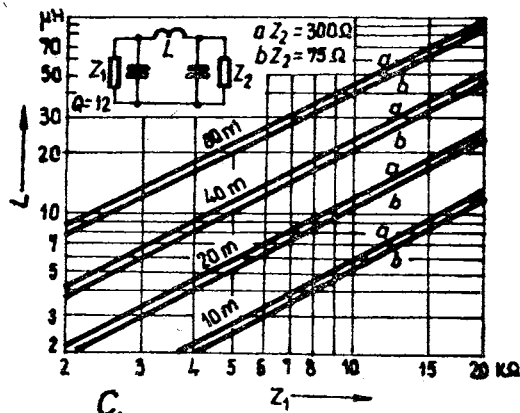
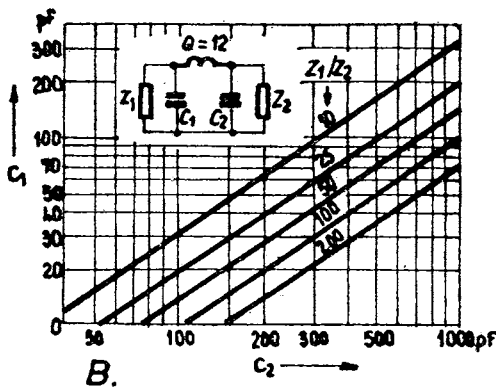
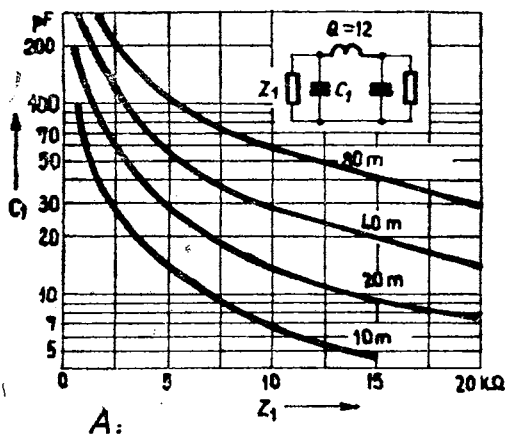


Fig. 2.70

P — puterea de pierderi în W

Q — factor de calitate al bobinei

$$X_A = \frac{1}{\omega C_1}; \quad X_S = \omega L; \quad X_C = \frac{1}{\omega C_2}$$

Calculele pot fi eliminate prin utilizarea nomogramelor din figura 2.70.

Cu ajutorul figurii 2.70.A se poate determina valoarea lui C_1 , în funcție de diferite impedanțe de intrare pentru patru benzi diferite de unde scurte.

Cu ajutorul figurii 2.70.B se poate determina raportul Z_1/Z_2 și cu ajutorul valorii condensatorului de intrare determinată din figura 2.70 A se poate afla și valoarea lui C_2 .

Cu ajutorul figurii 2.70.C poate fi determinată inductanța bobinelor în funcție de impedanțele de intrare și ieșire pentru diferite benzi RF. Aici

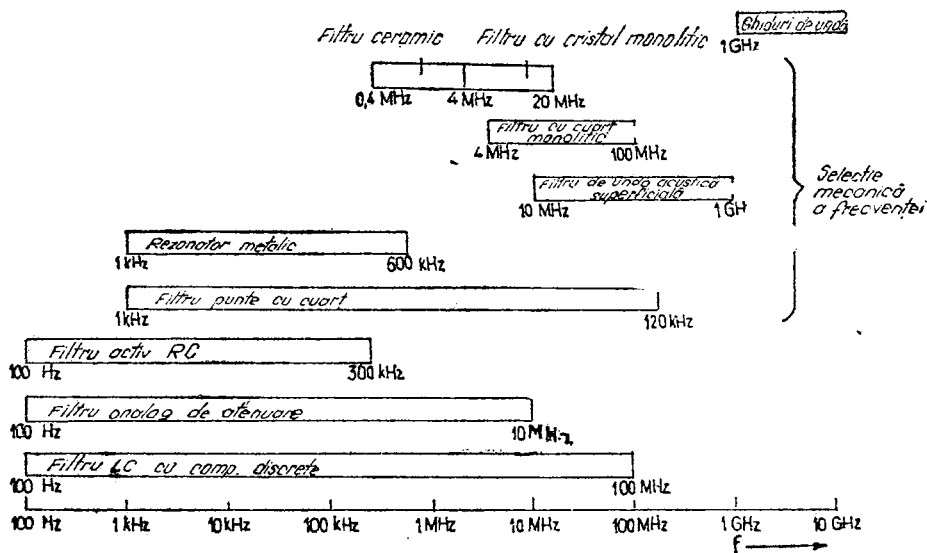


Fig. 2.71

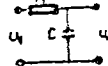
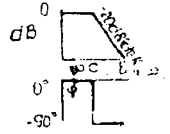
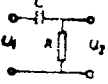
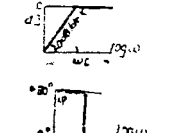
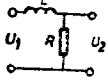
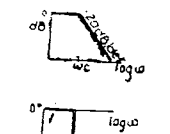
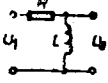
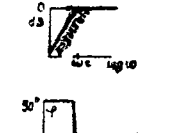
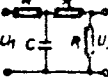
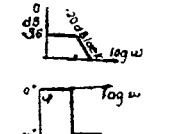
dreapta de impedanță de ieșire se dă pentru două valori uzuale de impedanță și anume: $a = Z_2 = 300$ și $b = Z_2 = 75$.

Figura 2.71 prezintă sintetic benzile de frecvență optime ale differentelor tipuri de filtre.

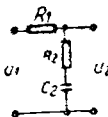
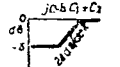
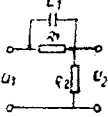
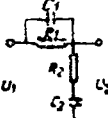
O altă categorie importantă de filtre pasive o constituie **filtrele de tip RC sau RL**. Tabelul 2.10 sintetizează structuri **RC** și **RL** indicând caracteristicile și funcțiile de transfer corespunzătoare.

TABELUL 2.10

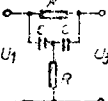
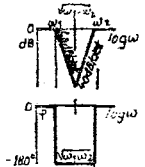
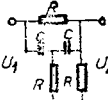
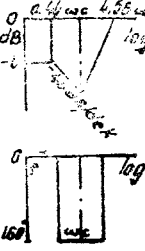
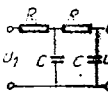
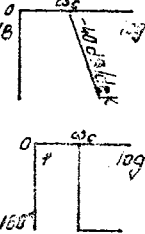
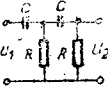
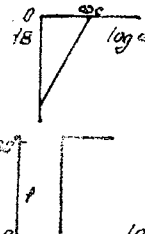
Structuri RC și RL

	$\frac{U_2}{U_1} = \frac{1}{1 + j \frac{\omega}{\omega_c}} = \frac{1}{1 + j\omega T}$ $\omega_c = \frac{1}{RC} = \frac{1}{T} \cdot f_0 = \frac{160\ 000}{RC}$ $\operatorname{tg} \varphi = \frac{\omega}{\omega_c} = \omega T; C = \frac{160\ 000}{fR}$	
	$\frac{U_2}{U_1} = \frac{1}{1 - j \frac{\omega_c}{\omega}} = \frac{j\omega T}{1 + j\omega T}$ $\omega_c = \frac{1}{RC} = \frac{1}{T} \cdot f_0 = \frac{160\ 000}{RC}$ $\operatorname{tg} \varphi = \frac{\omega_c}{\omega} = -\frac{1}{\omega T}; C = \frac{160\ 000}{Rf}$	
	$\frac{U_2}{U_1} = \frac{1}{1 + j \frac{\omega}{\omega_c}} = \frac{1}{1 + j\omega T}$ $\omega_c = \frac{R}{L} = \frac{1}{T}$ $\operatorname{tg} \varphi = \frac{\omega}{\omega_c} = \omega T$	
	$\frac{U_2}{U_1} = \frac{1}{1 - j \frac{\omega_c}{\omega}} = \frac{j\omega T}{1 + j\omega T}$ $\omega_c = \frac{R}{L} = \frac{1}{T}$ $\operatorname{tg} \varphi = -\frac{\omega_c}{\omega} = -\frac{1}{\omega T}$	
	$\frac{U_2}{U_1} = \frac{1}{3 \left(1 + j \frac{\omega}{\omega_c} \right)} = \frac{1}{3(1 + j\omega T)}$ $\omega_c = \frac{3}{2RC} = \frac{1}{T}$ $\operatorname{tg} \varphi = \frac{\omega}{\omega_c} = \omega T$	

TABELUL 2.10 (continuare)

	$\frac{U_2}{U_1} = \frac{\frac{1-j\omega_1}{\omega}}{\frac{1-j\omega_2}{\omega}} = \frac{T_2}{T_1} \cdot \frac{1+j\omega T_1}{1+j\omega T_2}$ $\omega_1 = \frac{1}{R_2 C_2} = \frac{1}{T_1}$ $\omega_2 = \frac{1}{\frac{C_1 C_2}{C_1 + C_2} R_1} = \frac{1}{T_2}$	 
	$\frac{U_2}{U_1} = \frac{\omega_1}{\omega_2} \cdot \frac{\frac{1+j\omega}{\omega_1}}{\frac{1+j\omega}{\omega_2}} = \frac{T_2}{T_1} \cdot \frac{1+j\omega T_1}{1+j\omega T_2}$ $\omega_1 = \frac{1}{R_1 C_1} = \frac{1}{T_1}$ $\omega_2 = \frac{1}{\frac{R_1 \cdot R_2}{R_1 + R_2} C_1} = \frac{1}{T_2}$	 
	$\frac{U_2}{U_1} = \frac{(1+j\omega T_1)(1+j\omega T_2)}{(j\omega)^2 T_1 \cdot T_2 + j\omega(T_1 + T_2 + T_3) + 1}$ $T_1 = R_1 C_1 = \frac{1}{\omega_1}$ $T_2 = R_2 C_2 = \frac{1}{\omega_2}$ $T_3 = R_3 C_3 = \frac{1}{\omega_3}$	 

TABELUL 2.10 (continuare)

	$\frac{U_2}{U_1} = \frac{(j\omega)^2 T_1 \cdot T_2 + (j\omega) 2 T_1 + 1}{(j\omega)^2 \cdot T_1 \cdot T_2 + (j\omega) (2 T_1 + T_2) + 1}$ $T_1 = R_1 \cdot C = \frac{1}{\omega_1}$ $T_2 = R \cdot C = \frac{1}{\omega_2}$	
	$\frac{U_2}{U_1} = \frac{(1 + j\omega T)^2}{(j\omega T)^2 + (5j\omega T) + 2}$ $T = RC = \frac{1}{\omega_c}$	
	$\frac{U_2}{U_1} = \frac{1}{(j\omega T)^2 + (3j\omega T) + 1}$ $T = RC = \frac{1}{\omega_c}$	
	$\frac{U_2}{U_1} = \frac{(j\omega T)^2}{(j\omega T)^2 + (3j\omega T) + 1}$ $T = RC = \frac{1}{\omega_c}$	

2.4. CIRCUITE LOGICE

2.4.1. Sisteme de numerație

Sistemul zecimal este probabil cel mai răspândit sistem numeric. Un număr, de exemplu 1985, poate fi compus în felul următor: digitul din dreapta sau ultimul digit semnificativ, *LSD*, (least significant digit), exprimă

de cîte ori trebuie luată puterea 10^0 , următorul reprezintă multiplii lui 10^1 și așa mai departe pînă la digitul din stînga sau cel mai semnificativ digit, **MSD** (most significant digit) și care, în cazul de față, exprimă multiplii lui 10^1 . Deci acest număr poate fi scris sub forma :

$$1985 = 1 \times 10^3 + 9 \times 10^2 + 8 \times 10^1 + 5 \times 10^0$$

$$1985 = 1\ 000 + 900 + 80 + 5$$

Orice număr întreg poate fi exprimat în felul acesta, pe cînd cantitățile fractionale pot fi exprimate în felul următor :

$$19,85 = 1 \times 10^1 + 9 \times 10^0 + 8 \times 10^{-1} + 5 \times 10^{-2}$$

$$19,85 = 10 + 9 + 8/10 + 5/100.$$

Avantajul sistemului zecimal, în comparație de exemplu cu numericele romane, este că, avînd o notație pozitională bazată pe puterile lui 10, operațiile matematice se simplifică foarte mult. De exemplu, deplasarea la stînga multiplică cu zece, în timp ce deplasarea la dreapta împarte cu zece :

1985 deplasare la stînga 19850

1985 deplasare la dreapta 198,5

În general un număr în bază r poate fi exprimat în felul următor :

$$a_n \times r^n + a_{n-1} \times r^{n-1} + \dots + a_2 \times r^2 + a_1 \times r + a_0 + a_{-1} \times r^{-1} + a_{-2} \times r^{-2} + \dots + a_{-m} \times r^{-m}$$

Coefficientul „a” poate să varieze între 0 și $r - 1$. În sistemul binar de exemplu $r = 2$, deci valorile pentru a sunt 0 și 1. În sistemul octal ($r = 8$) avem 8 valori pentru a, între 0 și 7, în sistemul zecimal ($r = 10$) avem 10 valori între 0 și 9 etc.

Tabelul 2.11 cuprinde numerele în diferite sisteme de numerație utilizînd pentru aceasta numai 10 simboluri pentru valorile numerație și 6 litere necesare în sistemul hexazecimal.

Sistemul binar este utilizat foarte mult în echipamentele digitale cu scopul de a simplifica echipamentele, deoarece bazîndu-ne pe puterile lui 2 avem de a face cu 2 digitî 0 și 1 și instrumentele pot să recunoască foarte ușor cele două stări elementare : conduce (1) nu conduce (0), nivel înalt (1), nivel jos (0) etc.

În general 0 și 1 în notația binară se numește „bit” care rezultă din contopirea cuvintelor „binary digit”.

Ultimul digit semnificativ exprimă puterea 2^0 și deplasîndu-se spre stînga în continuare avem puterile crescătoare ale lui 2. Utilizînd îndici negativi succesivi, cantitățile fractionale pot fi de asemenea reprezentate în sistemul binar, de exemplu :

$1,1101 = 1 \times 2^0 + 1 \times 2^{-1} + 1 \times 2^{-2} + 0 \times 2^{-3} + 1 \times 2^{-4}$ care în sistemul zecimal poate fi scris :

TABELUL 2.11

Numere în diferite sisteme de numeratie

Zecimal (Baza 10)	Binar (Baza 2)	Octal (Baza 8)	Hexazecimal (Baza 16)
$10^2 10^3 10^6$	$2^6 2^5 2^4 2^3 2^2 2^1 2^0$	$8^2 8^1 8^0$	$16^1 16^0$
0 0	0 0 0 0 0	0 0	0
0 1	0 0 0 0 1	0 1	1
0 2	0 0 0 1 0	0 2	2
0 3	0 0 0 1 1	0 3	3
0 4	0 0 1 0 0	0 4	4
0 5	0 0 1 0 1	0 5	5
0 6	0 0 1 1 0	0 6	6
0 7	0 0 1 1 1	0 7	7
0 8	0 1 0 0 0	1 0	8
0 9	0 1 0 0 1	1 1	9
1 0	0 1 0 1 0	1 2	A
1 1	0 1 0 1 1	1 3	B
1 2	0 1 1 0 0	1 4	C
1 3	0 1 1 0 1	1 5	D
1 4	0 1 1 1 0	1 6	E
1 5	0 1 1 1 1	1 7	F
1 0 0	1 1 0 0 1 0 0	1 4 4	6 4
1 2 7	1 1 1 1 1 1 1	1 7 7	7 F

$$1 + \frac{1}{2} + \frac{1}{4} + 0 + \frac{1}{16} = 1.8125$$

În general orice număr întreg zecimal se poate reprezenta în sistemul binar dar transformarea inversă implică anumite aproximări. Eroarea depinde de numărul de digiti binari folosiți și acesta este mic în practică. Dar aceasta nu înseamnă că sistemul binar este mai puțin exact decât cel zecimal dar sunt necesare mai mulți digiti pentru a reprezenta o cantitate cu precizia cerută.

Sistemul octal este larg utilizat în tehnica calculatoarelor. O caracteristică particulară a sistemului octal este o conversie tehnică simplă între sistemul binar și cel octal. Acest sistem cuprinde următoarele caractere: 0, 1, 2, 3, 4, 5, 6, 7. Valori mai mari de 7 în sistemul octal se exprimă cu ajutorul mai multor digiti, de exemplu:

$$765_8 = 7 \times 8^2 + 6 \times 8^1 + 5 \times 8^0 = 7 \times 64 + 6 \times 8 + 5 \times 1 = 501_{10}$$

Deoarece baza sistemului octal este $8 = 2^3$ este foarte ușor de convertit un număr din octal în binar folosind următorul tabel de conversie:

000 = 0	100 = 4
001 = 1	101 = 5
010 = 2	110 = 6
011 = 3	111 = 7

Exemplu : 101011 în sistemul binar este

$$1 \times 2^5 + 1 \times 2^4 + 1 + 2^1 + 1 \times 2^0 = 43_{10}$$

53 în octal este

$$5 \times 8^1 + 3 \times 8^0 = 43_{10}$$

Sistemul hexazecimal este de asemenea foarte mult utilizat în tehnica calculatoarelor mai ales la microprocesoare deoarece este o formă eficientă de numărare și e ușor de convertit în sistemul binar pentru că baza sistemului $r=16=2^4$, iar caracterele utilizate sunt: 0, 1, 2, 3, 4, 5, 6, 7, 8, 9, A, B, C, D, E, F

De exemplu: numărul hexadecimal A82E în sistemul zecimal este:

$$\begin{aligned} A \times 16^3 &= 40960 \text{ în zecimal} \\ + 8 \times 16^2 &= 2048 \text{ în zecimal} \\ + 2 \times 16^1 &= 32 \text{ în zecimal} \\ + E \times 16^0 &= 14 \text{ în zecimal} \\ &\quad 43054 \end{aligned}$$

Conversia sistemelor numerice

a) Binar în octal și apoi în zecimal

— Numărul scris în binar se grupează cîte trei digiti, adăugîndu-se zerouri nesemnificative unde este cazul:

- Se înlocuiesc grupele astfel obținute cu cifrele octale corespunzătoare, obținîndu-se expresia numărului în baza 8 ;
- Se înmulțește cel mai semnificativ digit (din octal) cu 8 ;
- Se adaugă la acest produs următorul digit semnificativ și se înmulțește cu 8 ;
- Se repetă operația pînă la ultimul digit semnificativ (*LSD*) ;
- Se adaugă valoarea ultimului digit semnificativ la acest produs ;
- Rezultatul este numărul în baza zece și reprezintă conversia corespunzătoare a numărului binar inițial.

Exemplu : Binar 111/011/101/001

Octal 7 3 5 1

$$\text{Conversia } [(7 \times 8 + 3) \times 8 + 5] \times 8 + 1 = 3817_{10}$$

Această procedură este valabilă și pentru cantități fractionale.

Exemplu :

Binar 111/011 , 101/001

Octal 7/3/ , 5/1

$$\text{Conversia } (7 \times 8 + 3) + (1 \cdot 8^{-1} + 5)8^{-1} = 59, 641$$

b) Zecimal în octal/binar

- Se împarte numărul zecimal cu 8, ceea ce rămîne se notează cu r_1 .
 - Se împarte cîtuл cu 8 și ceea ce rămîne se notează cu r_2 .
 - Se repetă operația a 2-a pînă cînd cîtuл va fi 0.

Atunci numărul căutat este $r_n r_{n-1} \dots r_2 r_1$.

Exemplu : zecimal $3\ 817_{10}$

$$3817 : 8 = 477 : 8 = 59 : 8 = 7 : 8 = 0$$

$$\begin{array}{r} 32 \\ \overline{61} \\ 56 \\ \hline 57 \\ 56 \\ \hline 1 \end{array} \quad \begin{array}{r} 40 \\ \overline{77} \\ 72 \\ \hline 5 \\ \hline 1 \end{array} \quad \begin{array}{r} 56 \\ \overline{3} = r_3 \\ 7 \\ \hline 7 = r_4 \end{array}$$

Rezultă deci în octal (7 351) sau în binar 111/011/101/001.

Fractiile zecimale pot fi convertite în fractii binar/octal sau hexazecimal prin metode similare, exceptând cazul cînd se multiplică în loc de împărțire și se pune parteă întreagă în locul cîțului.

Exemplu :

$$\begin{array}{r}
 59.641_{10} \\
 59 : 8 = 7 : 8 = 0 \\
 \frac{56}{3} \quad \frac{0}{7} \\
 \end{array}
 \qquad
 \begin{array}{l}
 0,641 \times 8 = 5,128 \\
 0,128 \times 8 = 1,024 \\
 0,024 \times 8 = 0,192 \\
 0,192 \times 8 = 1,536
 \end{array}$$

Rezultă 73.5101 (octal) sau 111/011 . 101/001/000/001 (binar).

c) **Zecimal în hexazecimal.** O metodă de conversie constă în utilizarea tabloului 2.12 care conține numerele hexazecimale și corespondența lor zecimală și invers.

Exemplu : Să considerăm numărul zecimal 43 054. În tabelul 2.12 se caută un număr apropiat de acesta dar care este mai mic decât numărul dat. În cazul nostru acesta este 40 960. Coloana care conține acest număr ne dă valoarea indexului de 3 și rîndul ne dă numărul hexazecimal corespunzător, A. Acum se scade numărul găsit din cel inițial, adică $43\ 054 - 40\ 960 = 2\ 094$, și din nou se caută în tabel numărul corespunzător, care este cel mai apropiat de acesta dar mai mic și aşa mai departe. Se repetă operația pînă cînd se termînă conversia.

Sintetizat, procesul se prezintă sub forma:

Număr zecimal Digit hexazecimal Valoare index

43 054	A	3
- 40 960		
—————		
2 094		
- 2 048	8	2
—————		
46		
- 32	2	1
—————		
14	F	0

Conversia zecimal/hexazecimal și invers

Digit Hexazecimal	Valoarea indexului				
	0	1	2	3	4
0	0	0	0	0	0
1	1	16	256	4 096	65 536
2	2	32	512	8 192	131 072
3	3	48	768	12 288	196 608
4	4	64	1 024	16 384	262 144
5	5	80	1 280	20 480	327 680
6	6	96	1 536	24 576	393 216
7	7	112	1 792	28 672	458 752
8	8	128	2 048	32 768	524 288
9	9	144	2 304	36 864	589 824
A	10	160	2 560	40 960	655 360
B	11	176	2 816	45 056	720 896
C	12	192	3 072	49 152	786 432
D	13	208	3 328	53 248	851 968
E	14	224	3 584	57 344	917 504
F	15	240	3 840	64 440	983 040

Valori zecimale

TABELUL 2.12

TABELUL 2.13

Conversia hexazecimal/binar

Hexazecimal	Binar
0	0000
1	0001
2	0010
3	0011
4	0100
5	0101
6	0110
7	0111
8	1000
9	1001
A	1010
B	1011
C	1100
D	1101
E	1110
F	1111

Deci numărul hexazecimal $A\ 82\ E$ este echivalentul numărului lui zecimal 43 054.

d) **Hexazecimal în zecimal.** Pentru această conversie se utilizează tot tabelul 2.12. **Exemplu:** să considerăm numărul hexazecimal $A\ 82\ E$. Valorile indexurilor vor fi: 3 2 1 0, adică:

Valoare index	3	2	1	0
digit	A	8	2	E

La intersecția coloanei 3 cu rândul corespunzător numărului hexazecimal A găsim valoarea numărului zecimal 40 960.

Această procedură se continuă pînă cînd se găsește echivalentul fiecărei perechi index/digit.

Index	Digit	Valoare zecimală
3	A	40 960
2	8	2 048
1	2	32
0	E	14
		43 054

adică 43 054 este numărul zecimal echivalentul numărului hexadecim al $A\ 82\ E$.

e) **Hexazecimal în binar.** Sistemul hexazecimal are ca bază 16 iar sistemul binar numărul 2, dar $16=2^4$, rezultă că digit 1 are valoarea indexului

4, adică întreg domeniul hexazecimal de la 0 la F poate fi reprezentat prin 4 digiti binari. Tabelul 2.13 conține echivalentul binar al fiecărui număr hexazecimal și cu ajutorul lui se poate efectua conversia.

Conversia se efectuează în felul următor: se caută în tabel echivalentul binar al fiecărui digit hexazecimal și se scriu unul după altul,

Exemplu :

hexazecimal	A	8	2	E
binar	1 010	1 000	0010	1110

deci numărul binar corespunzător lui $A82E$ este 1 010 1 000 0010 1110.

f) **Binar/hexazecimal.** Se împarte numărul binar în grupuri de 4 digiti pornind de la dreapta la stînga și dacă este necesar se adaugă zerouri la ultima grupă din stînga ca să obținem un grup de 4 digiti binari. Cu ajutorul tabelului se găsesc digiti hexazecimali corespunzători fiecărui grup de 4 digiti binari.

Conversia cea mai des utilizată este cea zecimal / binar sau binar/zecimal, deoarece $8=2^3$ și $16=2^4$, deci atît sistemul octal cît și cel hexazecimal poate fi convertit ușor în binar. În afară de procedura prezentată pentru conversia zecimal/binar și invers, există și alte modalități, coduri de conversie zecimal binar, în funcție de necesități. De exemplu, în unitatea aritmetică de calcul al calculatoarelor electronice se utilizează mai mult codul cu exces 8. Tabelul 2.14 cuprinde diferite coduri pentru conversia zecimal/binar și invers.

TABELUL 2.14

Coduri pentru conversia zecimal /biuar

8421	2421	5421	5311	Excess - 3	Gray	X8 - 3 Gray
0 0000	0000	0000	0000	0011	0000	0010
1 0001	0001	0001	0001	0100	0001	0110
2 0010	0010	0010	0011	0101	0011	0111
3 0011	0011	0011	0100	0110	0010	0101
4 0100	0100	0100	0101	0111	0110	0100
5 0101	1011	1000	1000	1000	0111	1100
6 0110	1100	1001	1001	1001	0101	1101
7 0111	1101	1010	1011	1010	0100	1111
8 1000	1110	1011	1100	1011	1100	1110
9 1001	1111	1100	1101	1100	1101	1010

Sistemul binar operează cu variabilele 0 și 1 care corespund valorilor logice „DA“ și „NU“. Numerele în sistemul binar pot fi codificate atît serie cît și paralel.

Figura 2.72 prezintă cele două modalități de codificare pentru numere binare.

Tabelul 2.15 cuprinde legile de bază ale algebrei booleene.

TABELUL 2.15

Legile de bază ale algebrei booleene.

$\overline{0} = 1$	$x + 0 = x$	$x \cdot 0 = 0$
$\overline{1} = 0$	$x + 1 = 1$	$x \cdot 1 = x$
$\overline{x} = x$	$x + x = x$	$x \cdot x = x$
	$x + \overline{x} = 1$	$x \cdot \overline{x} = 0$
comutativitate $xy = yx$	$x + y = y + x$	
asociativitate $xyz = x(yz) = y(xz) = z(xy)$ $x + y + z = x + (y + z) = y + (x + z) = z + (x + y)$		
distributivitate $x(y + z) = xy + xz$		$(x + y)(x + z) = x + yz$
absorbție $x + xy = x$	$x + \overline{x}y = x \cdot y$	$x(\overline{x} + y) = xy$
Legile lui Morgan $x + y + z + \dots + N = \overline{\overline{x} \cdot \overline{y} \cdot \overline{z} \cdot \dots \cdot \overline{N}}$		$x \cdot y \cdot z \cdot \dots \cdot N = x + y + z + \dots + N$

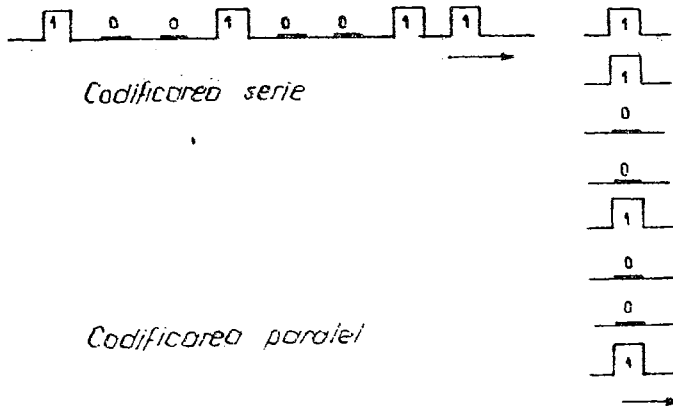


Fig. 2.72

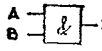
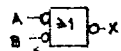
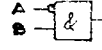
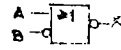
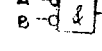
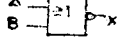
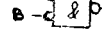
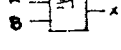
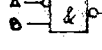
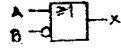
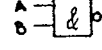
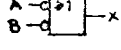
2.4.2. Funcții și circuite logice

Cu ajutorul relațiilor algebrice pot fi construite funcții logice.

Tabelul 2.16 cuprinde diferite variante ale funcțiilor *AND* (*SI*) și *OR* (*SAU*), funcția booleană corespunzătoare și tabelul de adevăr.

TABELUL 2.16

Variante ale funcțiilor **ȘI** și **SAU**

Funcția booleană	Circuit				Funcția booleană
	ȘI	A B X	SAU		
$X = AB$		0 0 0 1 0 0 0 1 0 1 1 1			$X = \overline{A + B}$
$X = \overline{AB}$		0 0 0 1 0 0 0 1 1 1 1 0			$X = \overline{A + \overline{B}}$
$X = \overline{A}\overline{B}$		0 0 1 1 0 0 0 1 0 1 1 0			$X = \overline{A + \overline{B}}$
$X = \overline{\overline{AB}}$		0 0 0 0 0 1 0 1 1 1 0 1			$X = A + B$
$X = \overline{\overline{A}B}$		1 1 1 1 0 1 0 1 0 1 1 1			$X = A + \overline{B}$
$X = \overline{A}\overline{\overline{B}}$		0 0 1 1 0 1 0 1 1 1 1 0			$X = \overline{A} + \overline{B}$

Pentru a vedea cum acționează diferite legi și funcții logice din algebra booleană într-un caz concret, se dă tabelul 2.17, unde pentru o mai bună înțelegere a acestor funcții se arată și diagrama Venn corespunzătoare fiecărei funcții.

Pe baza relațiilor algebrei booleene se pot construi și alte elemente logice.

Figura 2.73 cuprinde simboluri utilizate pentru principalele elemente logice. Datorită faptului că pentru același element logic de multe ori s-au folosit simboluri foarte diferite, s-a introdus standardizarea și pentru aceste simboluri. La ora actuală se utilizează trei mari categorii de simboluri pentru

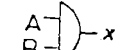
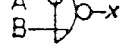
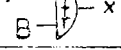
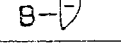
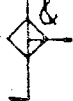
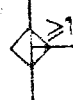
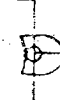
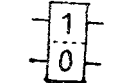
Diferite legi și funcții logice

TABELUL 2.17

Nr.	Denumirea	Notatia	$x = F(A, B)$ pt $A = 0011$ $B = 0101$	Diagrama Venn
0	Zero fals	0	$x = 0000$	
1	Să, conjuncție	$A \cdot B$ (m_3)	$x = 0001$	
2	Excludere	$A \cdot \bar{B}$ (m_2)	$x = 0010$	
3	Identitate	A	$x = 0011$	
4	Excludere	$\bar{A} \cdot B$ (m_1)	$x = 0100$	
5	Identitate	B	$x = 0101$	
6	OR exclusiv	$A \oplus B$	$x = 0110$	
7	OR, disjuncție	$A + B$ (M_3)	$x = 0111$	
8	NOR (sau-nu)	$\overline{A + B}$ (M_0)	$x = 1000$	
9	Echivalență	$A \equiv B$	$x = 1001$	
10	Negatie (inversare)	\bar{B}	$x = 1010$	
11	Incluziune	$A + \bar{B}$ (M_2)	$x = 1011$	
12	Negatie inversare	\bar{A}	$x = 1100$	
13	Incluziune	$\bar{A} + B$ (M_1)	$x = 1101$	
14	NAND (să-nu)	$\overline{A \cdot B}$ (M_0)	$x = 1110$	
15	Unitate, adevăr	1	$x = 1111$	

TABELUL 2.18

Simbolurile elementelor logice

Circuit	Norma CEI	DIN 40700	Standard american	Funcția booleană
1	2	3	4	5
AND (ȘI)	A -  - B - x	A -  - x	A -  - B - x	$X = AB$
OR (SAU)	A -  - B - x	A -  - x	A -  - B - x	$X = A + B$
NAND (ȘI-NU)	A -  - B - x	A -  - x	A -  - B - x	$X = \overline{AB}$
NOR (SAU-NU)	A -  - B - x	A -  - x	A -  - B - x	$X = \overline{A + B}$
NAND cu o intrare negată	A -  - B - x	A -  - x	A -  - B - x	$X = \overline{AB}$
NOR cu o intrare negată	A -  - B - x	A -  - x	A -  - B - x	$X = \overline{\overline{A} + B}$
Poartă inhibată (interzisă)	A -  - C - x		A -  - C - x	$X = (A + B)\overline{C}$
OR exclusiv	A -  - B - x	A -  - x	A -  - B - x	$X = A\overline{B} + \overline{A}B$ $A \oplus B$
Comparator	A -  - B - x	A -  - x	A -  - B - x	$X = AB + \overline{A}\overline{B}$ $A \equiv B$
AND distribuit				
OR distribuit				
Întirzire				
Bistabil				

elemente logice conform normelor *CEI*, normelor *DIN* și standardelor americane care sunt sintetizate în tabelul 2.18 împreună cu funcția booleană corespunzătoare.

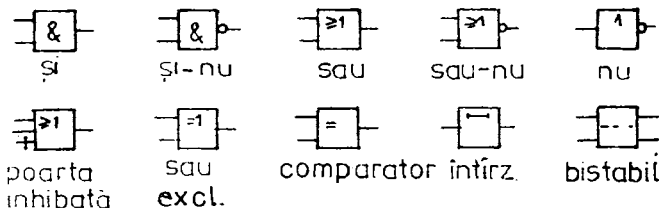


Fig. 2.73

În practică aceste circuite logice pot fi realizate atât cu elemente semiconductoare cât și cu alte dispozitive (întrerupătoare, becuri etc.). Realizarea circuitelor logice cu diode semiconductoare sau cu tranzistoare se bazează pe proprietatea acestor dispozitive de a lucra în regim de comutare sub acțiunea unor semnale, de regulă impulsuri de tensiune sau curent.

În funcție de tehnica utilizată pentru realizarea acestor circuite logice în tehnica *DL* (Diode Logic), ca circuitele din figura 2.74, circuite logice în tehnica *DTL* (Diode Transistor Logic) — figura 2.75, circuite *RTL* (Resistor Transistor Logic) — figura 2.76, circuite *DCTL* (Direct Coupled Transistor Logic) — figura 2.77 etc.

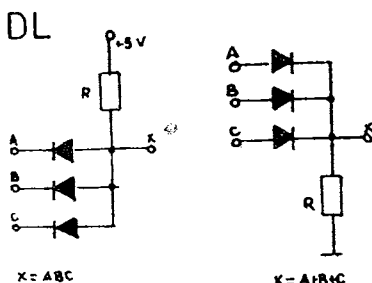


Fig. 2.74

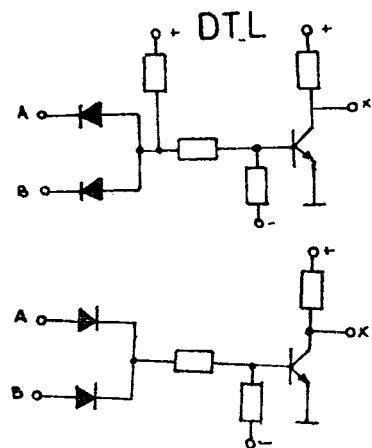


Fig. 2.75

În cele ce urmează sunt prezentate principalele circuite logice utilizate în tehnica digitală.

Figura 2.78 reprezintă simbolul și circuitul echivalent pentru poarta **AND** (**ȘI**).

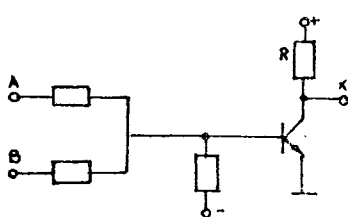
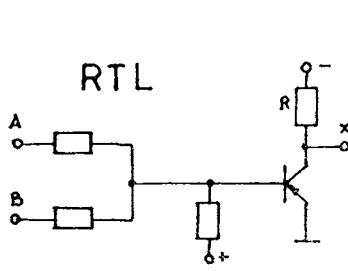


Fig. 2.76

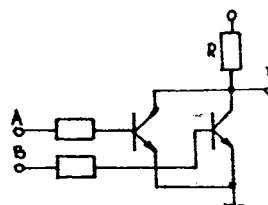
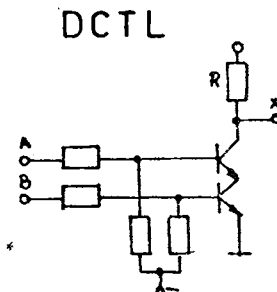


Fig. 2.77

Funcția booleană se exprimă sub formă $X = ABC$ iar tabelul de adevar este I.

Circuitul logic OR (SAU) are simbolul și circuitul echivalent reprezentat în figura 2.79, având funcția booleană $X = A + B + C$ iar tabelul de adevar este II.



Fig. 2.78



Fig. 2.79

I			
A	B	C	X
0	0	0	0
1	0	0	0
0	1	0	0
1	1	0	0
0	0	1	0
1	0	1	0
0	1	1	0
1	1	1	1

II			
A	B	C	X
0	0	0	0
1	0	0	1
0	1	0	1
1	1	0	1
0	0	1	1
1	0	1	1
0	1	1	1
1	1	1	1



Fig. 2.80

În figura 2.80 este reprezentat simbolul și circuitul echivalent al funcției logice „NU“ sau negație de forma $X = \bar{A}$ cu tabelul de adevar III.

A	X
0	1
1	0

III

A	B	C	X
0	0	0	1
1	0	0	1
0	1	0	1
1	1	0	1
0	0	1	1
1	0	1	1
0	1	1	1
1	1	1	0

IV

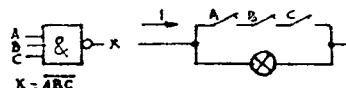


Fig. 2.81

Figura 2.81 reprezintă simbolul și circuitul echivalent al portii **NAND** (**ȘI-NU**) având funcția booleană $X = \overline{ABC}$ iar tabelul de adevăr IV.

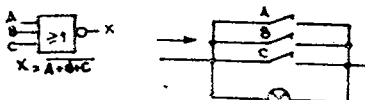


Fig. 2.82

Figura 2.82 reprezintă același lucru pentru poarta **NOR**, (**SAU-NU**), cu funcția logică de forma $X = \overline{A + B + C}$, având tabelul de adevăr V

A	B	C	X
0	0	0	1
1	0	0	0
0	1	0	0
1	1	0	0
0	0	1	0
1	0	1	0
0	1	1	0
1	1	1	0

V

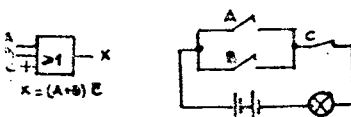


Fig. 2.83

A	B	C	X
0	0	0	0
1	0	0	1
0	1	0	1
1	1	0	1
0	0	1	0
1	0	1	0
0	1	1	0
1	1	1	0

VI

În figura 2.83 se reprezintă simbolul și circuitul echivalent pentru poarta interzisă (inhibită). Acest circuit are funcția booleană de forma $X = (A + B)\bar{C}$ iar tabelul de adevăr VI

Figura 2.84 reprezintă poarta interzisă, privită ca o combinație de porți AND și OR.

În figura 2.85 se reprezintă simbolul și circuitul echivalent pentru poarta OR-EXCLUSIV cu trei intrări având funcția booleană de forma $X = A\bar{B}\bar{C} + \bar{A}B\bar{C} + \bar{A}\bar{B}C$, și tabelul de adevăr VII

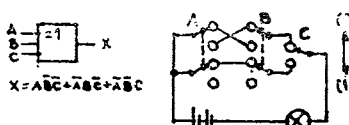


Fig. 2.85

A	B	C	X
0	0	0	0
1	0	0	1
0	1	0	1
1	1	0	0
0	0	1	1
1	0	1	0
0	1	1	0
1	1	1	0

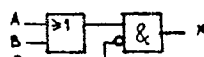


Fig. 2.84

VIII

A	B	X
0	0	0
1	0	1
0	1	1
1	1	0

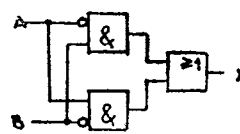


Fig. 2.86

Figura 2.86 reprezintă poarta OR-EXCLUSIV cu două intrări privită ca o combinație a două porți AND și o poartă OR.

În acest caz tabelul de adevăr se modifică în VIII

Simbolul și circuitul echivalent pentru poarta COMPARAȚIE cu trei intrări este reprezentat în figura 2.87.

Funcția booleană se exprimă în felul $X = ABC + \overline{ABC}$, iar tabelul de adevăr sub forma IX

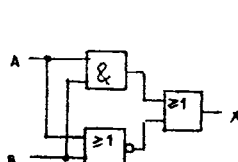


Fig. 2.87

X		
A	B	X
0	0	1
1	0	0
0	1	0
1	1	0

A	B	C	X
0	0	0	1
1	0	0	0
0	1	0	0
1	1	0	0
0	0	1	0
1	0	1	0
0	1	1	0
1	1	1	1

Figura 2.88 reprezintă poarta COMPARAȚIE cu două intrări privită ca o combinație de poartă AND și două porți OR.

În acest caz tabelul de adevăr se modifică în X

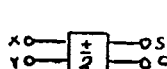


Fig. 2.89

$$S = X\bar{Y} + \bar{X}Y$$

$$C = XY$$

XI

X	Y	S	C*
0	0	0	0
0	1	1	0
1	0	1	0
1	1	0	1

*C—carry (transport)

În figura 2.89 se reprezintă diagrama logică a semiSUMATORULUI care are tabelul de adevăr XI

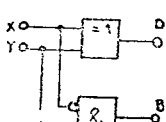


Fig. 2.90

$$S = \bar{X}YZ + \bar{X}Y\bar{Z} + X\bar{Y}Z + XY\bar{Z}$$

$$C = XY + XZ + YZ$$

XII

X	Y	C	S	C
0	0	0	0	0
1	0	0	1	0
0	1	0	1	0
1	1	0	0	1
0	0	1	1	0
1	0	1	0	1
0	1	1	0	1
1	1	1	1	1

Figura 2.90 reprezintă diagrama circuitului SCĂZĂTOR cu tabelul de adevăr XII

XIII

În figura 2.91 se reprezintă diagrama logică a circuitului **SUMATOR**, care are tabelul de adevăr XIII.

$$D = X\bar{Y} + \bar{X}Y$$

$$B = \overline{X}Y$$

X	Y	D	E*
0	0	0	0
1	0	1	0
0	1	1	1
1	1	0	0

*P - Diferență

B - Barraw (împrumutat)

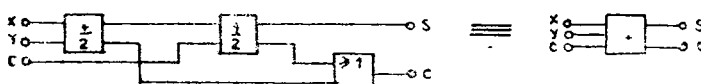


Fig. 2.91

xiv

X	Y	B	D	B
0	0	0	0	0
1	0	0	1	1
0	1	0	1	1
1	1	0	0	0
0	0	1	1	1
1	0	1	0	0
0	1	1	0	1
1	1	1	1	1

$$P = \overline{XYZ} + \bar{X}YZ + X\overline{YZ} + XYZ$$

$$B = XY + XZ + YZ$$

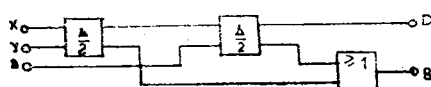


Fig. 292

În figura 2.92 se reprezintă diagrama logică a circuitului **SCĂZĂTOR**, cu tabelul de adevar XIV.

În figura 2.93 se reprezintă diagrama logică a circuitului **SUMATOR SCĂZĂTOR** unde pentru sumator avem $SUB = „0“$ iar pentru scăzător $SUB = 1$, iar D și S se exprimă cu relațiile $D = X - Y - B$; $S = X + Y + C$.

Tabelul de adevăr al acestui circuit se prezintă sub forma XV.

xv

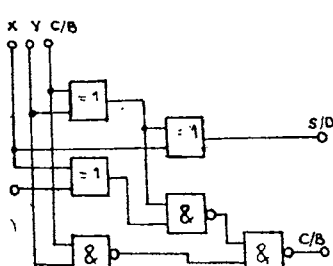


Fig. 293

X	Y	C/B	S	Sumator Sub = „0“	C	Scăzător Sub = „1“	B
0	0	0	0	0	0	0	0
1	0	0	1	0	0	1	0
0	1	0	1	0	0	1	1
1	1	0	0	1	1	0	0
0	0	1	1	0	0	1	1
1	0	1	0	1	0	0	0
0	1	1	0	1	0	0	1
1	1	1	1	1	1	1	1
Operatie			$X + Y + C$			$X - Y - B$	

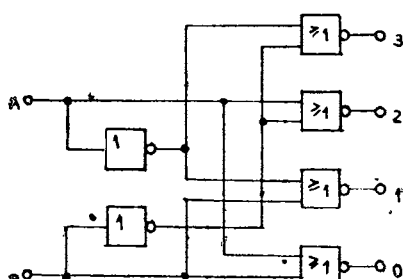


Fig. 2.94

În figura 2.94 se reprezintă diagrama logică a unui **DECODOR 1-4** cu tabelul de adevăr XVI

		XVI			
A	B	0	1	2	3
0	0	1	0	0	0
1	0	0	1	0	0
0	1	0	0	1	0
1	1	0	0	0	1

iar în figura 2.95 se reprezintă diagrama logică a unui **CODOR octal-binar** tabelul de adevăr în acest caz va fi XVII

XVII

Octal								Binar		
D ₇	D ₆	D ₅	D ₄	D ₃	D ₂	D ₁	D ₀	B ₂	B ₁	B ₀
0	0	0	0	0	0	0	1	0	0	0
0	0	0	0	0	0	1	0	0	0	0
0	0	0	0	1	0	0	0	0	1	0
0	0	0	0	1	0	0	0	0	1	1
0	0	0	1	0	0	0	0	1	0	0
0	0	1	0	0	0	0	0	1	0	1
0	1	0	0	0	0	0	0	1	1	0
1	0	0	0	0	0	0	0	1	1	1

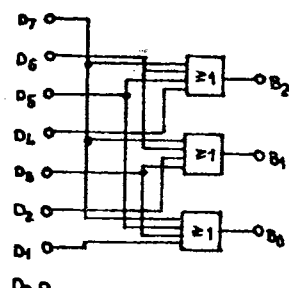


Fig. 2.95

În figura 2.96 se reprezintă diagrama logică a unui **CONVERTOR din codul 1, 2, 4, 8 în codul 1, 2, 4, 2** care are tabelul de adevăr XVIII

XVIII

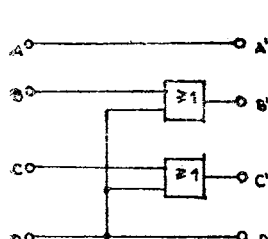


Fig. 2.96

	NBCD				1242			
	D	C	B	A	D'	C'	B'	A'
0	0	0	0	0	0	0	0	0
1	0	0	0	0	1	0	0	1
2	0	0	1	0	0	0	1	0
3	0	0	1	1	0	0	1	1
4	0	1	0	0	0	1	0	0
5	0	1	0	1	0	1	0	1
6	0	1	1	0	0	1	1	0
7	0	1	1	1	0	1	1	1
8	1	0	0	0	0	1	1	0
9	1	0	0	1	1	1	1	1

O altă categorie de circuite logice sunt circuitele basculante bistabile, care la rândul lor pot fi de mai multe tipuri.

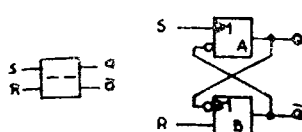


Fig. 2.97

În figura 2.97 se reprezintă simbolul și diagramea logică a unui **BISTABIL RS**, care are tabelul de adevăr XIX

XIX

S	R	Q	\bar{Q}
↓1	0	1	0
0	↓0	1	0
0	↓1	0	1
0	↓0	0	1
↓1	0	1	0
1	1	nedefinit	

Figura 2.98 reprezintă simbolul și diagramea unui **BISTABIL RS comandat de impulsuri de tact**.

Un astfel de bistabil are tabelul de adevăr XX

Condiții inițiale		Intrare		După tact	
Q	\bar{Q}	S	R	Q	\bar{Q}
0	1	0	0	0	1
0	1	0	1	0	1
0	1	1	0	1	0
0	1	1	1	Nedefinit	
1	0	0	0	1	0
1	0	0	1	0	1
1	0	1	0	1	0
1	0	1	1	Nedefinit	

XX

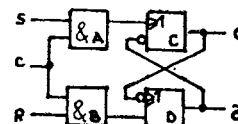
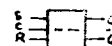


Fig. 2.98

În figura 2.99 se reprezintă simbolul și diagramea logică al unui **BISTABIL tip D**, iar în figura 2.100 același lucru pentru **BISTABIL JK**, care are tabelul de adevăr XXI

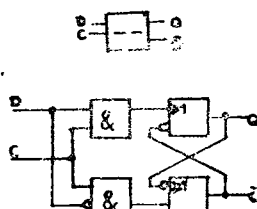


Fig. 2.99

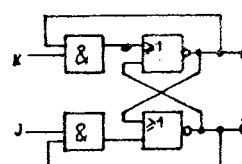
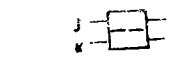


Fig. 2.100

XXI

J	K	Q	\bar{Q}
0	0	0	Nu schimbă
1	0	1	0
0	1	0	1
1	1	1	Complement

Figura 2.101 reprezintă simbolul și diagramea logică pentru **BISTABILUL JK comandat de impulsuri de tact**. În acest caz tabelul de adevăr va fi XXII

Q	J	K	$Q(t+1)$
0	0	0	0
0	0	1	0
0	1	0	1
0	1	1	1
1	0	0	1
1	0	1	0
1	1	0	1
1	1	1	0

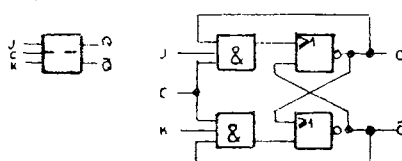


Fig. 2.101

Simbolul și diagrama logică de pe figura 2.102 se referă la un **BISTABIL JK TIP T** comandat de impulsuri de tact.

Acest tip de bistabil are tabelul de adevăr XXIII

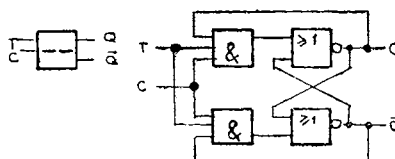


Fig. 2.102 ~

XXIII

Q	T	Q(t+1)
0	0	0
0	1	1
1	0	1
1	1	0

Altă categorie de circuite logice larg utilizate în tehnica digitală sunt **număraorele** care, ca și bistabili sunt de mai multe tipuri.

În figura 2.103 se reprezintă diagrama logică și diagrama de impulsuri pentru un **NUMĂRĂTOR binar asincron în sus**.

Acest tip de număraor are tabelul de adevăr XXIV

XXIV

Intrare	C	B	A
0	0	0	0
1	0	0	1
2	0	1	0
3	0	1	1
4	1	0	0
5	1	0	1
6	1	1	0
7	1	1	1
8=0	0	0	0

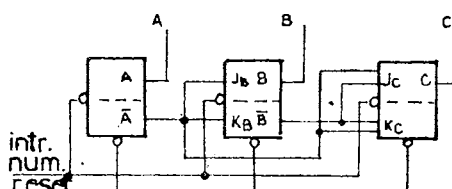


Fig. 2.103

XXV

Intrare	C	B	A	Intrările condiționate după semnalul tact			
	J_A	K_A	J_B	K_B	J_C	K_C	
0	0	0	0	0	0	0	0
1	0	0	1	1	1	0	0
2	0	1	0	0	0	0	0
3	0	1	1	1	1	1	1
4	1	0	0	0	0	0	0
5	1	0	1	1	1	0	0
6	1	1	0	0	0	0	0
7	1	1	1	1	1	1	1
8=0	0	0	0	0	0	0	0

Notă : $J_A = A$ $J_B = A \cdot B$

$K_A = A$ $K_B = A \cdot B$

Figura 2.104 reprezintă diagrama logică și diagrama de impulsuri pentru un **NUMĂRĂTOR binar sincron în sus**, care are tabelul de adevăr XXV

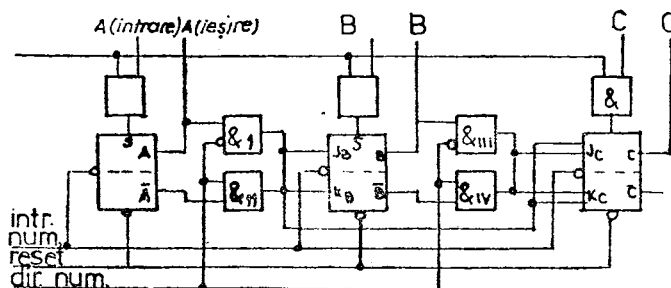


Fig. 2.104

În figura 2.105 se reprezintă diagrama logică a unui NUMĂRĂTOR binar asincron în jos, cu tabelul de adevăr XXVI

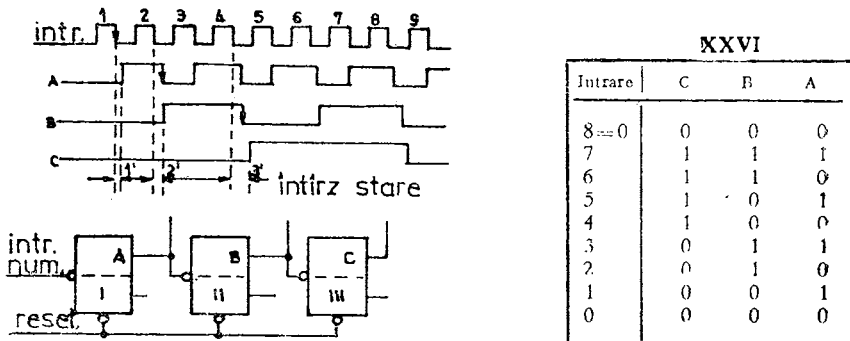


Fig. 2.105

Figura 2.106 reprezintă dia-
grama logică a unui NUMĂRĂTOR binar sincron în jos. Cu notațiile:

$$J_B = \bar{A} \quad J_C = \bar{A} \cdot \bar{B}$$

$$K_B = \bar{A} \quad K_C = \bar{A} \cdot \bar{B}$$

tabelul de adevăr va fi XXVII

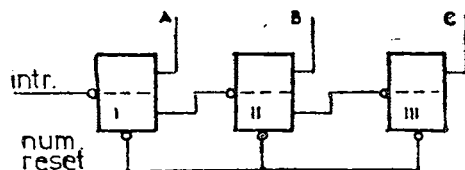


Fig. 2.106

Intrare	C	B	A	Intrările condiționate după semnalul tact			
				J_a	K_a	J_b	K_b
8 = 0	0	0	0	1	1	1	1
7	1	1	1	0	0	0	0
6	1	1	0	1	1	0	0
5	1	0	1	0	0	0	0
4	1	0	0	1	1	1	1
3	0	1	1	0	0	0	0
2	0	1	0	1	1	0	0
1	0	0	1	0	0	0	0
0	0	0	0	1	1	1	1

XXVII

Figura 2.107 reprezintă diagrama logică a unui **NUMĂRĂTOR binar sincron reversibil** cu intrările preselectate, pentru care tabelul de adevăr este XXVIII

XXVIII

	J_B	K_B	J_C	K_C
Înainte	$\frac{A}{\bar{A}}$	A	$\frac{A \cdot B}{\bar{A} \cdot \bar{B}}$	$\frac{A \cdot B}{\bar{A} \cdot \bar{B}}$
Revers	\bar{A}	\bar{A}	$\bar{A} \cdot \bar{B}$	$\bar{A} \cdot B$

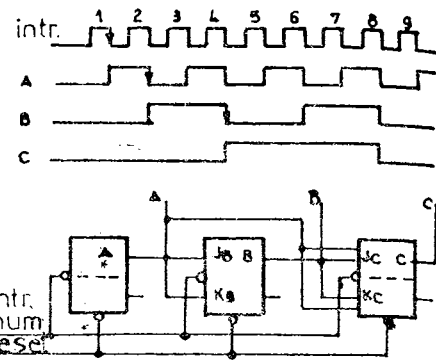


Fig. 2.107

Figura 2.108 conține diagrama logică și diagrama impulsurilor pentru un **NUMĂRĂTOR sincron modulo-3**.

Notind $J_A = \bar{B}$, $K_A = \bar{B}$ tabelul de adevăr este :
 $J_B = A$, $K_B = \bar{A}$

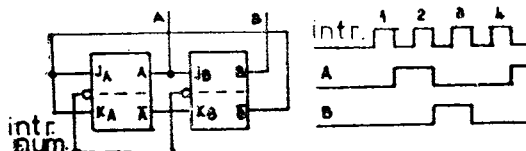


Fig. 2.108

XXIX

Intrare	B	A
0	0	0
1	0	1
1	1	0
$3=0$	0	0

XXX

Intrare	C	B	A	K_A	J_C
0	0	0	0	0	0
1	0	1	1	0	1
2	1	1	1	1	1
3	0	1	0	0	1
4	1	0	1	1	0
$5=0$	0	0	0	0	0

Stare incorectă

I	0	0	1	0	0	$\rightarrow [1]$
II	1	0	0	1	0	$\rightarrow [1]$
III	1	1	0	1	1	$\rightarrow [1]$

Notă : $J_A = 1$, $K_A = C$,
 $J_C = B$, $K_C = 1$

În figura 2.109 se reprezintă același lucru pentru un **NUMĂRĂTOR modulo-5** care are tabelul de adevăr XXX

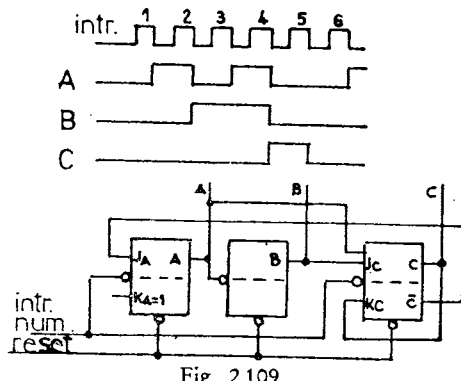


Fig. 2.109

iar în figura 2.110 diagrama logică și diagrama impulsurilor pentru un **NUMĂRĂTOR modul-5 imbuinătat**, cu tabelul de adevăr XXXI

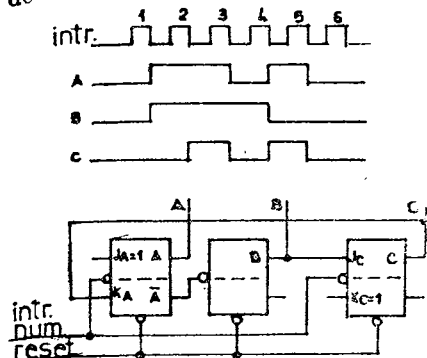


Fig. 2.110

XXXI

Intrare	C	B	A	J_A	K_C	J_C
0	0	0	0	1	0	0
1	0	0	1	1	0	0
2	0	1	0	1	0	0
3	0	1	1	1	0	1
4	1	0	0	0	1	0
$5=0$	0	0	0	1	0	0

Stare incorectă

I	1	0	!	0	1	0	$\rightarrow [2]$
II	!	1	0	0	1	0	$\rightarrow [2]$
III	!	1	1	0	1	1	$\rightarrow [0]$

Notă : $J_A = C$, $K_A = 1$
 $J_C = AB$, $K_C = C$

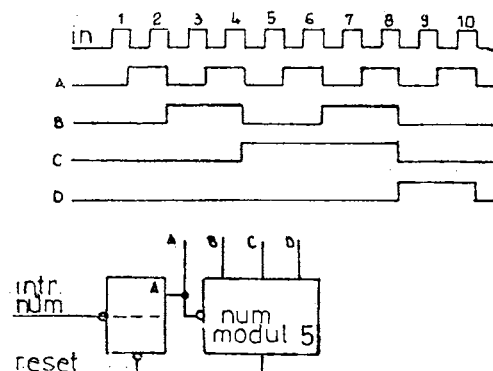


Fig. 2.111

XXXII a

Intrare	D	C	B	A
0	0	0	0	0
1	0	0	0	1
2	0	0	1	0
3	0	0	1	1
4	0	1	0	0
5	0	1	0	1
6	0	1	1	0
7	0	1	1	1
8	1	0	0	0
9	1	0	0	1
$10=0$	0	0	0	0

XXXII b

Intrare	D	C	B	A
0	0	0	0	0
2	0	0	1	
4	0	1	0	0
6	0	1	1	
8	1	0	0	
1	0	0	0	
3	0	0	1	
5	0	1	0	1
7	0	1	1	
9	1	0	0	

Notă : $J_a = \overline{D}$, $K_B = \overline{D}$,
 $J_D = BC$, $K_D = 1$

În figura 2.112 se reprezintă diagrama logică și diagrama impulsurilor pentru un **NUMĂRĂTOR** decadic cu pondere 1, 2, 4, 5.

Tabelul de adevăr este XXXIII

Intrare	D	C	B	A
0	0	0	0	0
1	0	0	0	1
2	0	0	1	0
3	0	0	1	1
4	0	1	0	0
5	1	0	0	0
6	1	0	0	1
7	1	0	1	0
8	1	0	1	1
9	1	1	0	0
10=0	0	0	0	0

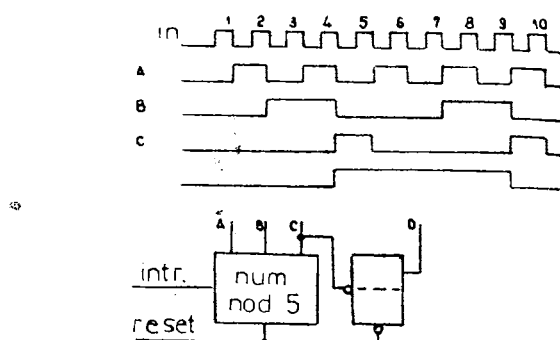


Fig. 2.112

Diagramele din fig. 2.113 fac posibile determinarea rapidă și ușoară a frecvenței de oscilație a multivibratoarelor astabile și durata perioadei impulsurilor unui multivibrator monostabil. De pe curbă se poate determina și durata impulsurilor de ieșire a multivibratorului astabil. Diagrama *a* corespunde relației $t_p = 0,69 \text{ RC}$, unde t_p este perioada impulsului în cazul multivibratorului monostabil. (Perioada impulsului la un multivibrator astabil simetric este $2tp$). Diagrama *b* indică relația frecvență-capacitate pentru diferite valori ale rezistenței în cazul unui multivibrator astabil simetric. La baza nomogramei se află relația $f = 1/1,38 \text{ RC}$.

Exemplu: Să determinăm valoarea lui *C* cînd vrem să proiectăm un multivibrator monostabil cu frecvență de 500 Hz și durata impulsului de 1 ms. Valoarea rezistenței nu poate depăși 100 Kohmi din cauza valorii β a tranzistorului utilizat. De pe nomogramă rezultă pentru *C* valoarea de $0,015 \mu\text{F}$.

2.5. CIRCUITE DE ALIMENTARE

2.5.1. Transformatoare

Transformatoarele de rețea se caracterizează prin funcționare la frecvență fixă (50 Hz) și prin aceea că trebuie să redea puterea extrasă de la rețea, în infășurările secundare, la tensiunile dorite.

Există relația

$$P_2 = \sum P_{2e}^{(i)} = \sum U_{2e}^{(i)} I_{2e}^{(i)} = \eta_T P_1,$$

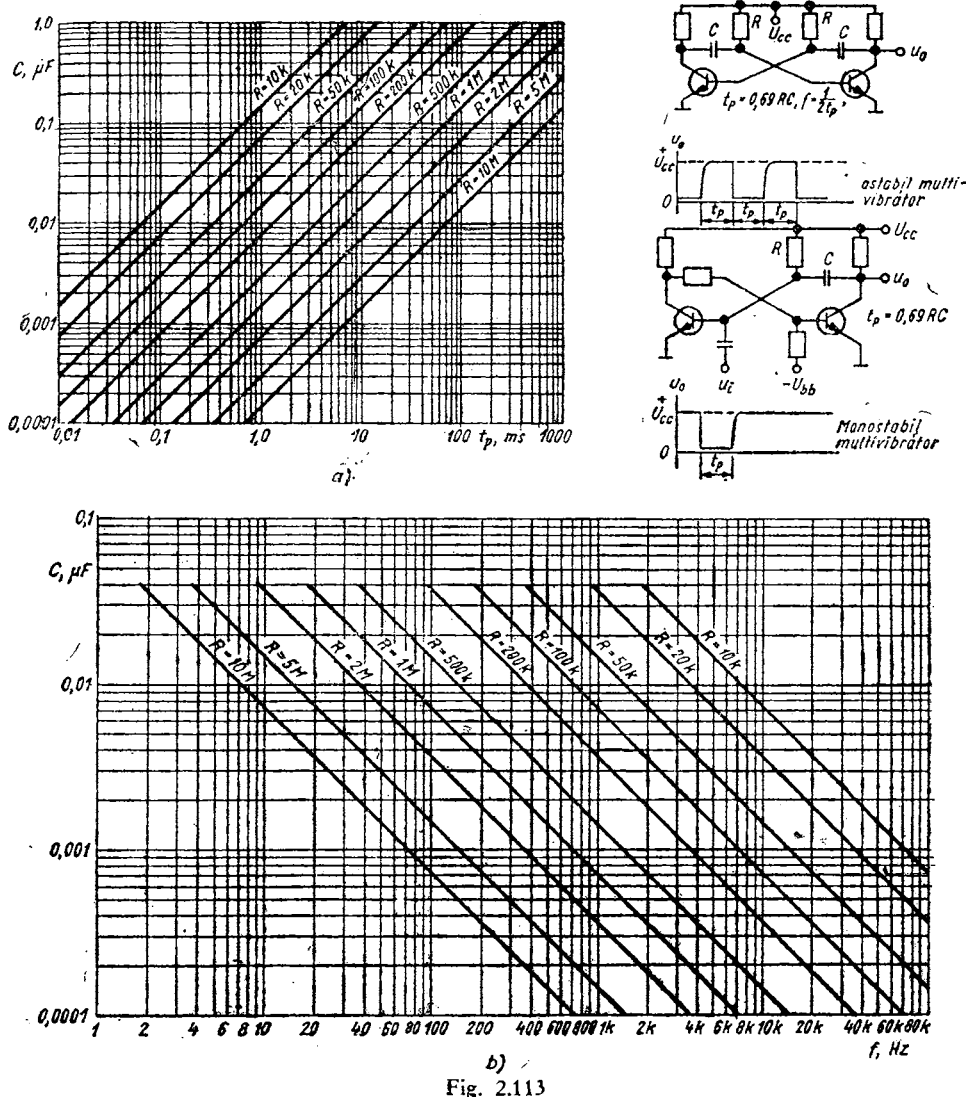


Fig. 2.113

În care: P_1 este puterea în primarul transformatorului, în W ;

P_2 — puterea în secundarele transformatorului, în W ;

$P_2^{(i)}$ — puterea secundarului i , în W ;

$U_{2e}^{(i)}$, $I_{2e}^{(i)}$ — tensiunea, în V , respectiv curentul A , în înfășurarea secundară i ;

η_T — randamentul transformatorului ($\eta_T = 0,8 \dots 0,95$).

Diametrul conductorului folosit la bobinajul înfășurării trebuie să satisfacă inegalitatea:

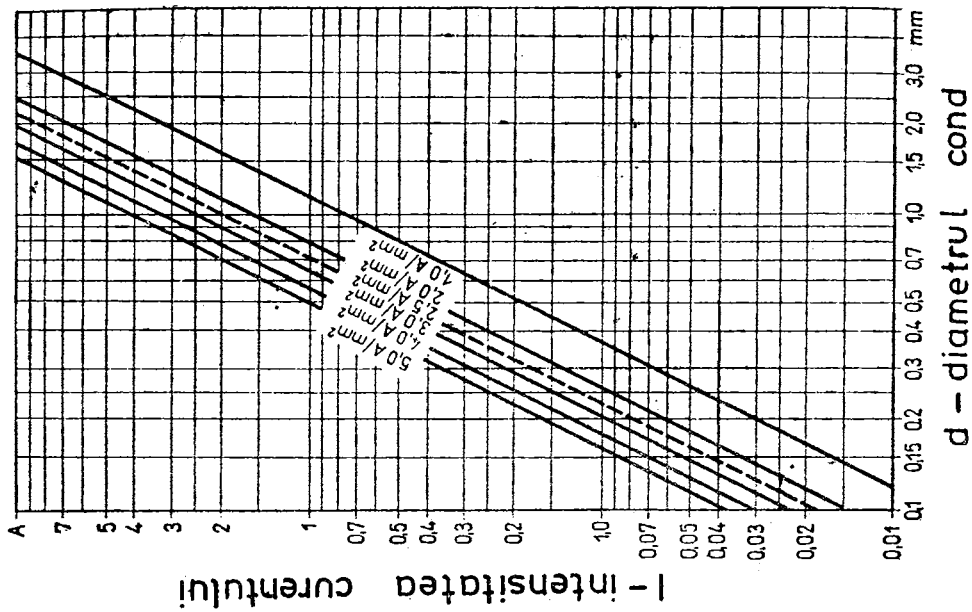
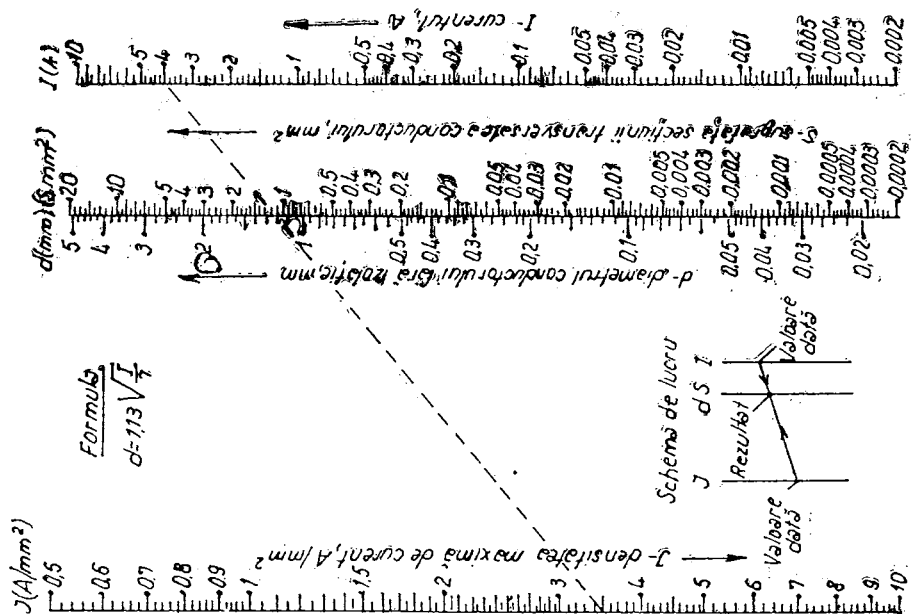


Fig. 2.115



$$d \geq 1,13 \sqrt{\frac{I}{J}},$$

în care: d este diametrul sârmecii, în mm;

I — curentul maxim al înfășurării, în A;

J — densitatea de curent admisă, în A/mm^2 .

În general, $J = 2 \dots 3 A/mm^2$. Este utilă folosirea diagramelor de pe figura 2.114 și figura 2.115 care au la bază această relație.

Notind cu U_1 tensiunea din înfășurarea primară și U_2 tensiunea din înfășurarea secundară, raportul $n = \frac{U_2}{U_1} = \frac{I_1}{I_2}$ se numește raport de transformare și se poate calcula ușor cu ajutorul nomogramei din figura 2.116.

Miezul transformatorilor este realizat de obicei din tole care pot fi de tip EI, LL, M, UI.

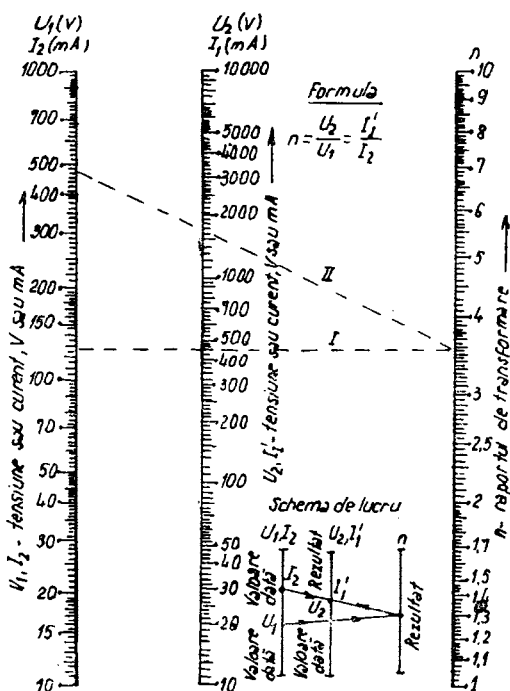


Fig. 2.116

În figura 2.117 se dă noțiile și semnificația lor pentru diferite tipuri de miezuri, iar tabelul 2.19 cuprinde principalele caracteristici ale acestor miezuri.

Cu miez de fier se realizează și bobine de șoc, în afara transformatorilor. În tabelul 2.20 sunt cuprinse date privind conductoarele de cupru pentru informările transformatorilor și bobinelor de șoc cu miez de fier.

Inducția în miez nu trebuie să depășească valoarea maxim acceptată B_M (la tole fier-siliciu se consideră $B_M = 0,6 \dots 1,2 T$) pentru a nu distorsiona formă de undă. Există relația :

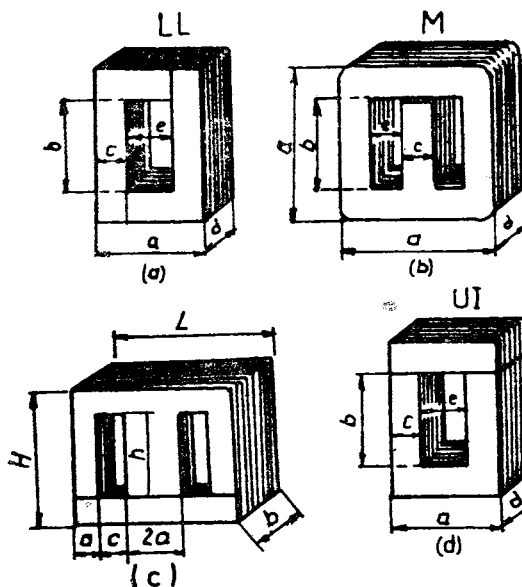


Fig. 2.117

TABELUL 2.19

Principalele caracteristici ale miezurilor LL, M, EI și UI

Tipul tolei	a	b	c	d	e	A_{miez}	$A_{ferastră}$
	mm					cm ²	
LL 30	30	30	10	10	10	1	3
LL 30	30	30	10	16	10	1,6	3
LL 39	39	39	13	13	13	1,69	5
LL 39	39	39	13	20	13	2,6	5
LL 48	48	48	16	16	16	2,56	7,68
LL 48	48	48	16	25	16	4	7,68
LL 60	60	60	20	20	20	4	12
LL 60	60	60	20	20	20	6	12
LL 75	75	75	25	25	25	6,25	18,75
LL 75	75	75	25	40	25	10	18,75
LL 90	90	90	30	30	30	9	27
LL 90	90	90	30	30	30	15	27
M 20	20	13	5	5	4	0,25	0,52
M 30	30	20	7	7	6,5	0,49	1,3
M 42	42	30	12	15	9	1,8	2,7
M 55	55	38	17	20	10,5	1,8	4
M 65	65	45	20	26	12,5	3,4	5,63
M 74	74	51	23	32	14	7,36	7,14
M 85	85	56	29	32	13,5	9,28	7,56
M 85	85	56	29	45	13,5	13	7,56
M 102	102	68	34	35	17	11,9	11,56
M 102	102	68	34	53	17	18	11,56
UI 30	30	40	10	10	10	1	3
UI 39	39	52	13	13	13	1,7	5
UI 48	48	64	16	16	16	2,5	7,5
UI 60	60	84	20	20	20	4	12
UI 75	75	100	25	25	25	6,2	19
UI 90	90	120	30	30	30	9	27
UI 102	102	136	34	34	34	11,5	35
UI 114	114	152	38	38	38	14,4	43
UI 132	132	176	44	44	44	19,3	58
UI 150	150	200	50	50	50	25	75
UI 180	180	240	60	60	60	36	11
UI 210	210	280	70	70	70	49	15
E 4	4	23	24	7	12	0,96	1,05
E 5	5	25	30	5	15	1,5	0,75
E 6,4	6,4	32	38,4	6,4	19,2	2,43	1,22
E 8	8	40	48	8	24	3,84	1,92
E 10	10	50	60	10	30	6	3
E 12,5	12,5	62,5	75	12,5	37,5	9,25	4,69
E 14	14	70	84	14	42	11,76	5,88
E 16	16	80	96	16	48	15,36	7,68
E 18	18	90	108	18	54	19,44	9,72
E 20	20	100	120	20	60	24	12
E 25	25	125	150	25	75	37,5	18,75
E 32	32	160	192	32	96	61,44	30,72

TABELUL 2.20

Circuite

145

Date privind conductoarele din cupru pentru înășurătile transformatorică, motoarelor și bobinelor de soc cu miez de fier

Diametru conducto- rului ne- izolat mm	Secțiunea condusco- rului ne- izolat mm ²	Rezistența a 100 m conductor la 20°C Ω	Numărul de spire de conductor înășurăt strins pe 1 cm ²				Curentul admisibil la o încărcare de :				
			1 x mătase sp/cm ²	2 x mătase sp/cm ²	1 x bumbac sp/cm ²	2 x bumbac sp/cm ²	J = 2 A/mm ² A	J = 2,5 A/mm ² A	J = 3 A/mm ² A	J = 4 A/mm ² A	
0,05	0,00196	929	18 030	10 000	5 300	—	—	0,004	0,005	0,006	0,008
0,07	0,00385	452	—	5 700	3 520	—	—	0,0077	0,0096	0,011	0,015
0,08	0,00502	363	8 200	4 250	2 800	2 070	—	0,10	0,013	0,015	0,021
0,10	0,00785	224	5 700	3 320	2 280	1 720	—	0,016	0,020	0,024	0,031
0,12	0,00950	185	4 000	2 400	1 720	1 360	—	0,019	0,024	0,029	0,038
0,15	0,0154	114	2 800	1 800	1 360	1 000	—	0,031	0,038	0,046	0,062
0,18	0,0235	68,8	2 070	1 400	1 000	—	—	0,050	0,054	0,076	0,102
0,20	0,0314	55,8	1 720	1 530	1 180	940	66,5	0,063	0,078	0,094	0,126
0,22	0,03801	45,7	—	—	—	—	—	0,076	0,095	0,114	0,152
0,25	0,0491	35,7	1 140	1 020	835	700	515	0,098	0,123	0,147	0,196
0,28	0,06158	—	—	—	—	—	—	0,122	0,154	0,185	0,246
0,30	0,0708	24,08	—	—	—	—	—	0,141	0,177	0,212	0,283
0,35	0,0962	18,2	592	567	493	395	302	0,192	0,240	0,288	0,385
0,40	0,126	13,9	470	450	395	325	245	0,252	0,315	0,380	0,504
0,45	0,159	11	368	360	323	269	210	0,318	0,400	0,480	0,636
0,50	0,197	8,9	308	304	274	231	182	0,394	0,490	0,590	0,788
0,55	0,238	7,3	255	250	226	195	157	0,476	0,590	0,710	0,952
0,60	0,284	6,2	217	194	172	134	96	0,568	0,710	0,850	1,136
0,63	0,332	5,3	183	185	166	199	118	0,664	0,830	1,00	1,328
0,70	0,385	4,5	164	166	148	134	108	0,770	0,960	1,15	1,540
0,75	0,442	4	140	143	129	118	96	0,884	1,105	1,33	1,768
0,80	0,503	3,5	125	128	117	108	88	1,00	1,26	1,51	2,012
0,85	0,580	3,08	106	113	104	96	73	1,16	1,45	1,74	2,22
0,90	0,636	2,76	101	103	95	88	73	1,27	1,59	1,91	2,54
0,95	0,702	2,47	90	92	86	79	66	1,40	1,76	2,11	2,81
1	0,785	2,24	83	85	79	73	62	1,57	1,90	2,36	3,14
1,1	0,95	1,88	69	70	64	62	53	1,90	2,40	2,85	3,80
1,2	1,13	1,55	58	59	55	53	46,5	—	—	—	—
1,3	1,33	1,32	50,5	51	48	46,5	41	2,66	3,32	4,00	5,32
1,4	1,54	1,13	44,5	45	42	41	36	3,28	3,85	4,60	6,16
1,5	1,78	0,98	39	39,5	37	36	32	3,50	4,45	5,34	7,12
1,6	2,01	0,86	—	—	—	31	27,5	5,02	5,02	6,03	8,04
1,7	2,27	0,77	—	—	—	28	26	4,51	5,68	6,81	9,08
1,8	2,55	0,69	—	—	—	25,3	23	5,10	6,38	7,65	10,20
1,9	2,84	0,62	—	—	—	20,8	19	5,68	7,10	8,52	11,36
2	3,14	0,55	—	—	—	19	19	6,28	7,85	9,42	12,56

$$n_v = \frac{1}{4,44 f B S_f}$$

în care: n_v este numărul de spire/V;

f — frecvență de lucru, în Hz;

B — inducția în miez, în T;

S_f — secțiunea netă a miezului, în m^2 .

Pentru a compensa pierderile, numărul de spire pe volt se ia în primar cu 5–10% mai mic, iar în secundar cu același procent mai mare, față de n_v calculat pentru $B=B_M$.

Pentru a nu alege la întâmplare secțiunea S_f a miezului se poate utiliza orientativ pentru miezurile din tole fier-siliciu relația:

$$S_f \geq 10^{-3} \sqrt{\frac{P_1}{f}}$$

2.5.2. Redresoare

Parametrii cei mai importanți ai unui redresor sunt:

— tensiunea redresată în sarcină, U_o ;

— curentul redresat în sarcină, I_o ($I_o = \frac{U_o}{R}$);

— factorul de ondulație :

$$\gamma = \frac{U_1}{U_o},$$

unde U_1 este amplitudinea componentei de frecvență cea mai mică din tensiunea de ieșire;

— randamentul redresării :

$$\eta = \frac{P_u}{P_a}$$

unde: $P_u = U_o I_o$ este puterea utilă de curent continuu;

$P_a =$ — puterea activă absorbită de la rețeaua de alimentare.

Tabelul 2.21 sintetizează schemele tipice de redresoare cu diode semiconductoare, formele de undă și parametrii reprezentativi. Tabelul 2.22 conține formulele pentru calculul redresorului cu ieșire pe capacitate.

2.5.3. Filtre de netezire

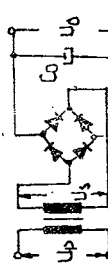
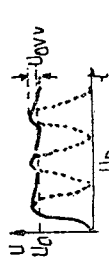
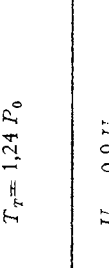
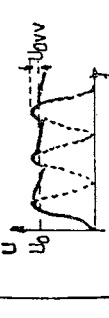
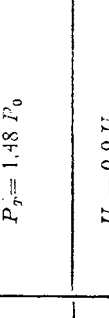
În figura 2.118 este reprezentat un filtru LC , care se folosește, de obicei, numai împreună cu montaje redresoare dublă alternanță sau în puncte.

Tensiunea continuă la ieșirea din filtru este dată de relația:

$$U_o = \frac{R}{R+R_L} U'_o$$

TABELUL 2.21

Scheme tipice de redresoare cu diode semiconductoare, forme de undă și parametri reprezentativi

Tipul redresorului	Monalternanță	Bialternanță cu priză	Bialternanță în puncte
1	2	3	4
Schema electrică			
Forma tensiunii după redresare și filtrare cu condensator			
1. Puterea tipică a transformatorului P_T (V_A)	$P_T = 1,73 P_0$	$P_T = 1,48 P_0$	$T_T = 1,24 P_0$
2. Tensiune în secundar U_s	$U_s = 0,95 U_0$	$U_s = 0,9 U_0$	$U_s = 0,9 U_0$
3. Tensiunea inversă pe diodă	$U_R = 2,4 U_0$	$U_R = 2,25 U_0$	$U_R = 1,13 U_0$
4. Current continuu prin diodă	$I_D = 1,0 I_0$	$I_D = 0,5 I_0$	$I_D = 0,5 I_0$
5. Currentul în secundarul transformatorului	$I_S = 2,1 I_0$	$I_S = 1,1 I_0$	$I_S = 1,57 I_0$

continuare fișei 2.21

1	2	3	4
6. Valoarea condensatorului $C_0 [F]$	$C_0 \approx 5 \cdot 10^{-8} \cdot I_0 / U_{0\text{RV}}$	$C_0 \approx 2 \cdot 10^{-3} I_0 / U_{0\text{RV}}$	$C_2 \approx 2 \cdot 10^{-3} I_0 U_{0\text{RV}}$
7. Tensiunea maximă pe condensator	$U_{0\text{max}} = 1,41 \cdot U_s$	$U_{0\text{max}} = 1,41 \cdot U_s$	$U_{0\text{max}} = 1,41 \cdot U_s$
8. I_D maxim la pornire	$I_{Dmax} = 7 \cdot U_s \cdot 10^2 \cdot C_0$	$I_{Dmax} = 7 \cdot U_s \cdot 10^2 \cdot C_0$	$I_{Dmax} = 7 \cdot U_s \cdot 10^2 \cdot C_0$
9. Frevenția riplului (pulsafilor) f_0	$f_0 = 50 \text{ Hz}$	$f_0 = 100 \text{ Hz}$	$f_0 = 100 \text{ Hz}$
10. Suprafața miezului de fier $S_{F\#}$	$S_{F\#} = 1,5 P_T$	$S_{F\#} = 1,5 P_T$	$S_{F\#} = 1,5 P_T$
11. Numărul de spire/volt în primar n_p	$n_p = 45 / S_{F\#}$	—	—
12. Numărul de spire în secundar	$N_s = n_p \cdot 1,07 V_s$	—	—
13. Curentul în primar	$I_p = P_T / U_p$	$I_p = P_T / U_p$	$I_p = P_T / U_p$

în cazul cînd :

$$R_L \ll 2\omega L \text{ și } R \gg \frac{1}{2\omega C},$$

unde ω reprezintă pulsătia corespunzătoare frecvenței f a tensiunii de alimentare a redresorului dublă alternanță, amplitudinea componentei de frecvență cea mai mică la ieșirea din filtru este :

$$U_i \approx \frac{1}{4\omega^2 LC - 1} U'_i,$$

iar factorul de ondulație este :

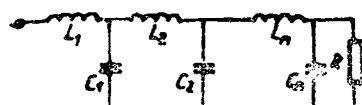


Fig. 2.119

unde :

$$\gamma = \frac{\gamma'}{4\omega^2 LC - 1},$$

$$\gamma' = \frac{2}{3} \left(1 + \frac{R'_i}{R + R_L} \right).$$

Valoarea maximă a curentului este dată de relația :

$$I_{aM} = I_0 + I_1 \approx \frac{U_0}{R} + \frac{U_1}{\sqrt{R_L^2 + \left(2\omega L - \frac{1}{2\omega C} \right)^2}}.$$

În cazul în care filtrul LC are n secțiuni (figura 2.119), factorul de ondulație are valoarea :

$$\gamma = \frac{\gamma'}{(4\omega^2 L_1 C_1 - 1)(4\omega^2 L_2 C_2 - 1) \dots (4\omega^2 L_n C_n - 1)}.$$

Este important de remarcat faptul că redresorul cu filtrul LC funcționează normal numai dacă $I_0 \geq I_1$; deci valoarea curentului continuu trebuie să depășească valoarea critică :

$$I_{0,r} = I_1 \approx \frac{U'_i}{2\omega L} = \frac{2U}{3\pi\omega L}.$$

Deoarece :

$$I_0 = \frac{U}{R + R_L} = \frac{2U}{\pi(R + R_L)}$$

și $R \gg R_L$, rezultă pentru o funcționare normală condiția :

$$\omega L \gg \frac{R}{3}.$$

În figura 2.120 a, este reprezentată schema unui filtru cu intrarea pe condensator pentru un redresor monoalternanță, iar în figura 2.120 b, — variația tensiunii la bornele capacității C . Unghiul δ reprezintă decalajul

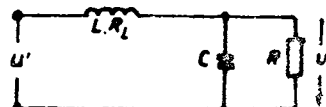
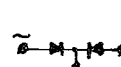
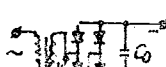
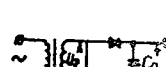
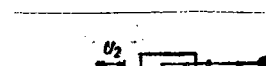


Fig. 2.118

Formulele pentru calculul redresorului

Denumirea schemei de redresoare	Schema electrică a redresorului	Schema de legare a diodelor	Numărul fazelor redresate m
Monoalternanță			1
Dublă alternanță cu priză mediană			2
Punte monoalternanță			3
Dublă de tensiune			4
Redresor trifazic (stea-stea, triunghi-stea)			5
Punte Larionov (stea-stea, triunghi-stea)			6

¹ Prin numărul de faze redresate se înțelege numărul de impulsuri de curent care trece prin sarcină într-o perioadă .

² Fără calculul curentului de mers în gol.

$$\text{Pentru conexiunea triunghi-stea: } I_1' = \sqrt{I_2^2 - \frac{I_0^2}{9}}.$$

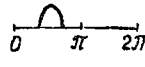
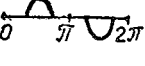
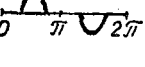
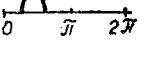
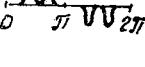
TABELUL 2.22

cu ieșire pe capacitate

Valoarea medie a curentului redresat, I_0	Amplitudinea tensiunii inverse pe diodă, U_{inr}	Curent de vîrf prin redresor I_m	Rezistența redresorului, r	F.e.m. din secundarul transformatorului, U_{2g}
I_0	$2 U_{2g} \sqrt{2} = 3 E_0$	$I_0 F_0 = 7 I_0$	$R_i + r_{ir}$	$B_0 E_0$
$\frac{I_0}{2}$	$2 U_{2g} \sqrt{2} = 3 E_0$	$\frac{I_0}{2} F_0 = 3,5 I_0$	$R_i + r_{ir}$	$B_0 E_0$
$\frac{I_0}{2}$	$U_{2g} \sqrt{2} = 1,5 E_0$	$\frac{I_0}{2} F_0 = 3,51 I_0$	$2R_i + r_{ir}$	$B_0 E_0$
I_0	$2 U_{2g} \sqrt{2} = 1,5 E_0$	$I_0 F_0 = 7 I_0$	$R_i + r_{ir}$	$B_0 \frac{E_0}{2}$
$\frac{I_0}{3}$	$2 U_{2g} = 3 E_0$	$\frac{I_0}{3} F_0 = 2,3 I_0$	$R_i + r_{ir}$	$B_0 E_0$
$\frac{I_0}{3}$	$U_{2g} \sqrt{6} = 1,5 E_0$	$\frac{I_0}{6} F_0 = 1,15 I_0$	$2R_i + 2r_{ir}$	$\frac{B_0 F_0}{\sqrt{3}}$

Observație: I_0 — valoarea medie a curentului redresat; E_0 — tensiunea redresată; R_i — rezistența internă a diodei redresoare; r_{ir} — rezistența înfășurărilor transformatorului raportată la secundar; n — raportul de transformare; P_0 — puterea redresată; B_0 , D_0 , F_0 — coeficienți de calcul.

continuare Tabelul 2.22

Curentul eficace la secundar, I_2	Curentul eficace în primar ⁱ⁾ , I'_1	Puterea de calcul construtiv P_c	Puterea totală în secundar VA ₂	Forma curentului în secundar pentru fiecare fază
$D_0 I_4$	$n \sqrt{I_2^2 - I_0^2}$	$2 P_0$	$2,15 P_0$	
$D_0 \frac{I_0}{2}$	$n I_2 \sqrt{2}$	$1,8 P_0$	$2,15 P_0$	
$D_0 \frac{I_0}{\sqrt{2}}$	$n I_2$	$1,5 P_0$	$1,5 P_0$	
$D_0 I_{02}$	$n I_2$	$1,5 P_0$	$1,5 P_0$	
$D_0 \frac{I_0}{3}$	$n I_2 \frac{\sqrt{6}}{3}$	$2 P_0$	$2,15 P_0$	
$D_0 \frac{I_0}{3}$	$n I_2$	$1,2 P_0$	$1,25 P_0$	

dintre maximul tensiunii alternative și maximul curentului redresat. Pentru semiunghiul de conducție θ este valabilă relația :

$$\operatorname{tg} \theta - \theta = \frac{\pi R'_i}{R}.$$

Valoarea tensiunii continue redresată este :

$$U_0 \approx E_2 \cos \theta,$$

iar variația tensiunii redresate față de valoarea medie U_0 :

$$\Delta U_0 \approx \frac{\pi - \theta}{\omega C R} U_0.$$

Factorul de ondulație este dat de relația :

$$\gamma = \frac{\Delta U_0}{U_0} = \frac{\pi - \theta}{\omega C R},$$

iar valoarea maximă a curentului redresat este :

$$I_{aM} = \frac{E_2 - U_0}{R_i} \approx \frac{\pi(1 - \cos \theta)}{\sin \theta - \theta \cos \theta} I_0.$$

Tensiunea maximă inversă este :

$$U_{inv\ M} = E_2 + U_0 \approx E_2(1 + \cos \theta).$$

În cazul unui redresor dublă alternanță, prevăzut cu filtru cu intrare pe condensator, sînt valabile relațiile :

- pentru semiunghiul de conducție : $\operatorname{tg} \theta - \theta = \frac{\pi R'_i}{2R}$;
- tensiunea continuă redresată : $U_0 \approx E_2 \cos \theta$;
- variația tensiunii redresate : $\Delta U_0 \approx \frac{\pi - 2\theta}{2\omega C R} U_0$;
- factorul de ondulație : $\gamma \approx \frac{\pi - 2\theta}{2\omega C R}$;
- valoarea maximă a curentului redresat :

$$I_{aM} \approx \frac{\pi(1 - \cos \theta)}{\sin \theta - \theta \cos \theta} - \frac{I_0}{2};$$

- valoarea medie a curentului redresat :

$$I_{ao} = \frac{I_0}{2} = \frac{U_0}{2R};$$

- tensiunea inversă maximă : $U_{inv\ M} \approx E_2(1 + \cos \theta)$.

În figura 2.121 sunt prezentate variațiile funcțiilor $F_1(\theta)$ și $F_2(\theta)$, unde :

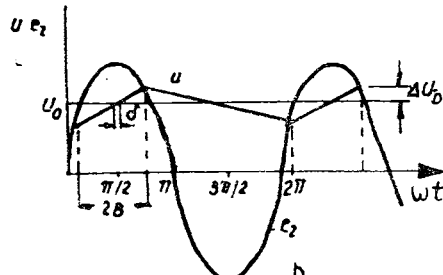
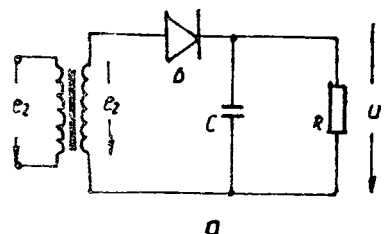


Fig. 2.120

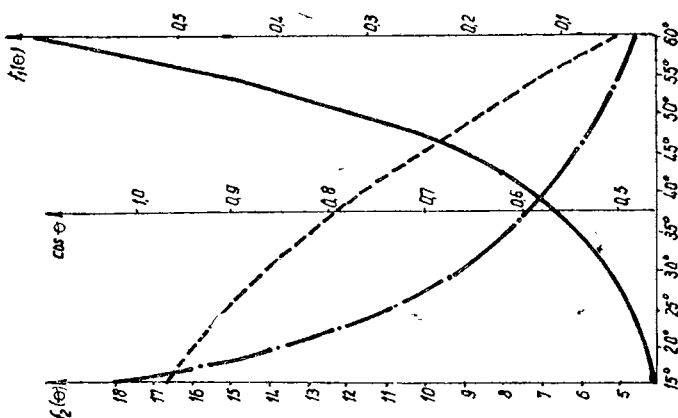


Fig. 2.1.21

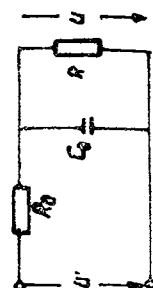


Fig. 2.1.22

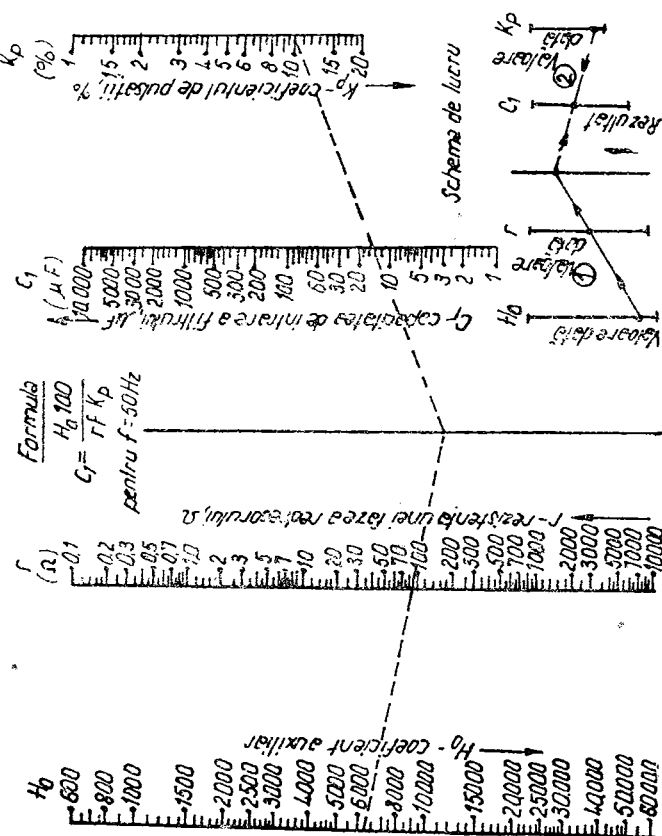


Fig. 2.1.23

$$F_1(\theta) = \tan \theta - \theta, \text{ iar } F_2(\theta) = \frac{(1 - \cos \theta)}{\sin \theta - \theta \cos \theta}.$$

Se pot utiliza și filtre compuse din rezistențe și condensatoare (filtre RC), ceea ce este avantajos numai la curenți redresati de valori mici, altfel cădereea de tensiune pe rezistență R este mare. În figura 2.122 este prezentată schema unui filtru RC .

În acest caz tensiunea continuă la ieșirea din filtru are valoarea :

$$U_o = \frac{R}{R + R_o} U'_o.$$

În cazul unui redresor dublă alternanță cu filtru RC factorul de ondulație este dat de relația :

$$\gamma \approx \frac{\gamma'}{2\omega C_o R_o},$$

fiind pulsăția corespunzătoare frecvenței f a tensiunii alternative aplicate la intrarea redresorului.

Cu ajutorul nomogramei din figura 2.123 se poate determina capacitatea condensatorului de intrare a filtrului.

2.5.4. Siguranțe

Circuitele de alimentare sunt protejate de siguranțe fuzibile.

Acțiunea de protecție a siguranței fuzibile se bazează pe următorul fenomen : cantitatea de căldură Q degajată prin treierea curentului care are valoare mai mare decât cel admis, duce la topirea materialului siguranței fuzibile și prin aceasta la întreruperea circuitului.

Nomograma din figura 2.124 permite alegerea materialului și a diametrului conductorului (fuzibilului) pentru siguranțe de curent nominal dat.

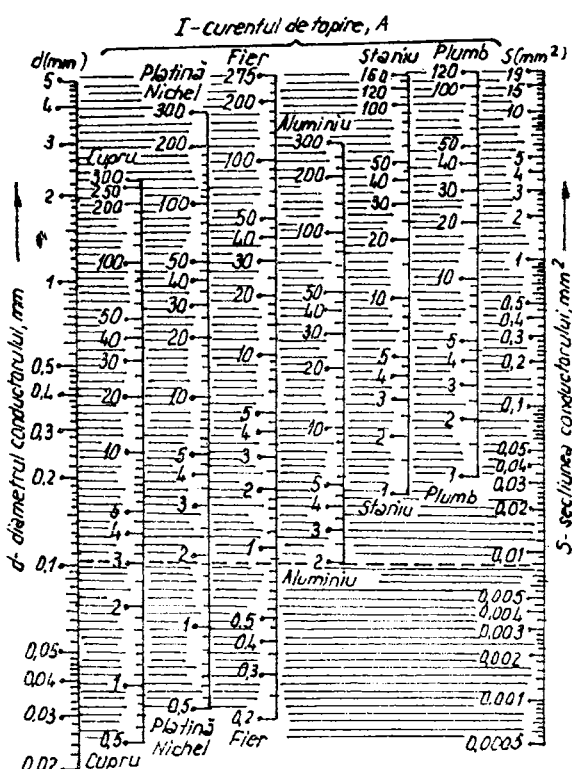


Fig. 2.124

2.5.5. Stabilizatoare de tensiune

Stabilizatoarele de tensiune pot fi parametrice (se modifică elementele neliniare la modificarea tensiunii de intrare sau a rezistenței de sarcină), sau de compensare (se compară mărimea tensiunii de ieșire și cea a unei tensiuni de referință, iar diferența dintre ele acționează asupra elementului regulator).

Parametrii cei mai importanți ai unui stabilizator de tensiune sunt:

- rezistența de ieșire (sau internă)

$$R_{ies} = \frac{\Delta U_{ies}}{\Delta I_s}$$

unde :

ΔU_{ies} — variația tensiunii de ieșire ;

ΔI_s — variația curentului de sarcină.

- Coeficientul de stabilizare cu temperatură

$$K_t = \frac{\Delta U_{ies}}{U_{ies}} \cdot \frac{100}{\Delta T}$$

unde :

- ΔT — variația de temperatură.

Pentru diodele stabilizatoare cu temperatura de stabilizare $U_z > 6V$, are o valoare aproximativă de $+0,1\%$ pe $^{\circ}\text{C}$, iar la cele cu $U_z < 6V$, are o valoare aproximativă de $-0,1\%$ pe $^{\circ}\text{C}$.

- Coeficientul de stabilizare S_0 .

$$\frac{1}{S_0} = \frac{\Delta U_{ies}}{\Delta U_{in}}$$

unde :

ΔU_{in} — variația tensiunii de intrare.

- Coeficientul de stabilizare S_0^1 în sarcină

$$\frac{1}{S_0^1} = \left. \frac{\Delta U_{ies}}{\Delta U_{in}} \right|_{R_s \text{ și } T = \text{const.}}$$

unde :

R_s — rezistența de sarcină.

- factorul de stabilizare (relativ) F_u .

$$\frac{1}{F_u} = \frac{1}{S_0} \cdot \frac{V_{in}}{V_{ies}}$$

La stabilizatoarele parametrice, factorul de stabilizare și rezistența internă depind de rezistență dinamică r_z (rezistență diferențială în zona utilă stabilizării) a diodei Zenner folosite (figura 2.125).

$$U_{ies} = \frac{U_z + U_{in} \frac{r_z}{R_1}}{\left(1 + \frac{r_z}{R_1} + \frac{r_z}{R_s} \right)}$$

unde :

U_z — tensiunea Zenner a diodei folosite.

Între curenți există relația :

$$I_z = I_{in} - I_{ies} = \frac{U_{in} - U_z}{R_1} - \frac{U_z}{R_s}$$

unde :

I_z — curentul prin diodă.

Coefficientul de stabilizare S_0^1 are expresia :

$$\frac{1}{S_0^1} = \frac{\frac{r_z}{R_1}}{1 + \frac{r_z}{R_1} + \frac{r_z}{R_s}}$$

Puterea disipată pe diode este :

$$P_z = U_z I_z$$

Stabilizatoarele de compensare sunt de tip serie (figura 2.126) și de tip paralel (figura 2.127).

Pentru stabilizatorul de tensiune se pot scrie relațiile :

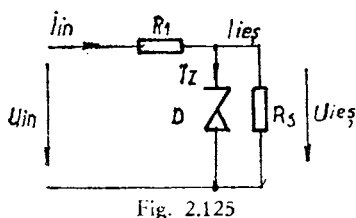


Fig. 2.125

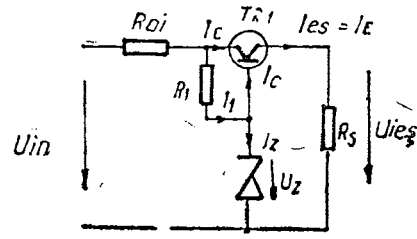


Fig. 2.126

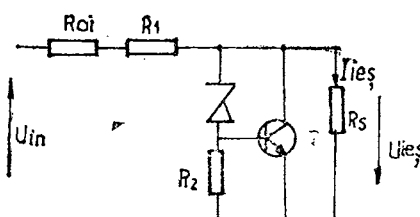


Fig. 2.127

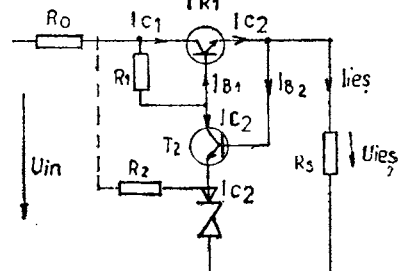


Fig. 2.128

$$R_{ies} = \frac{h_{11e}(R_1 + R_{oi}) + r_z(R_1 + h_{11e}) + (1 + h_{21e})r_z R_{oi}}{(1 + h_{21e})(r_z + R_1 + R_{oi})}$$

unde :

R_{oi} — rezistență internă a sursei U_{in}

$$S'_0 = \frac{1}{1 + \frac{R_{oi}}{R} + \frac{R_1 + R_{oi}}{r_z} + \frac{h_{11e} + R_1 + R_{oi}}{R_s(1 + h_{21e})} + \frac{h_{11e}(R_1 + R_{oi})}{r_z R_s(1 + h_{21e})}}$$

Puterea maximă disipată a tranzistorului este :

$$P_{max} = (U_{in\ max} - U_{ies\ max}) I_{ies\ max}$$

Pentru stabilizatorul de tip paralel se pot scrie relațiile :

$$S'_0 = 1 + (R_1 + R_{oi}) \left[\frac{1}{R_s} + \frac{(1 + h_{21e})}{r_z + h_{11e}} \right]$$

$$R_{ies} = \frac{R_{oi} + R_1}{1 + \frac{R_{oi} + R_1}{r_z + \frac{h_{11e} R_z}{h_{11e} + R_z} \left(1 + \frac{R_z}{R_z + h_{11e}} h_{21e} \right)}}$$

Pentru $R_z \gg h_{11e}$, relația devine :

$$R_{ies} = \frac{R_{oi} + R_1}{1 + \frac{R_{oi} + R_1}{r_z + h_{11e}} (1 + h_{21e})}$$

Figura 2.128 prezintă un stabilizator de tip serie cu amplificator de eroare, în care abaterile tensiunii de ieșire față de tensiunea de referință se amplifică și se folosesc la comanda tranzistorului serie.

Pentru acest tip de stabilizator sunt valabile următoarele relații aproximative :

$$\frac{1}{S'_0} = \frac{1}{1 + \frac{h_{21e2} R_1}{(1 + h_{21e2}) r_z + h_{11e2}}}$$

$$R_{ies} = \frac{r_z (R_1 + h_{21e2} R_{oi})}{h_{21e2} (R_1 + r_z + R_{oi})}$$

La acest tip de stabilizator trebuie ținut seama de următoarele :

— curentul de bază al tranzistorului regulator TR_1 trebuie să fie relativ mic față de curentul de colector al tranzistorului amplificator de eroare T_2 .

— Tranzistorul regulator trebuie să aibă amplificare mare.

— Variația tensiunii pe diode stabilizatoare și a rezistenței sale dinamice se poate reduce prin polarizarea diodei stabilizatoare prin rezistență R_z (punctat în figura 2.128).

CAPITOLUL III

PROPAGAREA UNDELOR ELECTROMAGNETICE

3.1. BAZELE PROPAGĂRII

O undă electromagnetică este formată din două cîmpuri, un cîmp electric de intensitate E [V/m] și un cîmp magnetic de intensitate H [A/m]. Aceste cîmpuri sunt perpendicularare reciproc, iar planul determinat este perpendicular pe direcția de propagare a undelor. **Energia** conținută de fiecare cîmp este aceeași și este dată de :

$$\frac{1}{2} \epsilon \epsilon_0 E^2 = \frac{1}{2} \mu \mu_0 H^2 \quad [W/m^2]$$

unde

$$\epsilon_0 = \frac{10^{-9}}{36\pi} \quad \text{și} \quad \mu_0 = 4\pi \cdot 10^{-7}$$

Pentru aer ϵ , permitivitatea relativă și μ , permeabilitatea relativă sunt unitare.

În acest caz rezultă : $\frac{E}{H} = 120\pi \approx 377 \Omega$ această valoare este cunoscută ca **impedanță caracteristică a aerului**. **Densitatea de putere**, conținută în fiecare metru pătrat al frontului de undă, este :

$$\frac{E^2}{120\pi} \quad \text{sau} \quad 120\pi H^2 \quad [W/m^2]$$

Nomograma din fig. 3.1 indică **relația dintre intensitatea cîmpului și densitatea de putere**.

Dacă o putere de $P(W)$ este aplicată unui radiator izotrop, intensitatea cîmpului electric rezultat la distanță d va fi :

$$E = \frac{\sqrt{30P}}{d} = \frac{5,48\sqrt{P}}{d} \quad [V/m]$$

Dacă radiatorul izotrop este înlocuit cu un dipol $\lambda/2$ atunci intensitatea cîmpului în orice punct din direcția radiației maxime este dată de :

$$E = \frac{7,014\sqrt{P}}{d} \quad [V/m]$$

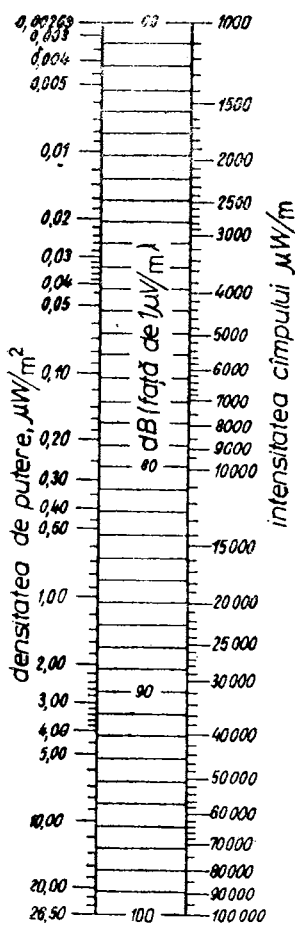


Fig. 3.1

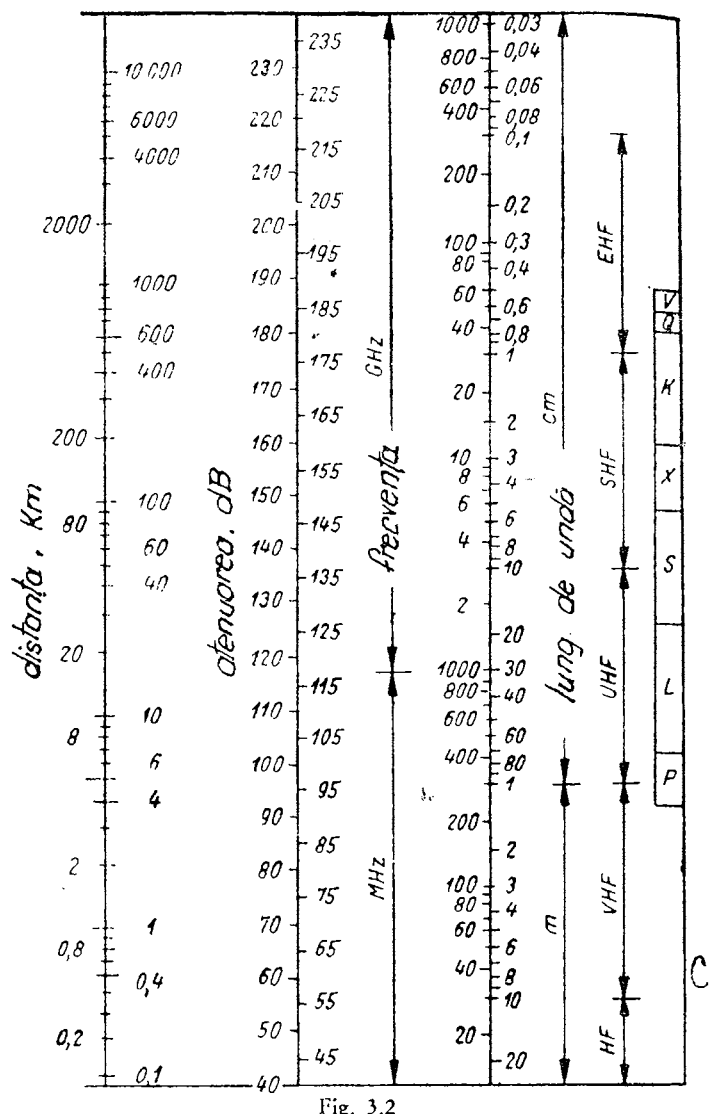


Fig. 3.2

În practică, foarte des, puterea P se exprimă în kW , distanța d , în km și intensitatea cîmpului în V/m ; în acest caz expresia devine:

$$E = \frac{2,218 \cdot 10^5 \sqrt{P}}{d}$$

sau

$$E = 106,9 + 10\log P - 20\log d \text{ în dB raportată la } 1 \mu V/m$$

Puterea efectivă radiată este definită ca puterea care trebuie radiată de la antena de referință în aşa fel încât să producă o intensitate dată acimpului într-un punct dat în direcția radiației maxime. Ca antenă de referință se folosește de obicei dipolul $\lambda/2$. Dacă se folosește orice alt tip de antenă în locul antenei de referință avem o **amplificare a puterii G**, definită în felul următor :

$$G = \frac{\text{puterea furnizată de antena de referință}}{\text{puterea furnizată de antena respectivă}}$$

unde puterile în amândouă cazuri provoacă aceeași intensitate a cîmpului într-un punct dat. Amplificarea se menționează de obicei pentru direcția radiației maxime a antenei aşa că atît amplificarea G cît și puterea efectivă radiată se schimbă cu direcția.

Tabelul 3.1 conține **principalele legături de telecomunicații punct-punct** în banda 70 MHz—20 GHz. Legăturile fiind de bandă largă (100 KHz—20 MHz).

Nomograma propagării în aer liber (fig. 3.2) face legătura între emițător-receptor, lungimea de undă și atenuarea în aer liber. Aceeași nomogramă poate fi utilizată și la conversia frecvență—lungime de undă.

Exemplu : Un semnal cu frecvență de 200 MHz pe o distanță de 180 km suferă o atenuare de 125 dB. Dacă distanța este de 360 km, cu un sistem care are amplificarea de 130 dB, se poate lucra pînă la o frecvență maximă de 180 MHz. Pentru o amplificare globală de 125 dB și o frecvență de lucru de 500 MHz, distanța maximă admisibilă între emițător și receptor poate fi de 72 km.

Nomograma din fig. 3.3 se utilizează pentru **calculul nivelului de semnal la intrarea unui receptor**, fiind realizată pe baza relației care exprimă legătura între intensitatea cîmpului la antena de recepție și tensiunea de intrare a receptorului. La executarea nomogramei s-a presupus o antenă izotropă și o linie de alimentare fără pierderi. Fiind cunoscute intensitatea cîmpului la locul receptiei exprimată în $\mu V/m$, cît și frecvența exprimată în MHz, se poate determina nivelul semnalului la intrarea receptorului U , exprimat în μV (s-a considerat impedanța de intrare de 50 ohmi). Pentru aflarea nivelului de semnal al antenelor de recepție, mai întîi determinăm valorile corespunzătoare unei antene izotrope și apoi cu relația :

$$G = \log \frac{U'}{U_r} \text{ calculăm tensiunea căutată. În relație } G \text{ este cîstigul antenei}$$

față de antena izotropă, U' tensiunea căutată, U_r tensiunea de intrare în cazul unei antene izotrope. Cunoscînd E , f și $R \neq 50$ ohmi, determinăm în primul pas U_r pentru $R=50$ ohmi, iar în al doilea pas U_r pentru valoarea reală a lui R diferită de 50 ohmi.

Nomograma din fig. 3.4 ne furnizează tensiunea de intrare (exprimată în μV) în cazul unei puteri de emisie (exprimată în W) și a unor pierderi de propagare (exprimate în dB) cunoscute (valorile tensiunii se referă la o valoare a impedanței de intrare de 50 ohmi). Din nomogramă putem obține pierderile de propagare maxim admisibile în condiții de emisie și de recepție date, cît și puterea de emisie necesară atunci cînd se cunosc pierderile de propagare și tensiunea de intrare a receptorului.

TABELUL 3.1

Tipuri de propagări

Tipul propagării	Distanța	Puterea și diametrul antenei	Căracteristici
Propagare de vizibilitate directă (LOS)	0 ... 56 km în funcție de înălțimea antenei	0,1 ... 10 W 0,6 ... 3 m	Este un sistem de bandă largă, ieftin, de bună calitate, elimină legăturile costisitoare prin cablu.
Propagare LOS Telecomunicații spațiale	Poate să realizeze legătura până la o distanță maximă echivalentă cu jumătate din circumferința Pământului, în funcție de poziția satelitului în jurul Pământului și în funcție de unghiul de elevație θ	1 ... 15 Kw 9 ... 25,5 m	Trei sateliți sincroni activi (pe orbite cu înălțimea de 35 400 km) pot să asigure telecomunicațiile în jurul Pământului. Mai mulți sateliți care se mișcă în jurul Pământului (numărul lor depinde de distanța pe care vrem să o acoperim și de înălțimea orbitelor) prin intermediul stațiilor terestre realizează acesta lucru.
Propagare prin difracție (suprafață plană)	50 ... 110 km în funcție de înălțimea mijlocului antenei și a factorului de difracție	0,1 ... 100 W 1,8 ... 8,5 m	Propagarea prin difracție este o modalitate specială a propagării undelor decimetrice și se utilizează în cazuri rare cind suprafața accidentată împiedică utilizarea legăturii de vizibilitate directă, dar în ciuda denivelărilor de suprafață face posibilă atingerea unei distanțe eficace mai mari. Calculele în legătură cu propagarea în banda de difracție trebuie efectuate cu mare precizie deoarece aceste rezultate sunt necesare în pronosticarea propagării troposferice.
Propagare prin difracție (muchiie de curățit)	50 ... 200 km în funcție de înălțimea antenei, de indicație de reflecție și de cîstigul antenei (considerind și obstacolele de teren)	0,1 ... 100 W 1,8 ... 8,5 m	
Propagare prin difracție (suprafață accidentată)	50 ... 200 km în funcție de înălțimea antenei, de indicație de reflecție și de atenuarea terenului (trebuie să luăm în considerație și efectul obstacolelor terenului).	0,1 ... 100 W 1,8 ... 8,5 m	
Propagare troposferică	110 ... 950 km în funcție de mai mulți factori.	1 ... 100 Kw 3 ... 36 m	În practică se utilizează această legătură sigură de bandă largă numai atunci cind terenul împiedică utilizarea propagării de vizibilitate directă sau propagării prin difracție.

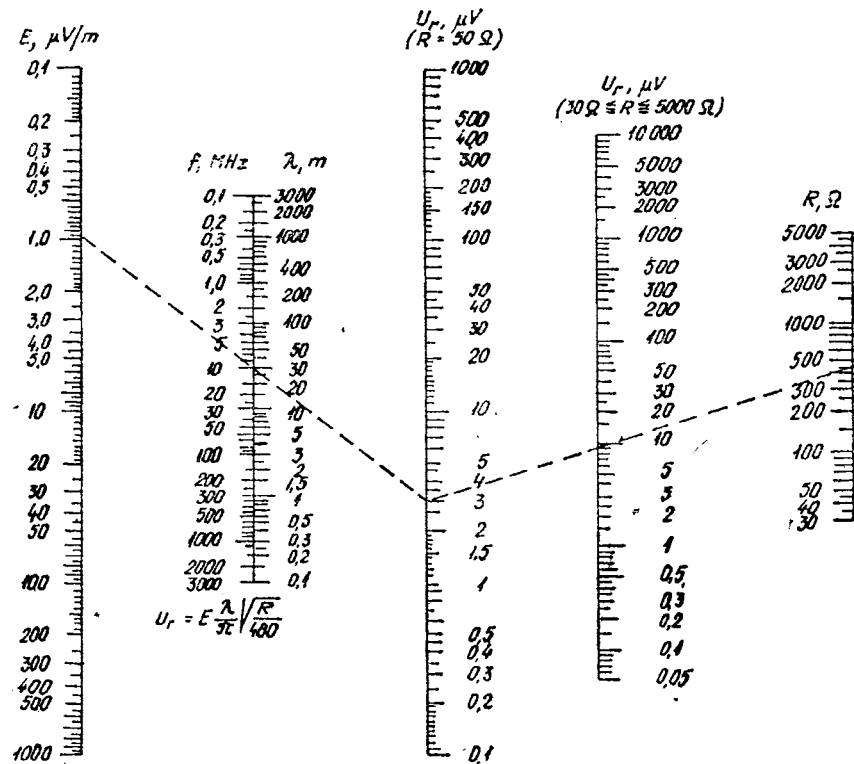


Fig. 3.3

Valorile date în μV (pt. 50 ohmi) pe baza scalei din stînga pot fi transformate în dBm, iar pe scara din mijloc putem citi relația dintre W și dBm.

Exemplu : a) În cazul unei puteri de emisie de 5 W și pierderi de propagare de 90 dB, tensiunea de intrare este de 500 μV .

b) Ca să obținem o tensiune de intrare de minim 50 μV în receptor la o putere de emisie de 5 W, trebuie ca pierderile de propagare să nu depășească 110 dB.

Obs. : Scările dBm și dB sunt liniare, iar cele de W și μV sunt logaritmice.

3.2. LINII DE TRANSMISIE

— Linia terminată pe o impedanță de sarcină egală cu impedanța caracteristică a liniei ($Z_s = Z_0$). În acest caz, linia lucrează în regim de unde progresive indiferent de lungimea ei, pe ea neapărind reflexii. Din punct de vedere al transmisiei, acesta este regimul optim, toată energia de la intrare transferându-se pe sarcină.

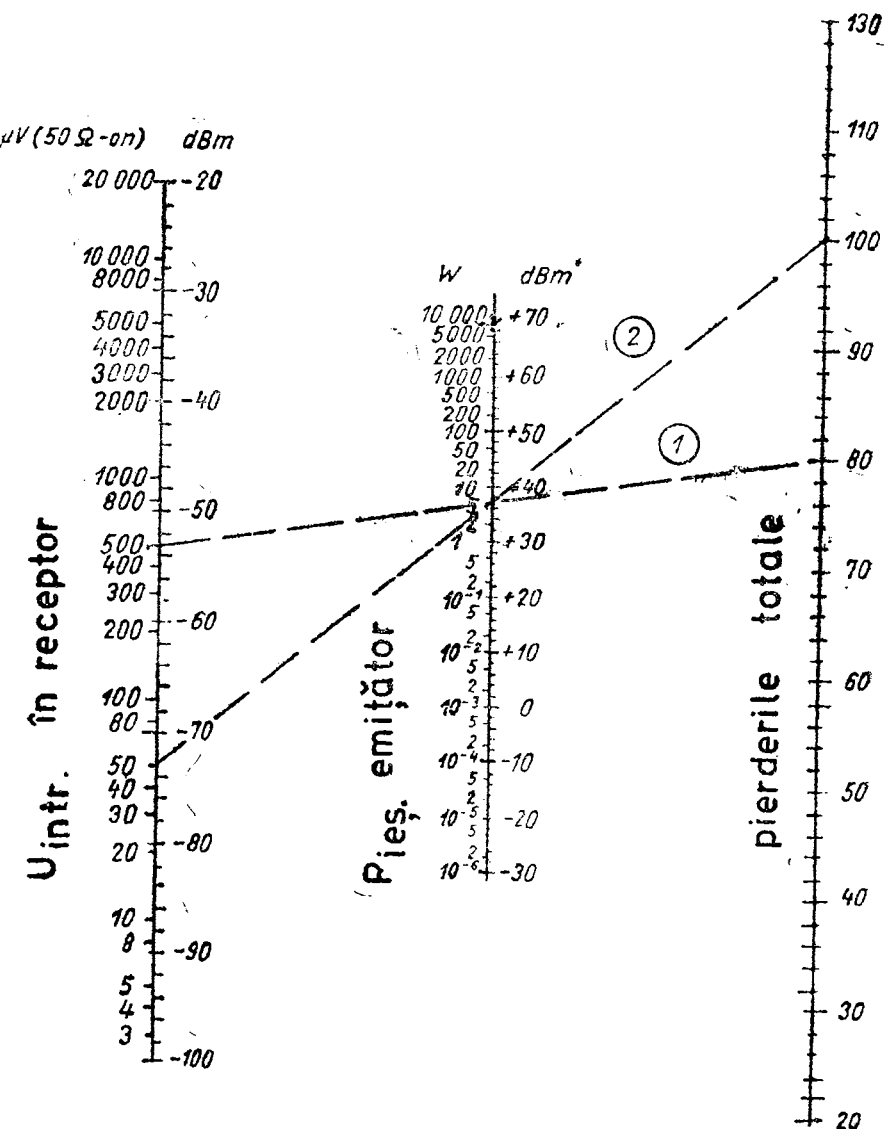


Fig. 3.4

Impedanța de intrare este egală cu impedanța caracteristică, indiferent de lungimea liniei.

— Linia terminată pe **impedanță infinită** (linia în gol). Lucrează în regim de unde staționare, pe impedanță de sarcină $Z_s = \infty$ apărînd o reflexie totală.

Comportarea unei linii electrice în gol este funcție de lungimea ei. În figura 3.5 este indicată comportarea liniei în gol și echivalența cu elementele clasice de circuit.

Pentru lungimi $l < \frac{\lambda}{4}$ linia are caracter capacativ, pentru $l = \frac{\lambda}{4}$ impedanța de intrare a liniei tinde spre zero, la fel ca la circuitul rezonant serie la acord, pentru $\frac{\lambda}{4} < l < \frac{\lambda}{2}$ linia are caracter inductiv, pentru $l = \frac{\lambda}{2}$, impedanța de intrare a liniei tinde spre infinit asemenea circuitului rezonant derivătie la rezonanță. Această comportare este de bază, însăci comportarea liniei este periodică cu $\frac{\lambda}{2}$. Adăugînd multiplii de $\frac{\lambda}{2}$ comportarea liniei nu se modifică. Astfel, impedanța de intrare a unei linii în gol de lungime $\lambda/4$, $\frac{3}{4}\lambda$, $\frac{5}{4}\lambda$ sau în general $n\frac{\lambda}{2} + \frac{\lambda}{4}$ este aceeași, foarte mică, teoretic zero (circuit serie acordat).

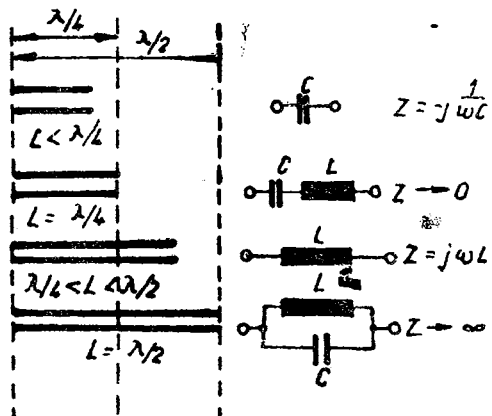


Fig. 3.5

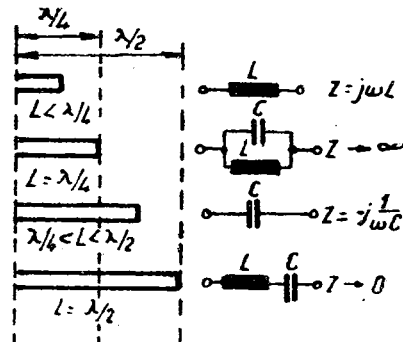


Fig. 3.6

— Linia electrică terminată pe o impedanță de sarcină zero (linia în scurtcircuit). În acest caz, linia lucrează în regim de unde staționare datorită reflexiilor totale. Comportarea sa este periodică cu $\lambda/2$, iar echivalența liniei de diferite mărimi cu elementele clasice de circuit este dată în fig. 3.6.

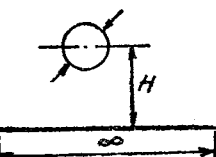
În tabelul 3.2 se indică formule de calcul pentru impedanța caracteristică a unor linii de transmisie în următoarele situații:

- un singur fir cu diametrul D la înălțimea H deasupra unui plan de masă infinit;
- două fire paralele de diametre D , aflate la distanță S unul de celălalt;

TABELUL 3.2

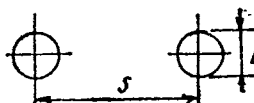
Calculul impedanței caracteristice

a



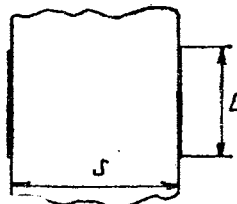
$$Z_0 = 60 \pi c \cos \frac{2H}{D}$$

b



$$Z_0 = 120 \pi c \cos \frac{S}{D}$$

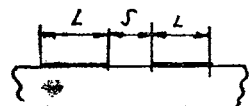
c



$$Z_0 = 120 \pi \frac{S}{L} \text{ pentru } S \ll L$$

$$Z_0 = 120 \ln \frac{4S}{L} \text{ pentru } S \gg L$$

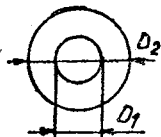
d



$$Z_0 = \frac{60 \pi^2}{\ln 4(1+2 \frac{L}{S})} \text{ pentru } S \ll L$$

$$Z_0 = 120 \ln 4(2 + \frac{L}{S}) \text{ pentru } S \gg L$$

e



$$Z_0 = 60 \ln \frac{D_2}{D_1}$$

c) două trasee paralele de lățime L , separate printr-un dielectric de grosime S (cazul traseelor paralele situate pe două fețe ale unui circuit imprimat);

d) două trasee paralele de lățime L , situate la distanța S , pe aceeași față a unui circuit imprimat;

e) cablu coaxial cu diametrul cablului interior D_1 și diametrul cablului exterior D_2 .

Tabelul 3.3 conține sintetic ecuațiile liniilor de transmisie.

Tabelul 3.4 conține o serie de relații pentru liniile de transmisie cu pierderi mici.

Tabelul 3.5 conține corespondența dintre pierderile prin reflexie (exprimate în dB) și raportul de unde staționare.

TABELUL 3.3.

Ecuațiile liniilor de transmisie

Parametrul	Expresie generală	Expresie pentru linia ideală
Constanta de propagare	$\gamma = \alpha + j\beta = \sqrt{(R + j\omega L)(G + j\omega C)}$	$\gamma = j\omega \sqrt{LC}$
Constanta de fază β	Partea imaginară a lui γ	$\beta = \omega \sqrt{LC} = \frac{2\pi}{\lambda}$
Constanta de atenuare α	Partea reală a lui γ	0
Impedanța caracteristică	$Z_0 = \sqrt{\frac{R + j\omega L}{G + j\omega C}}$	$Z_0 = \sqrt{\frac{L}{C}}$
Impedanța de intrare	$Z_1 = Z_0 \frac{Z_r + Z_0 \operatorname{tgh} \gamma}{Z_0 + Z_r \operatorname{tgh} \gamma}$	$Z_1 = Z_0 \frac{Z_r + jZ_0 \operatorname{tg} \beta}{Z_0 + jZ_r \operatorname{tg} \beta}$
Impedanța liniei scurt-circuite $Z_r = 0$	$Z_{s.c.} = Z_0 \operatorname{tgh} \gamma$	$Z_{s.c.} = jZ_0 \operatorname{tg} \beta$
Impedanța liniei deschise $Z_r = \infty$	$Z_{0.c.} = Z_0 \operatorname{ctg} \gamma$	$Z_{0.c.} = -jZ_0 \operatorname{ctg} \beta$
Transformarea de impedanță cu ajutorul liniei de lungime egală cu un număr impar de $\lambda/4$	$Z = Z_0 \frac{Z_r + Z_0 \operatorname{ctg} h\alpha}{Z_0 + Z_r \operatorname{ctg} h\alpha}$	$Z = \frac{Z_0^2}{Z_r}$
Transformarea de impedanță cu ajutorul liniei de lungime egală cu un număr par de $\lambda/2$	$Z = Z_0 \frac{Z_r + Z_0 \operatorname{tg} h\alpha}{Z_0 + Z_r \operatorname{tg} h\alpha}$	$Z = Z_r$
Coeficient de reflexie a tensiunii	$\rho = \frac{Z_r - Z_0}{Z_r + Z_0} = \frac{\text{Semnal reflectat}}{\text{Semnal incident}}$	$\rho = \frac{Z_r - Z_0}{Z_r + Z_0}$

TABELUL 3.4

Relațiile pentru liniile de transmisie cu pierderi

Ecuăția	Explicații
$r = \frac{1+ \rho }{1- \rho } = \frac{1+\sqrt{\frac{P_r}{P_i}}}{1-\sqrt{\frac{P_r}{P_i}}}$	$r = \text{SWR (raportul de unde stationare)}$ $ \rho = \text{mărimea coeficientului de reflexie}$ $P_r = \text{puterea reflectată}$ $P_i = \text{puterea incidentă.}$
$\rho = \frac{R-Z_0}{R+Z_0}$ $r = \frac{R}{Z_0}$ $r = \frac{Z_0}{R}$	$\rho = \text{coeficientul de reflexie (real) în punctul în care impedanța liniei este reală (R)}$ $R > Z_0$ (la tensiune maximă) $R < Z_0$ (la tensiune minimă)
$\frac{P_r}{P_i} = \rho ^2 = \left(\frac{r-1}{r+1}\right)^2$ $\frac{P_t}{P_i} = 1 - \rho ^2 = \frac{4r}{(r+1)^2}$	$P_r = \text{puterea reflectată}$ $P_i = \text{puterea incidentă}$ $P_t = \text{puterea transmisă}$
$\alpha_m = \frac{1+\rho^2}{1-\rho^2} = \frac{r^2+1}{2r}$	$\alpha_m = \text{constanța de atenuare cind } r=1, \text{ linia adaptată.}$ $\alpha_r = \text{constanța de atenuare ținând seama de creșterea pierderilor ohmice provocate de undele staționare}$
$r_{max} = r_1 r_2$ $r_{min} = \frac{r_2}{r_1}; r_2 > r_1$	$r_{max} = \text{maximum SWR cind } r_1 \text{ și } r_2 \text{ se combină cel mai prost în fază}$ $r_{min} = \text{minimum SWR cind } r_1 \text{ și } r_2 \text{ se combină cel mai bine în fază}$
$ \rho = \frac{ X }{\sqrt{X^2+4}}$ $r = \frac{\sqrt{X^2+4}+ X }{\sqrt{X^2+4}- X }$ $ X = \frac{r-1}{\sqrt{r}}$	Relații pentru o reactanță normalizată X în serie cu o rezistență Z_0 .
$ \rho = \frac{ B }{\sqrt{B^2+4}}$ $r = \frac{\sqrt{B^2+4}+ B }{\sqrt{B^2+4}- B }$ $ B = \frac{r-1}{\sqrt{r}}$	Relații pentru o susceptanță normalizată B în paralel cu o admitanță Y_0 .

TABELUL 3.3

Pierderile prin reflexie și raporturile de unde staționare corespunzătoare

Pierdere prin reflexie (dB)	Raportul de unde stațio- nare (SWR)	0		1		0		1	
		0		1		0		1	
		0	1	0	1	0	1	0	1
0.0	∞	4.7	3.786	9.8	1.957	15.0	1.432		
0.1	174.4	4.8	3.710	9.9	1.941	15.1	1.426		
0.2	88.72	4.9	3.639	10.0	1.925	15.2	1.421		
0.3	58.00	5.0	3.569	10.1	1.910	15.3	1.515		
0.4	43.44	5.1	3.503	10.2	1.894	15.4	1.409		
0.5	34.78	5.2	3.440	10.3	1.880	15.5	1.404		
0.6	28.98	5.3	3.379	10.4	1.865	15.6	1.398		
0.7	24.84	5.4	3.320	10.5	1.851	15.7	1.393		
0.8	21.73	5.5	3.263	10.6	1.837	15.8	1.387		
0.9	19.32	5.6	3.209	10.7	1.824	15.9	1.382		
1.0	17.40	5.7	3.156	10.8	1.810	16.0	1.377		
1.1	15.81	5.8	3.106	10.9	1.798	16.1	1.372		
1.2	14.50	5.9	3.057	11.0	1.785	16.2	1.366		
1.3	13.39	6.0	3.010	11.1	1.772	16.3	1.362		
1.4	12.43	6.1	2.964	11.2	1.760	15.4	1.357		
1.5	11.61	6.2	2.920	11.3	1.748	16.5	1.352		
1.6	10.89	6.3	2.877	11.4	1.737	16.6	1.347		
1.7	10.25	6.4	2.836	11.5	1.725	16.7	1.342		
1.8	9.684	6.5	2.796	11.6	1.714	16.8	1.338		
1.9	9.178	6.6	2.757	11.7	1.703	16.9	1.333		
2.0	8.723	6.7	2.720	11.8	1.692	17.0	1.326		
2.1	8.311	6.8	2.684	11.9	1.681	17.1	1.324		
2.2	7.936	6.9	2.649	12.0	1.671	17.2	1.320		
2.3	7.598	7.0	2.615	12.1	1.661	17.3	1.316		
2.4	7.285	7.1	2.582	12.2	1.651	17.4	1.312		
2.5	6.997	7.2	2.549	12.3	1.641	17.5	1.308		
2.6	6.731	7.3	2.518	12.4	1.631	17.6	1.304		
2.7	6.485	7.4	2.488	12.5	1.622	17.7	1.305		
2.8	6.257	7.5	2.458	12.6	1.612	17.8	1.296		
2.9	6.045	7.6	2.430	12.7	1.603	17.9	1.292		
3.0	5.847	7.7	2.402	12.8	1.594	18.0	1.288		
3.1	5.662	7.8	2.375	12.9	1.586	18.1	1.284		
3.2	5.489	8.3	2.250	13.4	1.544	18.6	1.266		
3.3	5.327	8.4	2.227	13.5	1.536	18.7	1.263		
3.4	5.175	8.5	2.204	13.6	1.528	18.8	1.259		
3.5	5.030	8.6	2.182	13.7	1.520	18.9	1.256		
3.6	4.894	8.7	2.161	13.8	1.513	19.0	1.253		
3.7	4.765	8.8	2.140	13.9	1.506	19.1	1.249		
3.8	4.645	8.9	2.120	14.0	1.498	19.2	1.246		
3.9	4.529	9.0	2.100	14.1	1.491	19.3	1.243		
4.0	4.420	9.1	2.081	14.2	1.484	19.4	1.240		
4.1	4.315	9.2	2.061	14.3	1.478	19.5	1.237		
4.2	4.216	9.3	2.043	14.4	1.471	19.6	1.234		
4.3	4.122	9.4	2.025	14.5	1.464	19.7	1.231		
4.4	4.033	9.5	2.008	14.6	1.458	19.8	1.228		
4.5	3.947	9.6	1.990	14.8	1.445	19.9	1.225		
4.6	3.864	9.7	1.973	14.9	1.439	20.0	1.222		

TABELUL 3.5 (continuare)

0	1	0	1	0	1	0	1
20.5	1.208	28.0	1.083	35.5	1.034	46.0	1.010
21.0	1.196	28.5	1.078	36.0	1.032	47.0	1.009
21.5	1.184	29.0	1.074	36.5	1.030	48.0	1.008
22.0	1.172	29.5	1.069	37.0	1.029	49.0	1.007
22.5	1.162	30.0	1.065	37.5	1.027	50.0	1.006
23.0	1.152	30.5	1.061	38.0	1.026	51.0	1.0056
23.5	1.143	31.0	1.058	38.5	1.024	52.0	1.0050
24.0	1.135	31.5	1.055	39.0	1.023	53.0	1.0044
24.5	1.127	32.0	1.051	39.5	1.021	54.0	1.0040
25.0	1.119	32.5	1.048	40.0	1.020	55.0	1.0036
25.5	1.112	33.0	1.046	41.0	1.018	56.0	1.0032
26.0	1.105	33.5	1.043	42.0	1.016	57.0	1.0028
26.5	1.099	34.0	1.041	43.0	1.014	58.0	1.0026
27.0	1.094	34.5	1.038	44.0	1.013	59.0	1.0022
27.5	1.088	35.0	1.036	45.0	1.011	60.0	1.0020

TABELUL 3.6

Clasificarea undelor electromagnetice

Lungimea de undă în cm		Frecvența Hz	Denumirea undelor	Denumirea gamelor sau a gamelor de frecvență
Alte unități metrice				
peste $3 \cdot 10^{11}$ $3 \cdot 10^{11} \dots 3 \cdot 10^9$ $6 \cdot 10^8$ $1,5 \cdot 10^9 \dots 1,5 \cdot 10^6$	peste 3 km 3. 10^6 ... 1. $5 \cdot 10^4$ km 6. 10^8 km 1, $5 \cdot 10^4$... 15 km	sub 10^{-1} $10^{-1} \dots 20$ 50 20 ... 20 000	unde de joasă frecvență	frecvențe infraroșe frecvențe joase frecvențe industriale frecvențe acustice
peste $3 \cdot 10^5$ $3 \cdot 10^6 \dots 2 \cdot 10^4$ $5 \cdot 10^3 \dots 10^3$ $10^3 \dots 10^2$ $100 \dots 10$	peste 3 km 3 km ... 200 m 30 ... 10 m 10 ... 1 m 1 ... 0,1 m	sub 10^6 (1 ... 15). 10^5 (6 ... 30). 10^6 (3 ... 30). 10^7 (3 ... 30). 10^8	unde radio	unde lungi (UL) unde medii (UM) unde intermediiare unde scurte (US) unde metriche (UUS-FIF) unde decimetrice (UUS-UIF)
$10 \dots 1$ $1 \dots 0,1$ $10^{-1} \dots 10^{-2}$	$10 \dots 1$ cm $1 \dots 0,1$ mm $1 \dots 0,1$ mm	(3 ... 30). 10^9 (3 ... 30). 10^{10} (3 ... 30). 10^{11}	unde ultraradiofonice	unde centimetrice (SIF) unde milimetrice (EIF) unde de trecere
$10^{-2} \dots 10^{-3}$ $10^{-3} \dots 0,76 \cdot 10^{-4}$ $10^{-4} \dots .$	$100 \dots 10$ μm $10 \dots 0,76$ μm	(3 ... 400). 10^{12}	radiatii infraroșii	unde decamicronice unde micronice
$(0,76 \dots 0,62).10^{-4}$ $(0,62 \dots 0,59).10^{-4}$ $(0,59 \dots 0,56).10^{-4}$ $(0,56 \dots 0,50).10^{-4}$ $(0,50 \dots 0,48).10^{-4}$ $(0,48 \dots 0,45).10^{-4}$ $(0,45 \dots 0,38).10^{-4}$	$7\ 600 \dots 6\ 200$ Å $6\ 200 \dots 5\ 900$ Å $5\ 900 \dots 5\ 600$ Å $5\ 600 \dots 5\ 000$ Å $5\ 000 \dots 4\ 800$ Å $4\ 800 \dots 4\ 500$ Å $4\ 500 \dots 3\ 800$ Å	$(4 \dots 8) \cdot 10^{14}$	radiatii luminoase	radiatii roșii radiatii portocalii radiatii galbene radiatii verzi radiatii albastru-deschis radiatii violete
$(0,38 \dots 0,05).10^{-4}$ $(500 \dots 5).10^{-7}$	$3\ 800 \dots 500$ Å $500 \dots 50$ Å	$(8 \dots 600).10^{14}$	radiatii ultraviolete	ultravioletul apropiat ultravioletul îndepărtat
$(50 \dots 1).10^{-8}$ $(10 \dots 4).10^{-9}$ $(40 \dots 4).10^{-10}$	$50 \dots 1$ Å $1 \dots 0,4$ Å $0,4 \dots 0,04$ Å	$6 \cdot 10^{16} \dots 7,5 \cdot 10^{19}$	radiatii X	radiatii limite radiatii moi radiatii dure
$(4 \dots 1).10^{-10}$ $(10 \dots 1).10^{-11}$	$40 \dots 10$ X $10 \dots 1$ X	$7,5 \cdot 10^{19} \dots 3 \cdot 10^{21}$	radiatii X	radiatii X
< 1 pm			radiatii Y	radiatii Y

TABELUL 3.7

Game de frecvență pentru radiodifuziune

Unde lungi (UL) : 150—285 kHz; 2 000—1 000 m;
de la 01.02.86; 148,5—283,5 kHz

Unde medii (UM) : 525—1 605 kHz; 571—187 m;
de la 01.01.82; 526,5—1 606,5 kHz

Unde scurte (US) : 2—30 MHz; 150—10 m.

Unde ultrascurte (UUS) ;
OIRT 65—73 MHz; 4,61—4,11 m
CCIR 88—104 MHz sau 88—108 MHz.

Stațiile de radiodifuziune de unde scurte sunt grupate în următoarele benzi :
banda de 49 m : 5,95—6,2 MHz;
banda de 41 m : 7,1—7,3 MHz;
banda de 31 m : 9,5—9,9 MHz;
banda de 25 m : 11,65—12,05 MHz;
banda de 19 m : 15,1—15,6 MHz;
banda de 16 m : 17,75—17,9 MHz;
banda de 11 m : 25,6—26 MHz.

3.3. ANTENE

Nomograma din figura 3.7 dă posibilitatea determinării **înălțimii eficace (sau efective) de recepție a unei antene cadru**.

Înălțimea eficace a unei antene h_{ef} este parametrul principal care caracterizează proprietățile sale de recepție și de radiație.

Înmulțind valoarea înălțimii eficace a unei antene h_{ef} cu intensitatea cîmpului electric în punctul în care are loc recepția se obține tensiunea electromotoare a semnalului la intrarea radioreceptorului. Invers, cunoscînd sensibilitatea în tensiune la intrarea receptorului E_{in} și h_{ef} , se calculează ușor sensibilitatea în cîmp.

Înălțimea eficace a unci antene depinde de dimensiunile ei geometrice și configurația respectivă.

O posibilă clasificare a antenelor este următoarea :

- antene liniare,
- antene de apertura,
- antene de undă progresivă.

În tabelul 3.8. se prezintă principalele caracteristici ale cîtorva tipuri de antene. Pentru fiecare tip sunt indicate : denumirea antenei, relații dimensionale exprimate în funcție de lungimea de undă, schema într-un sistem de coordonate dat, impedanță în ohmi măsurată la frecvența de rezonanță f_r , banda de trecere la 3 dB exprimată în procente, cîstigul exprimat în dB față de antena izotropă și de dipolul $\lambda/2$, polarizarea pentru aranjamentul respectiv și caracteristicile de radiație referitoare la zonele Fraunhofer în cele trei planuri perpendiculare ale sistemului de coordonate. În tabel este cuprins și tipul de antenă izotropă, des folosit în practică drept referință la măsurarea caracteristicii de radiație și a cîstigului. Antenele cuprinse în tabel pot fi polarizate atît orizontal cît și vertical. Alimentarea

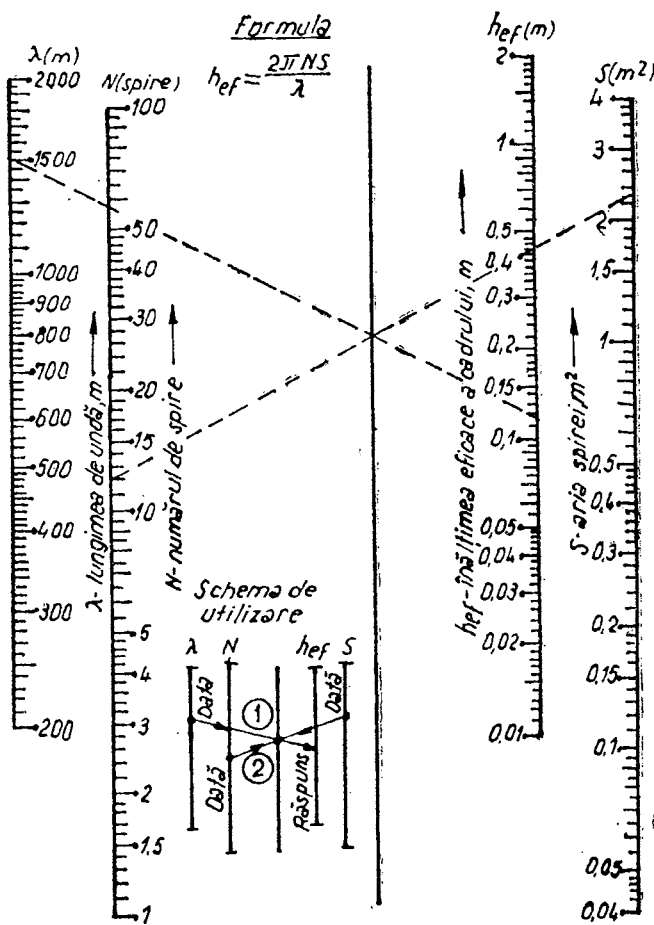


Fig. 3.7

antenelor poate fi simetrică, asimetrică cît și prin transformator simetric – asimetric.

În fig. 3.8. sunt prezentate caracteristici de radiație corespunzătoare tipurilor de antene din tabelul 3.8.

Cu nomograma din fig. 3.9. se poate efectua calculul răndamentului antenelor. Răndamentul de radiație este raportul dintre puterea radiată și puterea totală care ajunge la intrarea antenei. Puterea totală reprezintă suma dintre puterile de emisie și cele care se pierd prin disipație termică. Puterea care ajunge la intrarea antenei este diferența dintre puterea emisă și puterea reflectată datorită neadaptării antenei. Eficacitatea antenei este raportul dintre puterea radiată și puterea cedată de emițător în cazul adaptării, adică puterea de intrare.

TABELUL 3.8

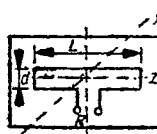
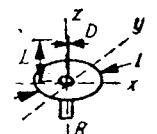
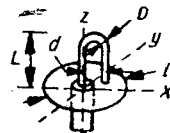
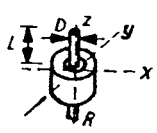
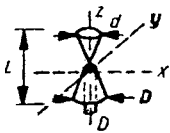
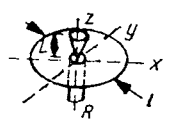
Tipuri de antene

Tipul	Schema	Impedanță la frecvența de rezonanță Ω	Banda de trecere de 3 dB %	Cfșig dB		Polarizarea	Caracteristica de radiație (vezi fig. 3.8)
				a) față de o antenă izotropă	b) față de dipolul $\lambda/2$		
1	2	3	4	5	6	7	8
Antenă izotropă		—	—	0	-2,14	—	A
Dipol scurt ($L < \lambda/2$)		mare	mică	1,74	-0,4	H	B
Dipol subtitire ($L = \lambda/2$, $L/D = 276$)		60	34	2,14	0	H	B
Dipol gros ($L = \lambda/2$, $L/D = 51$)		49	55	2,14	0	H	B
Dipol cilindric ($L = \lambda/2$, $L/D = 10$)		37	100	2,14	0	H	B

TABELUL 3.8 (continuare)

1	2	3	4	5	6	7	8
Dipol îndoit ($L = \lambda/4$, $L/d = 13$)		6 000	5	1,64	-0,5	H	B
Dipol îndoit ($L = \lambda/2$, $L/d = 25,5$)		300	45	2,14	0	H	B
Dipol cilindric ($L = \lambda$, $L/D = 9,6$)		150	130	3,64	1,5	H	B
Antenă conică dublă ($L = \lambda/2$)		72	100	2,14	0	H	B
Antenă conică dublă ($L = \lambda$)		350	200	2,14	0	H	B
Dipol încru- ciat ($L = \lambda/2$, $L/d = 25,5$)		150	50	-0,86	-3	H	C

TABELUL 3.8 (continuare)

I	2	3	4	5	6	7	8
Dipol înălțit pe o suprafață reflectantă ($L = \lambda/2$, $L/d = 2,5$, la distanță $\lambda/4$ deasupra suprafeței)		150	20	7,14	5	H	D
Dipol deasupra unui plan conductor de suprafață mică ($L = \lambda/4$, $L/D = 53$, $l = 2\lambda$)		28	40	2,14	0	V	E
Unipol înălțit deasupra unui plan conductor de suprafață mică ($L = \lambda/4$, $L/D = 53$, $l = 2\lambda$, $L/d = 13$)		150	45	2,14	0	V	E
Dipol coaxial ($L = \lambda/4$, $L/D = 40$)		50	16	2,14	0	V	E
Dipol coaxial dublu conic ($L = \lambda/2$, $d = \lambda/8$, $D = 3\lambda/8$)		72	200	2,14	0	V	E
Con cu disc ($L = \lambda/4$, $l = \lambda$)		50	300	2,14	0	V	E

TABELUL 3.8 (continuare)

1	2	3	4	5	6	7	8
Pilnie conică dublă ($L = 9\lambda/2$, $D = 14\lambda$)		20	25	14,14	12	V	E
Fantă decupată într-o suprafață mare ($L = \lambda/2$, $l/d = 29$)		350	70	2,14	0	H	F
Buclă verticală de undă întreagă ($D = \lambda/\pi$, $D/d = 36$)		45	13	3,14	1	H	B
Antenă eli-coidală deasupra unei plase cu lungimea 6λ , avind 6 spire cu $\lambda/4$		130	200	10,14	8	circulară	G
Antenă rombică ($L = 9\lambda$, $l = 9\lambda/2$)		600	100	16,74	14,5	H	H
Antenă parabolică cu alimentarea prin dipol înoint ($\lambda/2$, $D = 5\lambda/2$)		300	30	14,74	12,5	H	H
Antenă tip pilnie cu alimentare coaxială ($L = 3\lambda$, $l = 3\lambda$)		50	35	15,14	13	H	H

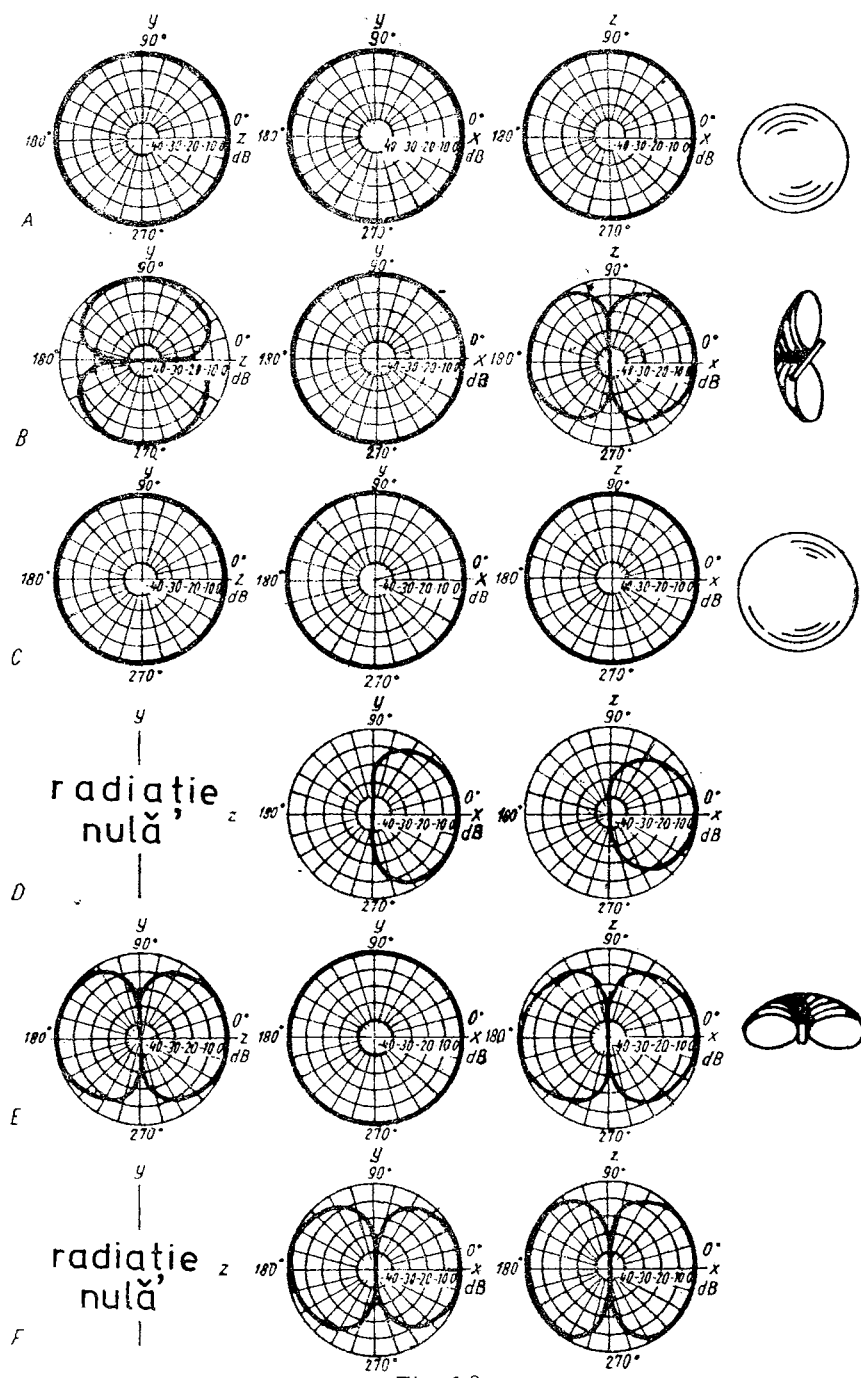


Fig. 3.8.

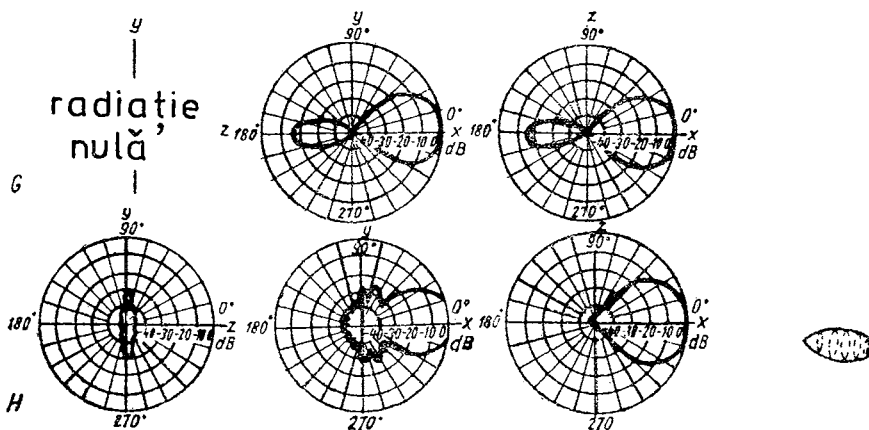


Fig. 3.8 (continuare)

$$\text{eficacitate} = \frac{9(\text{raport tens.}-\text{undă stăționară})}{(\text{raport tens.}-\text{undă stăționară} + 1)^2} \times \text{randament}$$

Exemplu : Eficacitatea unei antene cu randament 60% în cazul unui raport de tens.-undă stăționară 2,5 este 48%, față de antena perfect adaptată, care are eficacitatea de 100%.

Nomograma din fig. 3.10. exprimă relațiile dintre banda de trecere, sensibilitatea și factorul de zgromot al receptorului, având la bază relația referitoare la factorul de zgromot al receptorului :

$$F = \frac{(mU_0\sqrt{P_z/P_s})^2}{2R(4kT\Delta f)}, \text{ unde :}$$

F — factorul de zgromot,

m — indicele de modulație,

P_z — puterea zgromotului,

P_s — puterea semnalului,

k — constanta lui Boltzmann, $1,38 \times 10^{-23}$ joule/K,

R — impedanța antenei,

T — temperatura în grade K,

Δf — banda de trecere de audiofrecvență la 6 dB,

U_0 — tensiunea de ieșire a generatorului de semnal în μV .

La ridicarea nomogramei s-a considerat impedanța nominală a antenei de 52 ohmi, valoare aproximativă la temperatura de 300 K. Pentru determinarea factorului de zgromot al receptorului, unim cu o dreaptă punctele corespunzătoare sensibilității și benzii de trecere îa așa fel încât să intersecteze dreapta corespunzătoare factorului de zgromot.

Exemplu : În cazul unei sensibilități de $10 \mu V$ și a unei benzi de trecere de 6 kHz, valoarea factorului de zgromot este 100, adică 20 dB.

Nomograma din fig. 3.11 permite determinarea distanței active a legăturii de vizibilitate directă în banda de unde ultrascurte. Distanța

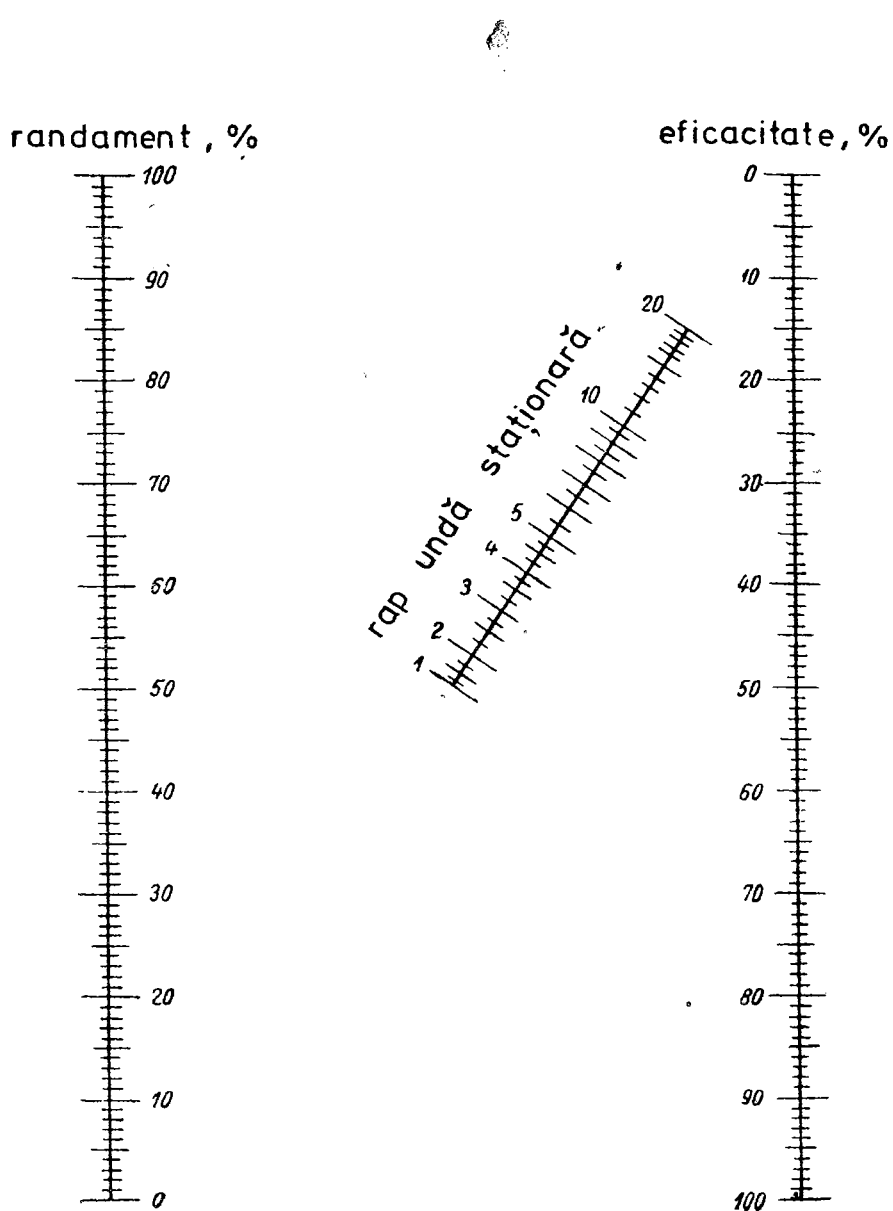


Fig. 3.9

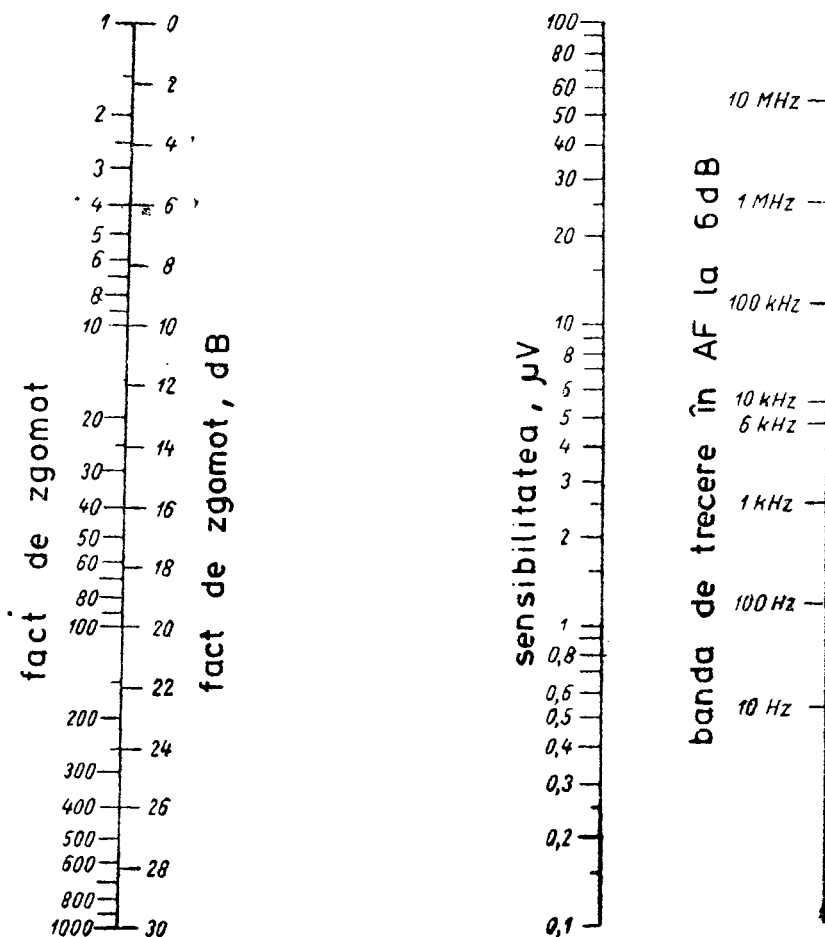


Fig. 3.10

teoretică maximă, care poate fi acoperită (radiată), este egală cu distanța orizontului optic sau geometric al antenei și poate fi calculată cu relația: $D = 3,59(\sqrt{H_e} + \sqrt{H_r})$, unde:

D — distanța dintre antena de emisie și antena de recepție, în km.

H_e și H_r — înălțimea efectivă față de nivelul pământului a antenelor de recepție, respectiv de emisie, în m. Din cauza difracției atmosferice distanța se mărește de $2/\sqrt{3}$ ori, astfel distanța de vizibilitate „radio” în cazul unei difracții normale rezultă dintr-o formulă similară cu precedenta, cu deosebirea că factorul 3,59 se înlocuiește cu 4,15.

Exemplu : Pentru o antenă de recepție de 9 m și una de emisie de 30 m, distanța de vizibilitate optică este 30,4 km, iar distanța de vizibilitate „radio” este 35,2 km.

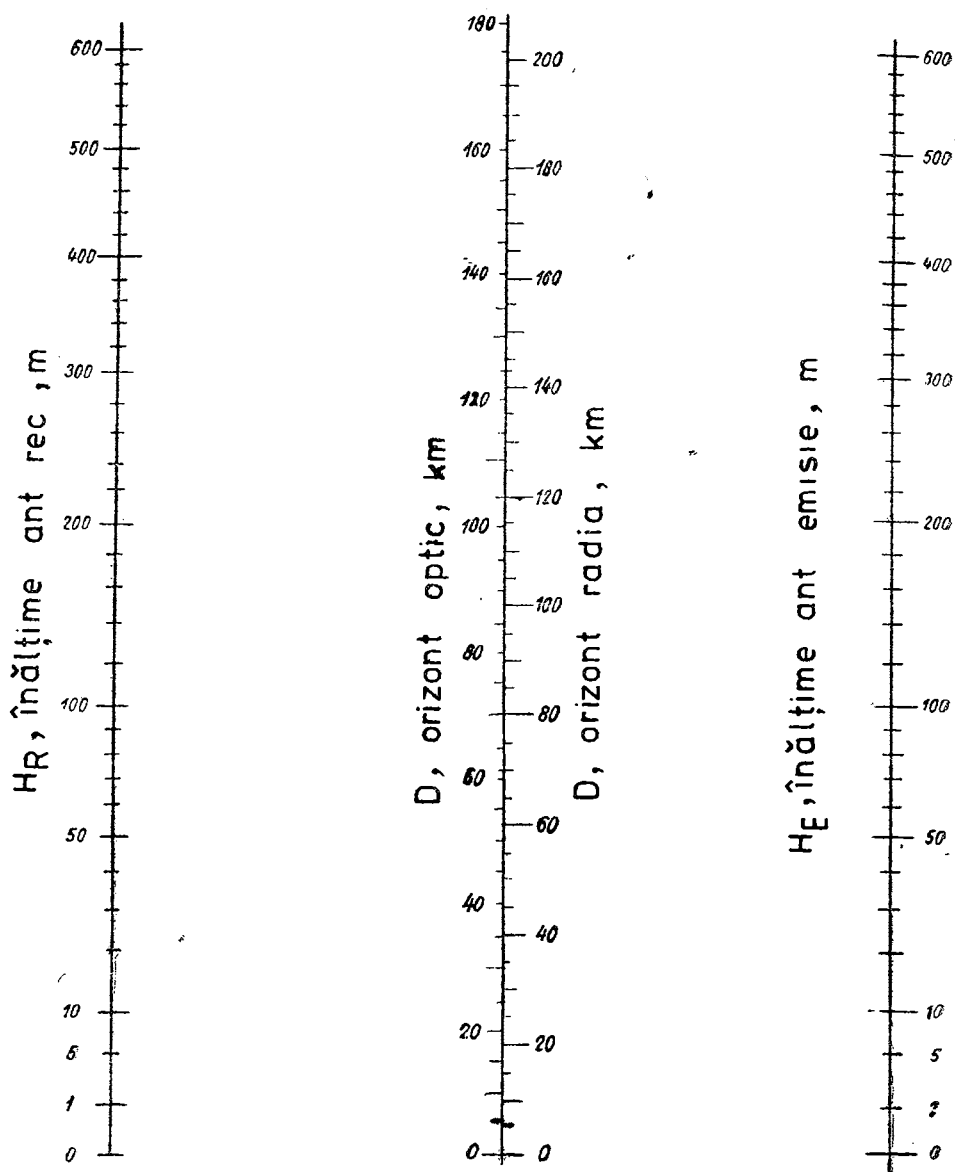


Fig. 3.11

3.3.1. Antene YAGI

Antenele Yagi cu canal de unde sunt bazate pe utilizarea dipolului în $\lambda/2$.

TABELUL 3.9

Dimensiunile dipolului închis în $\lambda/2$ și ale buclei de adaptare (fig. 3. 12)

Dimen- siunea mm	Canalul de televiziune											
	1	2	3	4	5	6	7	8	9	10	11	12
l	2 760	2 310	1 790	1 620	1 510	780	780	710	710	650	650	650
l_b	1 900	1 600	1 240	1 120	1 030	560	560	500	500	460	460	460

TABELUL 3.10

Dimensiunile constructive ale antenei Yagi cu trei elemente (R + V + D) (fig. 3.13)

Canal	l_R (mm)	l_V (mm)	l_D (mm)	a (mm)	b (mm)
1	2 830	2 605	2 320	850	850
2	2 420	2 230	1 980	725	725
3	1 860	1 710	1 520	555	555
4	1 705	1 570	1 400	510	510
5	1 555	1 430	1 275	470	470
6	840	735	690	420	420
7	805	710	660	400	400
8	770	680	630	385	385
9	740	650	605	370	370
10	710	625	580	355	355
11	690	605	565	345	345
12	600	580	540	230	230

Diametrul țevii : 8 ... 20 mm

Elementele care sunt plasate în fața dipolului activ-vibrator — în direcția postului recepționat — au rolul esențial de a mări directivitatea și cîștigul antenei, se numesc directoare și sunt mai scurte decît vibratorul. Elementele plasate în spatele vibratorului au rolul important de a opri receptia undelor care vin din partea opusă (din spate) contribuind, la îmbunătățirea raportului față-spate, și se numesc reflectoare.

Mărirea numărului de directoare conduce la mărirea lungimii fizice și electrice a antenei și, prin aceasta, la mărirea cîștigului și la reducerea impedanței.

Dimensiunile constructive ale antenei Yagi cu

Canalul	1	2	3	4	5
l_R (mm)	3 130	2 650	2 000	1 870	1 710
l_V (mm)	3 760	2 340	1 790	1 620	1 510
l_{D1} (mm)	2 510	2 130	1 650	1 500	1 370
l_{D2} (mm)	2 490	2 100	1 620	1 485	1 360
l_{D3} (mm)	2 430	2 060	1 600	1 450	1 330
a (mm)	1 200	1 030	790	720	660
b (mm)	730	620	480	435	400
c (mm)	700	590	460	420	380
d (mm)	740	625	485	440	400

Diametrul țevii : 8 ... 20 mm

Dimensiunile constructive ale antenei Yagi cu

Canalul	l_R (mm)	l_V (mm)	l_{D1} (mm)	l_{D2} (mm)	l_{D3} (mm)	l_{D4} (mm)
6	840	700	695	710	695	685
7	800	670	660	670	660	650
8	770	645	640	650	640	625
9	740	620	615	620	614	600
10	710	595	585	595	585	575
11	685	575	570	580	570	560
12	660	555	550	560	550	510

Diametrul țevii : 8 ... 20 mm

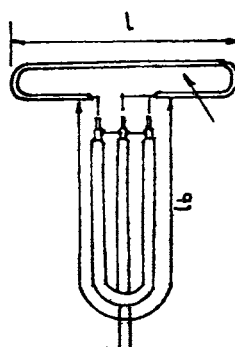


Fig. 3.12

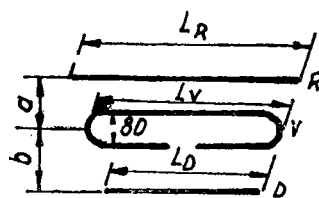


Fig. 3.13

TABELUL 3.11

cinci elemente ($R + V + 3D$) (figura 3.14)

6	7	8	9	10	11	12
840	810	780	740	710	685	690
730	700	680	650	605	580	550
720	680	660	640	610	580	560
720	680	660	610	610	580	560
700	660	650	610	610	570	530
325	310	300	290	270	260	240
210	210	200	160	190	190	250
500	530	490	450	445	390	385
420	365	370	380	315	350	340

TABELUL 3.12

șapte elemente ($R + V + 5D$) (figura 3.15)

l_{D5} (mm)	a (mm)	b (mm)	c (mm)	d (mm)	e (mm)	f (mm)
670	500	595	420	400	265	280
640	475	280	400	380	250	270
615	455	270	385	370	245	260
580	435	260	370	355	235	250
265	420	250	355	340	225	240
550	405	210	345	330	220	230
530	390	230	335	315	210	225

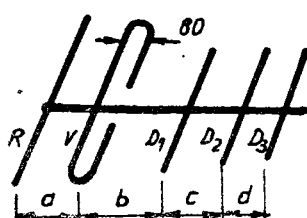


Fig. 3.14

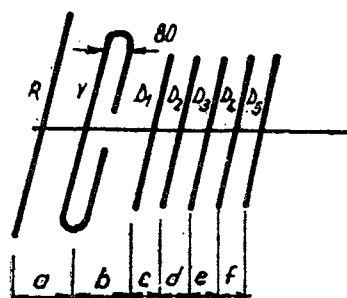


Fig. 3.15

TABELUL 3.13

Date constructive ale antenei Yagi cu 9 elemente ($3R + V + 5D$) pt. UIF (Cîstigul : 10 dB ; bandă de trecere : 35 MHz ; Z la borne : 275Ω) (Figura 3. 16)

Canale	21 - 25	26 - 30	31 - 35	36 - 40	41 - 45	46 - 50	51 - 55	56 - 60
R , în mm	377	348	324	303	284	268	253	210
V , în mm	308	284	261	247	232	218	207	196
D_1 , în mm	293	270	252	235	221	208	196	186
D_2 , în mm	290	267	249	232	218	205	194	181
D_3 , în mm	287	264	246	229	215	203	192	182
D_4 , în mm	283	260	243	226	213	200	189	179
D_5 , în mm	279	257	240	223	210	198	187	177
a , în mm	240	240	240	240	230	230	230	230
b , în mm	140	129	120	112	105	90	94	89
c , în mm	72	67	62	58	51	51	49	46
d , în mm	92	85	79	74	69	65	62	59
e , în mm	104	96	89	83	78	74	69	66
f , în mm	121	112	104	97	91	86	81	77
g , în mm	132	122	113	105	99	94	88	81
S , în mm	40	40	40	40	40	40	40	40
L_9 , în mm	700	650	610	570	540	510	490	470
λ_m , în m	0,612	0,566	0,527	0,492	0,462	0,435	0,411	0,390
B (lungimea buclei $\lambda/2$), în mm	202	186	174	162	152	143	135	128

Dimensiunile dipolului în fig. 3.19

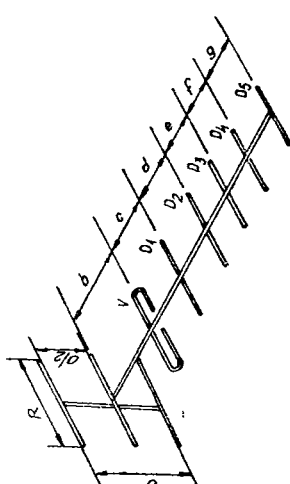


Fig. 3.16

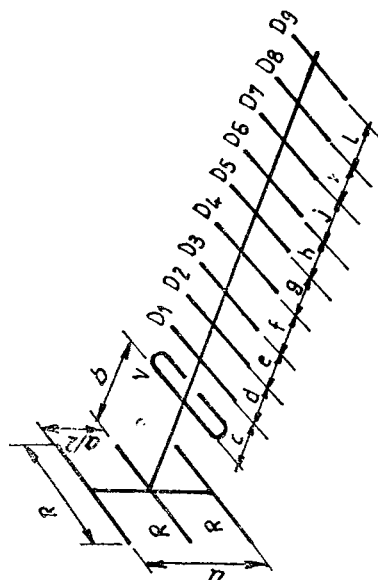


Fig. 3.17

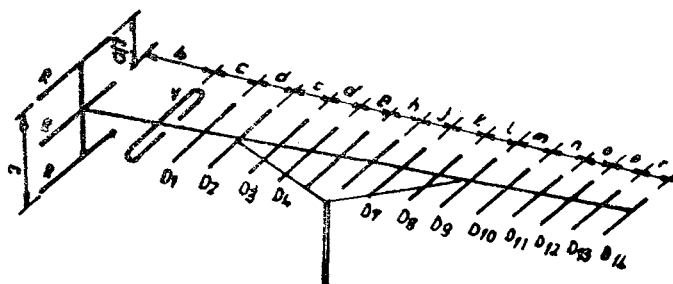


Fig. 3.18

TABELUL 3.14

Datele constructive ale antenei Yagi cu 13 elemente (3D+V+9V) (Cîstigul : 11,8 dB ; banda de trecere : 32 – 35 MHz ; Z la borne : 250Ω (Figura 3.17)

Canale	21 – 25	26 – 30	31 – 35	36 – 40	41 – 45	46 – 50	51 – 55	56 – 60
R , în mm	377	348	324	203	281	268	253	240
V , în mm	308	284	264	247	232	218	207	196
D_1 , în mm	293	270	252	235	221	208	196	186
D_2 , în mm	290	267	249	232	218	205	194	181
D_3 , în mm	287	261	246	229	215	203	192	182
D_4 , în mm	283	260	243	226	213	200	189	179
D_5 , în mm	279	257	240	223	210	198	187	177
D_6 , în mm	276	254	237	220	207	195	185	175
D_7 , în mm	272	251	234	217	205	193	183	173
D_8 , în mm	269	248	231	214	202	192	181	171
D_9 , în mm	265	245	228	210	200	189	179	169
a , în mm	240	240	240	240	230	230	230	230
b , în mm	140	120	120	112	105	99	94	89
c , în mm	72	67	62	58	54	51	49	46
d , în mm	92	85	79	74	69	65	62	59
e , în mm	104	96	89	83	78	74	69	66
f , în mm	121	112	104	97	81	86	81	77
g , în mm	132	122	113	105	99	94	88	84
h , în mm	133	123	114	106	100	95	89	85
j , în mm	134	124	115	107	101	96	90	86
k , în mm	136	126	117	109	102	96	91	87
l , în mm	137	127	118	110	103	97	92	87
S , în mm	40	40	40	40	40	40	40	40
L_{13} , în mm	1 250	1 170	1 100	1 040	970	910	860	820

Dimensiunile dipolului în fig. 3.19

TABELUL 3.15

Datele constructive ale antenei Yagi cu 18 elemente ($3R+V+14D$) Cîstigul : 13,5 dB ; banda de trecere : 30—32 MHz ; Z la borne : 240Ω (Figura 3.18)

Canale	21—25	26—30	31—35	36—40	41—45	46—50	51—55	56—60
R , în mm	377	348	324	303	284	268	253	240
V , în mm	308	284	264	247	232	218	207	196
D_1 , în mm	293	270	252	235	221	208	196	186
D_2 , în mm	290	267	249	232	218	205	291	181
D_3 , în mm	287	264	246	229	215	203	192	182
D_4 , în mm	283	260	243	226	213	200	189	179
D_5 , în mm	279	257	240	223	210	198	187	177
D_6 , în mm	276	254	237	220	207	195	185	175
D_7 , în mm	272	251	234	217	205	193	183	173
D_8 , în mm	269	248	231	214	202	192	181	171
D_9 , în mm	265	245	228	210	200	189	179	169
D_{10} , în mm	262	242	225	207	197	187	177	167
D_{11} , în mm	259	239	222	204	195	184	175	165
D_{12} , în mm	256	236	219	200	192	181	172	162
D_{13} , în mm	253	233	216	197	190	179	170	160
D_{14} , în mm	250	231	213	194	187	176	168	158
a , în mm	240	240	240	240	230	230	230	230
b , în mm	140	129	120	112	105	99	94	89
c , în mm	72	67	62	58	51	51	49	46
d , în mm	92	85	75	71	69	65	62	59
e , în mm	104	96	89	83	78	71	69	66
f , în mm	121	112	104	97	91	86	81	77
g , în mm	132	122	133	105	99	94	88	84
h , în mm	133	123	114	106	100	95	89	85
j , în mm	134	121	115	107	101	96	90	86
k , în mm	136	126	117	109	102	96	91	87
l , în mm	137	127	118	110	103	97	92	87
m , în mm	138	128	119	111	104	98	93	88
n , în mm	139	129	120	112	105	99	94	89
o , în mm	140	130	121	113	106	100	95	90
p , în mm	141	131	122	114	107	101	96	91
r , în mm	142	132	123	115	108	102	97	92
L_{18} în mm	1950	1810	1680	1570	1485	1400	1325	1200

Dimensiunile dipolului în fig. 3.19

În timp ce un director suplimentar atașat unei antene cu 3 elemente având un reflector, un vibrator și un director ($R+V+D$) mărește cîstigul de la 5 la 6,5—7 dB, adică cu 1,5—2dB (respectiv 18—26% în tensiune), prin adăugarea unui director la o antenă de 10 elemente ($R+V+8D$) se obține un cîstig suplimentar de numai 0,4—0,5 dB.

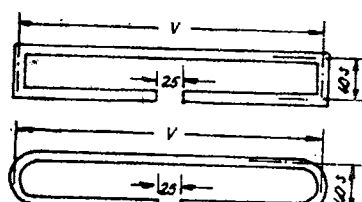


Fig. 3.19

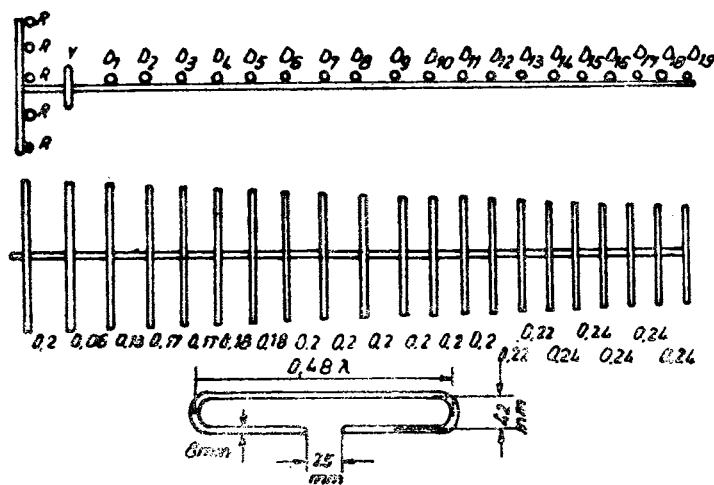


Fig. 3.20

TABELUL 3.16

Datele constructive ale antenei Yagi cu 25 elemente ($5R + V + 19D$) (Figura 3.20)

Dimensiunile elementelor		Distanța între elemente	
R	$0,6 \lambda$		
V	$0,48 \lambda$	$V - R$	$0,2 \lambda$
D_1	$0,41 \lambda$	$V - D_1$	$0,08 \lambda$
$D_{2,3}$	$0,40 \lambda$	$D_1 - D_2$	$0,13 \lambda$
$D_{4,5,6}$	$0,39 \lambda$	$D_2 - D_3, D_3 - D_4$	$0,17 \lambda$
$D_{7,8,9}$	$0,38 \lambda$	$D_4 - D_5, D_5 - D_6$	$0,18 \lambda$
D_{10-14}	$0,37 \lambda$	$D_6 \dots D_{12}$	$0,2 \lambda$
D_{15-17}	$0,36 \lambda$	$D_{12} \dots D_{14}$	$0,22 \lambda$
B_{18-19}	$0,35 \lambda$	$D_{14} \dots D_{19}$	$0,24 \lambda$

CAPITOLUL IV

ELECTROACUSTICA

4.1. DETERMINAREA TENSIUNII DE IEȘIRE A MICROFOANELOR

Nomograma din fig. 4.1. permite determinarea relației dintre tensiunea de ieșire a diferitelor tipuri de microfoane și valorile presiunii acustice instantanee. Valorile intensității sonore și ale puterii de ieșire sunt date în ipoteza conform căreia microfonul este studiat ca generator, la intrarea căruia se află presiune acustică, iar la ieșire apare tensiune sau putere. La microfoanele de impedanță mică, puterea se exprimă în dB pentru o putere acustică de 10 dyn/cm² (1 Pascal) față de o putere de 1 mW. În cazul microfoanelor de impedanță mare, puterea se exprimă în dB pentru o putere acustică de 1 dyn/cm² (0,1 Pascal) față de o putere de 1 W. (Puterea de ieșire în ambele cazuri de mai sus se referă la o încărcare reală egală cu impedanța microfonului).

Această nomogramă a fost elaborată pentru preamplificatoarele de microfon de impedanță mică adaptate la impedanța microfonului.

4.2. AMPLIFICATOARE DE AUDIOFRECVENȚĂ

Schema de principiu a amplificatorului cu cuplaj RC este reprezentată în figura 4.2.

În domeniul frecvențelor medii, elementele reactive se neglijeează și sunt valabile relațiile :

$$R_{intr} = r_b + r_e \frac{r_c + R_s}{r_c(1-\alpha) + R_s} = \frac{h_{11e} + \Delta h_e R_s}{1 + h_{22e} R_s}$$

$$R_{ies} = r_c(1-\alpha) + r_e \frac{r_m + R_g + r_b}{r_e + e r_b + R_g} = \frac{h_{11e} + R_g}{\Delta h_e + h_{22e} + R_g}$$

$$A_u = - \frac{r_e R_s}{r_s [r_e + r_b(1-\alpha)] + R_g(r_e + r_b)} = \frac{h_{21e}}{\frac{h_{11e}}{R_s} + \Delta h_e}$$

$$A_t = \frac{x}{1 - \alpha + \frac{R_s}{r_e}} = \frac{h_{21e}}{1 + h_{22e} R_s}.$$

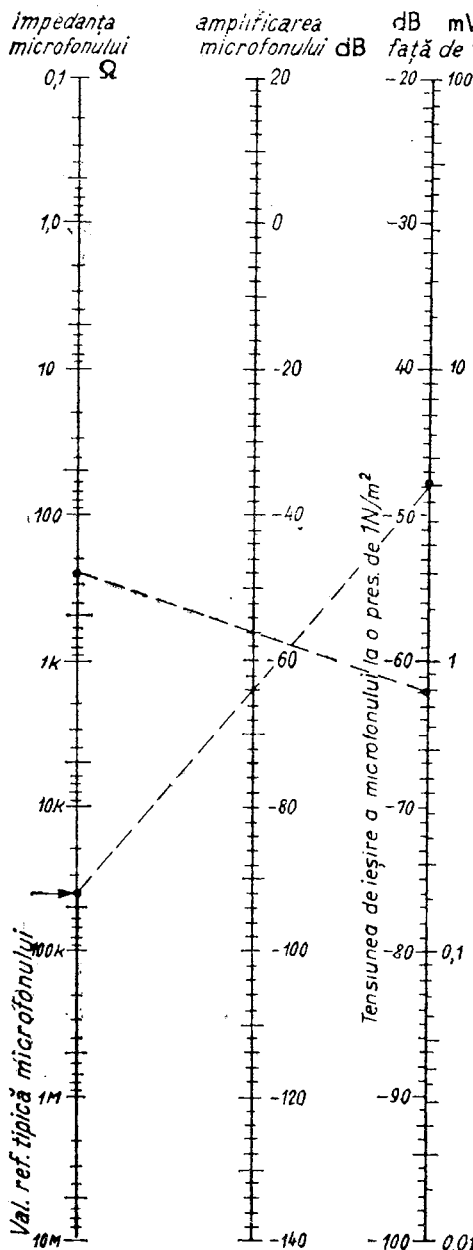


Fig. 4.1

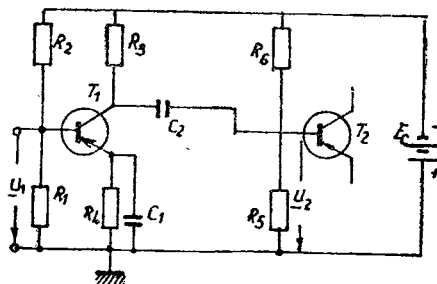


Fig. 4.2

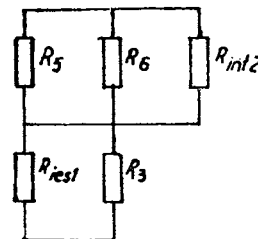


Fig. 4.3

În domeniul frecvențelor joase, presupunind decuplarea perfectă a rezistenței din emitor, amplificarea normalizată în tensiune este dată de relația

$$\frac{A(j\omega)}{A_0} = \frac{1}{1 + \frac{\omega_j}{j\omega}};$$

$$\omega_j = 2\pi f_j = \frac{1}{R'C_2}$$

și rezistența R' este indicată în figura 4.3.

Dacă se presupune că efectul capacității de cuplaj C_2 poate fi neglijat, dar decuplarea emitorului nu este corespunzătoare, frecvența limită inferioară va fi:

$$\omega' = 2\pi f'_j = \frac{1 + h_{21e}}{C_1(h_{11e} + R_{Ge})},$$

în care R_{Ge} este impedanța internă echivalentă a generatorului considerat aplicat în baza tranzistorului T_1 .

În domeniul frecvențelor înalte rămâne valabilă relația :

$$\omega_s = 2\pi f_s = \frac{1}{C_0 R''}; \quad \frac{1}{R''} = \frac{1}{R_3} + \frac{1}{R_5} + \frac{1}{R_6} + \frac{1}{R_{intr2}} + \frac{1}{R_{ies1}}$$

Capacitatea de ieșire este :

$$C_{ies} = \frac{C_{CB}}{1 - \alpha},$$

unde C_{CB} este capacitatea de ieșire (colector-bază) în conexiunea cu bază comună, având valori cuprinse între 30 și 50 pF.

De fiecare dată trebuie verificat dacă scăderea cu frecvență a parametrului h_{21} , nu se efectuează înaintea frecvenței limită superioară calculată mai sus. În acest caz se consideră (acoperitor) f_β ca frecvență limită superioară a etajului.

În figura 4.4 este prezentată schema de principiu a amplificatorului de mică putere cu cuplaj prin transformator. Transformatorul este necesar pentru adaptarea de putere și poate fi considerat cu sarcină rezistivă.

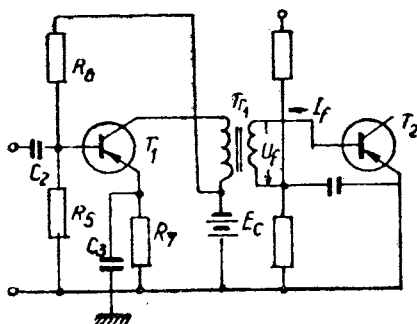
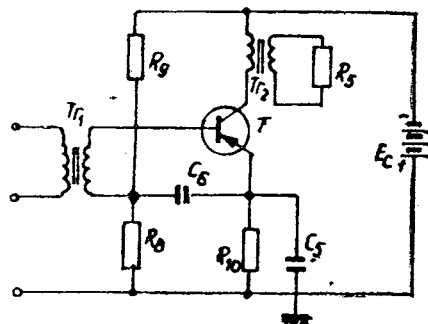


Fig. 4.4



Bilanțul puterilor este următorul :

— puterea absorbită :

$$P_a = U_{ce} I_{co} + (r_1 + R_{10}) I_{co}^2;$$

— puterea utilă :

$$P_u = \frac{1}{2} (U_{ce} - U_{cm}) (I_{cm} - I_{co}),$$

unde notațiile sunt în conformitate cu figura 4.5 și 4.6.

Din caracteristica $u_{BE} = f(u_{CE})$ cu i_B parametru (figura 4.6) se obțin mărimile caracteristice de intrare ale schemei :

— puterea de intrare :

$$P_{intr} = \frac{(I_{BM} - I_{Bm})(U_{BM} - U_{Bm})}{8},$$

— rezistența medie de intrare :

$$R_{intr\,med} = \frac{U_{BM} - U_{Bm}}{I_{BM} - I_{Bm}}.$$

Transformatorul de ieșire este de tipul cu sarcină rezistivă și se dimensionează pentru adaptarea la sarcina optimă (R_s).

În figura 4.7 este prezentată schema de principiu a unui amplificator de putere clasă B, în contratimp.

Elementele de polarizare se aleg astfel încât curentul de colector I_{co} să aibă o valoare mică, diferită de zero cind nu există semnal.

Dreapta de sarcină trebuie să asigure o utilizare bună a tensiunii de alimentare :

$$\xi = \frac{U_c}{E_B} = 0,9 \dots 1.$$

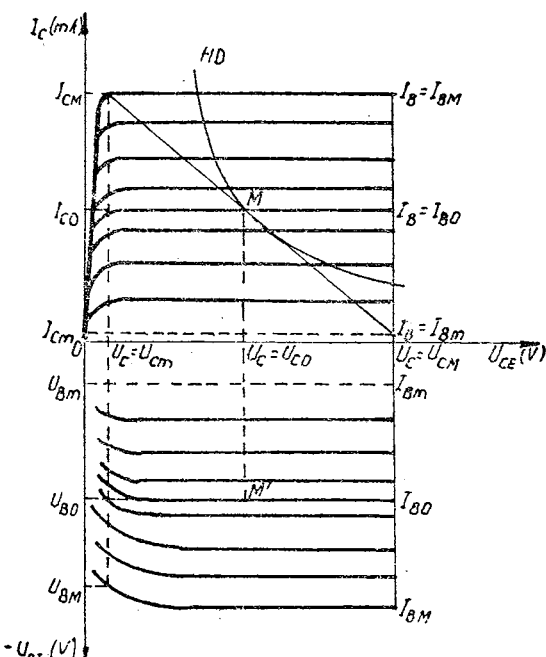


Fig. 4.6

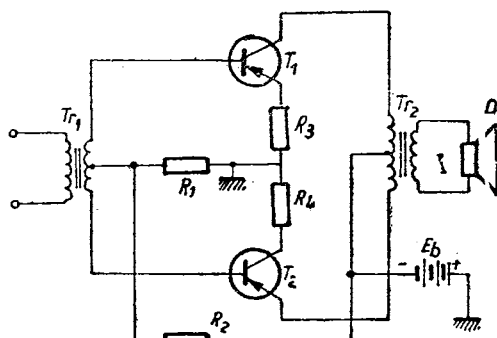


Fig. 4.7

Rezistența de sarcină este :

$$R_s = \frac{U_e}{I_{CM} - I_{ce}} \approx \frac{E_B}{I_{CM}}.$$

Bilanțul puterilor este :

— puterea utilă maximă totală :

$$P_{UM} = \frac{1}{2} I_{CM} E_B;$$

— puterea absorbită de ambele tranzistoare :

$$P_a = \frac{2E_B I_{CM}}{\pi}.$$

Caracteristica de intrare $i_B = f(e_g)$ se determină cu ajutorul caracteristicii $i_B = f(u_{BE})$ și a relației :

$$e_g = u_{BE} + R_1 i_B,$$

unde R_1 este rezistența echivalentă a generatorului.

Impedanța de intrare a unui tranzistor este :

$$R_{intr} = \frac{2e_{gM}}{I_{BM}}.$$

Rezistența de sarcină echivalentă între colectoare este :

$$R_{cc} = 4R_c.$$

Transformatorul de ieșire este de tipul cu sarcină rezistivă și trebuie să realizeze adaptarea pe rezistență optimă (R_{ct}) între extreame.

Transformatorul de intrare este tot de tipul cu sarcină rezistivă și trebuie să realizeze adaptarea pentru transfer maxim de putere (lucrează pe rînd numai jumătate de secțiune secundară pe sarcina $\frac{1}{2} R_{intr}$).

Determinarea completă a performanțelor amplificatoarelor este legată de **calculul distorsiunilor** datorită caracteristicilor, care sunt neliniare. În acest sens, dacă semnalul la intrare este sinusoidal, la ieșire el apare deformat :

$$s_e(t) = S_1 \cos \omega_1 t + S_2 \cos 2\omega_1 t + S_3 \cos 3\omega_1 t + \dots$$

mărimele S_k reprezentând amplitudinile armonicilor.

Coefficientul de distorsiuni de neliniaritate este :

$$\delta = \sqrt{\sum_{k=2}^{\infty} S_k^2}.$$

Îmbunătățirea performanțelor amplificatoarelor se face prin aplicarea **reacției negative**. În acest caz, frecvența limită superioară pentru amplificatorul având reacție negativă crește de $|1 - A\beta'|$ ori, iar cea inferioară scade de $|1 - A\beta'|$ ori.

Factorul de distorsiuni de neliniaritate pentru etajele de amplificare cărora li s-a aplicat reacția negativă se micșorează de $|1 - A\beta'|$ ori, dacă la ieșire se va obține aceeași tensiune ca la amplificatorul fără reacție.

Nomograma reacției negative (fig. 4.8). La amplificatoarele cu reacție negativă valoarea lui β se consideră negativă. Dreapta dintre scalele β (exprimat în procente) și A intersectează scala din mijloc și indică variația amplificării. Pe scala din mijloc se poate citi în dB și cu cît trebuie mărit semnalul de la intrare ca nivelul de la ieșire să se mențină la o valoare dorită inițial. Amplificarea inițială se poate exprima ca raport de tensiuni sau în dB utilizând scala corespunzătoare din dreapta.

Exemplu : Dacă amplificarea amplificatorului (A) este 30, valoarea lui $\beta = 10\%$, atunci variația amplificării pe baza nomogramei este 0,25.

Pentru determinarea puterii de ieșire a amplificatoarelor de audio-frecvență se poate folosi nomograma din fig. 4.9.

TABELUL 4.1

Caracteristici ale etajelor de amplificare

Tipul etajului	Amplificare de curent	Amplificare de tensiune	Amplificare de putere	Rezistență de intrare	Rezistență de ieșire	Faza tensiunii la intrare și la ieșire	Frecvență limită
cu baza comună	subunitară	foarte mare	mare	foarte mică	foarte mare	în fază	mare
cu emitorul comun	mare	mare	foarte mare	medie	mare	în anti-fază	mică
cu colectorul comun	mare	subunitară	medie	mare	mică	în fază	mică
cu catodul comun	mare	mare	foarte mare	mare	medie	în anti-fază	—
cu grilă comună	subunitară	medie	mică	mică	mare	în fază	—
cu anodul comun	mare	subunitară	mică	foarte mică	mică	în fază	—

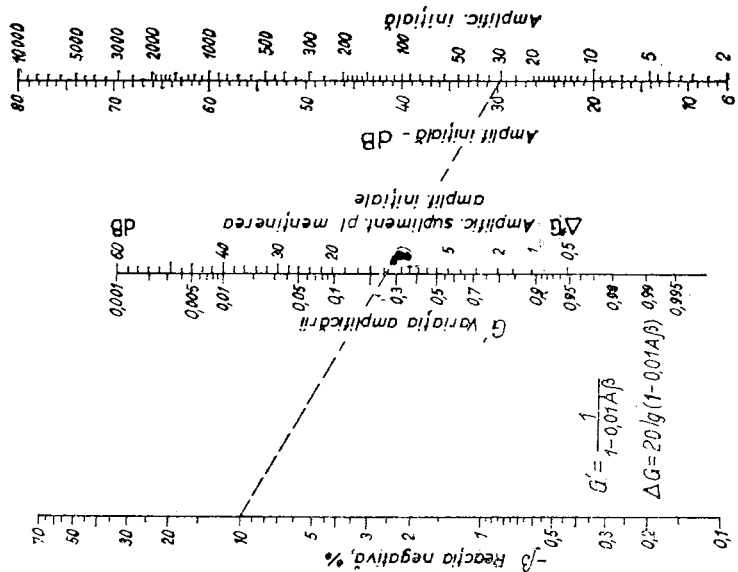


Fig. 4.8

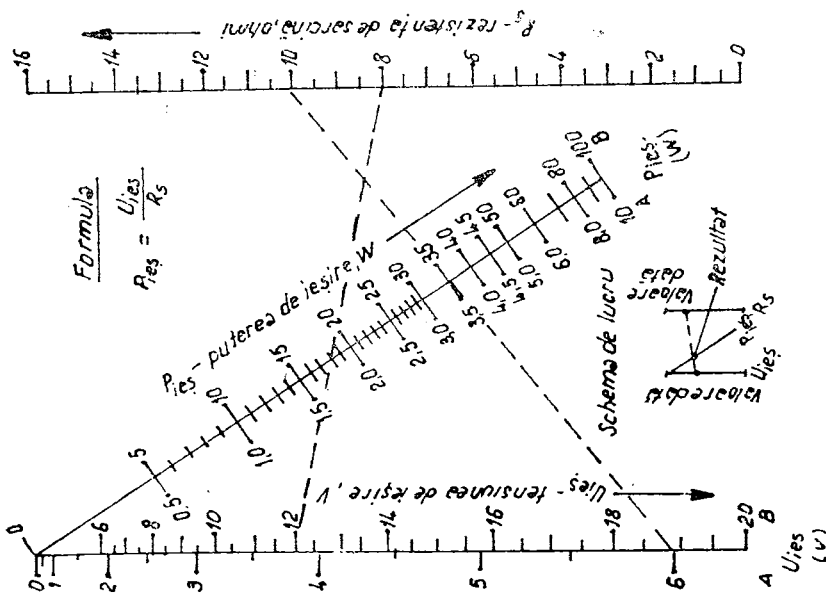


Fig. 4.9

TABELUL 4.3

Împărțirea pe clase a amplificatoarelor (vezi fig. 4.10)

Clasa de funcționare a amplificatorului	Locul punctului de funcționare	Domeniul de tensiuni ai semnalului de intrare	Caracteristici
A_1	Punctul de mijloc al curbei caracteristice	Se limitează pe porțiunea liniară a curbei caracteristice	Semnal de ieșire fără distorsiuni. Amplificări mari, randament mic (aprox. 25%)
A_2	Deasupra punctului de mijloc al curbei caracteristice	Se extinde pînă la cotul de sus (saturare) al curbei caracteristice	Semnal de ieșire aproape fără distorsiuni. Față de amplificatorul A_1 are amplificare mai mică dar randament mai mare
AB_1	Sub punctul de mijloc al curbei caracteristice	Se extinde pînă la cotul de jos (blocare) al curbei caracteristice	La funcționarea în contratimp semnalul de ieșire practic nu are distorsiuni. Amplificare mai mică decît la A_2 dar randament mai mare
AB_2	Punctul de mijloc al curbei caracteristice	Se extinde de la cotul de jos (blocare) pînă la cotul de sus (saturare) al curbei caracteristice	La funcționarea în contratimp apar distorsiuni. Față de AB_1 are amplificare mai mică dar randament mai mare
B_1	În apropierea cotului de jos al curbei caracteristice	Se extinde dincolo de cotul de jos (blocare) al curbei caracteristice	La funcționarea în contratimp se caracterizează prin distorsiuni mici. Amplificarea este mai mică decît la AB_2 , randament maxim 78.5%
B_2	În apropierea cotului de jos al curbei caracteristice	Se extinde între cotul de jos (blocare) și cotul de sus (saturare) al curbei caracteristice	La funcționarea în contratimp are distorsiuni. Amplificare mai mică decît B_1 , dar randament mai mare
C	Dincolo de cotul de jos al curbei caracteristice	Se extinde mult dincolo de cotul de jos (blocare) și cotul de sus (saturare) al curbei caracteristice	Distorsiuni armonice însemnate. Amplificarea este mică, randament mare (max. 80%)

Utilizînd nomograma din fig. 4.11 se determină factorul de zgomot al unui montaj în cascadă constituit din 2 etaje. Factorul de zgomot a 2 surse legate în cascadă se determină cu relația :

$$F_T = F_1 + \frac{F_2^{-1}}{A_1}$$

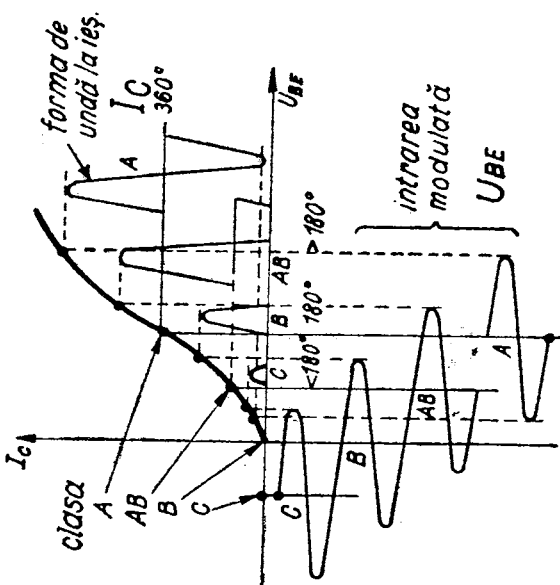
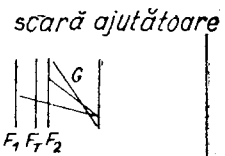
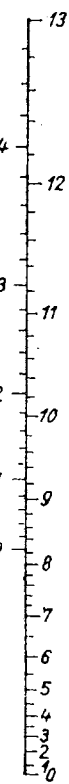


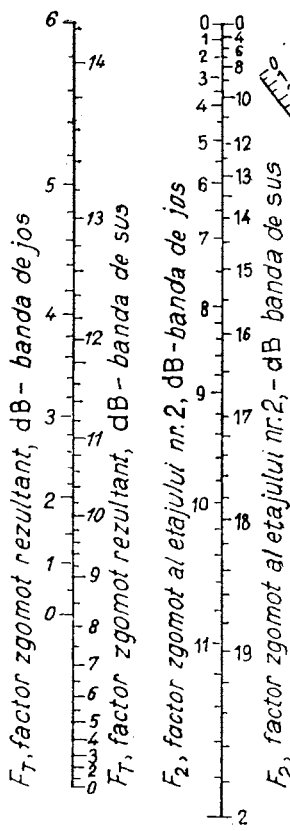
Fig. 4.10



F_1 , factor zigomot al primului etaj, dB - banda de sus



F_1 , factor zigomot al primului etaj, dB - banda de jos



F_2 , factor zigomot al etajului nr. 2, dB - banda de sus

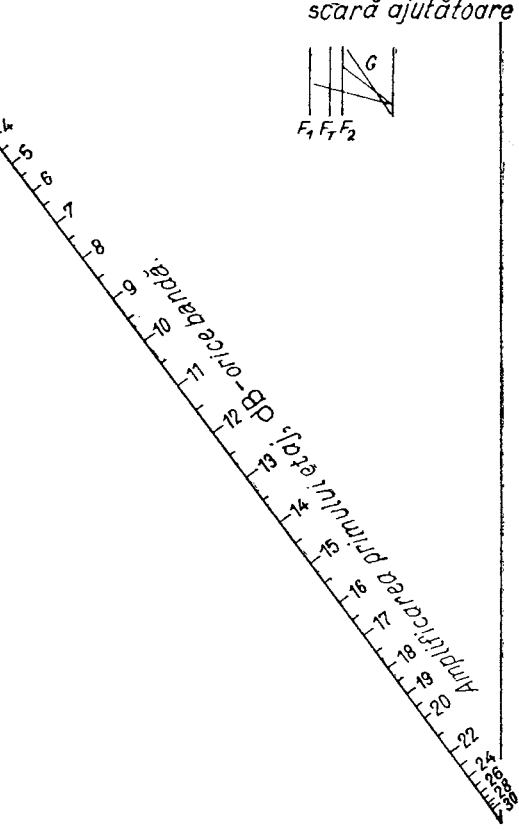


Fig. 4.11



unde :

F_1, F_2, F_T — factorii de zgomot al primului etaj, al celui de al doilea etaj și cel rezultant.

A_1 — amplificarea primului etaj.

Fiecare termen se exprimă în raport de puteri. Nomograma are scara gradată în dB . Unind valorile F_2 și A_1 , obținem un punct de intersecție pe scara ajutătoare. Acest punct se unește cu F_1 sau F_T în funcție de care din cele două valori este dată.

Exemplu : Dacă factorul de zgomot al primului etaj este $3 dB$, al celui de al doilea de $7 dB$, iar amplificarea primului etaj este $8 dB$, atunci factorul de zgomot rezultant este $4,2 dB$.

Tabelul 4.3. cuprinde lungimea maximă a conexiunii, care asigură legătura dintre amplificator și difuzor (sau difuzeoare), astfel ca pierderile de putere să nu depășească 15% în cazul circuitelor de impedanță mică, respectiv 5% la circuitele de impedanță mare. Pentru legarea mai multor conexiuni la același amplificator, calculul se va face pentru fiecare conexiune în parte.

Exemplu : 4 difuzeoare de 16 ohmi se leagă paralel pe o ieșire de 4 ohmi. Pierderile de putere pe conexiuni trebuie calculate pentru o impedanță de 16 ohmi, în loc de o impedanță de 4 ohmi.

TABELUL 4.3
Lungimea maximă a conexiunilor pentru anumite pierderi de putere

Diametrul conexiunii (mm)	Lungimea conexiunii (m)						Impedanța de sarcină (ohmi)
	4	8	16	100	250	500	
1,6	36,8	73,7	133,4	298,5	736,7	1473,4	
1,2	20,3	40,5	81	192,2	405,3	810,5	
1,0	14,4	28,8	57,5	116,7	296,2	592,4	
0,8	7,2	14,4	28,8	73,7	224,4	448,7	

4.3. CORECȚII DE TON

Pentru modificarea răspunsului în frecvență a unor etaje din amplificatoarele de AF trebuie să utilizăm elemente a căror valoare poate fi modificată continuu sau în trepte și cu care poate fi schimbată în mod pasiv sau activ sau reglată după dorință tonalitatea sunetului transmis prin lanțul de amplificare.

În amplificatoarele de AF se utilizează corecții de ton care prin intermediul unor elemente amplificatoare sunt capabile să amplifice anumite domenii din banda de trecere a amplificatorului fără să producă atenuarea celorlalte domenii de trecere.

Acestea se numesc corecții de ton active.

Se mai utilizează și corecții de ton construite din elemente pasive care realizează accentuarea unor domenii din bandă de trecere prin atenuarea celorlalte domenii și care se numesc corecții de ton pasive.

Din punct de vedere constructiv, corecțile de ton pot fi :

- circuite simple RC cu atenuare dependentă de frecvență ;
- rețele RC în lanțul de amplificare cu potențiometri separați pentru reglajul tonalităților joase și înalte ;
- rețele RC în lanțul de reacție cu reglaj separat pentru tonalități înalte sau joase ;
- elemente cu răspunsul dependent de frecvență și care pot fi cuplate în lanțul de amplificare prin claviatură ;
- rețele de corecții de ton construite cu elemente pasive și active cu comutator în trepte.

Utilizarea corecțiilor de ton este justificată atât din motive obiective, de amplificare și de transmitere, cât și din motive subiective ale împrejurărilor ascultării.

Corecțile de ton pasive au avantajul unui preț de cost minim dăr introduc pierderi care de multe ori fac necesară utilizarea unor amplificatoare suplimentare.

Pierderea introdusă este aproximativ egală cu valoarea disponibilă a reglajului, adică prin corecția de ton care are o valoare de $+20 \text{ dB}$; atunci pierderile introduse vor fi în jur de -20 dB ; aceasta deoarece corecțile de ton pasive lucrează ca divizoare de tensiune.

Cea mai tipică schemă de corecție a jocurilor este reprezentată în figura 4.12, împreună cu curba asociată de răspuns în frecvență.

Frecvențele f_1 și f_2 indică punctele de semi-putere și totodată reprezintă frecvențele la care amplitudinea relativă a semnalului este redusă sau mărită cu 3 dB . Corecțile de ton pasive necesită potențiometre logaritmici la care, la 50% din cursă, cursorul împarte elementul rezistiv în două porțiuni egale cu 90% și respectiv 10% din valoarea totală. Acestea sunt reprezentate în figură cu „ $0,9$ ” și „ $0,1$ ”.

Satisfăcând $R_2 \gg R_1 \gg R_3$, valoarea disponibilă a accentuării se poate obține prin următoarele rapoarte între componente :

$$\frac{R_1}{R_2} = \frac{R_3}{R_1} = \frac{C_1}{C_2} = \text{valoarea accentuării sau tăierii frecvențelor joase.}$$

Frecvența f_2 apare cînd reactanța lui C_1 este egală cu R_1 și reactanța lui C_2 egală cu R_3 (presupunind $R_2 \gg R_1 \gg R_3$) :

$$C_1 = \frac{1}{2\pi f_2 R_1}$$

$$C_2 = \frac{1}{2\pi f_2 R_3}$$

Răspunsul în frecvență va fi accentuat sau atenuat cu $\pm 20 \text{ dB/decadă} = \pm 6 \text{ dB/octavă}$ (răspunsul unipol) pînă cînd se atinge frecvența f_1 . Aceasta

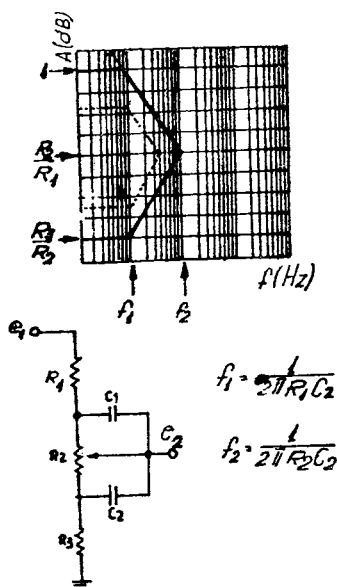


Fig. 4.12

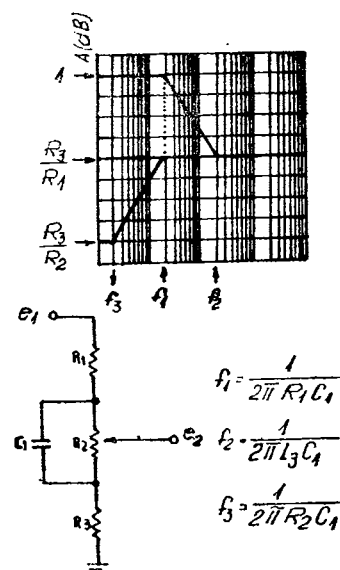


Fig. 4.13

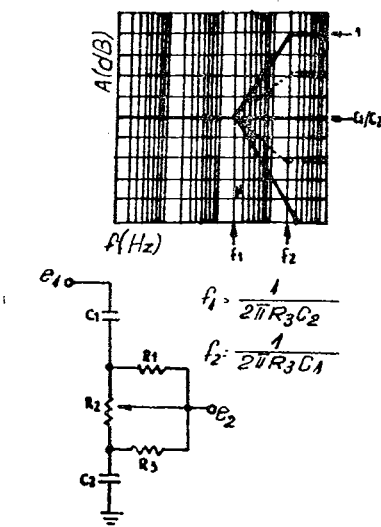


Fig. 4.14

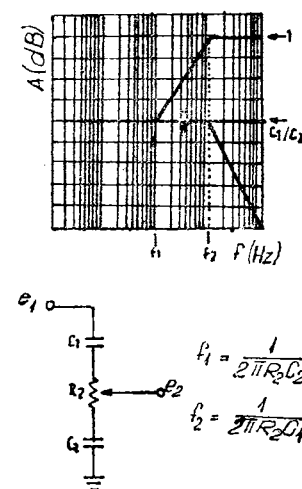


Fig. 4.15

se produce cînd impedanța de limitare este dominantă, adică cînd reactanța lui C_1 este egală cu R_2 și reactanța lui C_2 egală cu R_1 :

$$f_1 = \frac{1}{2\pi R_1 C_2} = \frac{1}{2\pi R_2 C_1}$$

Răspunsul marcat cu linie plină în figura 4.12 este valabil numai la extretele lui R_2 ; în celealte poziții răspunsul se schimbă aşa cum arată cel cu linia punctată. Cele mai importante constante de timp implicate sunt $(1-\alpha)R_2C_1$ și αR_2C_2 unde α este rotația fracțională a cursorului, aşa cum se arată și pe figura 4.12. Cu toate că acest efect poate să fie nedorit în practică, schema prezentată continuă să fie favorizată față de alte scheme. Figura 4.13 arată o altă concepție pentru corecția de ton pentru frecvențe joase cu un condensator mai mic, dar care are dezavantajul asimetriei răspunsului de accentuare și tăiere.

Mărimea accentuării sau tăierii poate fi exprimată prin aceleași rapoarte de rezistență ca în figura 4.12.

$$\frac{R_2}{R_1} = \frac{R_1}{R_3} = \text{valoarea accentuării sau tăierii}$$

presupunind $R_2 \gg R_1 \gg R_3$

Frecvența f_2 apare cînd reactanța lui C_1 este egală cu R_3 :

$$C_1 = \frac{1}{2\pi f_2 R_3}$$

Accentuarea maximă are loc la frecvența f_1 care este egală și cu frecvența de tăiere. Aceasta se întimplă cînd reactanța lui C_1 este egală cu R_1 și tăiera maximă se realizează cînd $X_{C1} = R_2$.

Corecții de ton pentru frecvențe înalte din figura 4.14 reprezintă o analogie cu figura 4.12, adică rezistențele și capacitatele sunt interschimbată și obținem performanțe asemănătoare.

Mărimea accentuării sau tăierii se exprimă prin următoarele rapoarte:

$$\frac{R_3}{R_1} = \frac{C_1}{C_2} = \text{mărimea accentuării sau tăierii frecvențelor înalte}$$

presupunind $R_2 \gg R_1 \gg R_3$.

Frecvența f_1 apare cînd reactanța lui C_1 este egală cu R_1 și reactanța lui C_2 este egală cu R_3 :

$$C_1 = \frac{1}{2\pi f_1 R_1}$$

$$C_2 = \frac{1}{2\pi f_1 R_3}$$

Valoarea disponibilă a accentuării este atinsă la frecvența f_2 și aceasta are loc cînd reactanța lui C_1 este egală cu R_3 .

$$f_2 = \frac{1}{2\pi R_3 C_1}$$

Pentru ca ecuațiile pentru C_1 și C_2 să fie valabile trebuie ca R_2 să fie mai mare decît R_1 și R_3 .

Pentru proiectarea circuitului care nu permite această condiție, ecuațiile pentru C_1 și C_2 trebuie modificate prin înlocuirea lui R_1 și R_3 cu $R_1 \parallel R_2$ și respectiv $R_3 \parallel R_2$.

Spre deosebire de corecția pentru frecvențe joase, f_1 nu depinde de poziția cursorului lui R_2 așa cum arată linia punctată din figura 4.14.

De remarcat că în poziția de tăiere completă atenuarea tinde către zero fără efectul secundar al caracteristicii de accentuare. Dacă e posibil R_1 și R_3 pot fi omise pentru reducerea prețului de cost al sistemului.

Figura 4.15 indică schema rezultată cu ecuațiile modificate și cu curba de răspuns în frecvență. Curba trasată arată așa pentru că frecvența de tăiere pentru frecvențe înalte apare cu o decadă mai tîrziu decît punctul de accentuare.

De notat că multe corecții utilizează acest mod de accentuare, care micșorează reacția, dar probabil mult mai important este efectul sarcinii finite pe cursorul lui R_2 .

Figura 4.16 arată acest efect al lui R_L asupra curbei de frecvență de pe figura 4.15.

Examinînd cele două figuri observăm că prezența unei impedanțe mici (față de R_2) pe cursor schimbă punctele de tăiere. Dacă R_L este $1/10$ din R_2 atunci punctele de tăiere se mută cu o decadă mai sus.

Ecuațiile date pe figura 4.16 sunt valabile pentru valori ale lui $R_2 \geq 10R_L$. Avantajul figurii 4.16 față de figura 4.15 se vede în performanțele de tăiere. R_L tinde să aducă înapoi trecvența de tăiere către porțiunea de accentuare într-un mod lin și cu mai puține rezistențe. Schema poate fi utilizată numai dacă se cunoaște R_L . C_1 și C_2 se calculează cu ecuațiile :

$$C_1 = \frac{1}{2\pi f_2 R_L}$$

$$C_2 = \frac{1}{2\pi f_1 R_L}$$

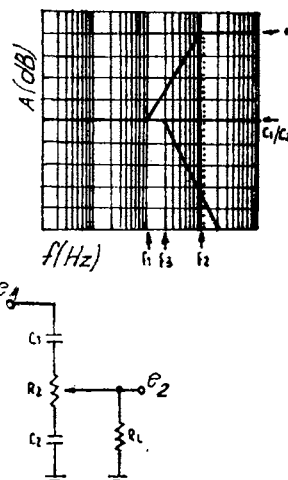


Fig. 4.16

44. INCINTE ACUSTICE

4.4.1. Rețele de separare

Pentru dimensionarea inductanțelor care intră în alcătuirea rețelelor separatoare se poate utiliza relația :

$$L = 0,315 \frac{R_m^2 n^2}{6R_m + 9a + 10b} [\mu H]$$

în care s-a notat cu :

R_m — raza medie a bobinei, în cm ;

a — lungimea bobinei, în cm ;

b — grosimea bobinei, în cm.

ACESTE DIMENSIUNI SINT INDICATE SI IN FIGURA 4.17

TABELUL 4.4

VALORILE ELEMENTELOR componente ale rețelelor de separare ale unor ansambluri de două difuzeoare

Impedanța difuzeoarelor R_m		Frecvența de tăiere Hz	Schema utilizată (fig. 4.18)	Valoriile componentelor	
Difuzor freqv. joase Ω	Difuzor freqv. inalte Ω			L' mH	C' μF
4	4	85	A	10,2	320
4	4	175	A	5,1	160
4	4	275	B	1,6	200
4	4	550	A	1,6	50
4	4	1 100	B	0,8	24
8	8	85	B	10,2	320
8	8	175	A	10,2	80
8	8	350	A	5,1	40
8	8	550	A	1,6	50
8	8	1 100	A	1,6	12
8	8	2 200	B	0,8	6
16	16	175	B	10,2	80
16	16	350	B	5,1	40
16	16	700	B	5,1	10
16	16	1 100	B	1,6	12
16	16	12 200	A	1,6	3

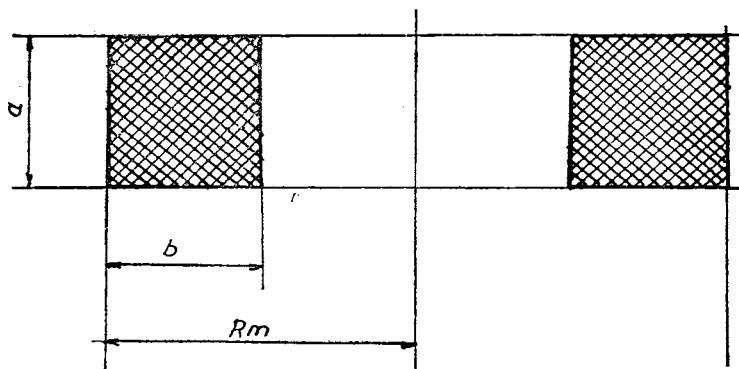


Fig. 4.17

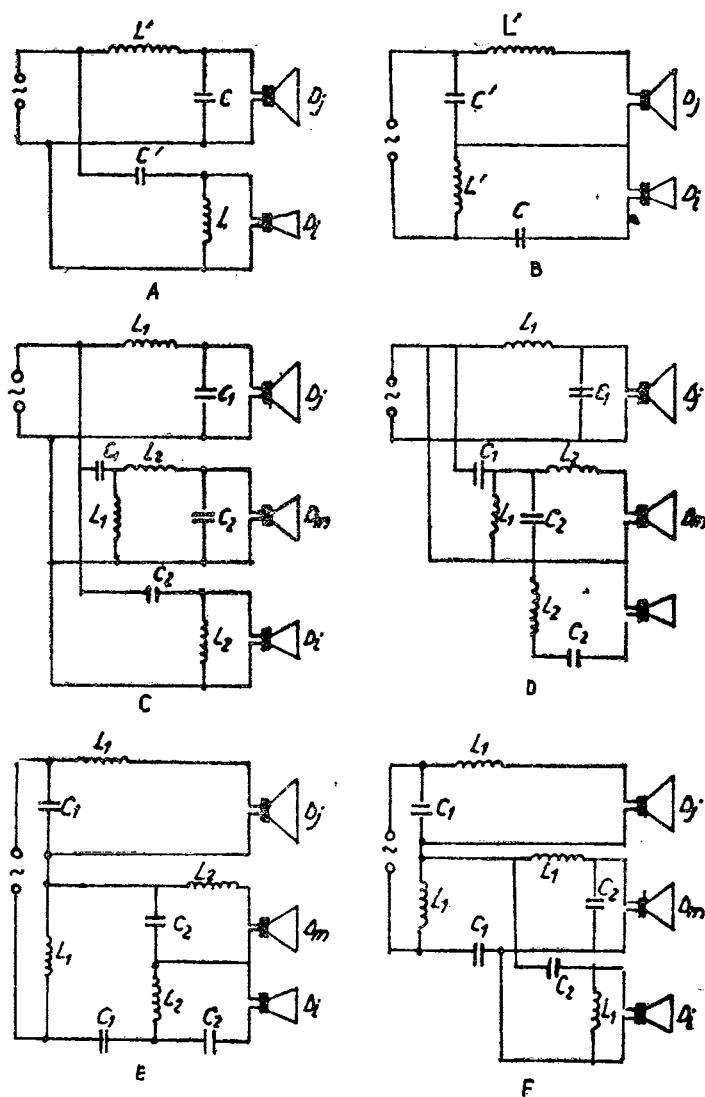


Fig. 4.18

Schema rețelelor de separare, care realizează panta de 12 dB/octavă , este dată în figura 4.18 A și B. Rețelele date sunt de rezistență constantă R_n . Elementele rețelelor se pot determina cu formulele :

$$\text{Pentru figura 4.18 A : } L' = \frac{0,225 R_n [\Omega]}{f_t [kHz]} [\text{mH}],$$

TABELUL 4.5

Valorile elementelor componente ale rețelelor de separare ale ansamblurilor cu trei difuzeoare

Impedanță difuzeoarelor R_n			Frecv. de tâiere		Schema utilizată (fig.4.18)	Valorile componente			
Joase Ω	Medii Ω	Inalte Ω	Inf. Hz	Sup. Hz		7	C_1 μF	L_2 mH	C_2 μF
1	2	3	4	5	6	8	9	10	
4	4	4	85	550	C	10,2	320	1,6	50
4	4	4	85	1 100	C	10,2	320	0,8	24
4	4	4	175	550	C	5,1	160	1,6	50
4	4	4	275	1 100	C	5,1	160	0,8	24
4	4	4	275	550	F	1,6	200	1,6	50
4	4	4	175	1 100	F	1,6	200	0,8	24
4	4	4	550	2 200	C	1,6	50	0,8	24
4	8	8	85	550	D	10,2	320	1,6	50
4	8	8	85	1 100	C	10,2	320	1,6	12
4	8	8	85	2 200	C	10,2	320	0,8	6
4	8	8	175	550	D	5,1	160	1,6	50
4	8	8	175	1 100	C	5,1	160	1,6	12
4	8	8	175	2 200	C	5,1	160	0,8	6
4	8	8	275	550	E	1,6	200	1,6	50
4	8	8	275	1 100	F	1,6	200	1,6	12
4	8	8	275	2 200	F	1,6	200	0,8	6
4	8	8	550	1 100	C	1,6	50	1,6	12
4	8	8	550	2 200	C	1,6	50	0,8	6
8	8	8	85	550	F	10,2	320	1,6	50
8	4	4	85	1 100	F	10,2	320	0,8	24
8	4	4	175	550	C	10,2	80	1,6	50
8	4	4	175	1 100	C	10,2	80	0,8	24
8	4	4	350	550	C	5,1	40	1,6	50
8	4	4	350	1 100	C	5,1	40	0,8	24
8	4	4	350	1 100	F	1,6	50	0,8	24
8	8	8	85	550	E	10,2	320	1,6	50
8	8	8	85	1 100	F	10,2	320	1,6	12
8	8	8	85	1 100	F	10,2	320	0,8	6
8	8	8	175	550	D	10,2	80	1,6	50
8	8	8	175	1 100	C	10,2	80	1,6	12
8	8	8	175	2 200	C	10,2	80	0,8	6
8	8	8	350	1 100	C	5,1	40	1,6	12
8	8	8	350	2 200	C	5,1	40	0,8	6
8	8	8	350	1 100	F	1,6	50	1,6	12
8	8	8	350	2 200	F	1,6	50	0,8	6
8	16	16	85	700	F	10,2	320	5,1	10
8	16	16	85	1 100	E	10,2	320	5,1	12
8	16	16	85	2 200	F	10,2	320	1,6	3
8	16	16	85	4 400	F	10,2	320	0,8	1,5
8	16	16	175	700	C	10,2	80	5,1	10
8	16	16	175	1 100	D	10,2	80	1,6	12
8	16	16	175	2 200	C	10,2	80	1,6	3
8	16	16	175	4 400	C	15,2	80	1,6	1,5
8	16	16	350	1 100	D	5,1	40	1,6	12
8	16	16	350	2 200	C	5,1	40	1,6	3
8	16	16	350	4 400	C	5,1	40	1,8	1,5
8	16	16	350	1 100	E	1,6	50	1,6	12

TABELUL 4.5 (continuare)

1	2	3	4	5	6	7	8	9	10
8	16	16	550	2 200	F	1,6	50	1,6	3
8	16	16	550	4 400	F	1,6	50	0,8	1,5
16	8	8	175	550	E	10,2	80	1,6	50
16	8	8	175	1 100	F	10,2	80	1,6	12
16	8	8	175	2 200	F	10,2	80	0,8	24
16	8	8	350	1 100	F	5,1	40	1,6	12
16	8	8	350	2 200	F	5,1	40	0,8	24
16	16	16	175	700	F	10,2	80	5,1	10
16	16	16	175	1 100	E	10,2	80	1,6	12
16	16	16	175	2 200	F	10,2	80	1,6	3
16	16	16	175	4 400	F	10,2	80	0,8	1,5
16	16	16	350	700	F	5,1	40	5,1	10
16	16	16	350	1 100	E	5,1	40	1,6	12
16	16	16	350	2 200	F	5,1	40	1,6	3
16	16	16	350	4 400	F	5,1	40	0,8	51

$$C' = \frac{112}{R_n[\Omega] f_t [kHz]} [\mu F].$$

Pentru figura 4.18 B: $L' = \frac{0,112 R_n [\Omega]}{f_t [kHz]} [mH]$,

$$C' = \frac{225}{R_n[\Omega] f_t [kHz]} [\mu F].$$

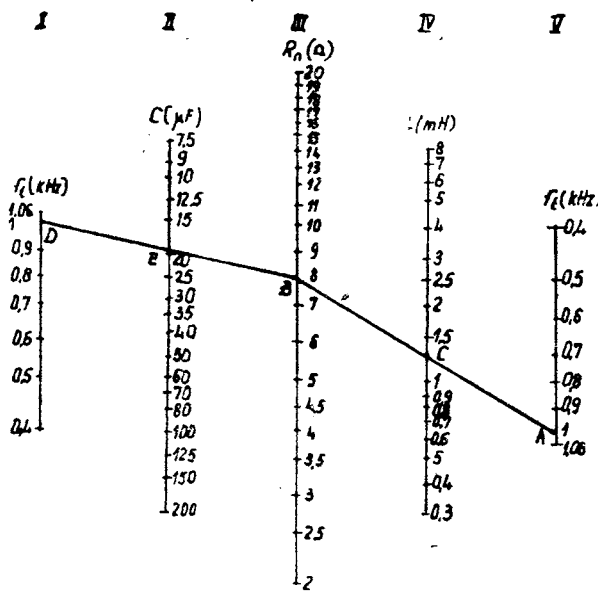


Fig. 4.19

Pentru determinarea rapidă, cu eroare de 5% a elementelor rețelelor de separare cu pantă de 12 dB/octavă (40 dB/decadă) se poate folosi nomograma din 4.19.

Exemplu. Se consideră date R_n și f_t : fie $R_n=8\Omega$, $f_t=1 \text{ kHz}$. Pentru determinarea inductanței se ia pe scara V punctul $f_t=1 \text{ kHz}$ (A) și pe scara III punctul $R_n=8$ (B). Scara AB tăie scara IV în C (aproximativ $L=1,25mH$). Rezultatul exact este $1,28 mH$ (eroare mai mică de 5%). Pentru determinarea capacitatii se unește B cu D ($f_t=1 \text{ kHz}$ pe scara I).

Scara BD tăie scara II în E (aproximativ $C=19,5 \mu F$). Rezultatul exact este $19,8 \mu F$.

Pentru figura 4.18 A $L'=1,41 L$, $C'=0,7 C$.

Pentru figura 4.18 B $L'=0,7 L$, $C'=1,41 C$.

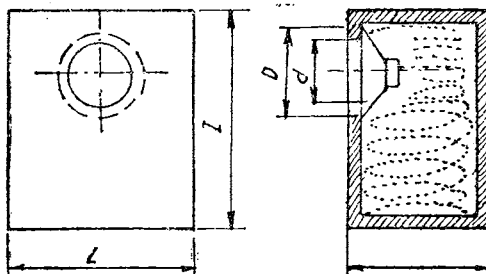


Fig. 4.20

4.4.2. Incinte închise

Tipul uzual de incintă închisă este prezentat în figura 4.20.

Pentru dimensionarea incintelor închise se folosește nomograma din figura 4.21.

Ea se referă la difuzoare cu diametre cuprinse între 4,5 cm și 30 cm. Nomograma permite determinarea frecvenței de rezonanță a ansamblu-

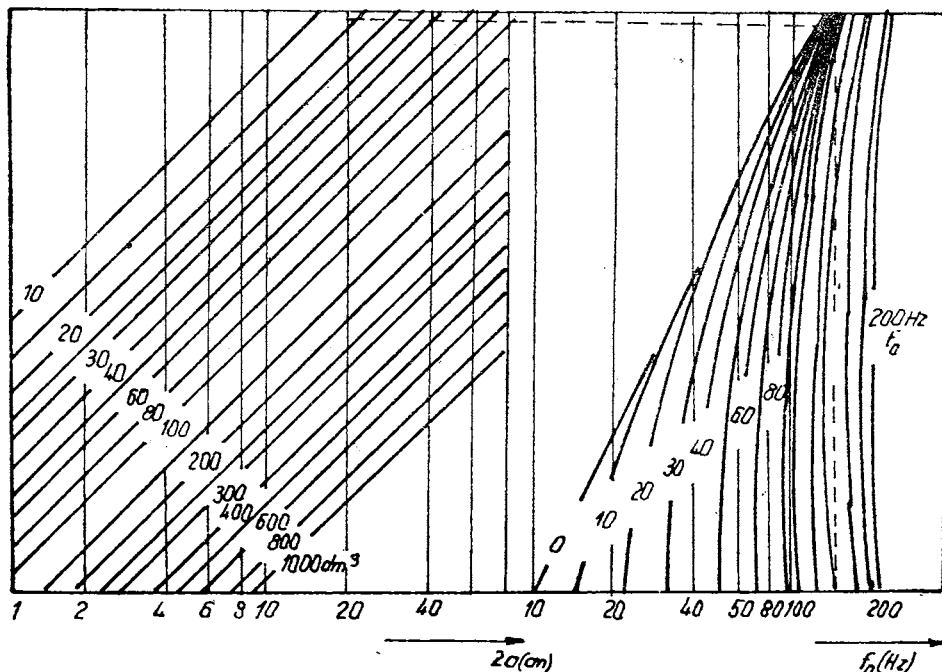


Fig. 4.21

lui, pornind de la diametrul activ al difuzorului și cunoscând volumul V al incintei. Se poate proceda și în sens invers, adică să se impună valoarea frecvenței de rezonanță a ansamblului și să se determine volumul incintei. Se propune aflarea, cu ajutorul acestei nomograme, a frecvenței de rezonanță f_0 cînd volumul este de $0,0135 \text{ m}^3$, avînd un difuzor cu diametrul activ al difuzorului de 20 cm.

Acestea fiind datele problemei, procedeul este următorul: se fixează pe prima porțiune a abscisei ($2a$) valoarea de 20 cm. Se trasează o verticală pînă la intersecția cu caracteristica $V=13,5 \text{ dm}^3$. Din acest punct se duce o dreaptă orizontală pînă la întîlnirea cu diagrama $f_0=60 \text{ Hz}$. De aici, o altă verticală va uni acest ultim punct cu partea a doua a abscisei, în care sunt marcate valorile lui f'_0 . În felul acesta s-a determinat frecvența de rezonanță a ansamblului f'_0 . Dacă se cunoaște f'_0 , se poate parurge în sens invers traseul marcat pe nomogramă, determinîndu-se la intersecția verticală corespunzătoare diametrului difuzorului cu orizontală ce-și are originea pe una din diagramele f_0 , volumul V al incintei acustice închise.

TABELUL 4.6

Dimensiunile incintelor închise în funcție de diametrul șasiului difuzorului

Diametrul difuzorului D (cm)	Diametrul decupării circulare d (cm)	Dimensiunile casetelor (cm)		
		Înălțime I	Lățime L	Adâncime L
21	16,5	75	54	30
25	21,5	85	63	33
30	26,5	95	70	45
38	34,0	117	89	45

TABELUL 4.7

Dimensiunile casetelor antirezonante în funcție de diametrul șasiului difuzorului

Diametrul difuzorului D (cm)	Diametrul decupării d (cm)	Deschidere			Dimensiunile casetelor (cm)			
		Suprafața cm ²	Dimensiuni recomandate (cm)		Înălțime b	Lățime a	Înălțime I	Lățime L
			Înălțime b	Lățime a				
21	16,5	250	20	12,5	70	40	25	
25	21,5	200	20	10	75	45	30	
30	26,5	200	20	10	85	50	35	
38	34	312,5	25	12,5	100	60	40	

4.4.3. Incinte Bass-Reflex (cu invesor de fază)

Tipul uzuial de incintă bass-reflex este prezentat în figura 4.22.

Se consideră cunoscute: f_0 , frecvența de rezonanță a difuzorului în ecran și D , diametrul proiecției plane a conului. Frecvența de rezonanță $f_{ss}=f_0$ este dată de relația :

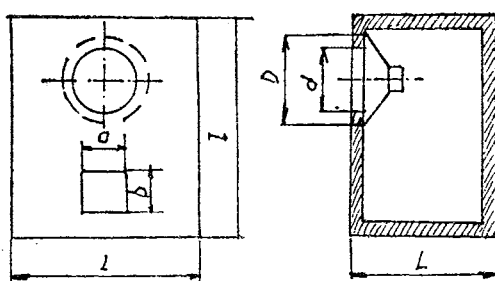


Fig. 4.22

$$f_0 = \frac{c}{2\pi} \sqrt{\frac{S_a}{(h + D_e)V}},$$

Diametrul echivalent al deschiderii D_e se calculează considerind un cerc echivalent deschiderii :

$$\frac{\pi D_e^2}{4} = S_a = 0,63 S_0^2,$$

din care rezultă :

$$D_e = 0,9 D.$$

Deschiderea se realizează sub formă unei fante de dimensiuni $a \times b$ (figura 4.22), cu un anumit raport $a/b = k$. Introducind în formula lui f_0 se obține următoarea formulă :

$$f_0^2 [Hz] = 19\,000 \left(\frac{D^2 [cm^2]}{h [cm] + 0,9 D [cm]} \right) \frac{K^{0,12}}{V [dm^3]},$$

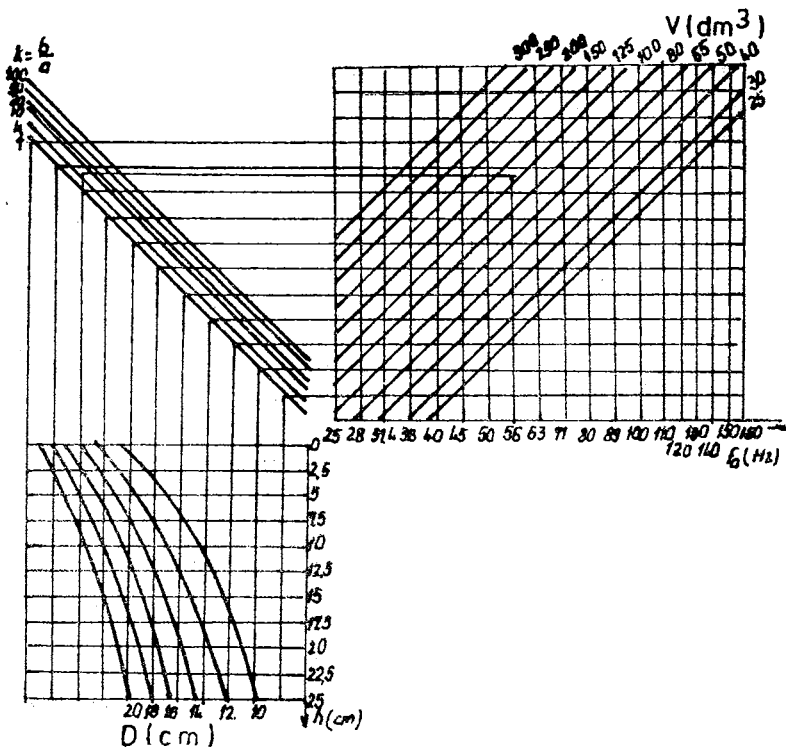


Fig. 4.23

care stă la baza nomogramei de calcul dată în figura 4.23. Coeficientul $K^{0.12}$ reprezintă o corecție dată de faptul că la fante alungite masa efectivă scade.

Modul de calcul pe nomogramă este următorul. Se consideră date f_0 și D . Se alege soluția constructivă: cu tub interior sau nu. În cazul cînd nu se folosește tub, $h =$ grosimea pereților. Fie $f_0 = 56 \text{ Hz}$, $D = 16 \text{ cm}$, fără tub, și grosimea pereților $h = 2 \text{ cm}$. În partea stîngă jos sunt figurate scările de diametru D constant. Punctul de pornire este determinat de scara $D = \text{const.}$ și ordonata h , în exemplul considerat $D = 16$, $h = 2$, rezultă punctul figurativ A_1 . Din punctul figurativ A_1 se urcă pe linia verticală corespunzătoare pînă la $K = \text{const.}$ Se alege în cazul de față $K = 4$ și se obține punctul A_2 . În partea dreaptă sus sunt figurate scările de volum constant $V = \text{const.}$ Se ia ca abscisă $f_0 = 56 \text{ Hz}$, punctul A_4 . Punctul căutat A_3 se găsește la intersecția orizontalei dusă din A_2 cu verticala ridicată din A_4 ; rezultă $V = 115 \text{ dm}^3$.

Secțiunea deschiderii se determină cu formulele :

$$a = \frac{0,793}{\sqrt[3]{K}} D : b = 0,793 \sqrt[3]{KD}.$$

În exemplul ales $a = 6,35 \text{ cm}$, $b = 25,4 \text{ cm}$.

Incintele se realizează sub formă de paralelipiped (figura 4.24 a) cu dimensiunile l_1, l_2, l_3 . De cele mai multe ori este util să se aleagă anumite rapoarte.

De exemplu pentru proporțiile

$$l_1 = 2l, \quad l_2 = 1,5l, \quad l_3 = l$$

se obține o relație simplă

$$l = \sqrt[3]{\frac{1}{3}V}$$

de baza căreia a fost construită diagrama din figura 4.25.

Pentru exemplul ales :

$$l_1 = 67 \text{ cm}, \quad l_2 = 50 \text{ cm}, \quad l_3 = 34 \text{ cm}.$$

În anumite cazuri este necesar să se realizeze incinta sub formă de prismă triunghiulară pentru a putea fi montată în colțul unei încăperi, conform figurii 4.24 b.

Se pot lua proporțiile

$$L_1 = 2l, \quad L_2 = 1,4l, \quad L_3 = l.$$

Pentru un volum dat, L_1, L_2, L_3 se pot calcula din diagrama din figura 4.25.

Pentru exemplul ales, dimensiunile sunt :

$$L_1 = 76 \text{ cm}, \quad L_2 = 54 \text{ cm}, \quad L_3 = 38 \text{ cm}.$$

Pentru a asigura ca frecvența de rezonanță a unei cutii cu invensor de fază să corespundă aproximativ frecvenței de rezonanță f_r a difuzorului care urmează a fi montat în cutie cu un anumit volum V , suprafața F a

ferestrei cu adîncimea l trebuie să fie suficient de mare. Ea se determină pe baza nomogramei din figura 4.26.

Astfel, dacă $f_r = 80$ Hz, $V = 45$ dm³ și $l = 1$ cm, se obține $F = 97$ cm².

Îmbunătățirile pe care le aduce un inversor de fază sunt următoarele: frecvențele joase sunt amplificate și se evită supraîncărcarea membranei la rezonanță, ceea ce duce la micșorarea distorsiunilor și mărirea puterii electrice admisibile. De asemenea, sub frecvența de rezonanță a sistemului răspunsul cade brusc, deoarece radiația prin deschidere este în antifază cu radiația dată de membrană.

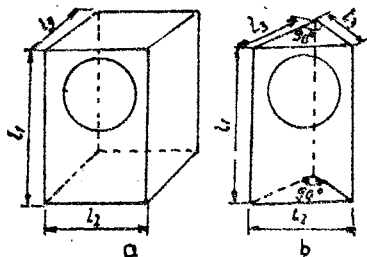


Fig. 4.24

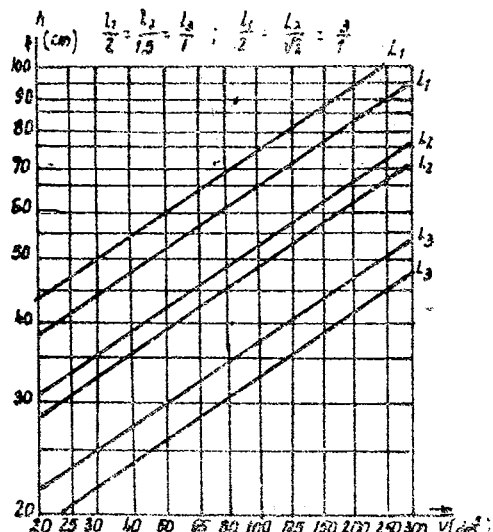


Fig. 4.25

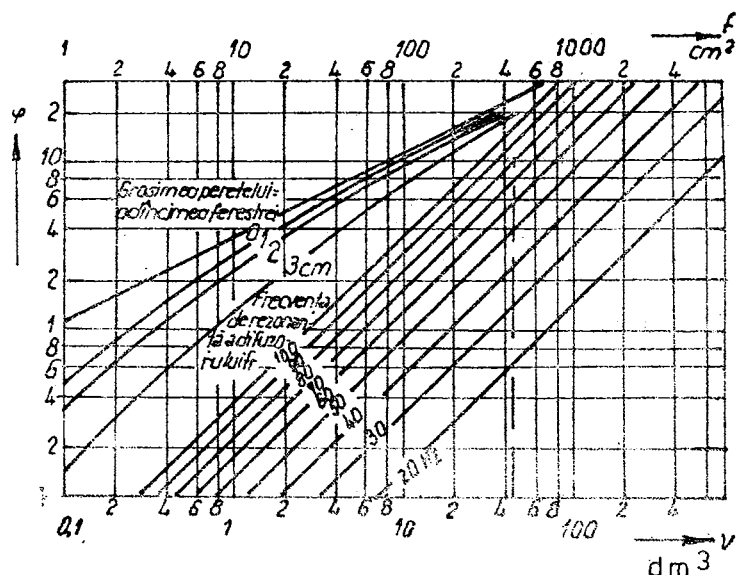


Fig. 4.26

B I B L I O G R A F I E

1. Berezovschi M. A., Pisarenco V. M., - „Cratchi spravocinic radioliubitelia“, „Tehnică“, Kiev, 1973.
2. Berindei M., Reboreanu N., Măscă A., - „Capitarea“, Ed. Tehnică, Bucureşti, 1971.
3. Bouwens A. J., - „Digital instrument course“, Philips, Einthoven, 1979.
4. Brand J. R., - „Handbook of Electronic Formulas, Symbols and Definition“, Van Nostrand Reinhold comp., New York, 1980.
5. Brodeski N. A., „Bitovia radioaparatura“, Polijmja, Minsk, 1980.
6. Bruskin V., - „Nomograme pentru radiotomatori“, Ed. Tehnică, Bucureşti, 1973.
7. Cartianu Gh., Constantin I., - „Sinteză în domeniul frecvență“, Ed. Academiei R.S.R., Bucureşti, 1974.
8. Cartianu Gh., Săvescu M., Constantin I., Stanomir D., - „Semipale, circuite și sisteme“, Ed. Didactică și Pedagogică, Bucureşti, 1980
9. Cătuneanu V. M., Strungaru R., - „Construcția și tehnologia echipamentelor radioelectronică“, Ed. Didactică și Pedagogică, Bucureşti, 1979.
10. Constantin I., Diaconescu I., - „Culegere de probleme de radioelectronică“, Ed. Tehnică, 1969.
11. Costache C., - „Laboratorul radioamatorului“, Ed. Tehnică, Bucureşti, 1971.
12. Dascălu D., Turic L., Hoffman I., - „Circuite electronice“, Ed. Didactică și Pedagogică, Bucureşti, 1981.
13. Dănilă Th., - „Componente și circuite electronice“, Ed. Didactică și Pedagogică, Bucureşti, 1978.
14. Dobronevski O. V., - „Spravocinic po radioelectroniche“, Vișaia Scola, Kiev, 1978.
15. Drăgulănescu N., - „Agenda radioelectronistului“, Ed. Tehnică, Bucureşti, 1983.
16. Felea I., - „Circuite cu tranzistoare în industrie“, Ed. Tehnică, Bucureşti, 1966.
17. Fink D., Mc Kenzia Al., - „Electronics Engineer's Handbook“, Mc Grow Hill, New York, 1975.
18. Gârlăşu St., - „Prelucrarea în timp real a semnalelor fizice“, Ed. Scrisul Românesc, Craiova, 1978.
19. Gabrowski B., - „Aide-mémoire de radiotechnique et télévision“, Ed. Dunod, Paris, 1981.
20. Graf R. F., - „Electronikus tervezési adalgyűjtemény“, Műszaki Könyvkiadó, Budapest, 1979.
21. Gubisch G., Dürrer K., Kliniat D., - „Elektronische Messtechnik“, Verlag Technik, Berlin, 1980.
22. Harper Ch., - „Handbook of Electronic Systems Design“, Mc. Grow Hill, New York, 1980.
23. Ilieiu M., Ivanovici Gh., - „Memorator de metrologie“, Ed. Tehnică, Bucureşti, 1965.
24. Kriyosec M. I., - „Bazele măsurării în televiziune“, Ed. Tehnică, Bucureşti, 1966.
25. Kulikovschi A. A., - „Îndreptar de radioînțină“, Ed. Tehnică, Bucureşti, 1960.
26. Labutin V. K., - „Cartea tehnicianului radio“, Ed. Tehnică, Bucureşti, 1962.
27. Leşu C., - „Radiorecepție pentru radioamatori“, Ed. Sport-Turism, Bucureşti, 1981.
28. Lozneanu S., Márton E., - „Ghid de corespondență pentru dispozitive semiconductoare“, Ed. Scrisul Românesc, Craiova, 1985.

- Filtre
 - Collins, 113
 - de netezire, 146
 - pasive, 102
 - pieptene, 110
- Frecvența de rezonanță
 - circuite cuplate, 95
 - oscilante, 71, 84
- Funcții logice, 125
- Impedanță, 52, 57
- Inductanță
 - bobinelor, 11, 12, 15, 17
 - conductor liniar, 45
- Incinte acustice
 - Bass-reflex, 209
 - închise, 208
- Linii de întirzire, 105
- Lege
 - Kirchhoff, 44, 66
 - Ohm, 44
- Miezuri bobine și transformatoare, 143
- Multivibratoare, 140
- Parametrii
 - amplificatoare RF cu cuplaje RC, 190
 - amplificatoare selective, 96
 - antene, 174
 - bobine, 11
 - circuite cuplate, 90
 - circuite oscilante, 70
 - filtre netezire, 146
 - filtre pasive, 102
 - linii de transmisie, 163
 - propagare, 159
 - redresoare, 146
- stabilizatoare de tensiune, 156
- termistoare, 9
- transformatoare, 140
- Permeabilitatea relativă, 15
- Pierderi
 - de propagare, 161
 - pe liniile de transmisie, 168
 - prin reflexii, 169
- Propagarea în aer liber, 161
- Puterea
 - de ieșire AF, 195
 - în curent alternativ, 58
 - în curent continuu, 50
- Radiatoare, 42
- Reacția negativă, 195
- Reactanțe, 55, 56
- Redresoare, 143
- Regim
 - funcționare tranzistoare, 33
 - permanent sinusoidal, 65
- Rețele de separare, 204
- Selectivitate, 78, 101
- Simboluri funcții logice, 128
- Sisteme de numerație, 118
- Stabilizatoare de tensiune, 156
- Teoreme, 67, 68
- Termistoare, 9
- Tipuri
 - de antene, 174
 - de propagare, 162
- Transfigurări stea-triunghi, 68
- Transformatoare, 140
- Transformări serie-paralel, 63
- Unipori elementari, 65

*Redactor : DOINA FLOREA-CIORNEI
Tehnoredactor : MIHAI BUJDEI*

Apărut 1985. Format 70×100/16. Coli tipă 13,50.
Bun de tipar la 3.IV.1985.
Editura Junimea, str. Gheorghe Dimitrov nr. 1
IAȘI — ROMÂNIA

*Tipărit sub c-da nr. 278/1984
la Intreprinderea poligrafică Iași,
str. 7 Noiembrie nr. 49*

